

발 간 등 률 번 호
11-1471057-000025-10



생활 속 작은실천, 모이면 청렴사회

2017 식 · 의약품 등 수사 · 분석사례집



식품의약품안전처
식품의약품안전평가원

발간사

최근 고령화 사회에 진입하면서 건강한 삶을 유지하기 위해 건강기능식품에 대한 관심과 수요가 점차 증가하고 있습니다. 이와 함께 식품이나 건강기능식품에 의약품 성분 등을 불법 혼입·제조하여 마치 발기부전치료, 근육강화 등에 특정한 효과가 있는 것처럼 판매함으로써 사회적 문제가 되고 있습니다. 또한, 매년 의약품 성분을 인위적으로 변경한 유사물질을 제조하여 불법으로 식·의약품에 혼입함으로써 검사망을 피하려는 시도가 다수 적발되는 등 그 수법도 더욱 지능화되는 추세에 있습니다.

신종 부정물질의 국내 유입차단 등 부정·불법 식·의약품에 대한 검사 강화를 위하여 첨단분석팀은 다양한 첨단분석기기를 활용하여 새로운 분석법 개발과 함께 의약품성분의 화학적 구조를 변경한 신종 부정물질을 규명하고 있습니다. 이를 통해 부정·불법 식·의약품의 유통을 선제적으로 차단함으로써 신속하고 정확한 분석을 수행할 수 있는 시스템을 적극적으로 구축하고 있습니다.

본 사례집은 '09년부터 식품의약품안전처 위생사범중앙조사단 등에서 분석 의뢰된 검체의 분석 결과를 중심으로 수사배경, 보도사례, 물질특성, 분석방법에 대한 내용을 수록하고 있으며, 이 사례집은 대검찰, 국과수, 시도보건환경연구원 등 일선 검사기관에 제공하여 정보를 공유하고 있습니다. 올해는 고지혈증치료제(25종), 등칡 성분, 만병초 성분, 화장품(립스틱류) 중 타르색소(21종) 등이 신설 분석법으로 수록되었습니다. 또한, 국소마취관련성분(14종), 발기부전치료제와 그 유사성분(82종) 등 대상성분을 확대하여 분석법을 개정하였습니다.

본 사례집이 부정·불량식품의 유통 차단 및 의약품의 오남용 방지를 위한 과학적 시험분석 업무수행에 적극 활용되어 식·의약품의 사전·사후 안전관리에 기여할 뿐 아니라 소비자의 신뢰를 한층 더 제고할 수 있는 기회가 되기를 기대합니다.

2017년 12월

식품의약품안전평가원장 이 선 희

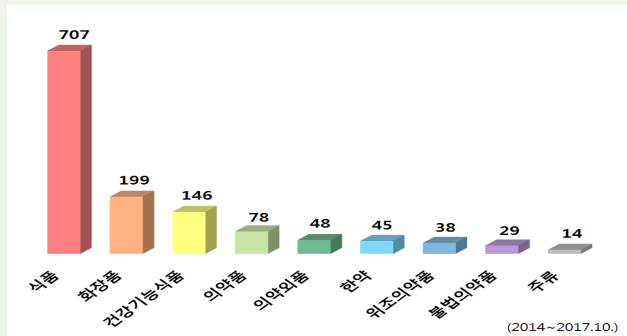
개요

“2017 수사·분석사례집”은 고지혈증치료제(25종), 등칡 성분, 만병초 성분, 화장품(립스틱류) 중 타르색소(21종) 등에 대한 시험법을 새롭게 확립하여 수재하였으며, 국소마취관련성분(14종), 발기부전치료제와 그 유사성분(82종) 등 기존 다성분 동시분석법에 신규 물질 성분을 추가하여 발간하게 되었습니다.

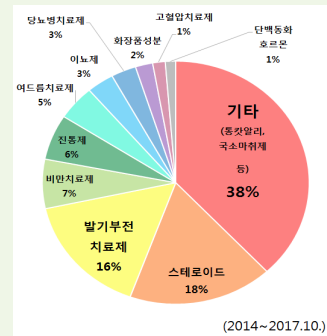
■ 연도별 위해사범증양조사단 의뢰건수

연도	2009~2013	2014	2015	2016	2017.10
건수	2114	291	219	238	149

■ 검체 유형별 의뢰건수



■ 의뢰된 성분 비율



■ 신종부정물질규명현황

(세계최초 12종, 국내최초 7종)

구분	화합물명	규명년도	비고
발기부전 치료제 유사물질	Desmethylpiperazinyl propoxysildenafil ¹⁾	2017	SCI(SJ) ⁶⁾ 투고
	Desulfonylchlorosildenafil ²⁾	2017	-
	Isopropylnortadalafil ¹⁾	2016	SCI(FAC) ³⁾ 등재
	Descarbonsildenafil ²⁾	2016	-
	Bisprenortadalafil ¹⁾	2015	SCI(FAC) ³⁾ 등재
	Bisprehomotadalafil ¹⁾	2014	SCI(JPBA) ⁴⁾ 등재
	Bispencyclopentyltadalafil ¹⁾	2014	SCI(JPBA) ⁴⁾ 등재
	trans-Cyclopentyltadalafil ¹⁾	2014	SCI(JPBA) ⁴⁾ 등재
	Cyclopentyltadalafil ¹⁾	2014	SCI(JPBA) ⁴⁾ 등재
	Bisprehomotadalafil ¹⁾	2014	SCI(JPBA) ⁴⁾ 등재
	Homotadalafil ²⁾	2013	-
	Propoxyphenyl thiohydroxyhomosildenafil ²⁾	2013	-
	Propoxyphenyl thiosildenafil ²⁾	2013	-
	Propoxyphenyl thiaoildenafil ¹⁾	2013	SCI(FAC) ³⁾ 등재
발모성분	Propoxyphenyl thiohomosildenafil ¹⁾	2013	SCI(FAC) ³⁾ 등재
	Acetaminotadalafil ¹⁾	2011	SCI(FAC) ³⁾ 등재
마약류	Triaminodil ²⁾	2017	SCI(FAC) ³⁾ 등재
체중감량성분	APINAC ¹⁾	2016	SCI(JFT) ⁵⁾ 등재
	MDMB-FUBINACA ²⁾	2016	SCI(JFT) ⁵⁾ 등재
체중감량성분	Chlorosibutramine ¹⁾	2013	SCI(FAC) ³⁾ 등재

1) 신종부정물질 세계최초규명사례

2) 식품에서 검출된 국내 최초사례

3) FAC : Food Additives and Contamants 4) JPBA : Journal of Pharmaceutical and Biomedical Analysis

5) JFT : Journal of Forensic Toxicology 6) SJ : Science & Justice

목 차

I. 신설 분석법

1. 고지혈증치료제(25종) 분석법	9
2. 등칡 성분 분석법	21
3. 만병초 성분 분석법	25
4. 부테아스테르바 성분 분석법	29
5. 알러지질환 항히스타민제(36종) 분석법	36
6. 주류 중 potassium aluminium silicate 분석법	52
7. 화장품(립스틱류) 중 타르색소(21종) 분석법	56

II. 변경 분석법(성분 추가 및 분석법 변경)

1. 국소마취관련성분(14종) 분석법	67
2. 단백동화스테로이드류(28종) 분석법	72
3. 마약류(42종) 분석법	80
4. 발기부전치료제와 그 유사성분(82종) 분석법	97
5. 체중감량성분_비만치료관련성분(35종) 분석법	129
6. 수면유도제(15종) 분석법	143
7. 진통관련성분(22종) 분석법	151

III. 기존 분석법

1. 갱년기치료관련성분(9종) 분석법	162
2. 고혈압치료관련성분(34종) 분석법	166
3. N-나이트로소디에탄올아민 분석법	181
4. 노닐페놀 에톡시레이트 분석법	184
5. 당뇨병치료제성분(26종) 분석법	187
6. 마 및 천마 성분 분석법	198
7. 메칠클로로이소티아졸리논, 메칠이소티아졸리논 분석법	202
8. 모유분비촉진관련성분(5종) 분석법	207
9. 발모관련성분(13종) 분석법	211
10. 복어독(테트로도톡신) 분석법	219
11. 부자성분 분석법	222
12. 비만치료주사제(PPC, 5종) 분석법	225
13. 식물스테롤(4종) 분석법	229
14. 스테로이드류(53종) 분석법	234
15. 여드름치료관련성분(11종) 분석법	247
16. 체중감량성분_이뇨관련성분(23종) 분석법	255
17. 진세노사이드 분석법	267
18. 칡성분 분석법	272
19. 코치닐추출색소(카르민산) 분석법	277
20. 통캇알리 성분 분석법	281
21. 푸에라리아 미리피카 성분 분석법	285
22. 프틸레이트(6종) 분석법	293
23. 화장품 중 스테로이드(43종) 분석법	297
24. HEDP성분 분석법	308

I -1

고지혈증치료제[25종] 분석법

■ 배경

- 홍국 및 홍국/폴리코사놀 복합제제, 콜레스테릭스 제품에서 고지혈증 치료제 메바코의 활성성분인 ‘로바스타틴’ 검출(‘07, 미국)
- 홍국쌀 식이보충제에서 고지혈증 치료제인 ‘로바스타틴’이 검출되어 회수 조치(‘14, 미국)

FDA 건강식품 '홍국' 불법 의약품 성분 함유

NEWSIS | 기사입력 2014-02-19 10:25:00 | 수정 2014-02-19 10:25:00

미국 FDA가 판매되고 있는 세 종의 홍국(red yeast rice)제품에 대해 구입 및 섭취를 금한다고 발표하면서 이를 제품에 언급에 해로울 수 있는 미승인 약 성분이 함유돼 있다고 밝혔다.

홍국은 콜레스테롤 수치를 낮추는 식품 보조제로 판매되고 있다.

이들 지식을 받은 제조사는 홍국 및 홍국/폴리코사놀 복합제제 (스란스 건강식품회사 판매), 홍국/폴리코사놀 복합제제 콜레스테릭스 (메바스터트 바이알즈니 판매)였으며 FDA 조사 결과 이 제품들에서 미국 내에서 콜레스테롤을 저감제로 승인된 약인 메바코의 활성성분인 로바스타틴이 발견됐다.

FDA는 소비자가 로바스타틴의 부작용을 인식하지 못할 경우 더 위험할 수 있고 다른 약물과 함께 복용시 악효를 수 있다고 밝혔다.

이들 홍국제제에 포함된 로바스타틴은 혈액학 근육질환에서부터 신장손상 등 부작용이 보고 됐고 복용량이 많은 경우와 다른 약물과 함께 복용 시 더욱 심각한 부작용을 초래할 수 있다.

제조사는 홍국제제를 취취 후 이상증세가 있는 소비자는 속히 병원을 방문할 것을 권했다.

Red Yeast Rice by Doctor's Best: Recall - Undeclared Lovastatin

[Product Recall 2014]

AUDIENCE: Consumer

ISSUE: Doctor's Best is voluntarily recalling lot 3121001 (1759 bottles) of Red Yeast Rice dietary supplement, 600 mg Capsules, 120-count bottles to the retail level. Doctor's Best Red Yeast Rice has been found to contain undeclared lovastatin, a prescription drug used to treat high cholesterol and triglycerides using an unapproved drug.

Consumers who use supplements, should let their healthcare provider know in case they result in muscle injury, pain or other adverse reactions. If you are pregnant, nursing, or considering pregnancy, please consult thoroughly with your physician before taking this product with undetected lovastatin. Patients with pre-existing heart disease, liver disease, or those taking certain medications should not take this product.

RECALL INFORMATION: Doctor's Best Red Yeast Rice was distributed nationwide through retail and internet outlets. Doctor's Best Red Yeast Rice is marketed as a dietary supplement for lowering cholesterol and is packaged in a clear plastic bottle with a red cap and a clear tamper evident seal. UPC code: 87302001143. Lot 3121001 and expires February 2017.

RECOMMENDATION: Consumers/Individuals that have Red Yeast Rice which is being recalled should stop using it immediately. Individuals who have consumed Red Yeast Rice should contact Doctor's Best or notify its distributor and customers by mail and is arranging for return of all recalled products.

Consumers with questions regarding this recall can contact Doctor's Best at 1-844-717-0100 Monday through Friday, from 9:00 AM to 4:00 PM Eastern Time. Individuals who experience any adverse effects related to the use of these products should report them to the FDA's MedWatch program at www.fda.gov/medwatch.

• Complaint form or call 1-800-332-1080 to request a reporting form; then complete and return to the address on the pre-addressed form, or submit by fax to 1-800-FDA-0175.

(800)240-2024 - Press Release - Doctor's Best

www.DoctorsBest.com



■ 특성

- 고지혈증치료제는 크게 HMG-CoA 저해제, Fibrate 유도체 등이 있음
 - HMG-CoA 저해제: 세포의 초저밀도지질단백질(LDL) 수용체 합성 증가, 혈장의 콜레스테롤을 세포내로 이동시켜 혈관 염증을 완화시킴
(ex) Atorvastatin, Lovastatin, Simvastatin 등
 - Fibrate 유도체: 말초조직 및 혈청의 lipoprotein lipase 활성을 촉진하여 중성지방(TG) 수치 저하, 초저밀도지질단백질(VLDL) 분해 증가 및 고밀도지단백질(HDL)을 상승시킴
(ex) Bezafibrate, Clofibrate, Etofibrate 등
- 부작용: 장기 복용 시 당뇨병을 유발할 수 있으며 임산부가 복용 시 최기형성(선헌기형)이 있을 수 있고, 다른 약물과 상호작용에 의해 근육 관련 독성이 문제가 될 수 있음

■ 분석사례

- 건강식품 & 한약 관련 제품: Bezafibrate 5 mg/g 검출

■ 분석법

1. HPLC법

○ 전처리 방법

- 표준액 조제 : 표준액 1* Pitavastatin calcium 등 18종

표준액 2* Pravastatin sodium salt hydrate 등 7종

→ 각각 일정량 취함 → 100% 메탄을 가함 → 최종 농도(약 10~50 µg/mL)

- 검액 조제 : 약 1 g 취함 → 70% 메탄을 가함 → 30분 진탕 → 50 mL 정용

* 표준액 1 : Pitavastatin calcium, Benfluorex, D-Thyroxine, Cerivastatin sodium salt hydrate, Triparanol, Rosuvastatin calcium, Lomitapide, Clofibrate acid, Bezafibrate, Ezetimibe, Etofibrate, Ciprofibrate, Atorvastatin calcium salt trihydrate, Fenofibric acid, Lapaquistat acetate, Gemfibrozil, Fenofibrate, Anacetrapib

* 표준액 2 : Pravastatin sodium salt hydrate, Fluvastatin sodium, Mevacor, Lovastatin, Simvastatin, Lovastatin hydroxy acid sodium salt, simvastatin hydroxy acid ammonium salt

○ Analytical conditions of HPLC

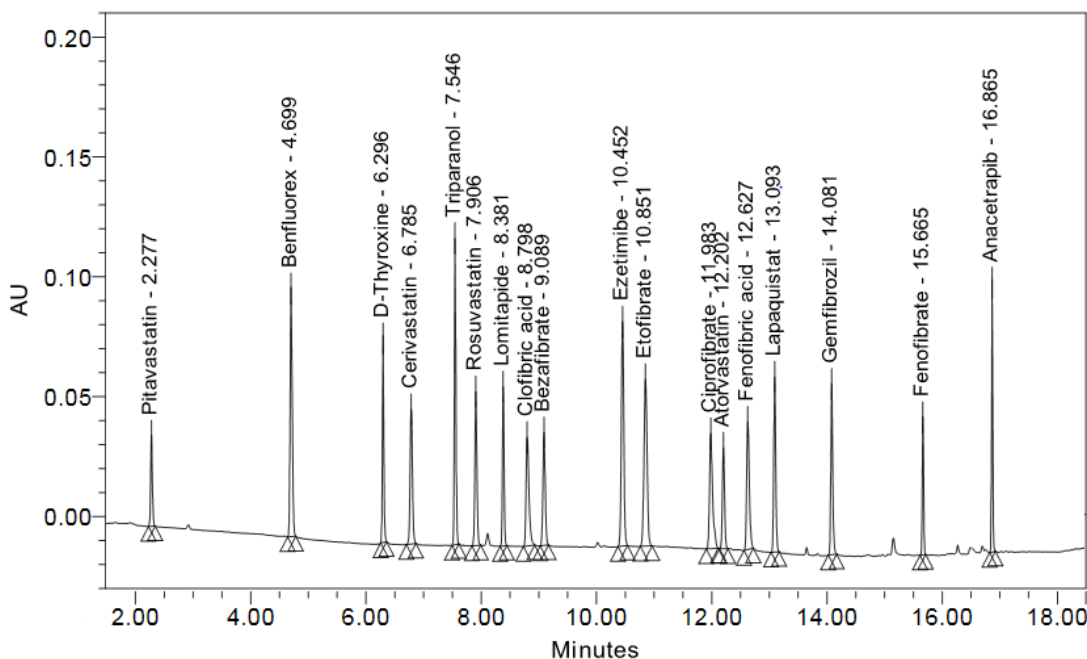
- Instrument Waters ACQUITY UPLC
- Column Waters ACQUITY UPLC CSH C18 (2.1 mm × 150 mm, 1.7 µm)
- Column Temp. 40°C
- Mobile Phase
 - (A) 0.1 mM dipotassium phosphate (pH 2.0, phosphoric acid)
 - (B) 100% Acetonitrile

Time (min)	A (%)	B (%)
0.0	70	30
2.0	70	30
4.0	60	40
8.0	50	50
9.0	50	50
11.0	40	60
14.0	10	90
16.0	0	100
18.0	0	100
19.5	70	30
24.0	70	30

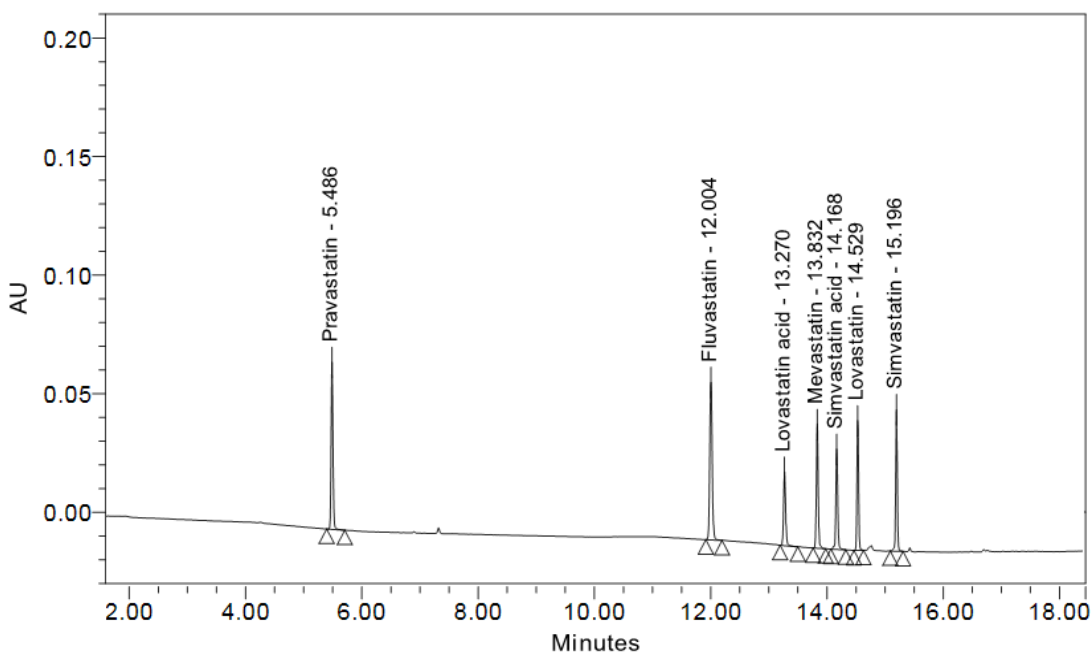
- Flow Rate 0.3 mL/min
- Inj. Volume 1 µL
- UV Detection 표준액 1 : 200 nm
표준액 2 : 235 nm
- PDA Range 190~400 nm



○ Chromatogram



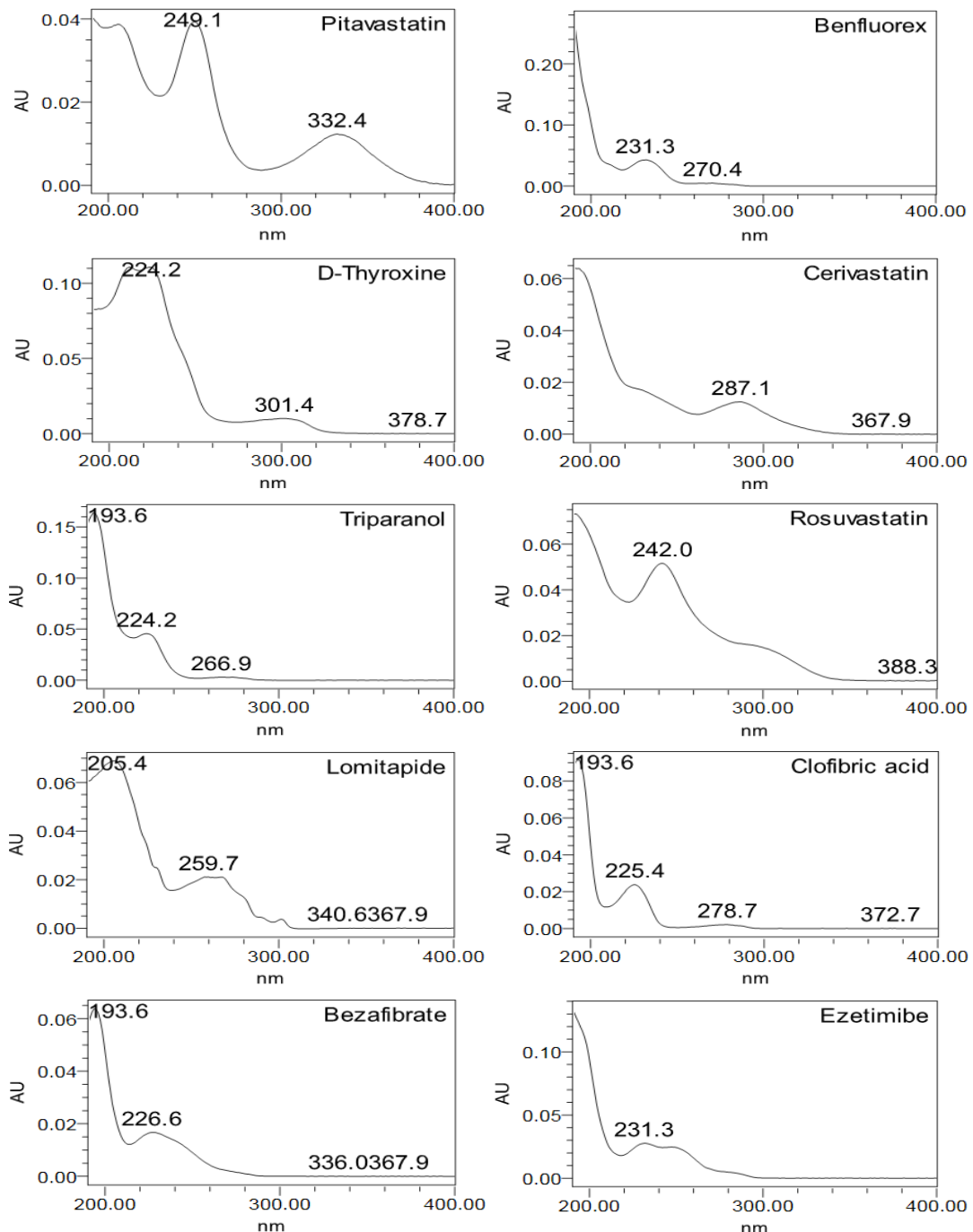
[표준액 1]

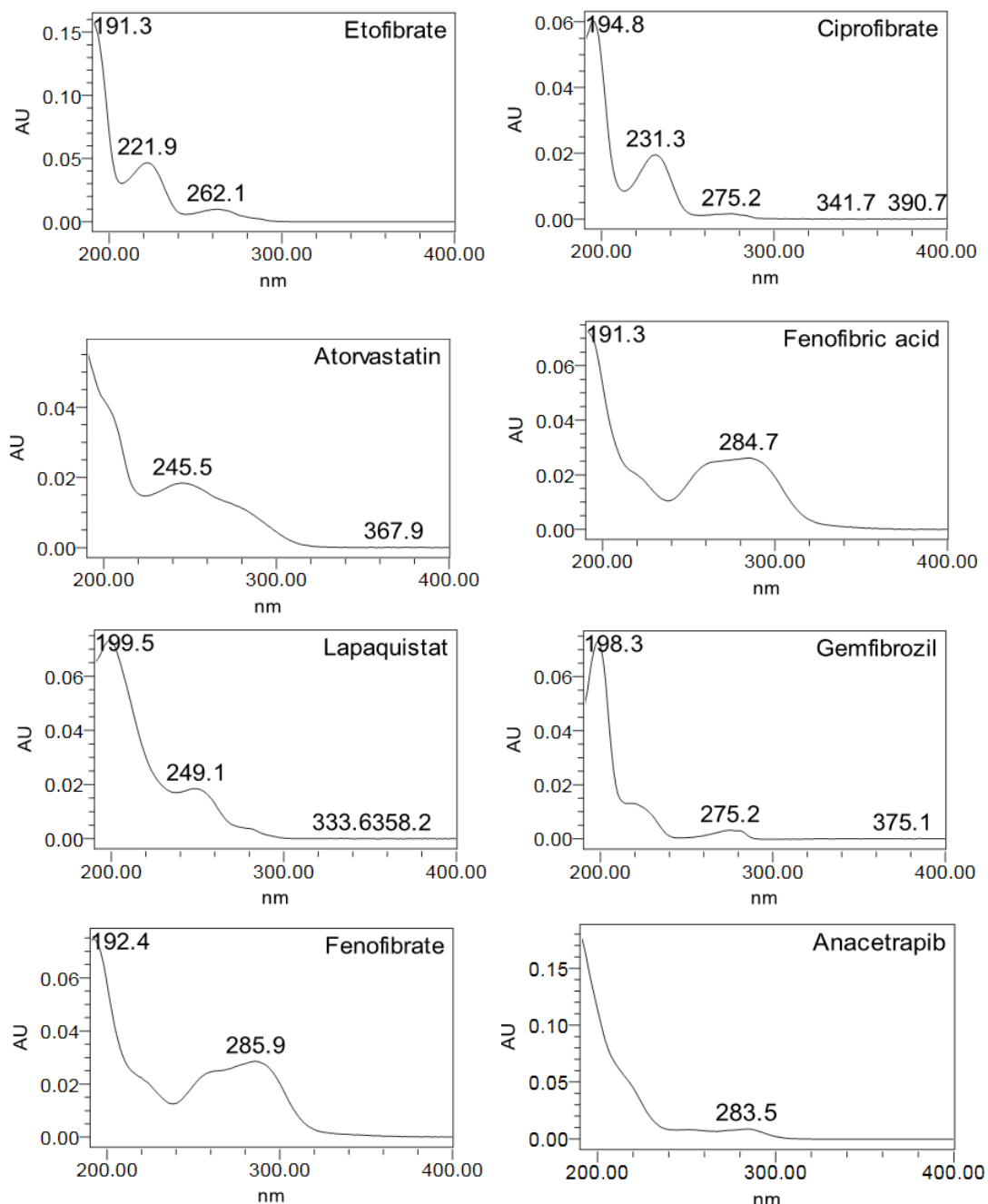


[표준액 2]

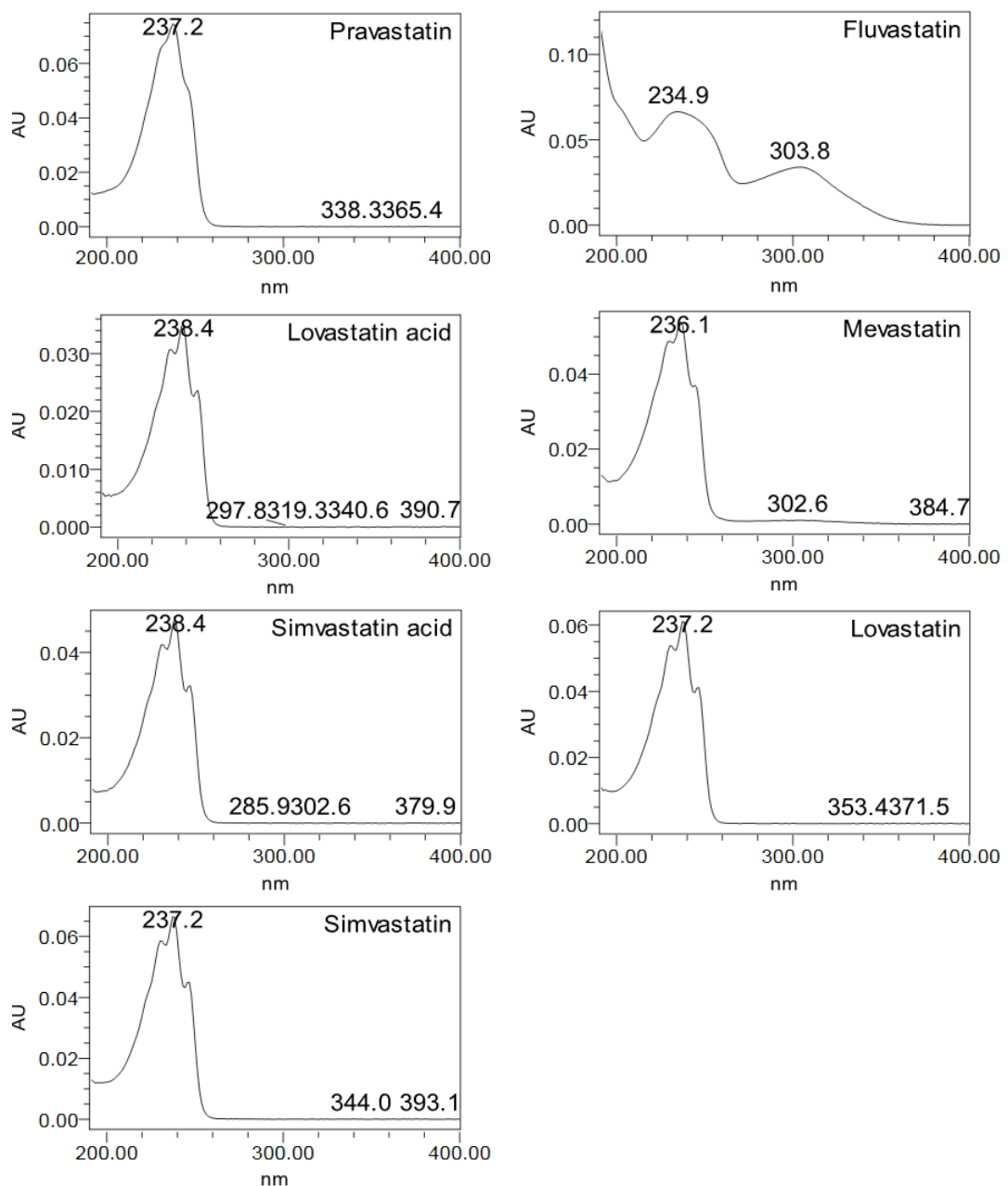
○ PDA Spectrum

* 표준액 1





* 표준액 2



2. LC-MS/MS

○ Analytical conditions of HPLC

• Instrument	Agilent DE/1200 HPLC																												
• Column	Atlantis dC18 (2.0 mm × 100 mm, 3.0 μm)																												
• Column Temp.	40°C																												
• Mobile Phase	(A) 0.1% Formic acid in Water																												
	(B) 0.1% Formic acid in Acetonitrile																												
<table border="1"> <thead> <tr> <th>Time (min)</th> <th>A (%)</th> <th>B (%)</th> </tr> </thead> <tbody> <tr><td>0.0</td><td>95</td><td>5</td></tr> <tr><td>1.0</td><td>95</td><td>5</td></tr> <tr><td>2.0</td><td>40</td><td>60</td></tr> <tr><td>8.0</td><td>10</td><td>90</td></tr> <tr><td>11.0</td><td>0</td><td>100</td></tr> <tr><td>13.0</td><td>0</td><td>100</td></tr> <tr><td>14.0</td><td>95</td><td>5</td></tr> <tr><td>18.0</td><td>95</td><td>5</td></tr> </tbody> </table>			Time (min)	A (%)	B (%)	0.0	95	5	1.0	95	5	2.0	40	60	8.0	10	90	11.0	0	100	13.0	0	100	14.0	95	5	18.0	95	5
Time (min)	A (%)	B (%)																											
0.0	95	5																											
1.0	95	5																											
2.0	40	60																											
8.0	10	90																											
11.0	0	100																											
13.0	0	100																											
14.0	95	5																											
18.0	95	5																											
• Flow Rate	0.3 mL/min																												
• Inj. Volume	2 μL																												

○ Analytical conditions of LC-MS/MS

• Instrument	AB sciex API 4000	
• Ionization Mode	ESI (+)	ESI (-)
• Curtain Gas	25 psi	25 psi
• Collision Gas	5 psi	5 psi
• Ion Voltage	5500 V	4500 V
• Ion Source Gas 1	50 psi	50 psi
• Ion Source Gas 2	50 psi	50 psi
• Source Temp.	500°C	500°C

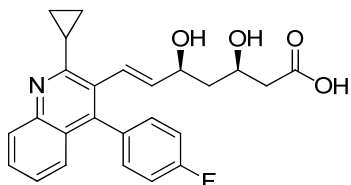
○ Analyte MS/MS transition

Compound	Ion mode	Precursor ion (m/z)	DP (V)	Product ion	CE (V)	CXP (V)
Pitavastatin	+	422.1	116	290.2	39	18
				318.2	43	22
				260.1	69	18
Benfluorex	+	352.2	86	230.2	25	16
				159.2	27	10
				149.1	47	8
D-Thyroxine	+	777.7	51	731.8	39	44
				633.9	37	30
				604.8	49	32
Cerivastatin	+	460.4	121	356.2	49	24
				324.2	65	22
				280.2	81	18
Triparanol	+	438.2	106	100.2	39	20
				213.2	41	14
				418.2	22	11
Rosuvastatin	-	480.2	45	340.1	32	9
				298.0	42	7
				249.2	65	16
Lomitapide	+	694.3	161	429.3	53	30
				179.2	75	12
				126.9	18	9
Clofibrate acid	-	212.9	45	84.9	14	5
				274.0	24	7
				153.8	40	11
Bezafibrate	-	360.0	60	85.0	30	5
				271.0	22	7
				118.9	66	7
Ezetimibe	-	408.1	55	132.0	56	9
				150.1	25	8
				114.1	37	22
Etofibrate	+	364.1	81	124.1	47	24
				84.9	18	5
				200.8	14	9

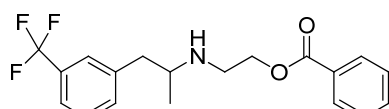
표준액
1

Compound	Ion mode	Precursor ion (m/z)	DP (V)	Product ion (m/z)	CE (V)	CXP (V)
Atorvastatin	-	557.2	100	397.1	40	9
				278.1	60	7
				453.1	32	13
Fenofibric acid	+	319.1	86	233.1	23	14
				139.1	39	14
Lapaquistat	+	645.3	96	121.1	69	22
				502.3	31	14
				404.2	39	28
Gemfibrozil	-	249.1	50	214.2	47	14
				120.9	18	7
				126.7	16	7
1 Fenofibrate	+	361.1	81	233.1	25	16
				138.9	37	8
				121.0	51	24
Anacetrapib	+	638.3	121	283.2	31	18
				268.2	63	18
				255.1	59	16
Pravastatin	-	423.1	70	321.0	22	7
				303.0	24	7
				100.9	42	5
Fluvastatin	-	410.1	70	348.0	22	9
				209.8	38	15
				319.0	24	7
Lovastatin acid	-	421.3	95	100.9	42	7
				158.8	30	7
				185.2	19	12
2 Mevastatin	+	391.2	81	229.3	19	14
				159.2	35	10
				318.9	24	7
Simvastatin acid	-	435.4	85	115.0	36	7
				159.0	32	7
				285.2	17	18
Lovastatin	+	405.3	81	199.2	17	12
				225.1	29	14
				285.3	15	18
Simvastatin	+	419.3	86	199.2	17	12
				303.3	17	16

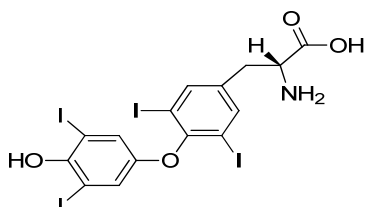
■ 구조식



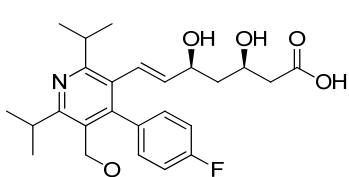
Pitavastatin
[C₂₅H₂₄FNO₄]



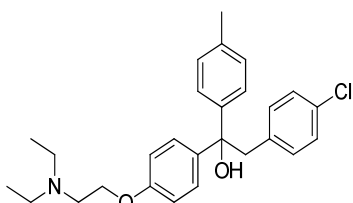
Benfluorex
[C₁₉H₂₀F₃NO₂]



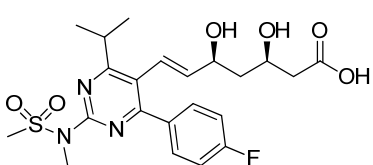
D-Thyroxine
[C₁₅H₁₁I₄NO₄]



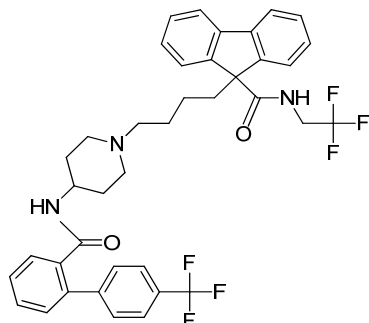
Cerivastatin
[C₂₆H₃₄FNO₅]



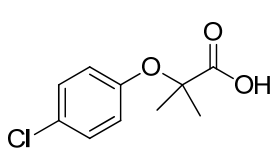
Triparanol
[C₂₇H₃₂ClNO₂]



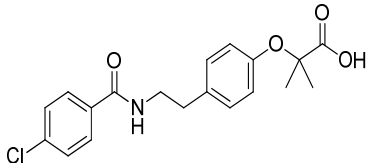
Rosuvastatin
[C₂₂H₂₈FN₃O₆S]



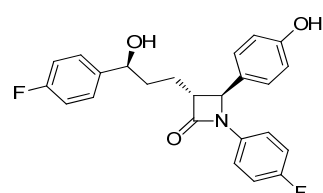
Lomitapide
[C₃₉H₃₇F₆N₃O₂]



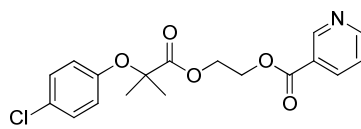
Clofibrate acid
[C₁₀H₁₁ClO₃]₄



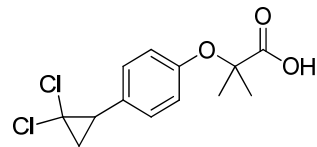
Bezafibrate
[C₁₉H₂₀ClNO₄]



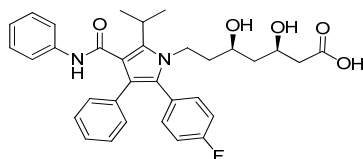
Ezetimibe
[C₂₄H₂₁F₂NO₃]



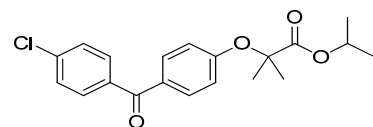
Etofibrate
[C₁₈H₁₈ClNO]



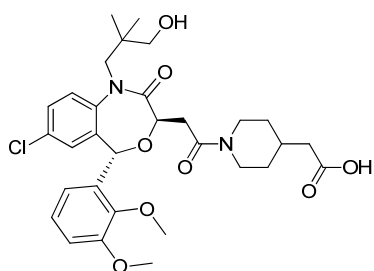
Ciprofibrate
[C₁₃H₁₄Cl₂O₃]



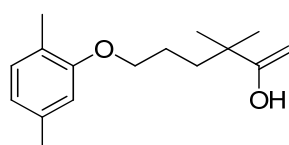
Atorvastatin
[C₃₃H₃₄FN₂O₅]



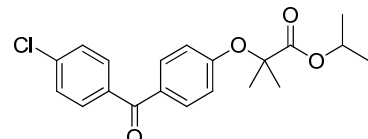
Fenofibric acid
[C₁₇H₁₅ClO₄]



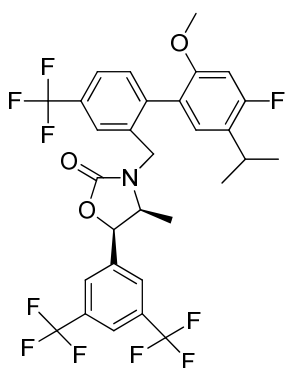
Lapaquistat
[C₃₁H₃₃ClN₂O₈]



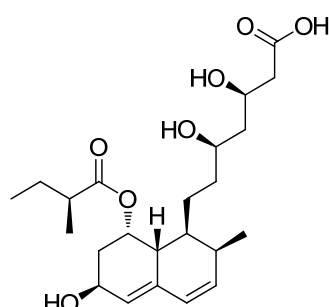
Gemfibrozil
[C₁₅H₂₂O₃]



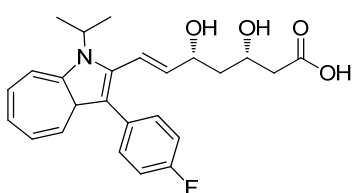
Fenofibric acid
[C₂₀H₂₁ClO₄]



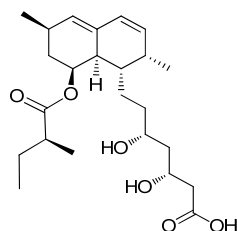
Anacetrapib
[C₃₀H₂₅F₁₀NO₃]



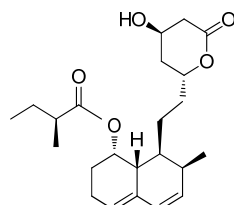
Pravastatin
[C₂₃H₃₆O₇]



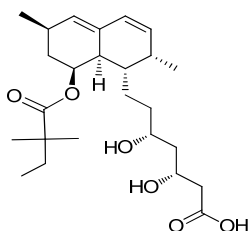
Fluvastatin
[C₂₄H₂₆FNO₄]



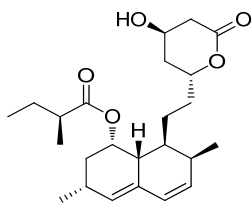
Lovastatin acid
[C₂₄H₃₈O₆]



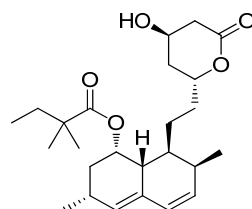
Mevastatin
[C₂₃H₃₄O₅]



Simvastatin acid
[C₂₅H₄₀O₆]



Lovastatin
[C₂₄H₃₆O₅]



Simvastatin
[C₂₅H₃₈O₅]

■ 참고문헌

1. Bin Guo, Meiling Wang, Yanyan Liu, Jing Zhou, Hua Dai, Zhiqiang Huang, Lingling Shen, Qingsheng and Bo Chen. Wide-Scope Screening of illegal Adulterants in Dietary and Herbal Supplements via Rapid Polarity-Switching and Multistage Sccurate Mass Confirmation Using an LC-IT/TOF Hybrid Instrument. *Journal of Agricultural and Food Chemistry*. 63, 6954-6967 (2015)
2. Qingxia Zhu, Mengyun Chen, Lu Han, Yongfang Yuan, Feng Lu. High efficency screening of nine lipid-lowering adulterants in herbal dietary supplements using thin layer chromatography coupled with surface enhanced Raman spectroscopy. *Analytical Methods*. 9, 1595-1602 (2017)
3. Tomohide Fukiwake, Takashi Hasegawa, Kazunaga Takahashi, Masaaki Saiko and Masanori Hamana, Simultaneous determination of statins in dietary supplements by ultra-performance liquid chromatography. *Food hygiene safety science Japan*. 55(2), 94-102 (2014)

I -2 ◀ 등칡 성분 분석법

배경

- 신장 손상과 발암 위험이 높아 식·의약품에 사용할 수 없는 ‘등칡’을 ‘통초’로 둔갑시켜 약령시장이나 인터넷을 통해 판매한 일당 적발(‘16. 10.)
- 산후조리 중 ‘통초’가 아닌 ‘등칡’이 들어간 한약재를 먹은 산모가 급성 신부전, 말기 신장질환으로 신장 이식 받음(‘17. 01.)



특성

- 등칡(*Aristolochia mansuriensis* Kom.)은 쥐방울과 식물의 덩굴줄기로서 관목통으로 불리며 예전부터 통초로 잘못 사용되어 왔고, 특히 발암물질인 아리스톨로크산(Aristolochic acid)이 함유되어 사용이 금지됨
- 주요성분: Aristolochic acid A~D

■ 분석법

1. LC-MS/MS법

○ 전처리 방법

- 표준액 조제 : Aristolochic acid A 등 5종*

→ 일정량 취함 → 100% 메탄올 가함 → 최종 농도(약 1 µg/mL)

- 검액 조제 : 약 1 g 취함 → 100% 메탄올 가함 → 30분 진탕 → 50 mL 정용

SPE(Solid Phase Extraction, C₈, 500 mg, 6 cc)

→ Conditioning(100% 메탄올, 5 mL) → Equilibration(물, 5 mL)

→ Loading(SPE용 검액, 2 mL) → Elution(100% 메탄올, 10 mL)

→ 100% 메탄올 가함 → 20 mL 정용

* 표준액 : Aristolochic acid A, Aristolochic acid B, Aristolochic acid C, Aristolochic acid D

○ Analytical condition of HPLC

- Instrument Agilent DE1200

- Column Shiseido Capcell Pak C₁₈ MGII (2.0 mm × 100 mm, 3 µm)

- Column Temp. 40°C

- Mobile Phase
 - (A) 0.1% Formic acid in Water
 - (B) 0.1% Formic acid in Acetonitrile

Time (min)	A (%)	B (%)
0.0	85	15
1.0	45	55
2.0	45	55
2.5	35	65
4.0	35	65
5.0	10	90
7.0	10	90
7.1	85	15
10.0	85	15

- Flow Rate 0.25 mL/min

- Inj. Volume 5 µL



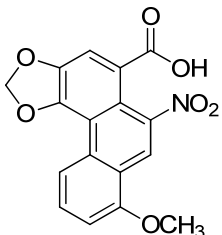
○ Analytical conditions of LC-MS/MS

• Instrument	AB SCIEX QTRAP 5500
• Ionization Mode	ESI (+)
• Curtain Gas	30 psi
• Collision Gas	9 psi
• Ion Voltage	5500 V
• Ion Source Gas 1	50 psi
• Ion Source Gas 2	50 psi
• Source Temp.	500°C

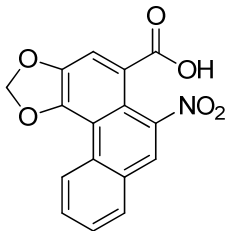
○ Analyte MS/MS transition

Compound	Ion Mode	Precursor ion (<i>m/z</i>)	DP (V)	Product ion (<i>m/z</i>)	CE (V)	CXP (V)
Aristolochic acid A	+	359.0	61	298.0	17	12
		[M+NH ₄] ⁺		324.0	19	20
Aristolochic acid B	+	329.0	31	268.1	15	16
		[M+NH ₄] ⁺		238.0	25	18
Aristolochic acid C	+	345.1	51	221.0	35	18
		[M+NH ₄] ⁺		284.0	17	16
Aristolochic acid D	+	375.0	76	267.0	31	18
		[M+NH ₄] ⁺		312.0	19	20
				358.0	9	28
				297.0	45	14

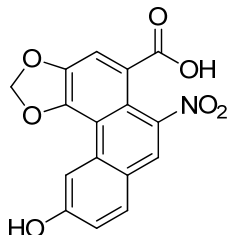
■ 구조식



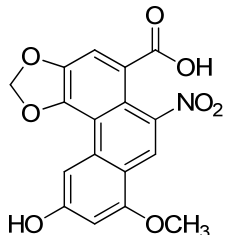
Aristolochic acid A
[C₁₇H₁₁NO₇]



Aristolochic acid B
[C₁₆H₉NO₆]



Aristolochic acid C
[C₁₇H₉NO₇]



Aristolochic acid D
[C₁₇H₁₁NO₈]

■ 참고문헌

1. Ming-Chung Lee, Chi-Hsiang Tsao, Song-Chou Iou, Wu-Chang Chuang, Shuenn-Jyi Sheu. Analysis of aristolochic acids in herbal medicines by LC/UV and LC/MS. *J Spe Sci*, 26, 818-822 (2003)
2. Chiu-Yu Huang, Mu-Chuan Tseng and Jer-Huei Lin. Analyzing aristolochic acids in Chinese herbal preparations using LC/MS/MS. *J Food Drug Anal*, 13(2), 125-131 (2005)
3. Lukas Vaclavik, Alexander J Krynnitsky and Jeanne I. Rader. Quantification of aristolochic acids I and II in herbal dietary supplements by ultra-high-performance liquid chromatography-multistage fragmentation mass spectrometry. *Food Addit Contam A*, 31(5), 784-791 (2014)

I -3 만병초 성분 분석법

배경

- 동아시아에서 주로 서식하는 만병초는 국내에서 그 잎을 술에 담가 마시거나, 물에 끓여 차로 마신 후 중독증상을 일으켜 응급실에 내원하는 사례가 꾸준히 발생함(2002, 2006, 2015)
- 식품 원료로 사용할 수 없는 만병초는 가공식품 중 혼입을 확인할 수 있는 분석법이 마련되어 있지 않으며, 유사한 중독증상을 일으키는 벌꿀 중 Grayanotoxin III 분석법만 식품공전에 등재됨

The screenshot shows a news article from MBC News. The headline reads "만병초가 만병통지약?... '독성 있으니 먹지 마세요'" (Is Ginkgo biloba an all-purpose medicine?... 'Caution, it contains toxic substances, do not eat it'). The article discusses the use of Ginkgo biloba extract as a medicine and its potential toxicity.

The screenshot shows a news broadcast from SBS Emergency Center. The anchor is reporting on the topic of Ginkgo biloba extract causing toxicity, mentioning the 'Emergency Center' and the text "'약술' 마신 뒤 응급실행..독성 분석 중" ('Emergency treatment after taking medicine..toxicity analysis in progress').

특성

- 만병초 잎에 함유된 Grayanotoxin을 과량 섭취하였을 경우 저혈압과 구토, 과도한 타액분비, 오심, 무력감, 의식 소실, 시야장애, 경련 등 유발. 고혈압 및 심장질환자 등은 사망에 이를 수 있음
- 만병초 차 또는 담금주를 섭취한 후 긴급 후송되는 사례 발생
- 주요성분: Grayanotoxin I, Grayanotoxin III, Rhodioloside

■ 분석법

1. LC-MS/MS법

○ 전처리 방법

- 표준액 조제 : Grayanotoxin I, Grayanotoxin III, Rhodioloside
→ 일정량 취함 → 100% 메탄올 가함 → 최종 농도(약 1 µg/mL)
- 검액 조제 : 약 1 g 취함 → 100% 메탄올 가함 → 30분 진탕 → 50 mL 정용
SPE(Solid Phase Extraction, HLB, 500 mg, 6 cc)
→ Conditioning(100% 메탄올, 5 mL) → Equilibration(물, 5 mL)
→ Loading(SPE용 검액, 2 mL) → Elution(100% 메탄올, 10 mL)
→ 100% 메탄올 가함 → 20 mL 정용

* 표준액 : Grayanotoxin I, Grayanotoxin III, Rhodioloside

○ Analytical condition of HPLC

- Instrument Agilent DE1200
- Column Shiseido Capcell Pak C₁₈ MGII (2.0 mm × 100 mm, 3 µm)
- Column Temp. 40°C
- Mobile Phase
 - (A) 0.1% Formic acid in Water
 - (B) 0.1% Formic acid in Methanol

Time(min)	A(%)	B(%)
0.0	95	5
4.0	60	40
6.5	30	70
7.0	30	70
7.5	5	95
8.0	5	95
8.1	95	5
10.0	95	5

- Flow Rate 0.25 mL/min
- Inj. Volume 5 µL



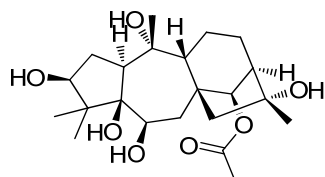
○ Analytical conditions of LC-MS/MS

• Instrument	AB SCIEX QTRAP 5500	
• Ionization Mode	ESI (+)	ESI (-)
• Curtain Gas	30 psi	20 psi
• Collision Gas	9 psi	9 psi
• Ion Voltage	5500 V	4500 V
• Ion Source Gas 1	50 psi	50 psi
• Ion Source Gas 2	50 psi	50 psi
• Source Temp.	450°C	450°C

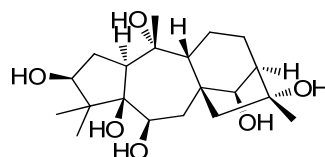
○ Analyte MS/MS transition

Compound	Ion Mode	Precursor ion (<i>m/z</i>)	CV (V)	Product ion (<i>m/z</i>)	CE (V)	CXP (V)
Grayanotoxin I	+	435.2 [M+Na] ⁺	81	375.2	31	14
				357.0	35	20
Grayanotoxin III	+	335.0 [M+H-2H ₂ O] ⁺	30	317.2	17	14
				299.0	19	21
Rhodioloside	-	299.0	25	119.0	18	17
				58.8	46	29
				88.8	18	13

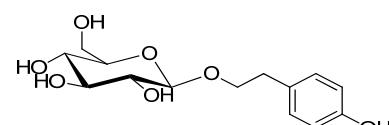
구조식



Grayanotoxin I
[C₂₂H₃₆O₇]



Grayanotoxin III
[C₂₀H₃₄O₆]



Rhodioloside
[C₁₄H₂₀O₇]

■ 참고문헌

1. Hwang Eui Cho, Su Youn Ahn, Dong-Woo Kim, Sang-Hee Woo, Seung-Hyeok Park, Kyunghwa Hwang, Dong-Cheul Moon and Suncheun Kim. Development of a liquid chromatography-tandem mass spectrometry method for the determination of grayanotoxins in rat blood and its application to toxicokinetic study. *Biomed Chromatogr.* 28, 1624-1632 (2014)
2. Dirk M. Holstege, Birgit Puschner, and Tuong Le. Determination of grayanotoxins in biological samples by LC-MS/MS. *J Agric Food Chem.* 49, 1648-1651 (2001)
3. Muanmmer Kaplan, Elmas O Olgun, and Ozan Karaoglu. Determination of Grayanotoxins in Honey by Liquid Chromatography Tandem Mass Spectrometry Using Dilute-and-Shoot Sample Preparation Approach. *J Agric Food Chem.* 62, 5485-5491 (2014)

I -4 ◀ 부테아수페르바 성분 분석법

■ 배경

- 부테아 수페르바(*Butea superba*)는 남성 성기능 개선과 관련한 원료로 태국 등지에서 천연 발기부전치료제로서 사용되어 왔으나, 안전성이 확보되지 않아 국내에서 수입 및 유통·판매가 금지됨. 그러나 남성 성기능 강화에 효과가 있다는 광고를 내세워 독성 및 안전성이 확보되지 않은 제품이 인터넷 쇼핑몰(해외직구) 등을 통해 수입·판매되고 있음
- 안전성이 확보되지 않은 부테아 수페르바의 유통관리 필요



■ 특성

- 태국 등지에서 부테아 수페르바가 남성 성기능 향상에 도움이 된다고 알려져 사용하여 왔고, 구강섭취를 통한 혈중 테스토스테론 수치 변화와 발기부전환자의 성기능 향상이 보고됨
- 동물실험에서 과량 섭취 시 유전독성평가에서 안전하지 못하거나 사람과 동물에게 독성을 일으킬 수 있으며, 건강한 남성이 꾸준히 섭취 하였을 경우 성욕증가와 함께 남성 호르몬 수치가 상승하는 등 고안드로겐 혈증을 나타냄
- 주요성분 : Butesuperin A, Butesuperin B

■ 분석법

1. LC-MS/MS 법

○ 전처리 방법

- 표준액 조제 : Butesuperin A, Butesuperin B
→ 일정량 취함 → 100% DMSO 가함 → 최종 농도(약 1 µg/mL)
- 검액 조제 : 약 1 g 취함 → 100% 메탄올 가함 → 30분 진탕 → 50 mL 정용

* DMSO : Dimethyl sulfoxide

○ Analytical condition of HPLC

- Instrument Agilent DE1200
- Column Agilent Pursuit XR_s Ultra C₁₈ (2.1 mm × 100 mm, 2.8 µm)
- Column Temp. 40°C
- Mobile Phase (A) 0.1% Formic acid in Water
(B) 0.1% Formic acid in Acetonitrile

Time(min)	A(%)	B(%)
0.0	90	10
2.0	90	10
2.5	45	55
3.5	45	55
4.5	35	65
6.5	35	65
7.0	0	100
10.0	0	100
10.1	90	10
12.0	90	10

- Flow Rate 0.25 mL/min
- Inj. Volume 2 µL

○ Analytical conditions of LC-MS/MS

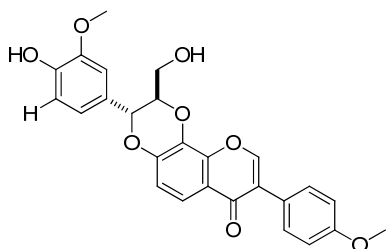
- Instrument AB SCIEX QTRAP 5500
- Ionization Mode ESI (+)
- Curtain Gas 30 psi
- Collision Gas 9 psi
- Ion Voltage 5500 V
- Ion Source Gas 1 50 psi
- Ion Source Gas 2 50 psi
- Source Temp. 450°C



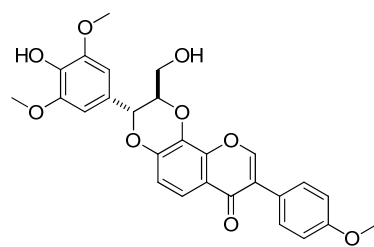
○ Analyte MS/MS transition

Compound	Ion Mode	Precursor ion (<i>m/z</i>)	DP (V)	Product ion (<i>m/z</i>)	CE (V)	CXP (V)
Butesuperin A	+	463.0	50	255.1	47	18
				445.1	29	14
				283.0	37	22
Butesuperin B	+	493.2	41	255.0	51	12
				283.0	39	12
				475.1	29	14

■ 구조식



Butesuperin A
[C₂₆H₂₂O₈]



Butesuperin B
[C₂₇H₂₄O₉]

■ 참고문헌

- Kai Ma, Tsutomu Ishikawa, Hiroko Seki, Kazuo Furihata, Hiroshi Ueki, Shizuo Narimatsu, Yoshihiro Higuchi, and Chaiyo Chaichantipyuth. Isolation of new isoflavanonoligans, Butesuperins A and B, from a thai miracle herb, *Butea superba*. *Heterocycles*. 65(4), 893-900 (2005)
- A Pongpanparadons, S Aritajat and K Saenphet. The toxicology of *Butea superba* Robx. *Southeast Asian J Trop Med Public Health*. 33(3), 155-158 (2002).
- Kamon Chaiyasit and Viroj Wiwnaitkit. Hyperandrogenemia due to ingestion of *Butea superba*. *Indian J Endocrinol Metabol*. 16(3), 485-486 (2012).

2. 유전자 분석법

○ PCR을 위한 주형유전자의 준비

- 유전자추출키트(DNeasy Mini Kit) 이용하여 추출

(재현성 및 검출효율 등을 고려하여 QIAGEN DNA Mini Kits 또는 동등 이상의 제품 사용 가능)

- 검액 조제 :
 - ① 약 100 mg을 취함
 - ② 400 μL 의 Buffer AP1, 4 μL 의 RNase A를 가함
 - Vortex Mixer를 사용하여 균질화
 - 65°C incubator에 2시간 방치
 - ③ 130 μL 의 Buffer AP2 가함
 - Vortex Mixer를 사용하여 균질화
 - 5분간 ice에 방치
 - ④ 원심분리(14,000 rpm, 8분) → 상층액을 취함
 - IAshredder spin column에 넣음
 - 원심분리(14,000 rpm, 2분)
 - ⑤ Column을 통과한 액을 새로운 tube에 옮김
 - 이의 1.5배의 Buffer AP3/E를 가하고 균질화
 - ⑥ 650 μL 를 취함
 - DNeasy Mini spin column에 넣음
 - 원심분리(8,000 rpm, 1분)
 - 통과한 액을 버림
 - ⑦ ⑥ 반복
 - ⑧ Spin column을 새로운 2 mL collection tube에 넣음
 - 500 μL 의 Buffer AW를 가함
 - 원심분리(8,000 rpm, 1분)
 - 통과한 액을 버림
 - ⑨ ⑧번 반복
 - ⑩ Column을 새로운 1.5 mL 또는 2 mL microcentrifuge tube에 옮김
 - 60 μL 의 증류수 가함
 - 15분간 실온에서 방치
 - ⑪ 원심분리(8,000 rpm, 1분)
 - 통과된 액을 취함



- 농도 확인 : DNA 원액을 TE 완충액(pH 8.0) 또는 멸균증류수로 적절히 회석
 - 분광광도계를 사용하여 260 nm에서 흡광도(Absorbance, A) 측정
 - 그 값이 1일 때 DNA 농도가 50 ng/ μ L인 것으로 하여 계산

- 순도 확인 : 230, 260, 280 nm에서 흡광도를 각각 측정
 - A_{260}/A_{280} 과 A_{260}/A_{230} 이 1.7~2.0일 경우 PCR에 적합한 DNA로 판단
 - ※ 단, 가공식품의 경우 이러한 순도 적용이 어려운 경우가 있으므로 반드시 적용되는 것은 아님
 - ※ A_{260}/A_{280} 이 낮아 단백질 유래 불순물의 혼입이 우려되는 경우
 - 단백질 분해효소(protease)로 처리한 후 DNA 회수
 - ※ A_{260}/A_{230} 이 낮을 경우
 - 전분 분해효소(amylose)로 처리한 후 DNA를 회수하여 PCR에 사용

○ Real-time PCR을 위한 프라이머(primer) 및 PNA 프로브(probe) 염기서열

유전자	구분	염기서열(5'-3')	증폭산물 크기(bp)	비고
<i>matK</i>	프라이머	CTACGTAACAAATCCTCTCAG CCGGCTTACTAATGGGATGACC	456	Forward
	프로브	TCTGATTAGTTCATTTGG AATAGAACATCTTGTAGA		Reverse 형광-FAM
AS2	프라이머	CAACACCAAATTGCCAGCTTC AGGCCGTGGCCGCAGATTG	82	Forward Reverse
	프로브	TTGTGCCAAATCAGA		형광-HEX

○ PCR 반응액 조제

- ① 1.5 mL tube에 주형 DNA를 제외한 시약들을 아래와 같은 양을 섞어 반응액을 제조한다. 한 번에 여러 시료를 동시에 실시할 경우에는 각각의 시약에 시료의 수만큼 배수로 반응액을 제조한다(반응액 분주시 부족하지 않도록 여유 있게 준비해야하며, 음성대조군을 포함하여 제조한다).

성분	1회 용량(μL)
주형 DNA	5
2X qPCR PreMix	10
Detection mixture	5

- ② 제조한 반응액을 15 μL 씩 Real-Time PCR용 plate에 분주하고 추출한 주형 DNA 5 μL 를 나중에 넣는다.
- ③ 제외한 반응액과 DNA를 담은 plate는 microplate 전용 원심분리기에서 spin down하여 내용물을 아래쪽으로 모으고 불필요한 공기방울을 제거한다.
- ④ 반응액과 DNA를 담은 plate는 microplate 전용 원심분리기에서 spin down하여 내용물을 아래쪽으로 모으고 불필요한 공기방울을 제거한다.

○ Real-time PCR 반응조건

구분	온도	시간	반복 수
초기변성(Initial denaturation)	95°C	10 min	1
변성(Denaturation)	95°C	30 sec	
결합(Annaling)	58°C	30 sec	45
신장(Extension)	72°C	1 min	
PNA hybridization step	95°C	5 min	1
	75°C	1 min	1
	55°C	1 min	1
	45°C	30 sec	1
Melting step (Plate read step)	25~85°C	increment 1°C 5 sec hold*	1

* 25°C에서부터 1°C씩 올리며 5 sec 기다린 후 형광 검출 과정 수행

○ 결과 확인

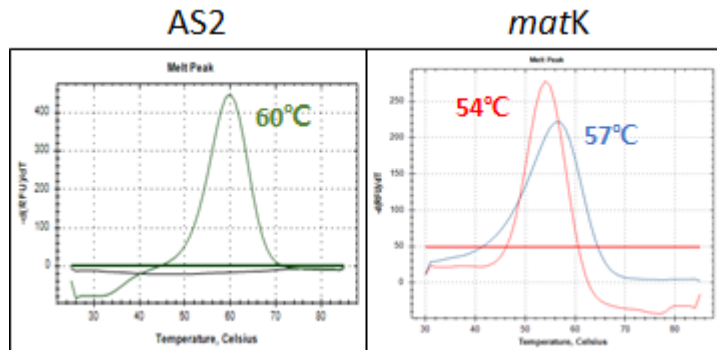
- 결과 확인 : Real-time PCR 장비의 Melt peak 탭에서 melt peak의 Tm 확인



○ 실시간 유전자 증폭산물의 결과 판정

- Melt peak Tm 확인

: 종 특이 프라이머(Species-specific primer) 및 프로브(PNA probe)를 사용한 Real-time PCR 결과 표적 산물의 생성유무를 판단하기 위하여 melt peak의 Tm을 확인하여 제시한 판정표에 따라 부테아 수페르바의 혼입여부를 판별



Target	Gene	Fluorescence	Species
<i>B. superba</i> detection	matK	FAM	<i>B. superba</i> 55~59°C
<i>P. lobata</i> , <i>P. mirifica</i> 구분용	matK	TxR	<i>P. lobata</i> 63~67°C
<i>B. superba</i> detection	AS2	HEX	<i>B. superba</i> 58~62°C

부테아 수페르바 PNA 프로브를 이용한 Real-time PCR 결과

〈 Melt peak Tm을 이용한 부테아 수페르바 혼입판별 판정표 〉

I - 5 ◀ 알러지질환 항히스타민제(36종) 분석법

■ 배경

- 인천공항 비만치료제, 항우울제, 이뇨제, 항히스타민제 등 위해성분이 함유된 불법다이어트 약품 밀수입 여행객 적발('12. 7.)
- 서울시 특별사법경찰(특사경)은 위조, 부정 의약품을 판매한 성인용품 점 23개 적발, 수면제(독실아민), 진정제(디펜히드라민), 항히스타민(클로르페니라민) 성분 등 불법 의약품을 쌈 가격으로 구입하여 폭리를 취함 ('13. 2.)

The screenshot shows two news websites side-by-side. On the left, the Korea Times (세정신문) news page has a headline about seized illegal dietary supplements at Incheon Airport. On the right, news1.co.kr's homepage features a story about the Seoul Special Court of Justice investigating illegal pharmaceutical sales.

■ 특성

- 알레르기 염증 때 분비되는 많은 화학매개체중 히스타민이 가장 중요한 매개체가 되며 알레르기 비염 등 여러 증상을 일으킴. 분비된 히스타민은 히스타민수 용체와 결합하여 혈관을 확장시키고 혈관 투과력을 증가시키며 부교감신경을 자극하여 분비선의 분비를 증가시키고 감각신경의 말단을 자극하여 가려움증, 재채기, 분비물 증가를 일으킴
- 1세대 항히스타민제는 졸음 때문에 치명적인 자동차 사고의 원인이 될 수 있으며 마약이나 죄면제보다 작업장 사고의 위험이 높고 소아에서는 학습 수행능력을 감소시킴
- 2세대 항히스타민제는 중추신경계로의 침투력이 거의 없어 진정작용이 없거나 낮음

■ 분석법

1. HPLC법

○ 전처리 방법

- 표준액 조제 : 표준액 1^{*} Dimenhydrinate 등 22종

표준액 2^{*} Azatadine 등 14종

→ 각각 일정량 취함 → 100% 메탄올 가함 → 최종 농도(약 5~20 µg/mL)

- 검액 조제 : 약 1 g 취함 → 70% 메탄올 가함 → 30분 진탕 → 50 mL 정용

* 표준액1 : Dimenhydrinate (Chlorotheophylline+Diphenhydramine), Desloratadine, Chlorpheniramine maleate, Brompheniramine maleate, Triprolidine hydrochloride, Astemizole, Ketotifen fumarate salt, Epinastine hydrochloride, Olopatadine hydrochloride, Diphenhydramine hydrochloride, Acrivastine, Promethazine hydrochloride, Azelastine hydrochloride, Cyproheptadine hydrochloride sesquihydrate, Hydroxyzine hydrochloride, Fexofenadine hydrochloride, Loratadine, Cetirizine hydrochloride, Levocetirizine dihydrochloride, Clemastine fumarate salt, Terfenadine, Ebastine

* 표준액2 : Azatadine, Dimetindene, Triplettamine, Rupatadine, Carboxamine, Dexbrompheniramine, Mizolastine, Cyclizine, Diphenylpyraline, Pimethixene, Oxatomide, Mequitazine, Thiethylperazine, Deprropine

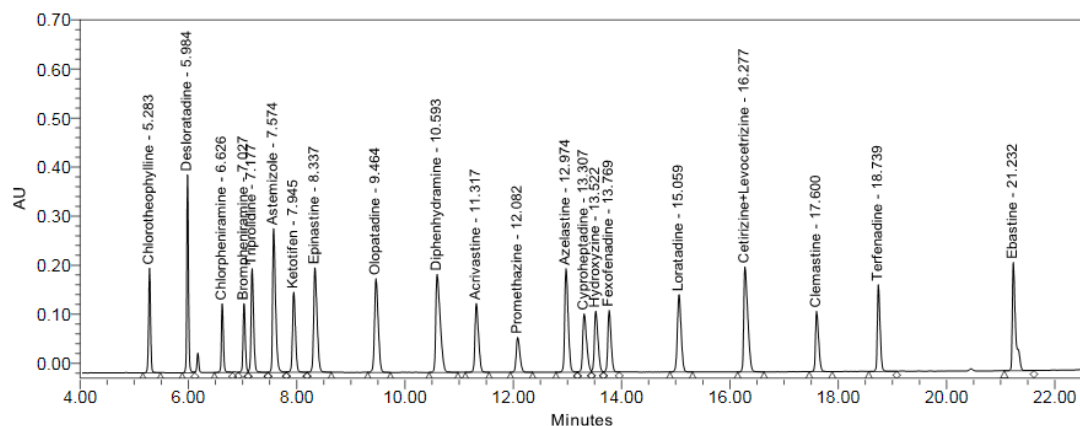
○ Analytical condition of HPLC

- Instrument Waters ACQUITY UPLC
- Column Waters ACQUITY UPLC BEH C₁₈ (2.1 mm × 150 mm, 1.7 µm)
- Column Temp. 40°C
- Mobile Phase (A) 5 mM Sodium phosphate in Water (pH 2.3, H₃PO₄)
(B) 90% Acetonitrile

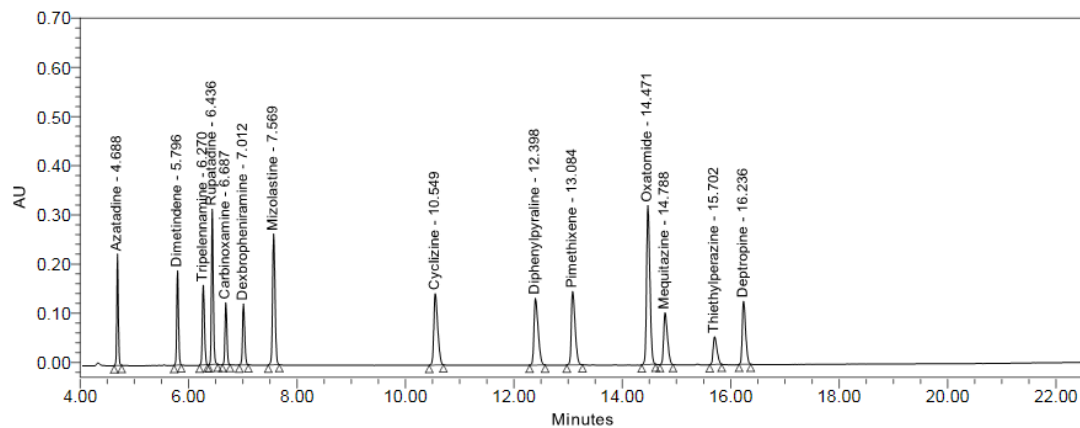
Time (min)	A (%)	B (%)
0.0	90	10
0.8	80	20
3.5	65	35
6.0	65	35
12.8	50	50
17.8	25	75
20.0	0	100
24.0	0	100
24.1	90	10
27.0	90	10

- Flow Rate 0.13 mL/min
- Inj. Volume 2 µL
- UV Detection 205 nm
- PDA Range 190~400 nm

○ Chromatogram

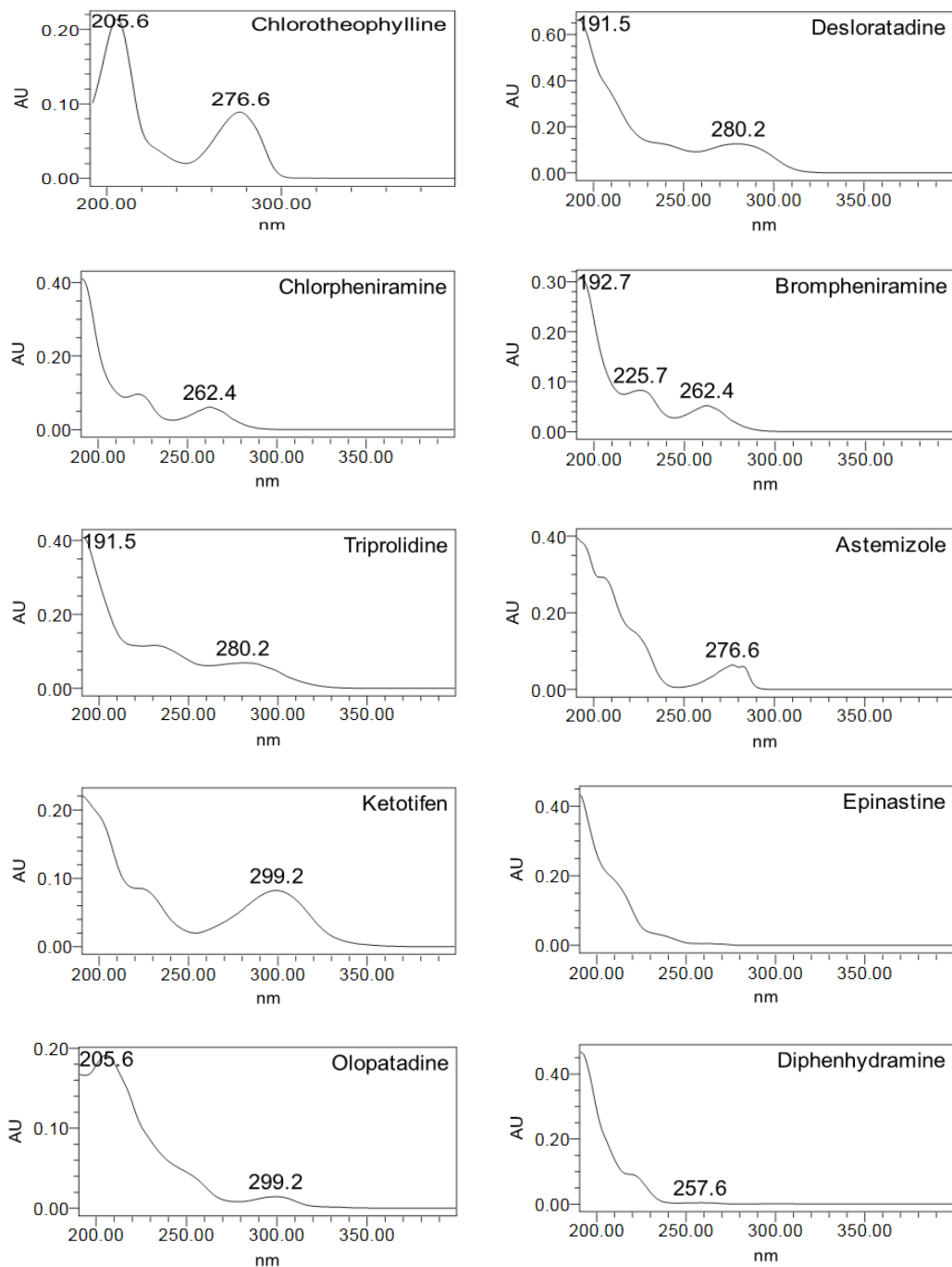


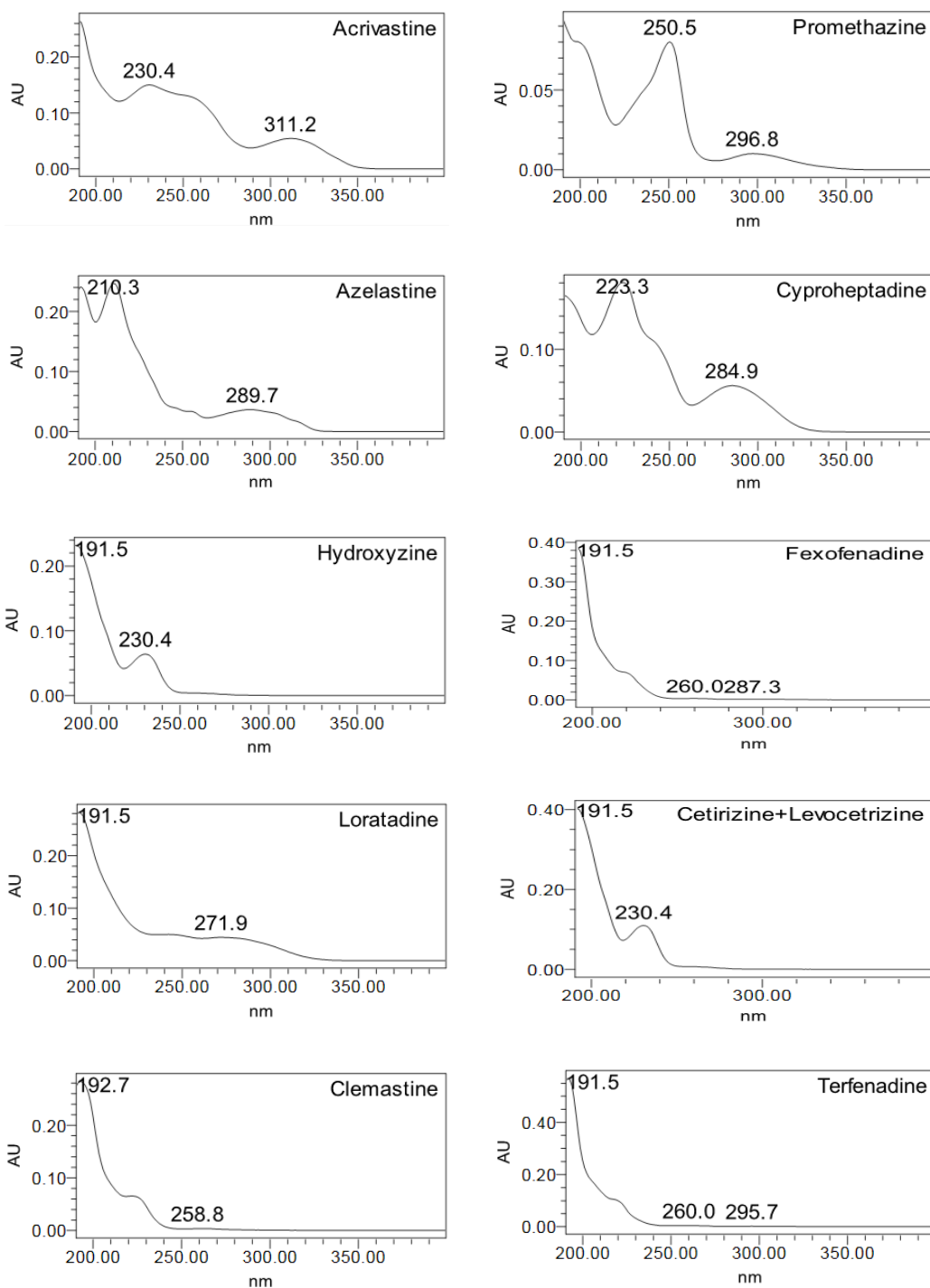
[표준액 1]

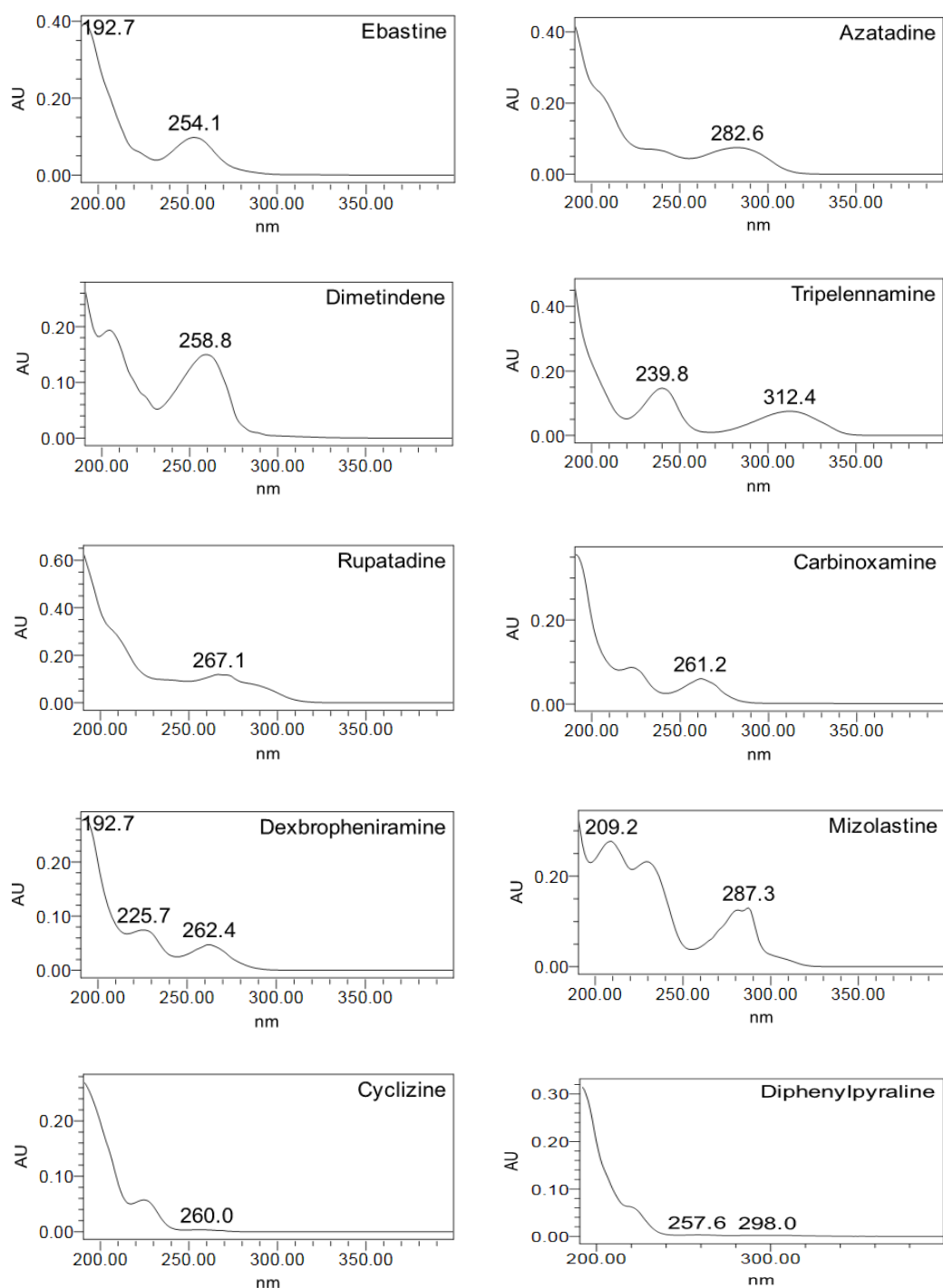


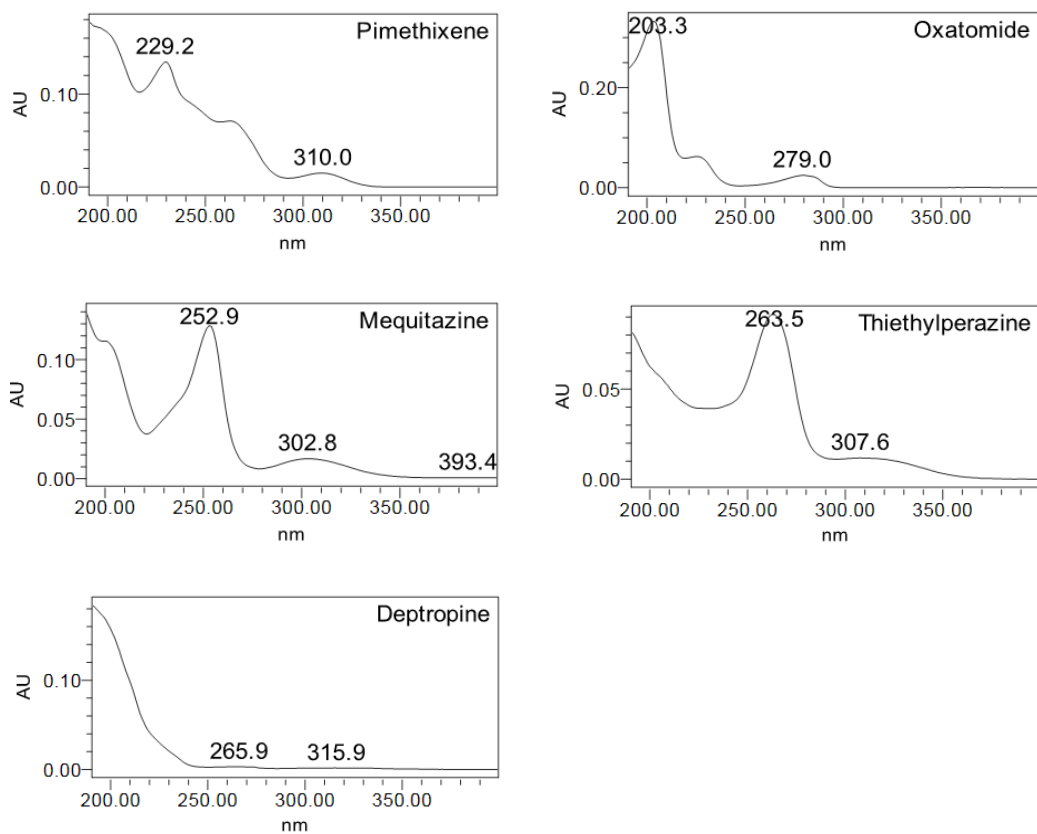
[표준액 2]

○ PDA Spectrum









2. LC-MS/MS법

○ Analytical conditions of HPLC

• Instrument	Waters ACQUITY UPLC																											
• Column	Waters ACQUITY UPLC BEH C ₁₈ (2.1 mm × 100 mm, 1.7 μm)																											
• Column Temp.	30°C																											
• Mobile Phase	(A) 0.1% Formic acid in Water (B) 0.1% Formic acid in Acetonitrile																											
<table border="1" style="width: 100%; border-collapse: collapse;"> <thead> <tr> <th style="text-align: center;">Time (min)</th> <th style="text-align: center;">A (%)</th> <th style="text-align: center;">B (%)</th> </tr> </thead> <tbody> <tr><td style="text-align: center;">0.0</td><td style="text-align: center;">95</td><td style="text-align: center;">5</td></tr> <tr><td style="text-align: center;">2.0</td><td style="text-align: center;">95</td><td style="text-align: center;">5</td></tr> <tr><td style="text-align: center;">3.0</td><td style="text-align: center;">80</td><td style="text-align: center;">20</td></tr> <tr><td style="text-align: center;">10.0</td><td style="text-align: center;">55</td><td style="text-align: center;">45</td></tr> <tr><td style="text-align: center;">11.0</td><td style="text-align: center;">0</td><td style="text-align: center;">100</td></tr> <tr><td style="text-align: center;">12.0</td><td style="text-align: center;">0</td><td style="text-align: center;">100</td></tr> <tr><td style="text-align: center;">12.5</td><td style="text-align: center;">95</td><td style="text-align: center;">5</td></tr> <tr><td style="text-align: center;">15.0</td><td style="text-align: center;">95</td><td style="text-align: center;">5</td></tr> </tbody> </table>		Time (min)	A (%)	B (%)	0.0	95	5	2.0	95	5	3.0	80	20	10.0	55	45	11.0	0	100	12.0	0	100	12.5	95	5	15.0	95	5
Time (min)	A (%)	B (%)																										
0.0	95	5																										
2.0	95	5																										
3.0	80	20																										
10.0	55	45																										
11.0	0	100																										
12.0	0	100																										
12.5	95	5																										
15.0	95	5																										
• Flow Rate	0.25 mL/min																											
• Inj. Volume	2 μL																											

○ Analytical conditions of LC-MS/MS

• Instrument	Waters Xevo TQ
• Ionization Mode	ESI (+)
• Capillary Voltage	3.5 kV
• Desolvation Temp.	200°C
• Desolvation Gas Flow	500 L/Hr (N ₂)
• Cone Gas Flow	50 L/Hr (N ₂)

○ Analyte MS/MS transition

Compound	Ion Mode	Precursor Ion (m/z)	CV (V)	Product Ion (m/z)	CE (eV)
Chlorotheophylline	+	214.90	35	157.92	20
Dimenhydrinate				196.80	15
Diphenhydramine	+	256.22	18	152.06	35
				165.13	35
				167.08	17
				259.01	30
Desloratadine	+	311.05	15	281.93	30
				293.95	35
Chlorpheniramine	+	275.13	25	167.06	37
				201.00	34
				230.05	14
Brompheniramine	+	319.22	25	167.06	42
				245.20	38
				274.12	21
Triprolidine	+	279.29	35	167.07	44
1				193.09	34
				208.17	19
Astemizole	+	459.35	40	135.03	40
				218.15	25
				308.20	25
Ketotifen	+	310.23	30	96.02	20
				213.11	32
Epinastine	+	250.16	50	130.99	34
				193.15	34
				208.17	27
Olopatadine	+	338.29	40	141.06	30
				165.11	26
				247.16	24
Acrivastine	+	349.29	25	232.15	36
				260.17	26
				278.18	16

표
준
액
1

Compound	Ion Mode	Precursor Ion (<i>m/z</i>)	CV (V)	Prodeuct Ion (<i>m/z</i>)	CE (eV)
Promethazine	+	285.22	25	86.05	16
				198.06	22
				240.17	20
Azelastine	+	382.30	30	112.05	24
				159.06	36
				271.15	30
Cyproheptadine	+	288.29	40	191.12	32
				202.17	52
				215.17	42
Hydroxyzine	+	375.32	20	165.05	50
				166.06	40
				201.08	20
Fexofenadine	+	502.46	38	171.15	40
				466.47	30
				484.50	35
Loratadine	+	383.29	38	259.13	36
				267.06	36
				337.21	30
Cetirizine	+	403.05	25	165.97	30
				200.93	25
				367.01	25
Levocetirizine	+	389.00	25	164.98	55
				200.93	20
				130.05	10
Clemastine	+	344.27	20	180.02	33
				215.01	17
				262.10	30
Terfenadine	+	472.32	40	436.20	25
				454.22	20
				167.00	35
Ebastine	+	470.32	35	203.08	30
				302.12	20

표
준
액
1

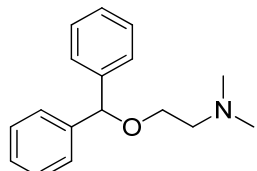
Compound	Ion mode	Precursor Ion (<i>m/z</i>)	CV (V)	Product Ion (<i>m/z</i>)	CE (eV)
Azatadine	+	291.10	25	164.95	45
				232.99	30
				248.00	20
Dimetindene	+	293.10	30	105.95	30
				140.95	35
				247.99	20
Tripelennamine	+	256.10	20	90.95	30
				118.95	30
				211.01	15
Rupatadine	+	416.05	35	105.98	40
				259.00	30
				282.00	20
Carboxinamine	+	291.05	20	308.98	20
				71.98	20
				166.94	30
Dexbrompheniramine	+	319.05	20	201.92	15
				117.98	40
				166.95	40
Mizolastine	+	433.07	40	245.86	30
				273.92	20
				108.95	40
Cyclizine	+	267.08	20	199.00	30
				253.97	30
				308.03	25
Diphenylpyraline	+	282.10	35	114.95	45
				151.94	35
				166.97	15
Pimethixene	+	294.00	35	97.98	30
				166.98	25
				78.96	35
Oxatomide	+	427.11	30	93.98	30
				236.96	20
				262.98	20
				151.97	45
				166.98	20
				259.02	15

표
준
액
2

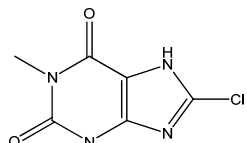
Compound	Ion mode	Precursor Ion (<i>m/z</i>)	CV (V)	Product Ion (<i>m/z</i>)	CE (eV)
Mequitazine	+	323.05	35	78.98	45
				110.00	30
				123.99	25
				113.04	30
Thiethylperazine	+	400.05	30	141.03	20
				237.90	40
				299.90	20
				114.95	40
Deptropine	+	334.10	35	140.00	25
				177.96	45
				193.00	30

표
준
액
2

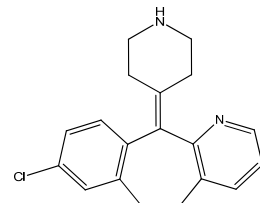
■ 구조식



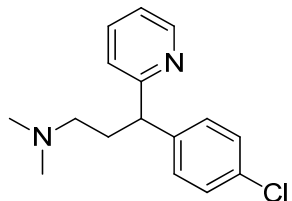
① Diphenhydramine
[C₁₇H₂₁NO]



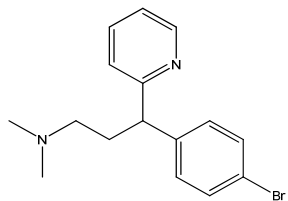
② Chlorotheophylline
[C₇H₇ClN₄O₂]



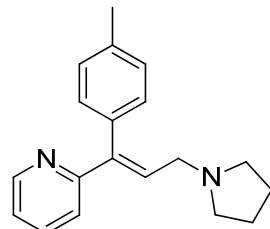
Desloratadine
[C₁₉H₁₉ClN₂]



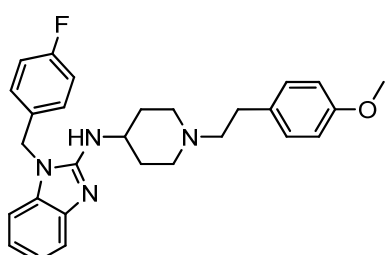
Chlorpheniramine
[C₁₆H₁₉ClN₂]



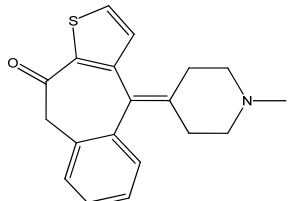
Brompheniramine
[C₁₆H₁₉BrN₂]



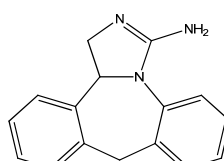
Triprolidine
[C₁₉H₂₂N₂]



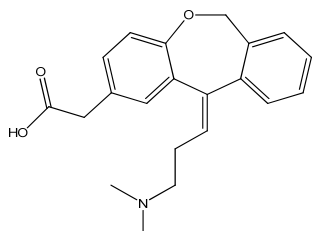
Astemizole
[C₂₈H₃₁FN₄O]



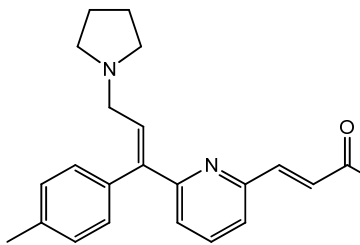
Ketotifen
[C₁₉H₁₉NOS]



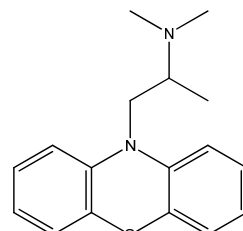
Epinastine
[C₁₆H₁₅N₃]



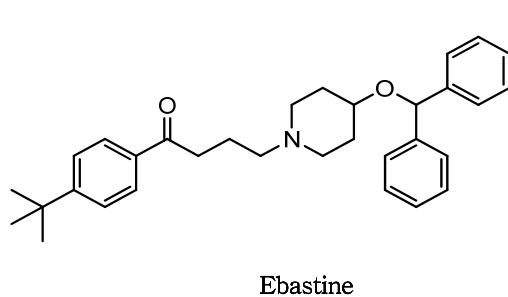
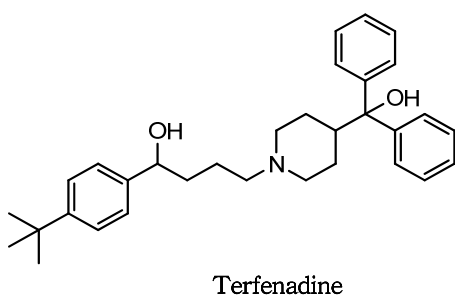
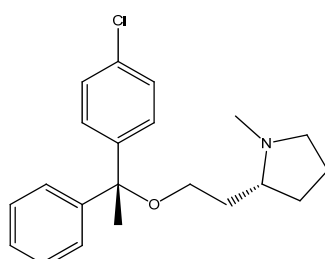
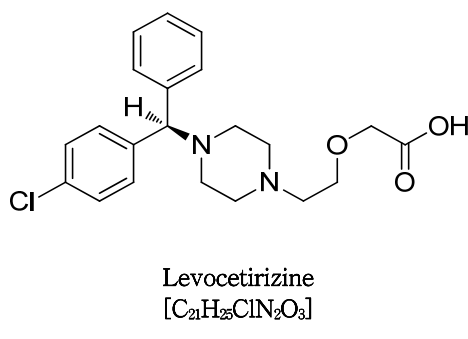
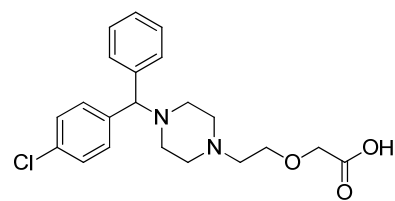
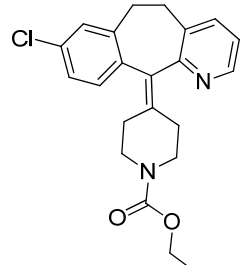
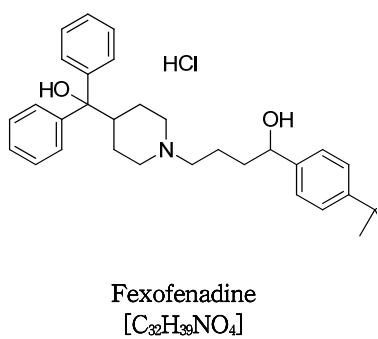
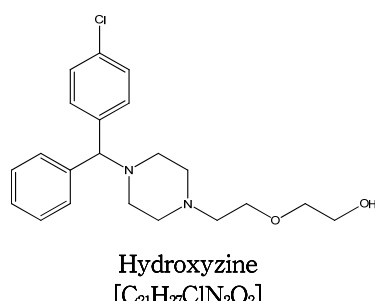
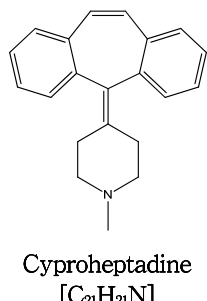
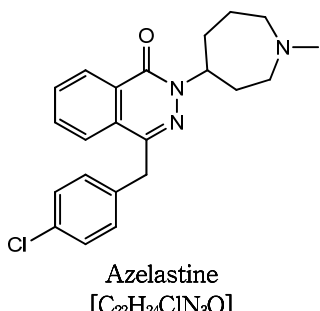
Olopatadine
[C₂₁H₂₃NO₃]

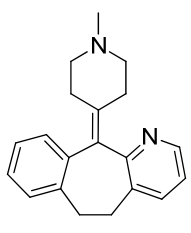


Acrivastine
[C₂₂H₂₄N₂O₂]

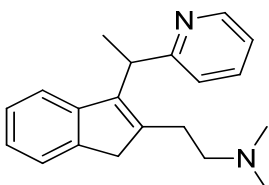


Promethazine
[C₁₇H₂₀N₂S]

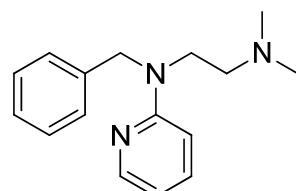




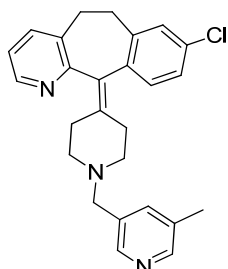
Azatadine
[C₂₀H₂₂N₂]



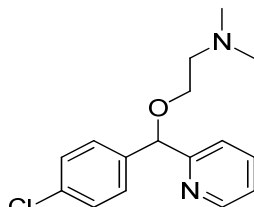
Dimetindene
[C₂₀H₂₄N₂]



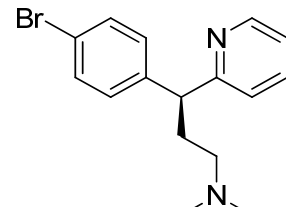
Tripeleannamine
[C₁₆H₂₁N₃]



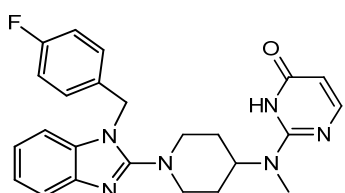
Rupatadine
[C₂₆H₂₆ClN₃]



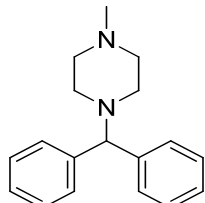
Carbinoxamine
[C₁₆H₁₉ClN₂O]



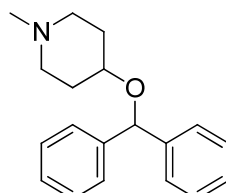
Dexbrompheniramine
[C₁₆H₁₉BrN₂]



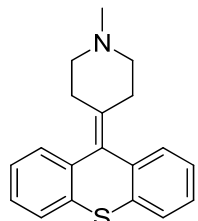
Mizolastine
[C₂₄H₂₅FN₆O]



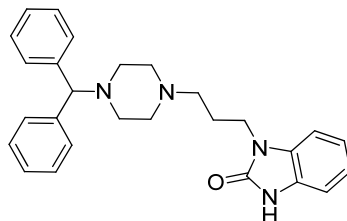
Cyclizine
[C₁₈H₂₂N₂]



Diphenylpyraline
[C₁₉H₂₃NO]

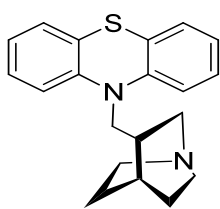


Pimethixene
[C₁₉H₁₉NS]

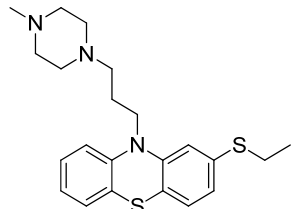


Oxatomide
[C₂₇H₃₀N₄O]

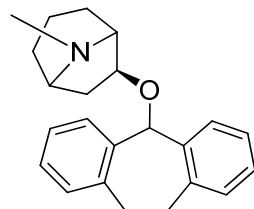




Mequitazine
[C₂₀H₂₂N₂S]



Thiethylperazine
[C₂₂H₂₈N₂S₂]



Deptropine
[C₂₃H₂₇NO]

■ 참고문헌

1. Kim JY, Do JA, Chol JY, Cho SY, Kim WS, Yoon CY. Development and validation of an ultra-performance liquid chromatography method for simultaneous analysis of 20 antihistaminics in dietary supplements. *Biomedical Chromatography*. (2014)
2. Mueller CA, Weinmann W, Dresen S, Schreiber A and Gergov M. Development of a multi-target screening analysis for 201 drugs using a QTrap liquid chromatography/tandem mass spectrometry system and automated library searching. *Rapid commun. mass spectrom.* 19, 1332-1338 (2005)
3. Fente CA, Regal P, Vazquez BI, Feas X, Franco CM and Cepeda A. Development and Validation of an LC-MS/MS Confirmatory Method for Residue Analysis of Cyproheptadine in Urine of Food-Prodeucing Animals. *J. Agric. Food Chem.* 57, 2595-2598 (2009)
4. Zhu YR, Jia YY, Jiang L, Wang C, Ding LK, Yang J, Li L, Zhao PX, Liu WX, Ding Y, Wang L, Wen AD. Determination of azatadine in human plasma by liquid chromatography/tandem mass spectrometry. *Journal of Chromatography B.* 879, 2189-2193 (2011)
5. Nawab Sher, Farhan Ahmed Siddiqui, Najmul Hasan, Nighat Shafi, Arif Zubaird and Agha Zeeshan Mirza. Simultaneous determination of antihistamine anti-allergic drugs, cetirizine, domperidone, chlorphenamine maleate, loratadine, meclizine and buclizine in pharmaceutical formulations, human serum and pharmacokinetics application. *Analtical methods.* 6, 2704-2714 (2014)

I -6 ◀ 주류 중 Potassium aluminium silicate 분석법

■ 배경

- 국내에서 식용으로 사용할 수 없는 식품첨가물인 Potassium aluminium silicate이 함유된 주류제품 (일명: 우주술)을 불법제조 및 인터넷 블로그나 중고거래 인터넷을 통해 몰래 판매한 일당이 적발 ('15. 10.)
- 허용되지 않는 식품첨가물을 사용한 수입 과실주 회수 조치('17. 2.)



■ 특성

- Potassium aluminium silicate는 식품 중 착색보조의 목적으로 사용되는 첨가물로서, Titanium dioxide와 Iron oxide의 코팅에 따라 3가지로 분류 (Type 1: Titanium dioxide, Type 2: Iron oxide, Type 3: Titanium dioxide와 Iron oxide)
- 현재 국내에서는 식품첨가물로 지정되지 않음(일본, 중국에서도 허용금지)

■ 분석사례

- L;CURE (무허가제조): Potassium aluminium silicate 검출
- PLATINUM, MAVAM (수입과일주): Potassium aluminium silicate 검출

■ 분석법

1. XRF, XRD법

○ 전처리 방법

- 시료 채취 : 주류 전량 취함 → 여과지(Whatman No.1)로 감압 여과 → 30분 건조 (105°C)
 - XRF: 여과된 건조물을 시료대 위에 올립
- → XRD: 여과된 건조물을 샘플홀더 위에 올립

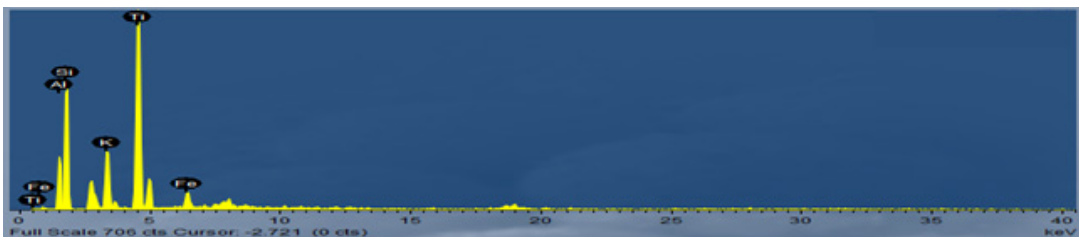
○ Analytical condition of XRF

• Instrument	Horiba Scientific, XGT-7200
• Acquisition Time	300 s
• XGT Diameter	10 μm
• X-ray tube voltage	50 kV
• Current	1,000 mA
• Analysis object range	^{11}Na ~ ^{92}U (K, Al, Si)

- X-선 발생기 확인 조건

XGT	구분	Cu-K α (ROI:7.82~8.25 keV)		Al-K α (ROI:1.33~1.63 keV)	
		Vaccum	VAC C (Chamber)	VAC C (Chamber)	VAC P (Probe)
		Power	50 kV, 1 mA(10 μm)/ 0.5 mA(100 μm)	50 kV, 1 mA	50 kV, 1 mA
		Cond.	100 sec / P3		
10 μm	허용범위		> 2,000 cps/mA	> 100 cps/mA	> 50 cps/mA
100 μm	허용범위		> 12,000 cps/mA	> 1,000 cps/mA	> 500 cps/mA

- 대표적인 XRF 스펙트럼



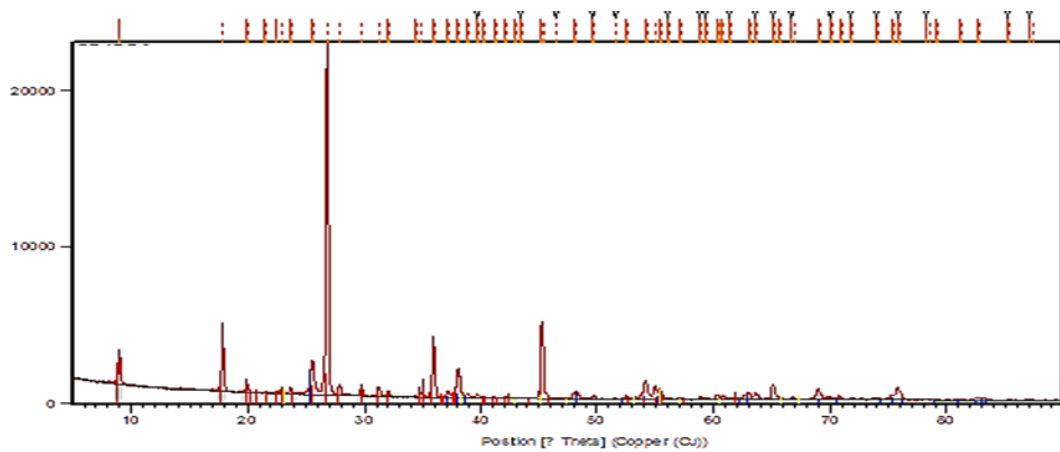
○ Analytical condition of XRD

• Instrument	NL/X'Pert PRO MPD, PANalytical
• Configuration	Spinner Stage
• Anode Material	CuK α ,
• Generator Voltage	40 kV
• Tube Current	40 mA
• Scan Axis	Gonio
• Filter	Ni
• Scan step size	0.017°
• Time per step	50 s
• Diffraction Degree	5° ~ 90°

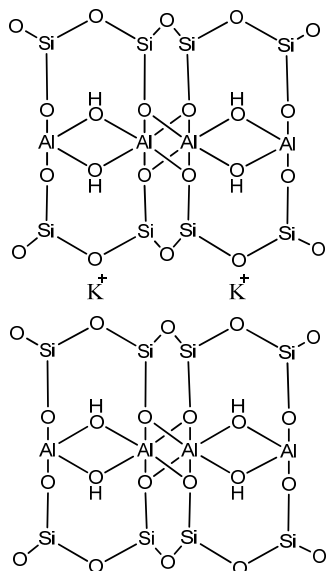
- Potassium aluminium silicate의 대표적인 회절파크

No.	d [Å]	2θ [°]	허용범위[°]
1	10.02320	8.815	
2	5.00031	17.723	
3	3.33111	26.741	± 0.2°
4	2.49798	35.922	
5	1.99766	45.362	

- 대표적인 XRD 스펙트럼



■ 구조식



Potassium aluminium silicate
 $\text{KA1}_2[\text{AlSi}_3\text{O}_{10}](\text{OH})_2$

■ 참고문헌

1. Potassium aluminium silicate: JECFA Chemical and Technical Assessment (CTA) _ Potassium aluminium silicate-based pearlescent pigments, Types I, II, and III. (2013)
2. Guggenheim, S., Chang, Y.-H., Koster-van Groos, A.F., Muscovite dehydroxylation: High temperature studies, *American Mineralogist*. 72, 537-550 (1987)

I - 7

화장품(립스틱류) 중 타르색소[21종] 분석법

배경

- 발암논란 타르색소인 적색 2호, 적색 102호 2종 영유아 화장품에 사용 금지 ('16.02.)
- 일부 국내 기업 타르색소 사용으로 해당품목 판매업무정지, 광고업무 정지 등 행정처분 ('14.01.)
- 미국산 립밤에서 사용 금지된 타르 색소 '적색 225호'가 검출되어 판매 금지 및 회수 조치 ('12.09.)

발암논란 타르색소 2종 영유아 화장품 사용금지

(서울=연합뉴스) 서한기 기자 = 적색 2호와 적색 102호 등 타르 색소 2종은 영유아용 화장품에 사용하지 못한다.

식품의약품안전처는 이런 내용의 '화장품의 색소 종류와 기준 및 시험방법'을 일부 개정해 고시하고, 3월말부터 시행한다고 25일 밝혔다.

식약처 화장품정책과는 "영유아는 '손 뺄기' 등을 통해 이들 타르 색소를 먹을 우려가 있는 등 안전성 논란이 있어 안전관리 강화차원에서 영유아용 제품에는 사용 금지하기로 했다"고 설명했다.

아름다운화장품 6개월 판매업 무정지 행정처분

식약처, 미고시 타르색소 사용 제품 수입 적발

이나리 기자 narilee@cosinkorea

기사 입력 2014-01-06 14:50

[코스인코리아닷컴이나리 기자] 식품의약품안전처(처장 정승)는 아름다운화장품, 화이, 라비비디 리젠크스-메릭, 광덕신약, 피토스 등 6개 기업은 화장품법 위반으로 판매업무정지, 광고업무정지 등 행정처분을 공포했다.

식품의약품안전처 화장품 행정처분 내용

업체명	소재지	제품명	위반내용	처벌처분내용
주)여름다운 화장품	충남 천안시	레몬 드 프로페셔널 세럼 아ква이브 블론드 디태그 명 컨디셔너	○ '화장품의 타르색소와 기준 및 시험방법'시행처(고시)에 저정·고시되지 않은 타르색소인 'CI 42520(Basic Violet 2)'이 사용된 수입화장품 '레몬 드 프로페셔널 아워워터 컨디셔너' 2013.10.19 수입하여 유통한 것	해당 품목판매업무 정지 6개월
(주)화이	광주광역시 동구	노도피 보습크림	의약품으로 오인할 수 있는 문구인 '아동'과 '기장 NO', 피부에 존재하는 아도비 유 범구이 완전 액체되어 전혀 성장하지 못함을 볼 수 있다.' 등의 광고를 하여 판매 한 사실이 있음	해당 품목 광고업무 정지 3개월

▲ 자료 출처 : 식품의약품안전처

특성

- 화장품에 사용할 수 있는 타르색소는 총 81종으로 화장품의 유형별 또는 사용부위에 따라 제한적으로 사용할 수 있도록 기준을 정하고 있음 [고시 제2016-49호] 화장품의 색소 종류와 기준 및 시험방법
- 이 중 눈 주위 및 입술에 사용 금지 및 염모용 화장품에만 사용할 수 있는 색소 등 54종이 사용제한 품목으로 지정되어 있음

■ 분석법

1. UPLC법

○ 전처리 방법

- 표준액 조제 : 표준액 1* Pyranine conc 등 15종
 - 각각 일정량 취함 → 100% 중류수 가함(1,000 µg/mL)
 - 20% 메탄올을 가함 → 최종 농도(약 5~30 µg/mL)
- 표준액 2* Tetrabromofluorescein 등 6종
 - 각각 일정량 취함 → 100% 클로로포름 가함(1,000 µg/mL)
 - 100% 메탄올을 가함 → 최종 농도(약 5~15 µg/mL)
- 검액 조제 : ① 약 0.2 g 취함 → 20% 메탄올:100% 클로로포름(9:1) 50 mL 가함
 - 30분 진탕 → 원심분리(3,000 rpm, 5분)
 - ② 「①」의 메탄올총 전량을 취함, 약 45 mL → 20% 메탄올을 가함
 - 50 mL 정용 → 실린지필터(0.2 µm PDVE) 여과
 - 최종검액(A)(표준액 1로 분석)
 - ③ 「①」의 클로로포름총, 약 5 mL
 - SPE(Solid Phase Extraction, HLB C₁₈ 500 mg)
 - Conditioning(중류수, 5 mL) → Equilibration(100% 메탄올, 5 mL)
 - Loading(「①」의 클로로포름총, 약 5 mL)
 - Elution(메탄올:아세토니트릴(1:1), 45 mL)
 - 메탄올:아세토니트릴(1:1) 가함 → 50 mL 정용
 - 실린지 필터(0.2 µm PDVE) 여과
 - 최종검액(B)(표준액 2로 분석)

* 표준액 1 : Pyranine conc, Tartrazine, Amaranth, Indigo carmine, New coccine, Naphthol yellow S, Sunset yellow FCF, Fast acid magenta, Allura red AC, Uranine, Ponceau SX, Brilliant blue FCF, Eosine YS, Orange II, Alizurol purple

* 표준액 2 : Tetrabromofluorescein, Tetrachlorotetrabromofluorescein, Quinoline yellow SS, Alizurine purple SS, Sudan III, Quinizarine green SS

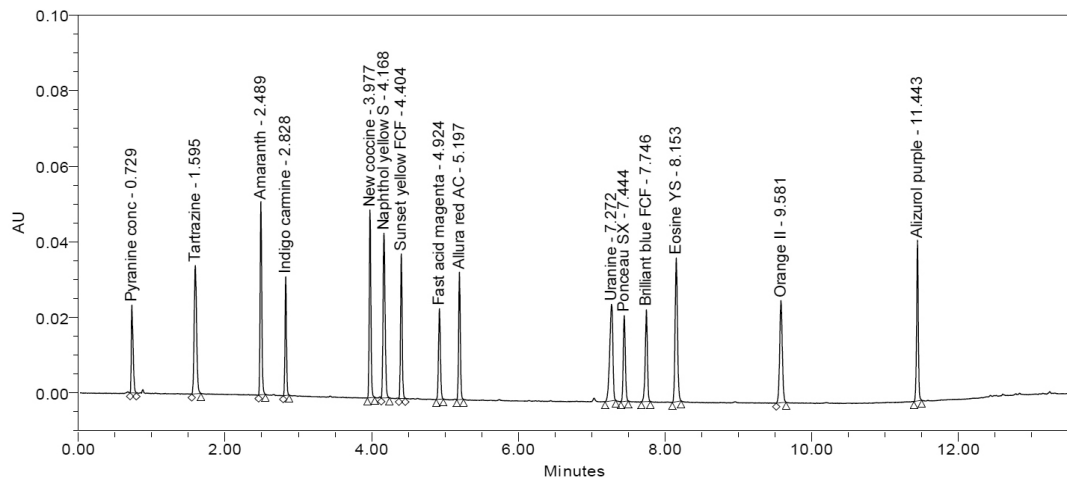
○ Analytical conditions of HPLC

- | | |
|----------------|--|
| • Instrument | Waters ACQUITY UPLC |
| • Column | Waters ACQUITY UPLC BEH C ₁₈ (2.1 mm × 100 mm, 1.7 μm) |
| • Column Temp. | 40°C |
| • Mobile Phase | (A) 10 mM Ammonium formate in Water
(B) Acetonitrile : Methanol = 1 : 1 |

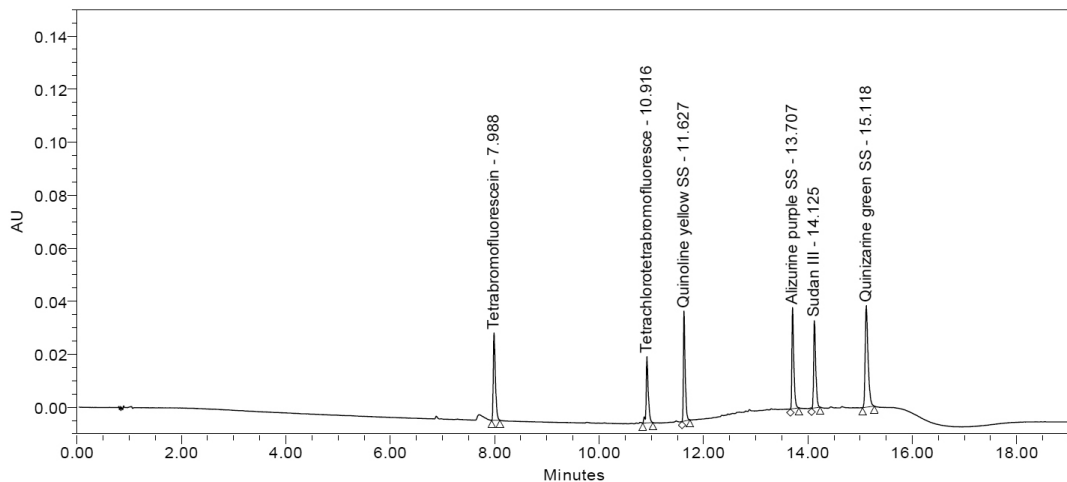
Time (min)	A (%)	B (%)
0.0	95	5
6.0	60	40
9.0	45	55
11.0	5	95
14.0	5	95
16.0	95	5
19.0	95	5

- | | |
|----------------|------------|
| • Flow Rate | 0.3 mL/min |
| • Inj. Volume | 1 μL |
| • UV Detection | 254 nm |
| • PDA Range | 190~700 nm |

○ Chromatogram

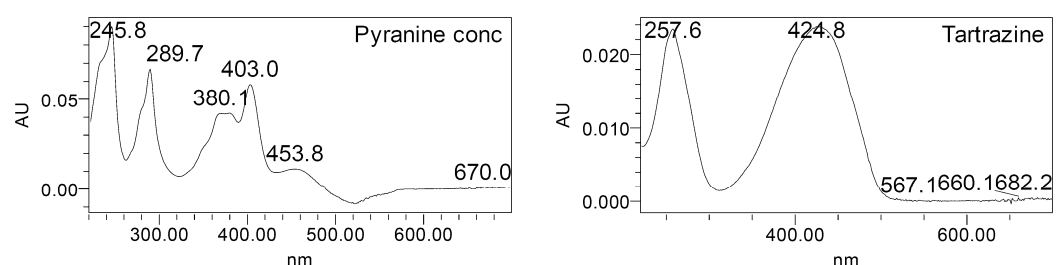


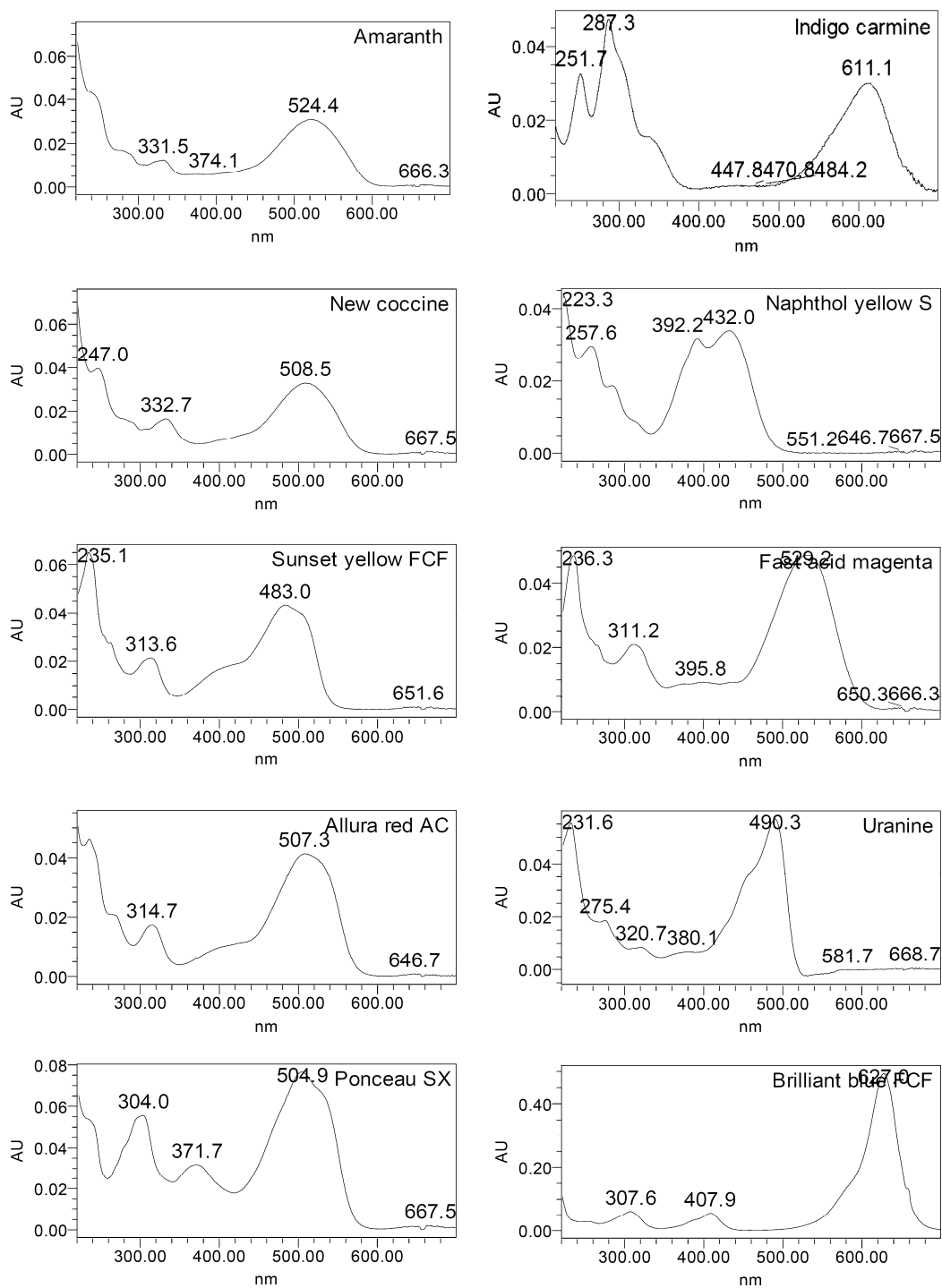
[표준액 1]

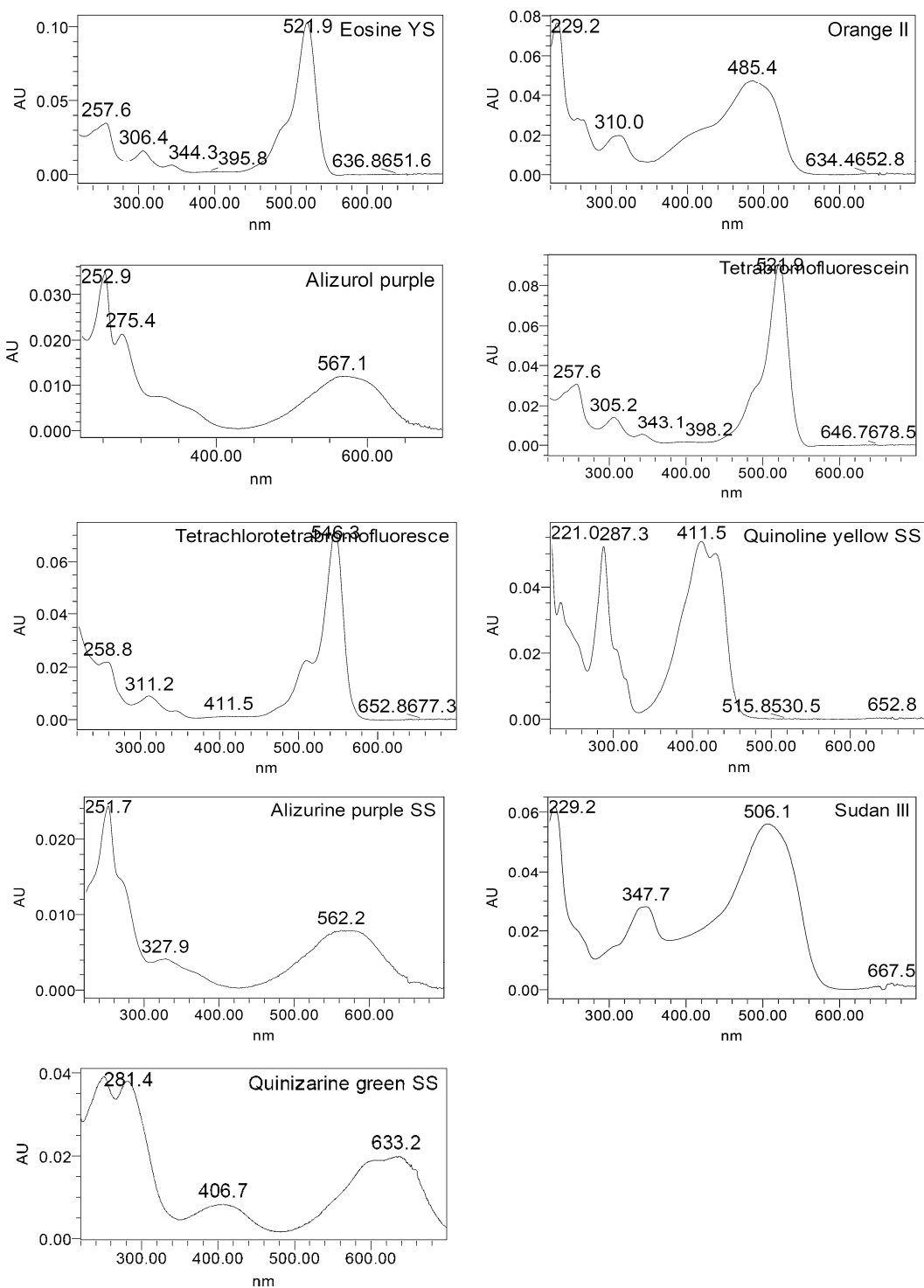


[표준액 2]

○ PDA Spectrum







2. LC-MS/MS법

○ Analytical conditions of HPLC

• Instrument	UPLC Waters ACQUITY UPLC
• Column	Waters ACQUITY UPLC BEH C ₁₈ (2.1 mm × 100 mm, 1.7 μm)
• Column Temp.	40°C
• Mobile Phase	(A) 10mM Ammonium formate in Water (B) Acetonitrile : Methanol = 1 : 1

Time (min)	A (%)	B (%)
0.0	95	5
4.0	60	40
6.0	30	70
8.0	5	95
10.0	5	95
12.0	95	5
15.0	95	5

• Flow Rate	0.3 mL/min
• Inj. Volume	2 μL

○ Analytical conditions of LC-MS/MS

• Instrument	Waters Xevo TQ
• Ionization Mode	ESI (+), (-)
• Capillary Voltage	2.6 kV
• Desolvation Temp.	400°C
• Desolvation Gas Flow	800 L/Hr (N ₂)
• Cone Gas Flow	0 L/Hr (N ₂)



○ Analyte MS/MS transition

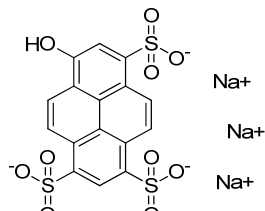
Compound	Ion Mode	Precursor Ion (<i>m/z</i>)	CV (V)	Product Ion (<i>m/z</i>)	CE (V)
Pyranine conc	-	227.89 ^{a)}	20	79.89	20
				187.97	15
Tartrazine	-	232.96 ^{a)}	10	79.89	30
				197.95	15
Amaranth	-	267.94 ^{a)}	25	141.99	35
				205.99	20
				233.99	15
Indigo carmine	-	421.19 ^{b)}	40	261.21	35
				277.21	35
				341.21	25
New coccine	-	267.93 ^{a)}	15	157.95	25
				205.98	10
				221.98	20
Sunset yellow FCF	-	407.22 ^{b)}	40	171.06	35
				207.10	30
				327.21	25
표준액 1	-	313.14 ^{b)}	40	173.09	30
				233.14	25
				296.13	20
Fast acid magenta	-	422.23 ^{b)}	35	185.12	35
				249.14	25
				317.12	25
Allura red AC	-	451.24 ^{b)}	35	207.10	30
				371.26	25
				170.08	40
Ponceau SX	-	435.24 ^{b)}	30	199.11	35
				355.28	20
				170.06	55
Brilliant blue FCF	-	747.49 ^{b)}	40	561.39	45
				202.20	50
				231.22	40
Uranine	+	333.29 ^{c)}	50	287.27	35
				441.14	35
				519.07	30
Eosine YS	-	643.02 ^{b)}	35		

	Compound	Ion Mode	Precursor Ion (<i>m/z</i>)	CV (V)	Product Ion (<i>m/z</i>)	CE (V)
표준액 1	Orange II	-	327.21 ^{b)}	35	156.04	30
					171.07	25
					247.23	20
					185.11	30
표준액 2	Alizurol purple	-	408.28 ^{b)}	40	310.26	30
					328.29	25
					487.16	45
					538.09	40
표준액 2	Tetrabromofluorescein	+	645.06 ^{e)}	40	656.94	30
					700.92	25
					217.23	35
					228.23	30
표준액 2	Quinoline yellow SS	+	274.28 ^{e)}	35	256.24	25
					210.17	30
					238.20	25
					312.31	25
표준액 2	Alizurine purple SS	+	330.34 ^{e)}	35	197.17	25
					218.19	25
					313.31	30
					328.34	35
표준액 2	Quinizarine green SS	+	419.42 ^{e)}	45	404.39	30

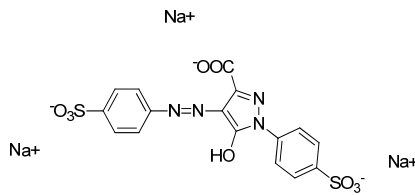
^{a)} [(M-nNa+nH)-H]²⁻, ^{b)} [(M-nNa+nH)-H]⁻, ^{c)} [(M-nNa+nH)+H]⁺, ^{d)} [M-H]⁻, ^{e)} [M+H]⁺



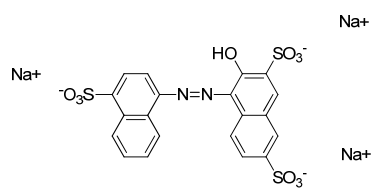
■ 구조식



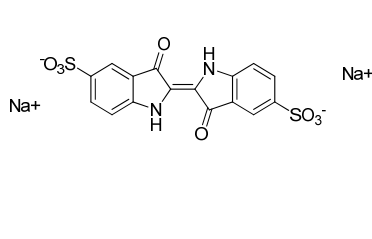
Pyranine conc
[C₁₆H₇Na₃O₁₀S₃]



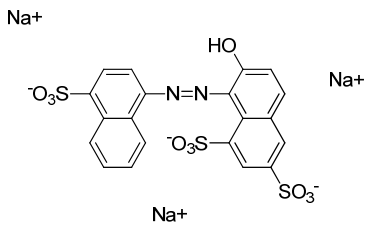
Tartrazine
[C₁₆H₉N₄Na₃O₉S₂]



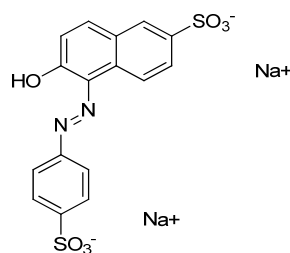
Amaranth
[C₂₀H₁₁N₂Na₃O₁₀S₃]



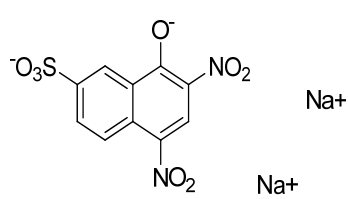
Indigo carmine
[C₁₆H₈N₂Na₂O₈S₂]



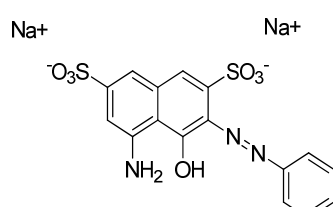
New coccine
[C₂₀H₁₁N₂Na₃O₁₀S₃]



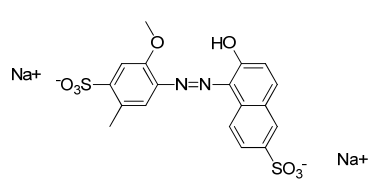
Sunset yellow FCF
[C₁₆H₁₀N₂Na₂O₇S₂]



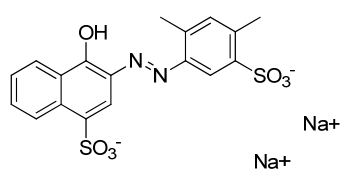
Naphthol yellow S
[C₁₀H₄N₂Na₂O₈S]



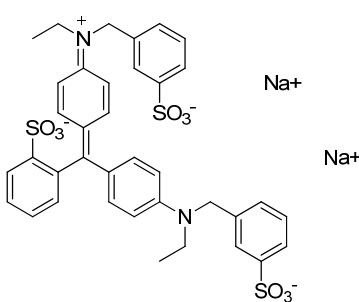
Fast acid magenta
[C₁₆H₁₁N₃Na₂O₇S₂]



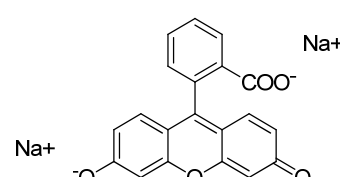
Allura red AC
[C₁₈H₁₄N₂Na₂O₈S₂]



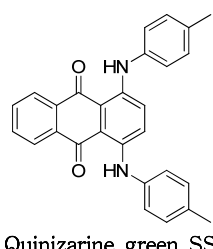
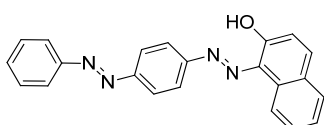
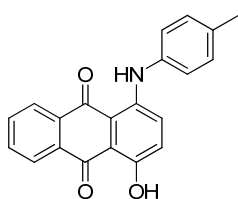
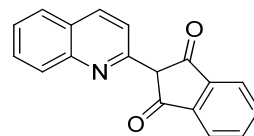
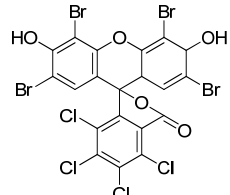
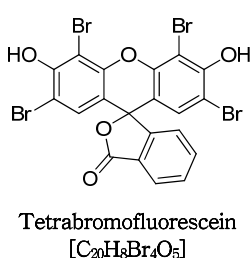
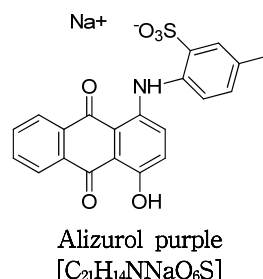
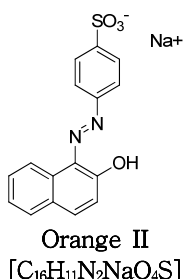
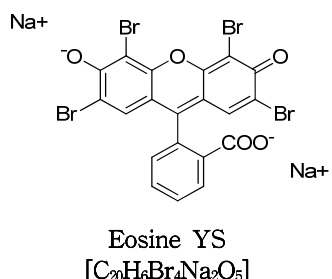
Ponceau SX
[C₁₈H₁₄N₂Na₂O₇S₂]



Brilliant blue FCF
[C₃₇H₃₄N₂Na₂O₉S₃]



Uranine
[C₂₀H₁₀Na₂O₅]



■ 참고문헌

1. Yanping Xian, Yuluan Wu, Xindong Guo, Yujing Lu, Haiying Luo, Donghui Luo, Yiguang Chen. Simultaneous determination of 11 restricted dyes in cosmetics by ultra high-performance liquid chromatography/tandem mass spectrometry. *Anal. Methods.* 5, 1965-1974 (2013)
2. Xiu Qin Li, Qing He Zhang, Kang Ma, Hong Mei Li, Zhen Guo. Identification and determination of 34 water-soluble synthetic dyes in foodstuff by high performance liquid chromatography-diode array detection-ion trap time-of-flight tandem mass spectrometry. *Food Chemistry.* 182, 316-326 (2015)
3. Chia-Fen Tsai, Ching-Hao Kuo, Daniel Yang-Chin Shin. Determination of 20 syntetic dyes in chili powders and syrup-preserved fruits by liquid chromatography/ tandem mass spectrometry. *J. Food Drug Anal.* 23, 453-462 (2015)

II-1

국소마취관련성분(14종) 분석법

■ 배경

- 리도카인이 함유된 무허가 의약외품(STALLION)이 불법 판매된 사례 발생 ('13. 1.)
- 국소마취제(사정지연제) 1000만 개를 불법으로 제조, 판매한 일당 검거('15. 3.)
- 수술 앞두고 마취 크림 발랐는데… 호흡곤란으로 중환자실행('17. 7.)



■ 특성

- 리도카인은 표면마취나 촉각을 둔감하게 할 수 있어 남성 사정지연 및 조루억제 효과가 있을 수 있음
- 문제된 제품은 정상적인 품질관리 절차를 거쳐 제조된 것이 아니므로 과량 사용 시 국소 피부질환, 발기부전, 성욕감퇴 등 발생할 수 있으며, 의사 처방 없이 사용하면 쇼크현상과 심장기능에 부작용이 있을 수 있음

■ 분석 사례

- STALLION: Menthol 0.031 mg/포 검출
2-Phenoxyethanol 0.212 mg/포 검출
Lidocaine 2.81 mg/포 검출
- 금당2호 주사약: Procaine 2.29 mg/g 검출

■ 분석법

1. GC

○ 전처리 방법

- 표준액 조제 : Menthol 등 14종*

→ 각각 일정량 취함 → 100% 메탄을 가함 → 최종농도(약 20~40 µg/mL)

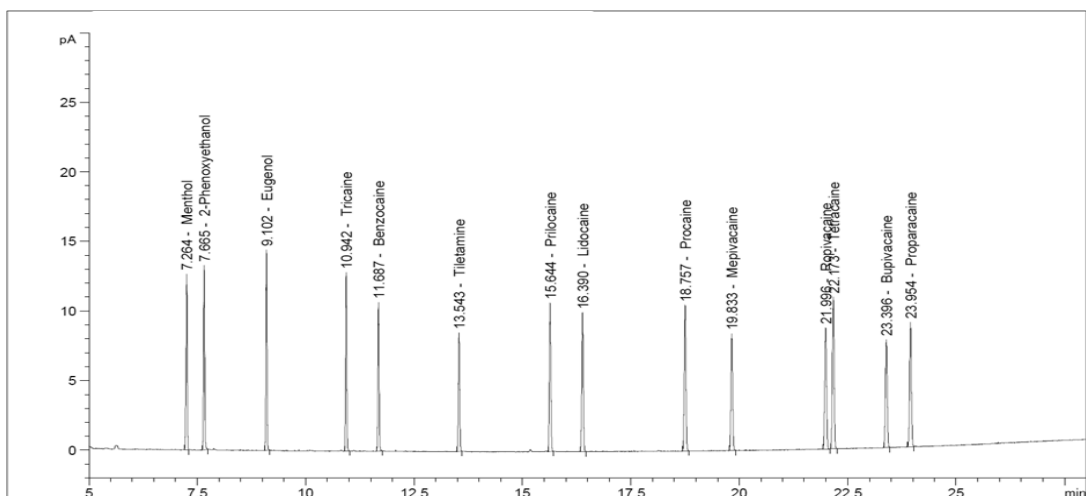
- 검액 조제 : 약 1 g 취함 → 100% 메탄을 가함 → 30분 진탕 → 50 mL 정용

* 표준액 : Menthol, 2-Phenoxyethanol, Eugenol, Ethyl 3-aminobenzoate methanesulfonate (Tricaine mesylate), Benzocaine, Tiletamine hydrochloride, Prilocaine hydrochloride, Lidocaine, Procaine hydrochloride, Mepivacaine hydrochloride, Ropivacaine, Tetracaine hydrochloride, Bupivacaine hydrochloride, Proparacaine hydrochloride

○ Analytical conditions of GC

• Instrument	Agilent, 7890A, GC
• Column	J&W DB-5 (50 m × 0.25 mm, 0.25 µm)
• Temp.	100°C → 15°C/min → 200°C → 5°C/min → 300°C (8 min)
• Inj. Temp.	250°C
• Inj. Mode	Split ratio (10:1)
• Carrier Gas	N ₂ , 1.0 mL/min
• Inj. Volume	1 µL
• Det. Temp.	300°C

○ Chromatogram



2. GC/MS 법

○ Analytical conditions of GC

• Instrument	Agilent, 7890A
• Column	Agilent HP 5MS (30 m × 0.25 mm, 0.25 μm)
• Oven Temp.	100°C → 15°C/min → 200°C → 10°C/min → 300°C (8 min)
• Inj. Temp.	250°C
• Transfer Line	280°C
• Inj. Mode	Split ratio (10:1)
• Carrier Gas	He, 1 mL/min
• Inj. Volume	1 μL

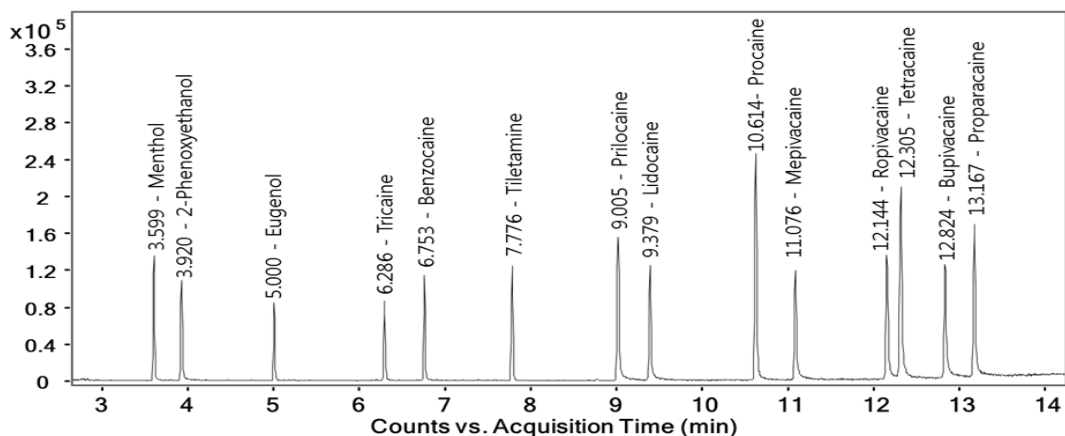
○ Analytical condition of GC/MS : SIM and Scan

• Instrument	Agilent, GC/MSD, 5975C
• Ionization Mode	EI
• Ionization Energy	70 eV
• Source Temp.	230°C
• Quad Temp.	150°C
• Mass Mode	SIM and Scan
• Scan Range	50~500 amu
• SIM Dwell Time	100 ms

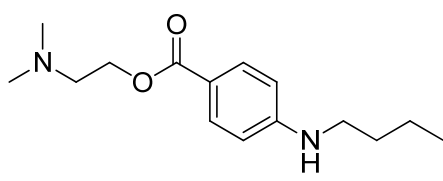
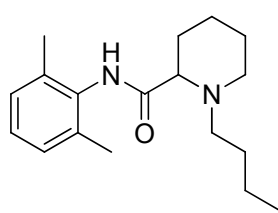
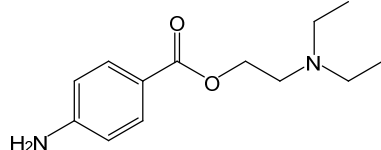
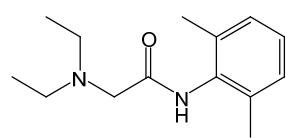
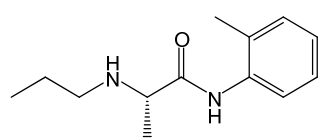
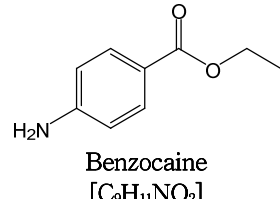
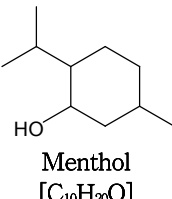
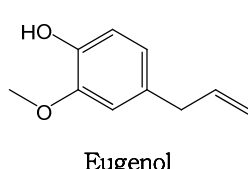
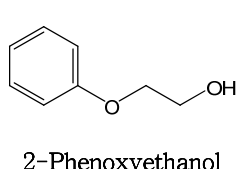
- SIM ions

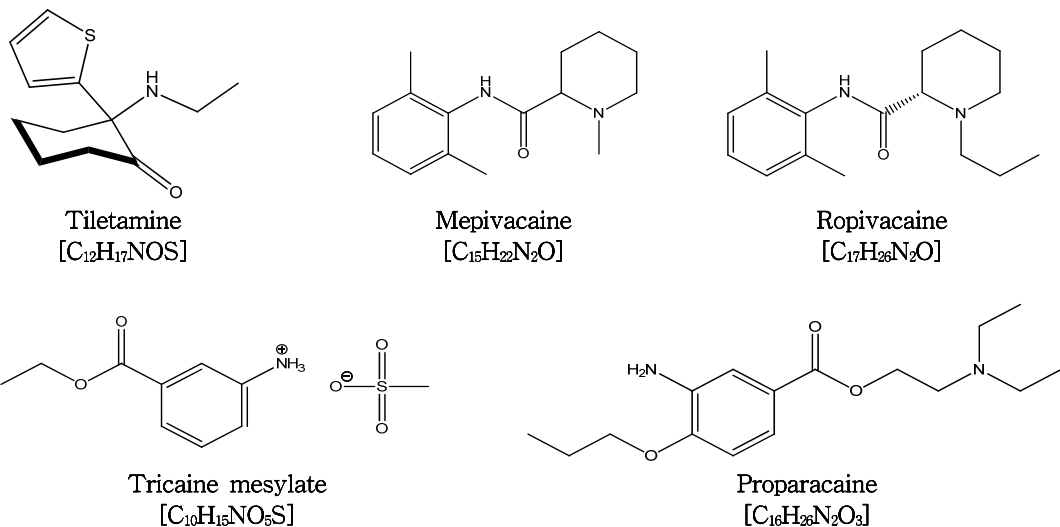
Compound	Ion (<i>m/z</i>)		
Menthol	71	81	95
2-Phenoxyethanol	94	77	138
Eugenol	164	149	131
Tricaine mesylate	120	165	92
Benzocaine	120	165	92
Tiletamine	166	110	195
Prilocaine	86	106	77
Lidocaine	86	58	87
Procaine	86	99	120
Mepivacaine	98	70	42
Ropivacaine	126	84	56
Tetracaine	58	71	176
Bupivacaine	140	141	84
Proparacaine	86	99	136

○ Chromatogram



■ 구조식





■ 참고문헌

1. Determination and quantification of nine adulterant local anaesthetics in illegal treatments for male premature ejaculation by GC-FID and GC-MS. Ji Hyun Lee, So Hyun Cho, Jung Yeon Kim, Hyoung Joon Park, Jung-Ah Do, and Sunyoung Baek. *International Journal of Pharmacy and Pharmaceutical Sciences*, 8, 135-140 (2016)
2. Mihaela, B., Costel, V. M., Sanda & M. P. Chromatographic analysis of local anesthetics in biological samples. *J Pharmaceut Biomed Anal.* 54, 1-12 (2011)
3. Mohamed A. R. New trend in sample preparation: on-line microextraction in packed syringe for liquid and gas chromatography applications I. Determination of local anaesthetics in human plasma samples using gas chromatography-mass spectrometry. *J Chromatography B*. 801, 317-321 (2004)
4. Tohru O., Tatsunori T. Simultaneous determination of local anesthetics including ester-type anesthetics in human plasma and urine by gas chromatography-mass spectrometry with solid-phase extraction. *J Chromatography B*. 726, 185-194 (1999)

II-2 ◀ 단백동화스테로이드류(28종) 분석법

■ 배경

- 근육 만들기용 불법 의약품 밀조·밀수 일당 적발('14. 2.)
- 단백동화스테로이드제 밀수한 헬스트레이너들 적발('15. 5.)
- 헬스보충제, 단백질 보충제 등에 근육증강을 목적으로 단백동화스테로이드를 불법으로 첨가할 우려가 있음
- 불법적으로 근육을 키우고 근력을 증강시키는 데 사용되어 미국올림픽위원회 등 대부분 스포츠단체에서는 단백동화스테로이드의 사용을 금지



■ 특성

- 단백동화스테로이드는 단백질동화를 촉진시키는 합성약물로 테스토스테론과 유사한 구조를 가지고 있음
- 남용될 경우에는 심장병, 간암, 성장방해, 섭식장애 등 심각한 부작용을 일으킬 수 있음

■ 분석사례

- D-BOL : 메탄디에논(M) 29.7 $\mu\text{g/g}$ 검출
 불데논 27.4 $\mu\text{g/g}$ 검출
 메탄드로스테놀론 68.8 mg/g 검출

■ 분석법

1. LC-MS/MS 법

○ 전처리 방법

- 표준액 조제 : 1-Androstenedione 등 28종*

→ 각각 일정량 취함 → 100% 메탄올 가함 → 최종 농도(약 10 µg/L)

- 검액 조제 : 약 1 g 취함 → 70% 메탄올 가함 → 30분 진탕 → 50 mL 정용

* 표준액 : 1-Androstenedione, 19-Norandrostenedione, Bolasterone, Boldenone, Boldione, Calusterone, Clostebol, Fluoxymesterone, Metenolone, Methylnortestosterone, Mibolerone, Nandrolone, Norboletone, Norclostebol, Norethandrolone, Oral-turinabol(M), Nandrolone(M1), Nandrolone(M2), Methandienone(M), Boldenone(M), Danazol(M), Formebolone(M), Nandrolone decanoate, Testosterone, Testosterone-17-valerate, Testosterone-17-propionate, Methandrostenolone, Drostanolone propionate

○ Analytical conditions of HPLC

- | | |
|----------------|---|
| • Instrument | Water ACQUITY UPLC |
| • Column | Waters ACQUITY UPLC BEH C ₁₈ (2.1 mm × 100 mm, 1.7 µm) |
| • Column Temp. | 35°C |
| • Mobile Phase | (A) 0.1% Formic acid in Water
(B) 0.1% Formic acid in Acetonitrile |

Time (min)	A (%)	B (%)
0.0	80	20
3.0	80	20
13.0	40	60
17.0	0	100
20.0	0	100
20.1	80	20
25.0	80	20

- | | |
|---------------|-------------|
| • Flow Rate | 0.25 mL/min |
| • Inj. Volume | 2 µL |

○ Analytical conditions of LC-MS/MS

- | | |
|------------------------|----------------------------|
| • Instrument | Waters Xevo TQ |
| • Ionization Mode | ESI (+) |
| • Capillary Voltage | 2.7 kV |
| • Desolvation Temp. | 500°C |
| • Desolvation Gas Flow | 600 L/Hr (N ₂) |
| • Cone Gas Flow | 50 L/Hr (N ₂) |

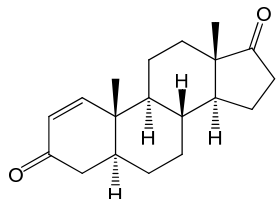
○ Analyte MS/MS transition

Compound	Ion Mode	Precursor Ion (<i>m/z</i>)	CV (V)	Product Ion (<i>m/z</i>)	CE (eV)
19-Norandrostenedione	+	273.16	26	109.15 197.21 255.31	26 18 18
1-Androstenedione	+	287.22	26	143.13 185.22 203.26	28 20 16
Bolasterone	+	317.03	30	107.29 123.24 121.15	20 34 22
Boldenone	+	287.16	20	135.21 269.26 105.14	14 10 34
Boldenone(M)	+	289.20	22	187.22 271.30 121.15	20 12 26
Boldione	+	285.16	18	147.21 151.17 123.15	12 14 24
Calusterone	+	317.10	32	132.93 203.23 131.13	22 16 22
Clostebol	+	323.16	24	143.12 157.13 105.14	26 30 28
Danazol(M)	+	313.16	28	109.15 123.16 105.14	24 30 40
Fluoxymesterone	+	337.16	32	131.20 281.27 147.15	32 22 30
Formebolone(M)	+	347.22	17	281.26 329.25	14 15

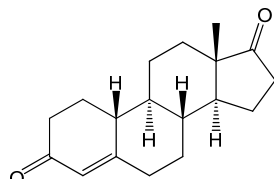
Compound	Ion Mode	Precursor Ion (<i>m/z</i>)	CV (V)	Product Ion (<i>m/z</i>)	CE (eV)
Metylnortestosterone	+	289.22	28	109.15	26
				253.28	16
				271.26	14
Mibolerone	+	303.29	32	107.08	30
				121.08	24
				177.24	22
Metenolone	+	303.29	30	131.15	30
				187.14	22
				205.21	16
Methandienone(M)	+	317.16	10	121.14	26
				281.30	12
				299.28	8
Nandrolone	+	275.16	24	109.15	24
				239.24	16
				257.28	14
Nandrolone(M1)	+	277.22	12	145.20	20
				241.29	12
				259.27	8
Nandrolone(M2)	+	277.22	12	145.14	22
				241.29	16
				259.27	8
Norbolethone	+	317.22	26	109.15	28
				245.28	20
				299.34	16
Norclostebol	+	309.10	26	117.13	30
				143.12	30
				291.23	16
Norethandrolone	+	303.22	26	109.15	28
				267.31	16
				285.30	16
Oral-turinabol(M)	+	351.16	12	147.20	16
				155.11	32
				333.23	8

Compound	Ion Mode	Precursor Ion (<i>m/z</i>)	CV (V)	Product Ion (<i>m/z</i>)	CE (eV)
Nandrolone decanoate	+	429.06	30	239.06	20
				257.07	20
				275.09	20
Testosterone	+	289.25	35	96.98	23
				109.00	20
				253.17	20
Testosterone 17-valerate	+	373.24	30	97.00	25
				109.00	25
				97.00	20
Testosterone 17-propionate	+	345.22	28	109.00	20
				253.15	25
				149.26	25
Methandrostenolone	+	301.55	35	121.18	15
				173.11	20
				215.15	20
Drostanolone propionate	+	361.38	30	269.25	15

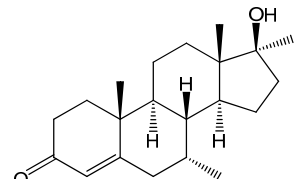
■ 구조식



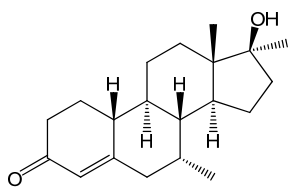
1-Androstanedione
[C₁₉H₂₆O₂]



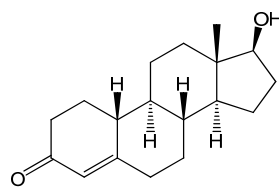
19-Norandrostanedione
[C₁₈H₂₄O₂]



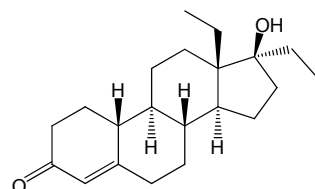
Bolasterone
[C₂₁H₃₂O₂]



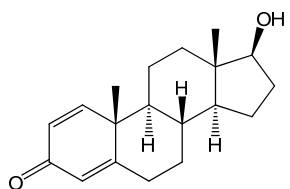
Mibolerone
[C₂₀H₃₀O₂]



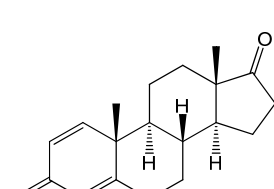
Nandrolone
[C₁₈H₂₆O₂]



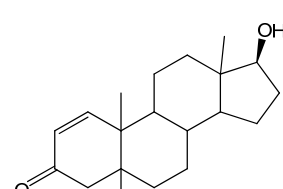
Norbolethone
[C₂₁H₃₂O₂]



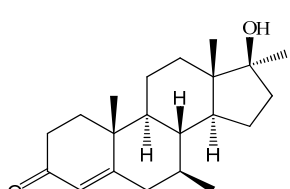
Boldenone
[C₁₉H₂₆O₂]



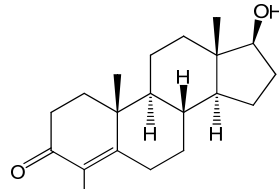
Boldione
[C₁₉H₂₄O₂]



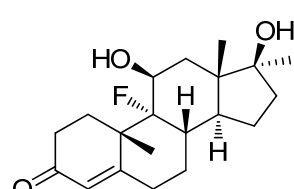
Boldenone(M)
[C₁₉H₂₈O₂]



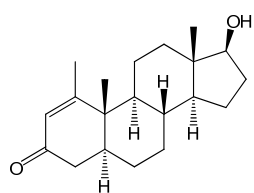
Calusterone
[C₂₁H₃₂O₂]



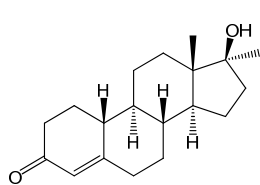
Clostebol
[C₁₉H₂₇ClO₂]



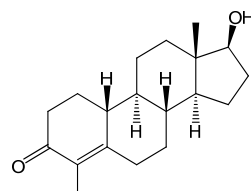
Fluoxymesterone
[C₂₀H₂₉FO₃]



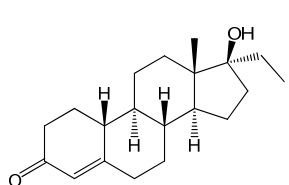
Metenolone
[C₂₀H₃₀O₂]



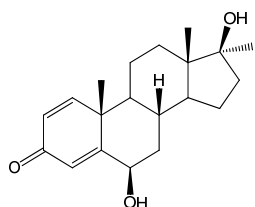
Methylnortestosterone
[C₁₉H₂₈O₂]



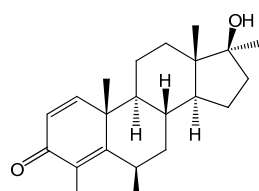
Norclostebol
[C₁₈H₂₅ClO₂]



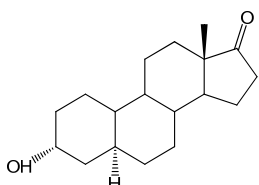
Norethandrolone
[C₂₀H₃₀O₂]



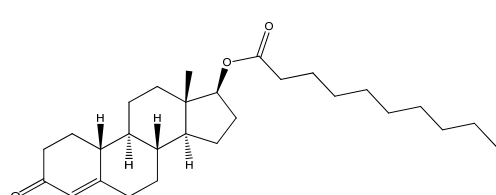
Methandienone(M)
[C₂₀H₂₈O₃]



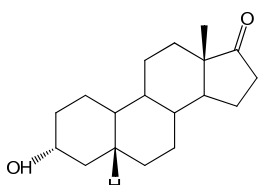
Oral-turinabol(M)
[C₂₀H₂₇ClO₂]



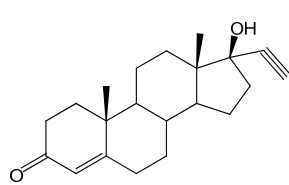
Nandrolone(M1)
[C₁₈H₂₈O₂]



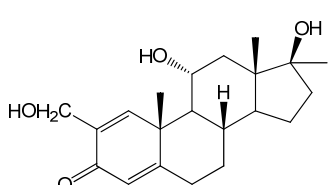
Nandrolone decanoate
[C₂₈H₄₄O₃]



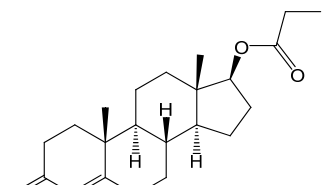
Nandrolone(M2)
[C₁₈H₂₈O₂]



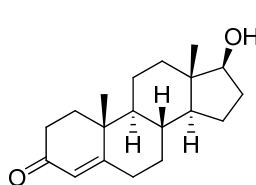
Danazol(M)
[C₂₁H₂₈O₂]



Formebolone(M)
[C₂₁H₃₀O₄]

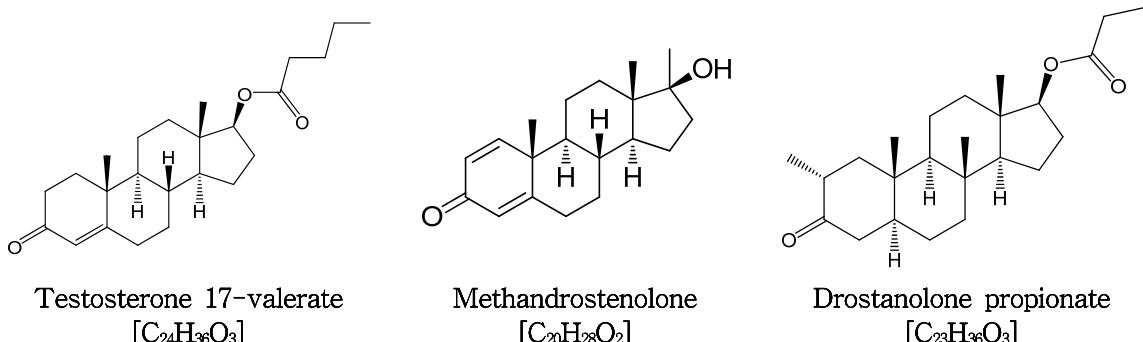


Testosterone 17-propionate
[C₂₂H₃₂O₃]



Testosterone
[C₁₉H₂₈O₂]





■ 참고문헌

1. So-Hyun Cho, Hyoung Joon Park, Ji Hyun Lee, Jung-Ah Do, seok Heo, Jeong Hwa Jo, Sooyeul Cho. Determination of anabolic-androgenic steroid adulterants in counterfeit drug by UHPLC-MS/MS, *Journal of Pharmaceutical and Biomedical Analysis*. 111 (2015) 138 - 146
2. Theron, H. B., Coetzee, C., Sutherland, F. C., Wiesner J. L. & Swart, K. J. Selective and sensitive liquid chromatography-tandem mass spectrometry method for the determination of levonorgestrel in human plasma. *J Chromatogr B Analyt Technol Biomed Life Sci.* 813(1-2), 331-336 (2004)
3. Van Poucke, C., Detavernier C., Van Cauwenbergh, R. & Van Peteghem, C. Determination of anabolic steroids in dietary supplements by liquid chromatography-tandem mass spectrometry. *Anal Chim Acta.* 586(1-2), 35-42 (2007)
4. Shahidi, N. T. A review of the chemistry, biological action, and clinical applications of anabolic-androgenic steroids. *Clin Ther.* 23(9), 1355-1390 (2001)

II - 3 ◀ 마약류[42종] 분석법

■ 배경

- 식·의약품 중 불법 마약 성분 검출의 증가에 따른 지속적인 안전관리 필요함
- 인체 시료를 이용한 분석법은 많으나, 식품 등에 마약류를 검출하는 분석법은 거의 없는 실정임
- 마약 성분 ‘대마 쿠키’ 밀반입 적발(‘09. 7.)
다이어트제 속 마약 성분 검출(‘10. 5.),
마약 성분 함유한 대마씨 오일 판매 적발(‘11. 9.),
마약류 ‘공부 잘하는 약’으로 판매(‘11. 11.),
몸짱 보충제에서 유사마약 성분 검출(‘13. 7.)
해외 사이트 판매 식품에서 유사마약성분 검출(‘15. 9.)



■ 특성

- 마약류란 「마약류 관리에 관한 법률」 제2조제2호부터 제4호까지에 따른 마약, 향정신성의약품 및 대마를 말함

■ 분석 사례

- 항미유 : δ-9-Tetrahydrocannabinol 검출
- 대마씨유 : δ-9-Tetrahydrocannabinol 2081mg/kg 검출

■ 분석법

1. UPLC법

○ 전처리방법

- 표준액 조제 : 표준액 1st Dihydrocodeine bitartrate 등 19종
표준액 2nd Codeine phosphate hydrate 등 11종
표준액 3rd Alprazolam 등 12종
→ 각각 일정량 취함 → 100% 메탄올 가함 → 최종 농도(약 25 µg/mL)
 - 검액 조제 : 약 1 g 취함 → 70% 메탄올 가함 → 30분 진탕 → 50 mL 정용
- * 표준액 1 : Dihydrocodeine bitartrate, Ephedrine hydrochloride, Amphetamine, Phendimetrazine tartrate, Phentermine hydrochloride, α-Pyrrolidinopentiothiophenone(alpha-PVT), Methylphenidate hydrochloride, 5-Meo-Dipt hydrochloride, Mazindol, Bromazepam, Fentanyl citrate, Flurazepam hydrochloride, AM2233, Estazolam, Lorazepam, Methaqualone, Flunitrazepam, Clobazam, Diazepam
- * 표준액 2 : Codeine phosphate hydrate, MDMA hydrochloride, Ketamine hydrochloride, Cocaine hydrochloride, 2C-I hydrochloride, Pentazocine, Fenfluramine hydrochloride, Modafinil, Sufentanyl citrate, Triazolam, Temazepam
- * 표준액 3 : Alprazolam, AM2201, A-834735, JWH250, JWH073, XLR11, JWH018, JWH081, JWH122, JWH019, Tetrahydrocannabinol(THC), APINAC

○ Analytical condition of HPLC (표준액 1, 2)

- | | |
|----------------|--|
| • Instrument | Waters ACQUITY UPLC |
| • Column | Waters ACQUITY UPLC HSS C ₁₈ (2.1 mm × 150 mm, 1.8 µm) |
| • Column Temp. | 30°C |
| • Mobile Phase | (A) 5 mM NaH ₂ PO ₄ in Water (pH 2.3, H ₃ PO ₄)
(B) 90% Acetonitrile |

Time (min)	A (%)	B (%)
0.0	85	15
1.5	85	15
3.5	75	25
7.0	65	35
12.0	50	50
18.0	30	70
20.0	30	70
20.5	85	15
25.0	85	15

- | | |
|----------------|-------------|
| • Flow Rate | 0.13 mL/min |
| • Inj. Volume | 1 µL |
| • UV Detection | 200 nm |
| • PDA Range | 190~400 nm |

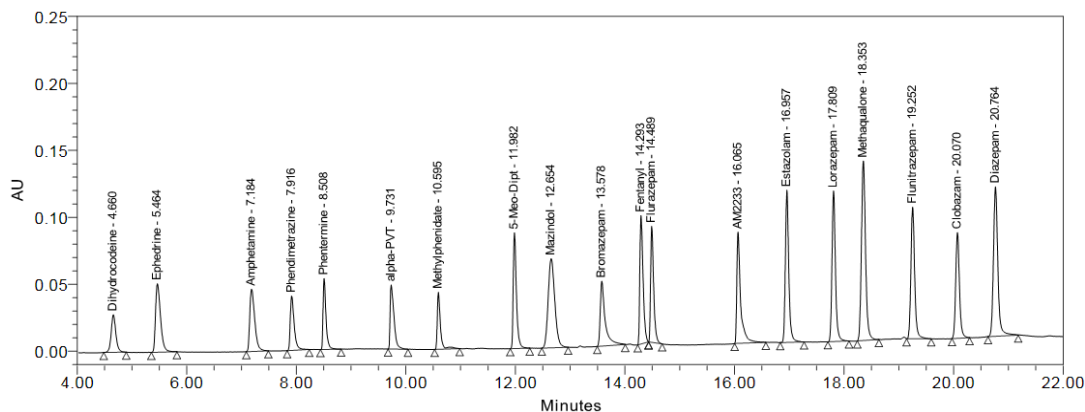
○ Analytical condition of HPLC (표준액 3)

• Instrument	Waters ACQUITY UPLC
• Column	Waters ACQUITY UPLC HSS C ₁₈ (2.1 mm × 150 mm, 1.8 μm)
• Column Temp.	30°C
• Mobile Phase	(A) 25 mM NaH ₂ PO ₄ + 0.01% Sodium hexane sulfonate (pH 3, H ₃ PO ₄) (B) 100% Acetonitrile

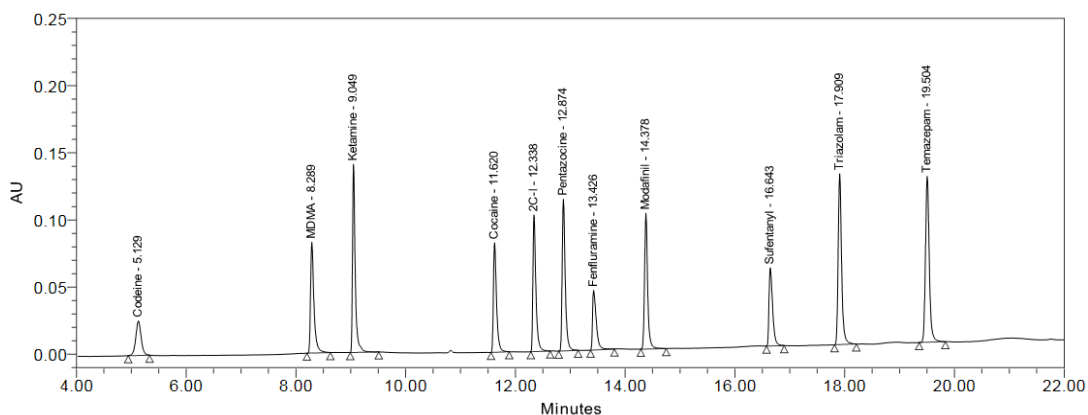
Time (min)	A (%)	B (%)
0.0	40	60
4.0	20	80
9.0	0	100
11.0	0	100
11.1	40	60
15.0	40	60

• Flow Rate	0.18 mL/min
• Inj. Volume	1 μL
• UV Detection	210 nm
• PDA Range	190~400 nm

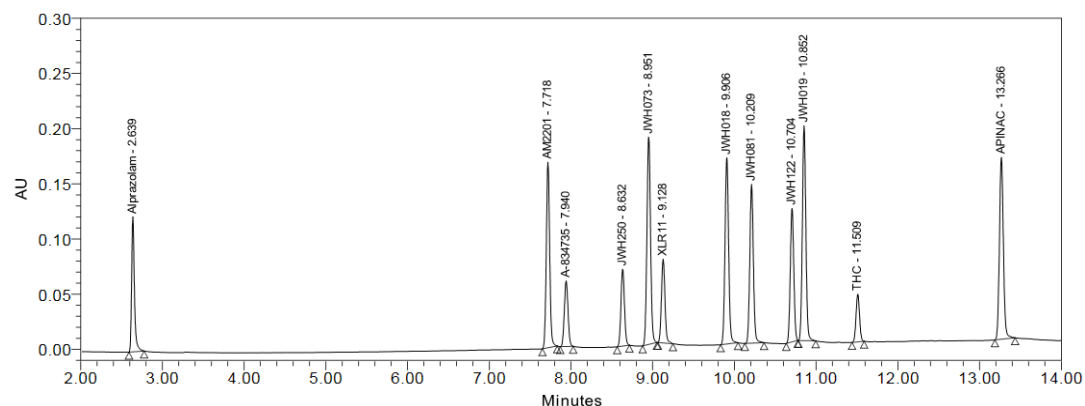
○ Chromatogram



[표준액 1]

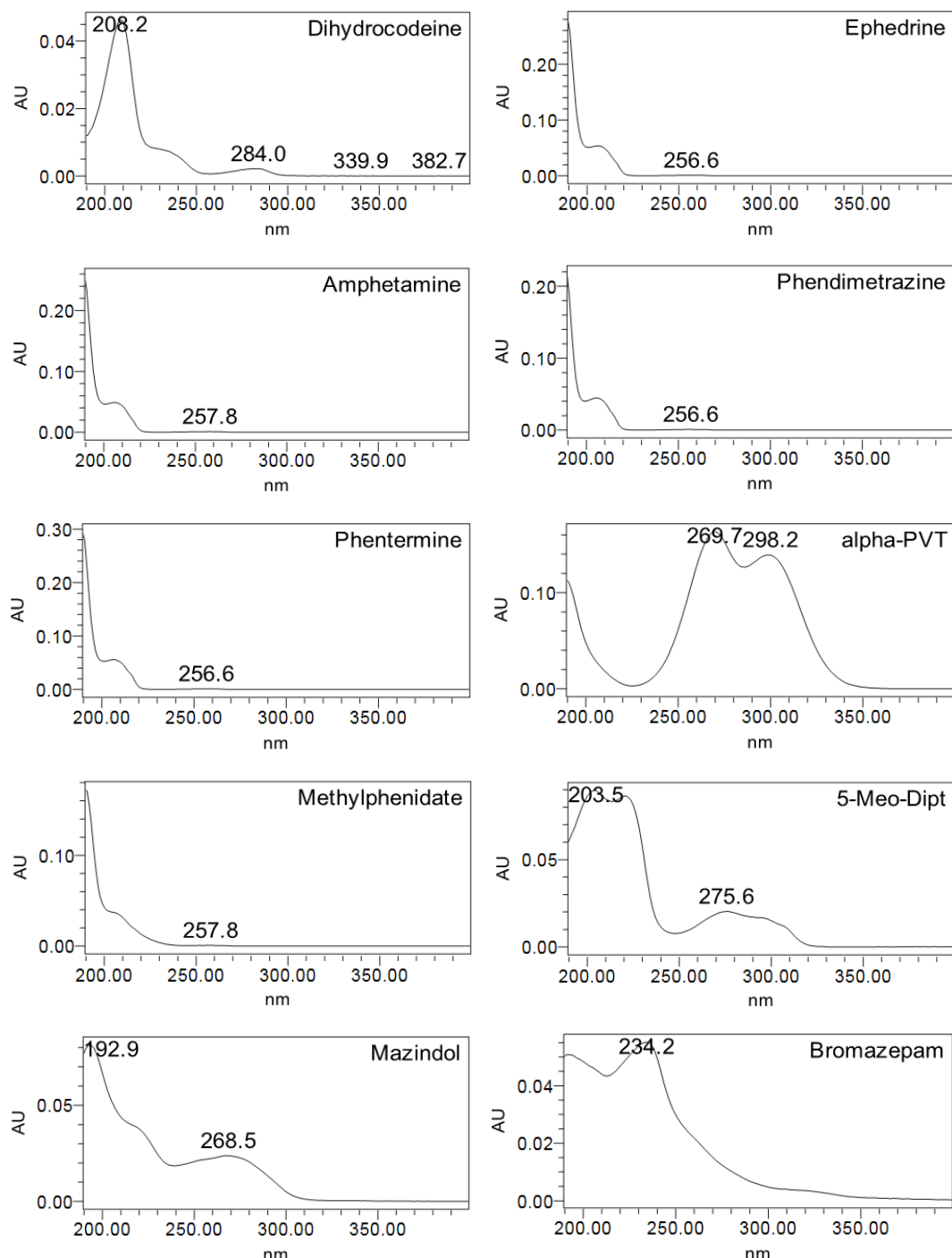


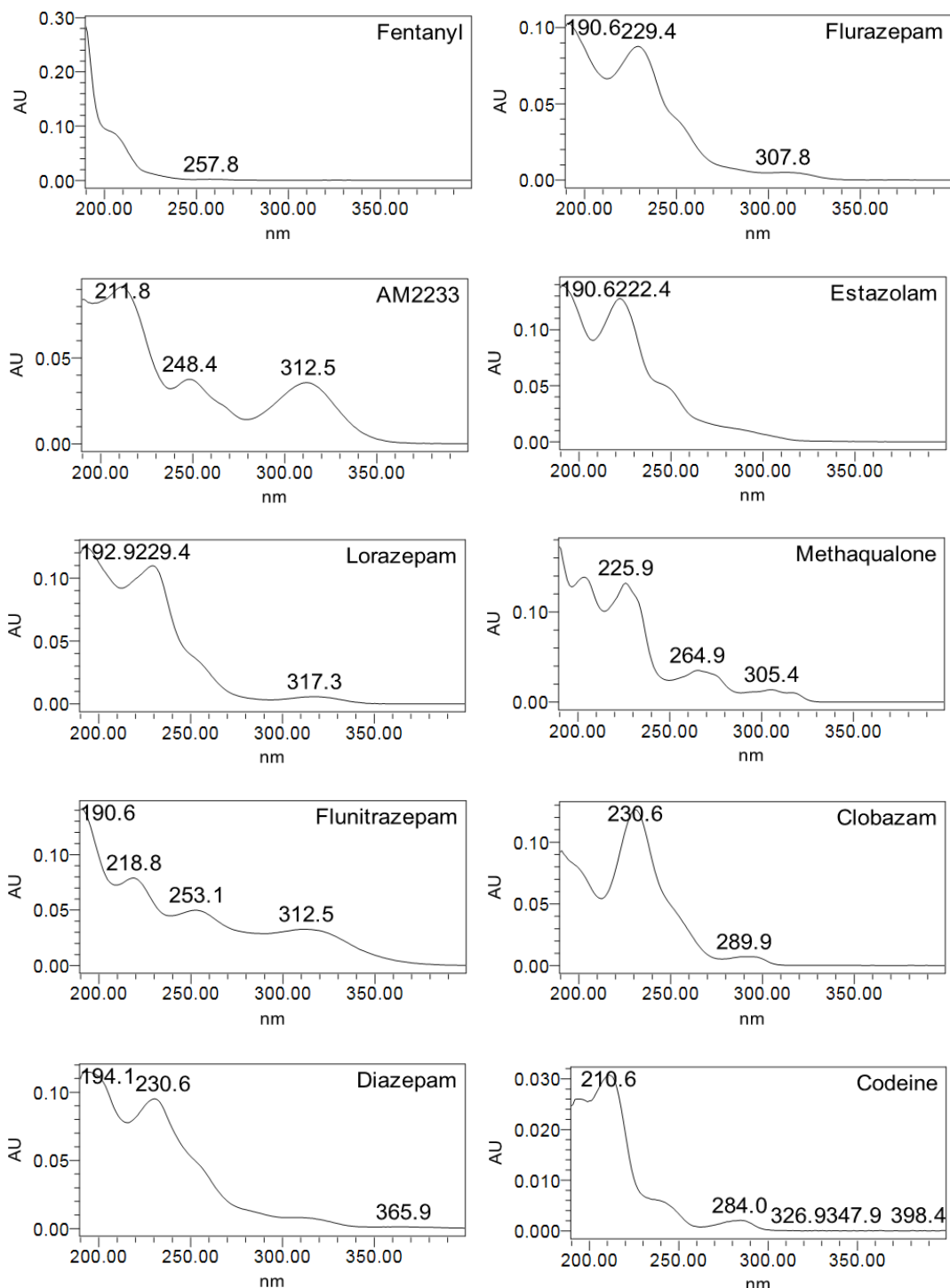
[표준액 2]

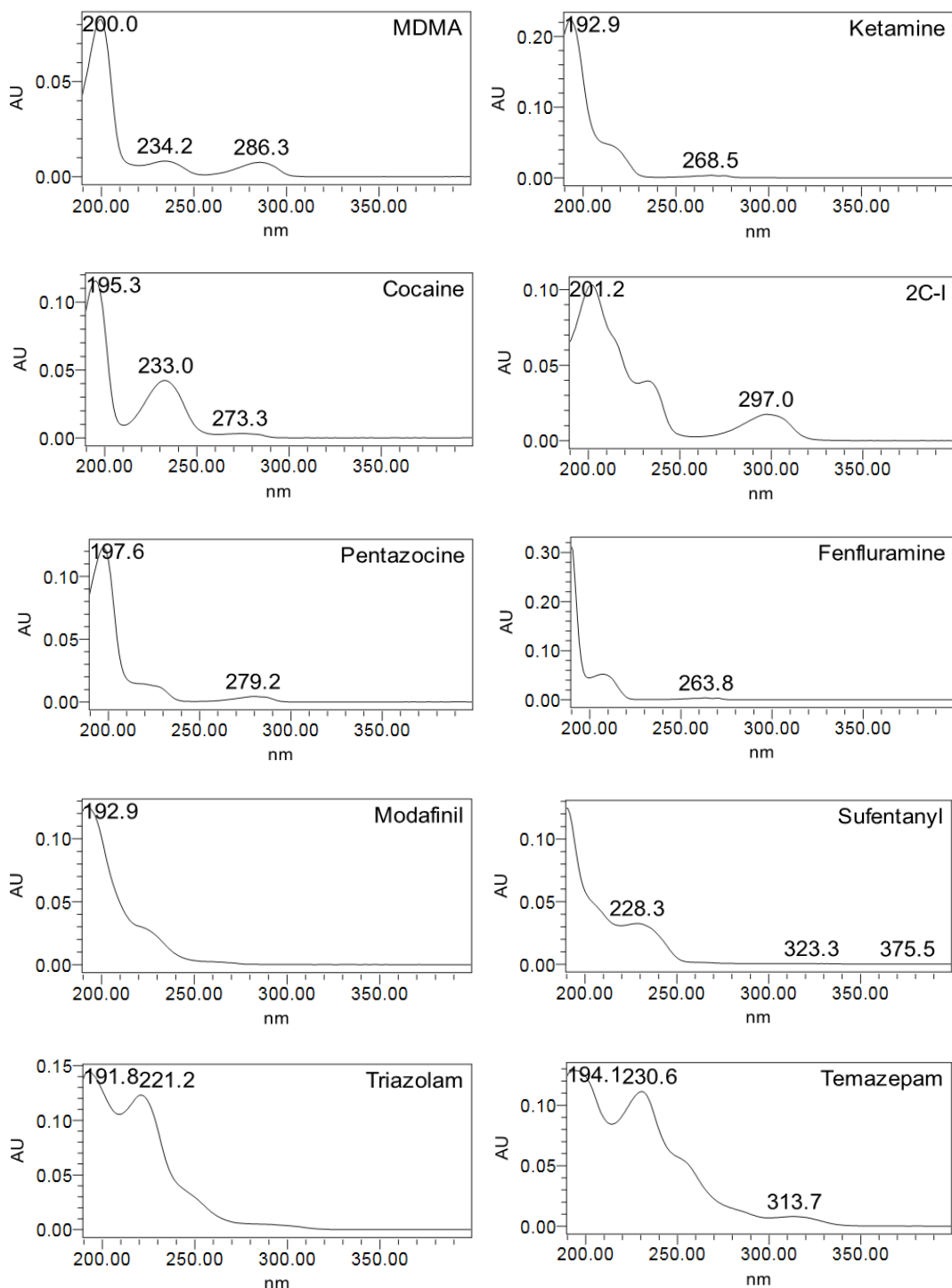


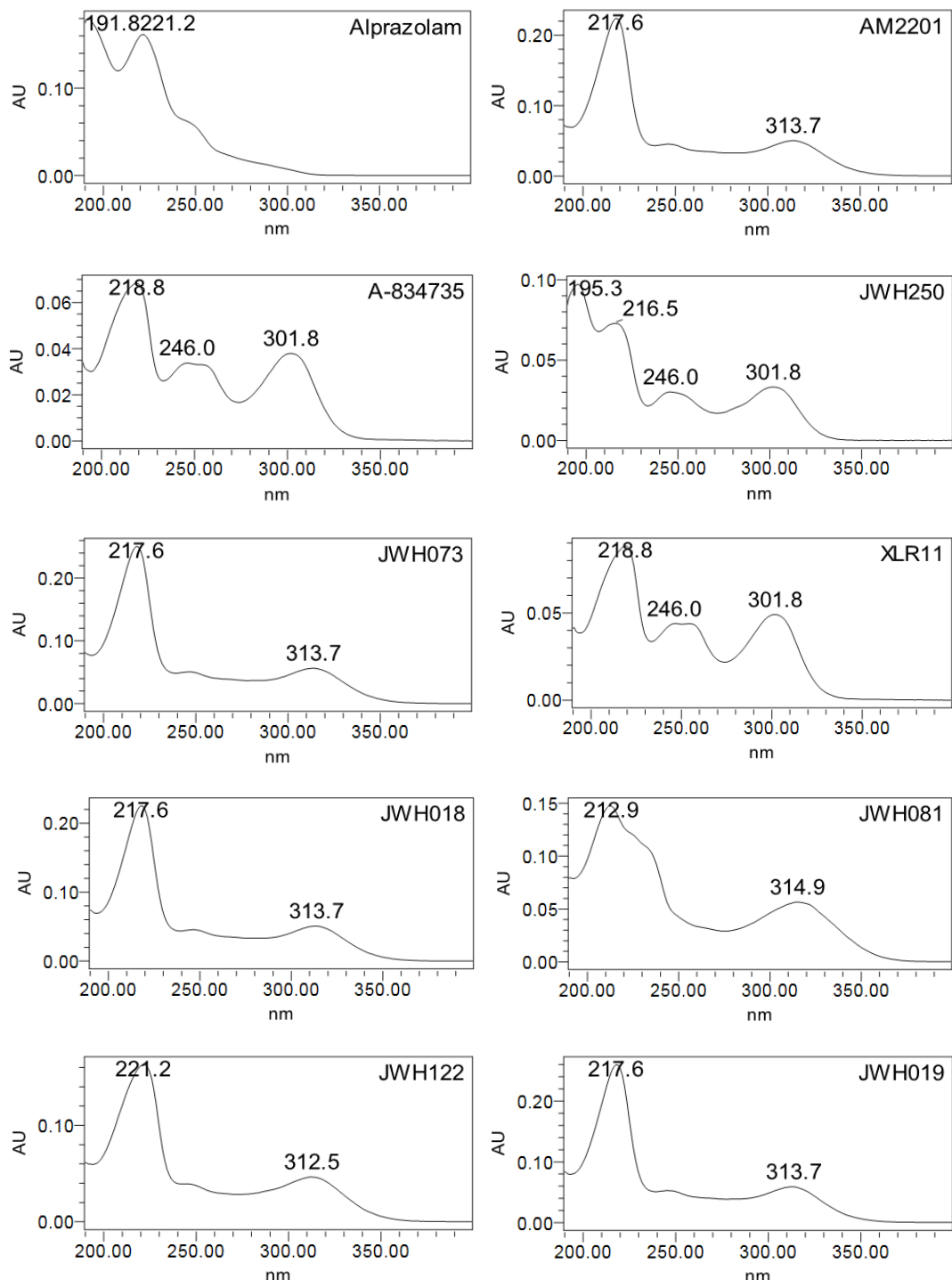
[표준액 3]

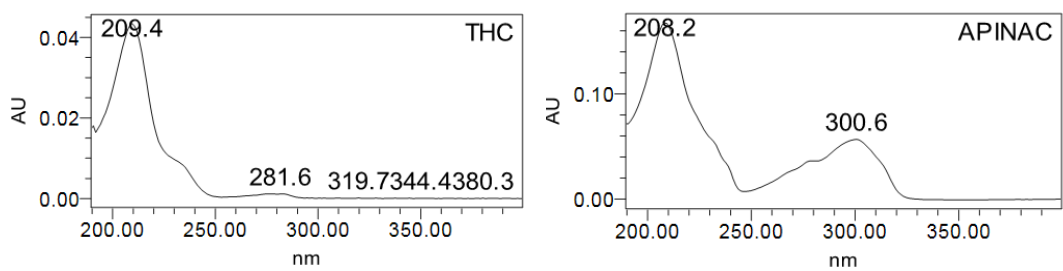
○ PDA Spectrum











2. LC-MS/MS법

○ Analytical conditions of HPLC

• Instrument	Waters ACQUITY UPLC																											
• Column	Waters ACQUITY UPLC BEH C ₁₈ (2.1 mm × 100 mm, 1.7 μm)																											
• Column Temp.	30°C																											
• Mobile Phase	(A) 0.1% Formic acid in Water (B) 0.1% Formic acid in Acetonitrile																											
<table border="1" style="width: 100%; border-collapse: collapse;"> <thead> <tr> <th style="text-align: center;">Time (min)</th> <th style="text-align: center;">A (%)</th> <th style="text-align: center;">B (%)</th> </tr> </thead> <tbody> <tr><td style="text-align: center;">0.0</td><td style="text-align: center;">95</td><td style="text-align: center;">5</td></tr> <tr><td style="text-align: center;">3.0</td><td style="text-align: center;">95</td><td style="text-align: center;">5</td></tr> <tr><td style="text-align: center;">7.0</td><td style="text-align: center;">20</td><td style="text-align: center;">80</td></tr> <tr><td style="text-align: center;">10.0</td><td style="text-align: center;">20</td><td style="text-align: center;">80</td></tr> <tr><td style="text-align: center;">10.1</td><td style="text-align: center;">0</td><td style="text-align: center;">100</td></tr> <tr><td style="text-align: center;">13.0</td><td style="text-align: center;">0</td><td style="text-align: center;">100</td></tr> <tr><td style="text-align: center;">13.1</td><td style="text-align: center;">95</td><td style="text-align: center;">5</td></tr> <tr><td style="text-align: center;">15.0</td><td style="text-align: center;">95</td><td style="text-align: center;">5</td></tr> </tbody> </table>		Time (min)	A (%)	B (%)	0.0	95	5	3.0	95	5	7.0	20	80	10.0	20	80	10.1	0	100	13.0	0	100	13.1	95	5	15.0	95	5
Time (min)	A (%)	B (%)																										
0.0	95	5																										
3.0	95	5																										
7.0	20	80																										
10.0	20	80																										
10.1	0	100																										
13.0	0	100																										
13.1	95	5																										
15.0	95	5																										
• Flow Rate	0.25 mL/min																											
• Inj. Volume	2 μL																											

○ Analytical conditions of LC-MS/MS

• Instrument	Waters Xevo TQ
• Ionization Mode	ESI (+)
• Capillary Voltage	2.7 kV
• Desolvation Temp.	400 °C
• Desolvation Gas Flow	600 L/Hr (N ₂)
• Cone Gas Flow	off

○ Analyte MS/MS transition

Compound	Ion Mode	Precursor ion (<i>m/z</i>)	CV (V)	Product ion (<i>m/z</i>)	CE (eV)
Dihydrocodeine	+	304.65	10	122.20	30
				115.15	25
Ephedrine	+	166.60	20	117.18	20
				148.25	10
Amphetamine	+	136.60	15	91.17	15
				119.20	10
Phendimetrazine	+	191.85	10	132.90	25
				147.95	20
Phentermine	+	150.14	16	91.00	18
				133.04	10
Alpha-PVT	+	238.60	20	97.13	25
				111.12	35
Methylphenidate	+	234.63	25	126.25	20
				84.20	20
5-Meo-Dipt	+	275.68	20	102.23	15
				114.25	15
				159.20	35
				174.23	20
Mazindol	+	285.09	35	44.00	25
				130.10	35
Bromazepam	+	316.48	35	182.20	30
				209.28	25
Fentanyl	+	337.35	35	105.10	35
				188.20	25
Flurazepam	+	387.90	25	216.20	20
				315.25	25
AM2233	+	458.80	7	319.30	20
				97.85	30
Estazolam	+	295.55	35	111.85	25
				230.80	35
Lorazepam	+	321.60	30	267.25	25
				177.30	45
				229.25	30

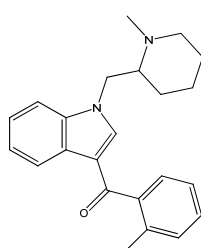
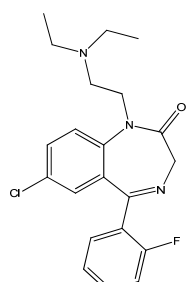
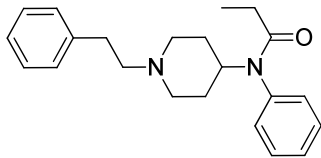
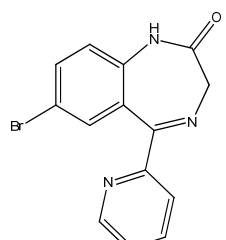
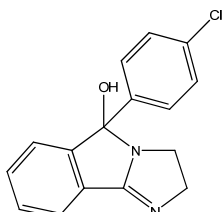
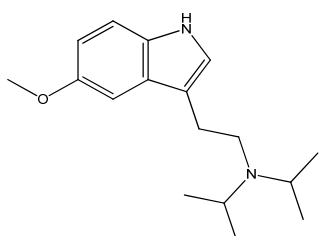
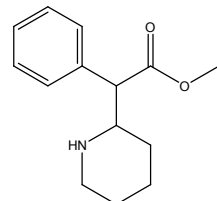
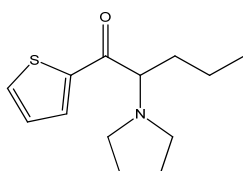
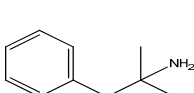
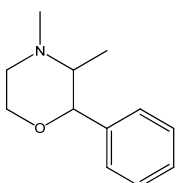
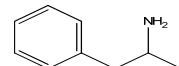
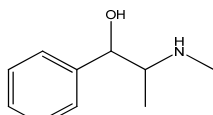
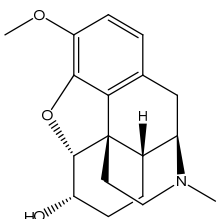
표
준
액
1

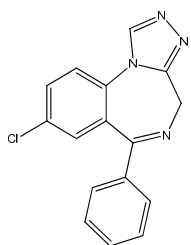
	Compound	Ion Mode	Precursor ion (<i>m/z</i>)	CV (V)	Product ion (<i>m/z</i>)	CE (eV)
표준액 1	Lorazepam	+	321.60	30	275.30	20
	Methaqualone	+	251.60	25	91.17	40
					132.20	25
	Flunitrazepam	+	314.60	25	238.25	35
					268.30	25
	Clobazam	+	301.65	30	259.30	20
표준액 2					154.18	25
	Diazepam	+	285.53	35	193.23	30
					222.25	25
					115.15	50
	Codeine	+	302.65	10	165.20	45
					243.30	25
					105.18	25
	MDMA	+	194.60	15	133.20	25
					135.10	25
					163.15	20
표준액 2					125.15	25
	Ketamine	+	238.63	10	179.20	20
					207.20	15
					220.30	15
					105.15	35
	Cocaine	+	304.65	30	154.20	35
					182.30	30
	2C-I	+	308.50	20	134.20	30
					261.15	30
	Pentazocine	+	286.70	10	218.30	20
표준액 2					109.15	40
	Fenfluramine	+	232.62	25	159.18	25
					187.22	15
	Modafinil	+	296.08	30	128.95	12
					110.85	35
	Sulfentanyl	+	386.94	15	205.95	30
					238.00	20
	Triazolam	+	343.50	30	238.20	40
					308.30	25
	Temazepam	+	300.77	25	254.95	20

Compound	Ion Mode	Precursor ion (<i>m/z</i>)	CV (V)	Product ion (<i>m/z</i>)	CE (eV)
Alprazolam	+	309.60	40	274.30	25
				281.28	25
				127.17	45
AM2201	+	360.65	35	155.17	25
				232.25	25
				322.15	20
A-834735	+	340.25	30	307.12	25
				125.00	20
				91.15	35
JWH-250	+	336.65	30	121.15	20
				144.20	30
				126.85	40
JWH-073	+	327.90	35	143.85	35
				154.85	25
				97.20	25
XLR11	+	330.68	40	125.20	25
				144.10	35
				232.30	25
JWH-018	+	341.90	40	126.87	40
				154.90	25
				184.90	25
JWH-081	+	371.94	35	214.00	25
				140.90	40
				168.90	25
JWH-122	+	355.92	35	214.00	25
				126.88	40
				154.90	25
THC	+	314.94	30	192.95	20
				259.05	20
				135.13	20
APINAC	+	367.23	20	215.11	20

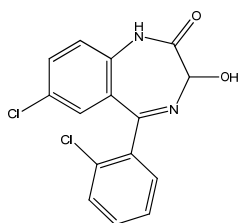
표
준
액
3

■ 구조식

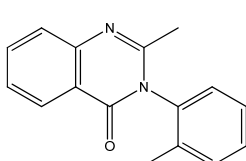




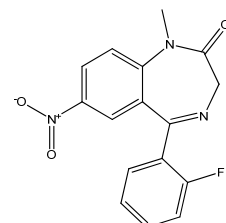
Estazolam
[C₁₆H₁₁ClN₄]



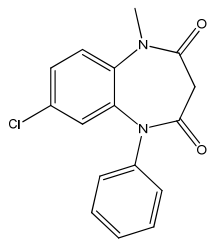
Lorazepam
[C₁₅H₁₀Cl₂N₂O₂]



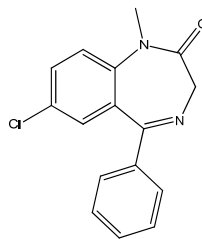
Methaqualone
[C₁₆H₁₄N₂O]



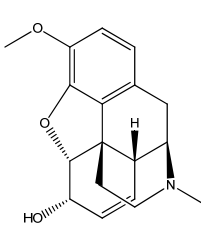
Flunitrazepam
[C₁₆H₁₂FN₃O₃]



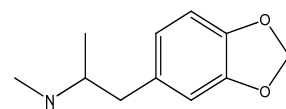
Clobazam
[C₁₆H₁₃ClN₂O₂]



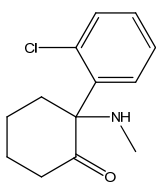
Diazepam
[C₁₆H₁₃ClN₂O]



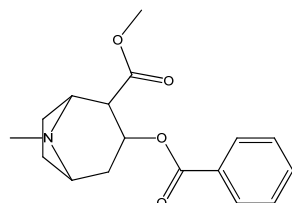
Codeine
[C₁₈H₂₁NO₃]



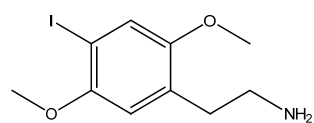
MDMA
[C₁₁H₁₅NO₂]



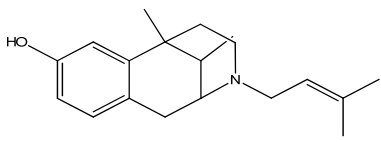
Ketamine
[C₁₃H₁₆ClNO]



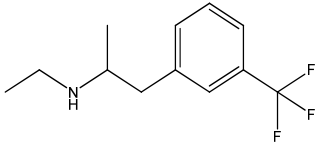
Cocaine
[C₁₇H₂₁NO₄]



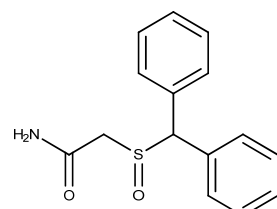
2C-I
[C₁₀H₁₄INO₂]



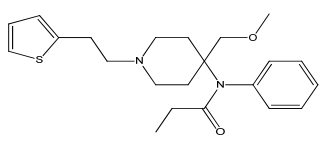
Pentazocine
[C₁₈H₂₇NO]



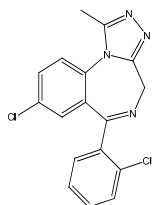
Fenfluramine
[C₁₂H₁₆F₃N]



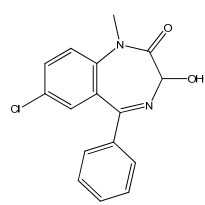
Modafinil
[C₁₅H₁₅NO₂S]



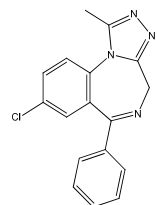
Sufentanil
[C₂₂H₃₀N₂O₂S]



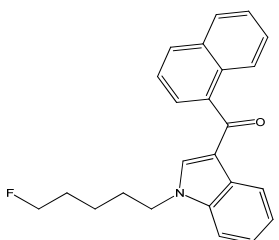
Triazolam
[C₁₇H₁₂Cl₂N₄]



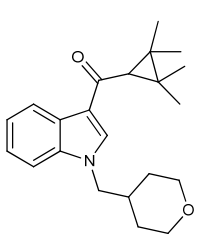
Temazepam
[C₁₆H₁₃ClN₂O₂]



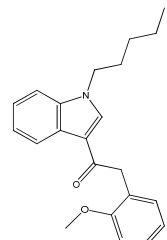
Alprazolam
[C₁₇H₁₃ClN₄]



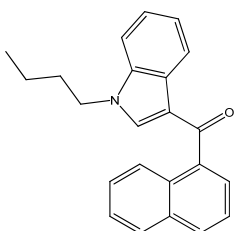
AM2201
[C₂₄H₂₂FNO]



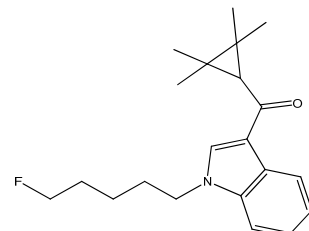
A-834735
[C₂₂H₂₈NO₂]



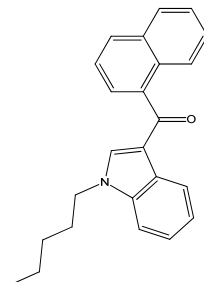
JWH-250
[C₂₂H₂₆NO₂]



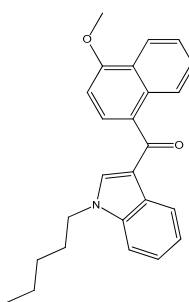
JWH-073
[C₂₃H₂₁NO]



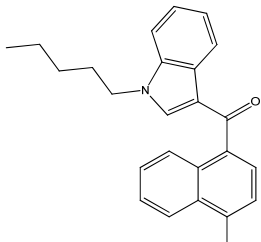
XLR11
[C₂₁H₂₈FNO]



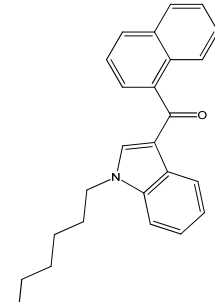
JWH-018
[C₂₄H₂₃NO]



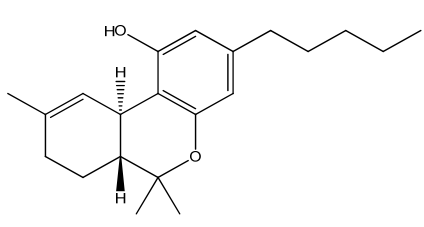
JWH-081
[C₂₅H₂₅NO₂]



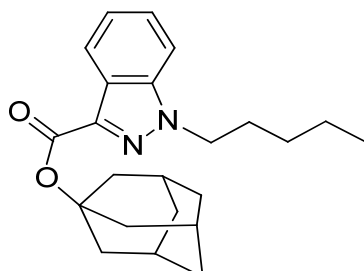
JWH-122
[C₂₅H₂₅NO]



JWH-019
[C₂₅H₂₅NO]



THC
[C₂₁H₃₀O₂]



APINAC
[C₂₃H₃₀N₂O₂]

■ 참고문헌

1. Ji Hyun Lee, Han Na Park, Tan-Soom Leem, Joo-Hyoung Jeon, Sooyeul Cho, Jongkook Lee & Sun Young Baek. Identification of new synthetic cannabinoid analogue AINAC whit MDMB(N)-Bz-F in illegal products. *Forensic Toxicology*, (2017) 35:45-55
2. Seok Heo, Geum Joo Yoo, Ji Yeon Choi, Hyoung Joon Park, Jung-Ah Do, Sooyeul Cho, Sun Young Baek & Sung-Kwan Park. Simultaneous analysis of cannabinoid and synthetic cannabinoids in dietary supplements using UPLC with UV and UPLC-MS/MS. *Journal of Analytical Toxicology*, 2016(40) 5: 350-359
3. Shin, M. O., Ji. D. J., Kang. S. Y., Choi. H. K., Lee. S. K. Screening of multiple drugs of abuse and metabolites in urine using LC/MS/MS with polarity switching electrospray ionization. *Arch Pharmacal Res* (37); 760-772 (2014)
4. Lee, S. Y., Kim, J. H., In S. H., Choi, H. K., Oh, S. M., Jang, C. G., Chung, K. H. Development of simultaneous analytical method for selected anorectic, methamphetamine, MDMA, and their metabolites in hair using LC-MS/MS to prove anorectics abuse. *Anal Bioanal Chem* 403(5), 1385-1394 (2012)
5. Choe, S. G., Woo, S. H., Kim, D. W., Park, Y. H., Choi, H. K., Hwang, B. Y., Lee, D., Kim, S. Development of a target component extraction method from GC-MS data with an in-house program for metabolite profiling. *Anal Biochem* 426(2); 94-102 (2012)
6. Bononii, M., Belgi, P., Tateo, F. Analytical data for identification of the canabimimetic phenylacetylindole JWH-203, *J Anal Toxicol* 35(6); 360-363 (2011)

II - 4 ◀ 발기부전치료제와 그 유사성분[82종] 분석법

■ 배경

- 발기부전치료제 성분 ‘실데나필’, ‘타라라필’과 유사물질 ‘아미노타다라필’이 들어있는 건강기능식품을 제조·판매한 대학교수 구속(‘15. 7.)
- 길거리 홍보 명함을 이용하여 정품과 유사하게 위조된 비아그라, 시알리스, 레비트라 및 성분과 출처를 알 수 없는 최음 효과를 표방하는 무허가 의약품을 판매한 판매자 구속(‘16. 8.)
- 100억원대 중국산 가짜 비아그라 들여온 일당 적발(‘17. 7.)
- 짹통 비아그라 등 가짜 의약품 제조·유통업자 구속(‘17. 8.)



■ 특성

- 대표적인 발기부전치료제로는 타다라필, 실데나필로서 FDA에 승인받은 의약품임
- 발기부전치료제 및 유사물질 52종이 식품공전에 고시(2017. 08.)되어 있으며 식품에 첨가되어서는 아니 됨
- 발기부전치료제 및 유사물질은 장기 복용 시 심장마비, 뇌졸중, 흉통, 고혈압 등의 부작용을 나타낼 수 있음

■ 분석 사례

- 이엑스티 파워플러스: 하이드록시호모 실데나필 0.140mg/캡슐 검출
디메틸실데나필 0.118mg/캡슐 검출
하이드록시티오호모 실데나필 16.2mg/캡슐 검출
디메틸티오 실데나필 1.47mg/캡슐

■ 분석법

1. HPLC

○ 전처리 방법

- 표준액 조제 : 표준액 1* Acetylildenafil 등 18종

표준액 2* Vardenafil 등 16종

표준액 3* Thioquinapiperifil 등 15종

표준액 4* Yohimbine 등 18종

표준액 5* Desmethylpiperazinylsildenafil 등 15종

→ 각각 일정량 취함 → 100% 메탄을 가함 → 최종 농도(약 5~60 µg/mL)

- 검액 조제 : 약 1 g 취함 → 70% 메탄을 가함 → 30분 진탕 → 50 mL 정용

* 표준액 1 : Acetylildenafil, Hydroxyildenafil, N-Desethylacetildenafil, Hydroxyhongdenafil (Hydroxyacetildenafil), Hongdenafil(Acetildenafil), Lodenafilcarbonate, Sildenafil Impurity A(Isobutylsildenafil, Despropylisobutylsildenafil), Aminotadalafil, epi-Aminotadalafil, Benzylsildenafil, Mutaprodenafil(Nitroprodenafil), Mirodenafil, Thiosildenafil(Sulfosildenafil, Sildenafil thione), Dimethylthiosildenafil, Propoxyphenylthiomosildenafil, cis-Cyclopentyltadalafil, Nitrodenafil, Norneosildenafil(Piperidinosildenafil)

* 표준액 2 : Vardenafil hydrochloride, Carbodenafil(Fondenafil), Dimethylacetildenafil, Avanafil, Sildenafil citrate salt, Homosildenafil, Dimethylsildenafil(Aildenafil, Methisosildenafil), Udenafil, Cyclopentynafil, Dioxohongdenafil(Dioxoacetildenafil), Tadalafil(Tildenafil), Xanthoanthrafil(Benzamidenafil), Pseudovardenafil(Piperadinovardenafil, Piperidenafil), Propoxyphenylthiohydroxyhomosildenafil(Propoxyphenylhydroxythiosildenafil, Sildenafil analogue 1), Gendenafil, Chloropretadalafil

* 표준액 3 : Thioquinapiperifil, Desmethylcarbodenafil(Norcarbodenafil), Norneovardenafil, Piperidinohongdenafil(Piperacetildenafil, Piperidinoacetildenafil), Methylhydroxyhomosildenafil(Propoxyphenylhydroxyhomosildenafil), Propoxyphenylhomohydroxysildenafil, Hydroxythiovardenafil, Desulfovardenafil, Cinnamylidenafil, *trans*-Tadalafil, Hydroxythiomosildenafil(Hydroxyhomosildenafil thione), Sulfohydroxyhomosildenafil, Thiohydroxyhomosildenafil, Dithiodesmethylcarbodenafil, Propoxyphenylthioaldenafil (Propoxyphenylthiomethisildenafil), Dithiopropylcarbodenafil, Chlorodenafil, Octylnortadalafil

* 표준액 4 : Yohimbine, Pyrazole N-desmethylsildenafil, Demethylhongdenafil(Noracetildenafil), Oxohongdenafil, Icariin, Hydroxyhomosildenafil, Acetaminotadalafil, Demethyltadalafil(Nortadalafil), Diethylaminopretadalafil, 2-Hydroxypropylnortadalafil, Acetyl acid, Thiomosildenafil(Sulfohomosildenafil, Homosildenafil thione), Propoxyphenylthiosildenafil, Hydroxychlorodenafil, N-butyltadalafil, *trans*-Cyclopentyltadalafil, Imidazosagatriazinone, Dichlorodenafil(Des-N-ethyl 3,5-dimethylacetildenafil)

* 표준액 5 : Desmethylpiperazinylsildenafil(Sildenafil desmethylpiperazinyl), N-Desethylildenafil(Vardenafil), Papaverine hydrochloride, Tadalafil impurity A, Descarbonsildenafil, N-Desmethylsildenafil(Desmethylsildenafil, N-Demethylsildenafil), Apixaban, Propoxyphenylsildenafil(O-Desethyl O-propylsildenafil), Sildenafil coupled, Dapoxetine hydrochloride(Dapoxetina, Dapoxetineum), Tadalafil impurity C(Tadalafil), (6S, 12aR)-, Homotadalafil(N-Ethyl tadalafil), Isopropylnortadalafil, Bisprenortadalafil, Desulfonylchlorosildenafil(5-chloroimidazosagatriazinone)



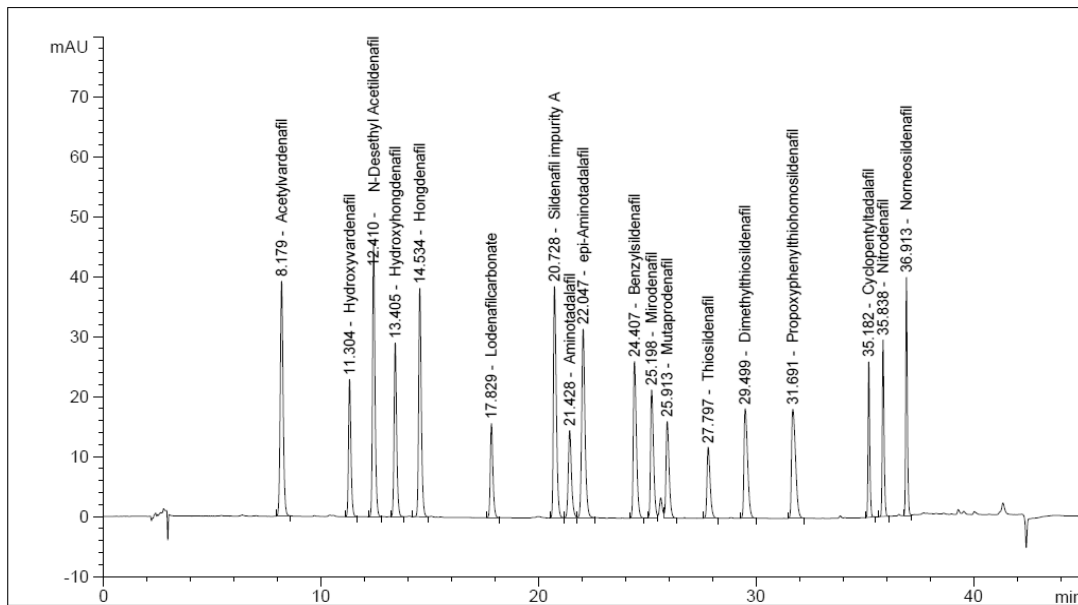
○ Analytical conditions of HPLC

- Instrument Agilent DE/1200 HPLC (DAD)
- Column Agilent Eclipse XDB C₁₈ (4.6 mm × 250 mm, 5 μm)
- Column Temp. 40°C
- Mobile Phase
 - (A) 0.5 mM Sodium-1-hexane sulfonate in Water (0.1% H₃PO₄)
 - (B) 95% Acetonitrile

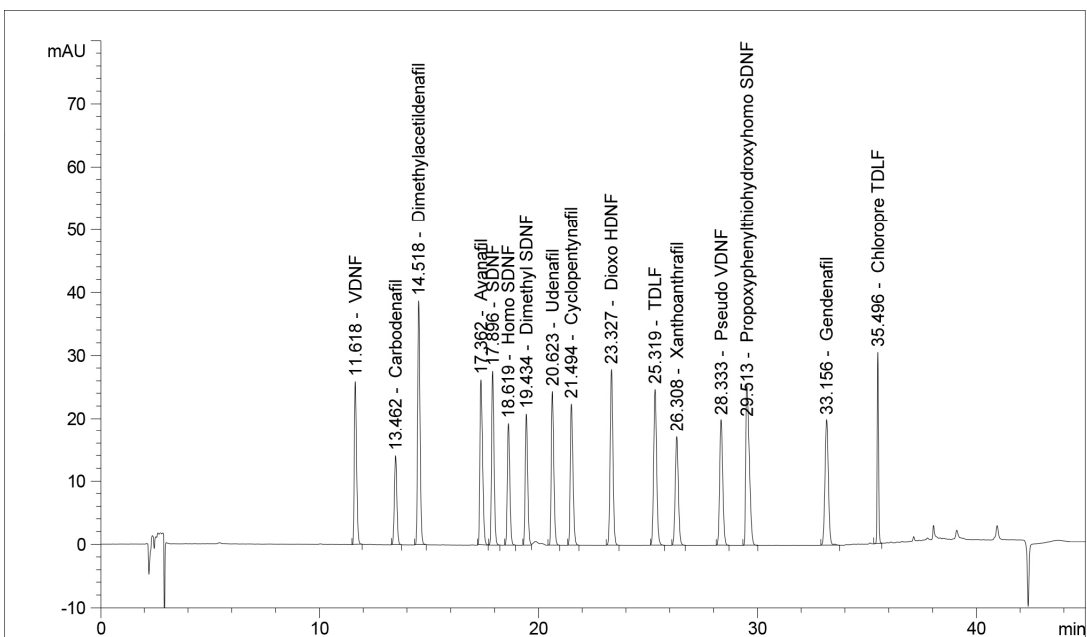
Time (min)	A (%)	B (%)
0.0	80	20
2.0	80	20
30.0	50	50
35.0	0	100
39.0	0	100
40.0	80	20
45.0	80	20

- Flow Rate 1.0 mL/min
- Inj. Volume 10 μL
- UV Detection 291 nm
- PDA Range 190~400 nm

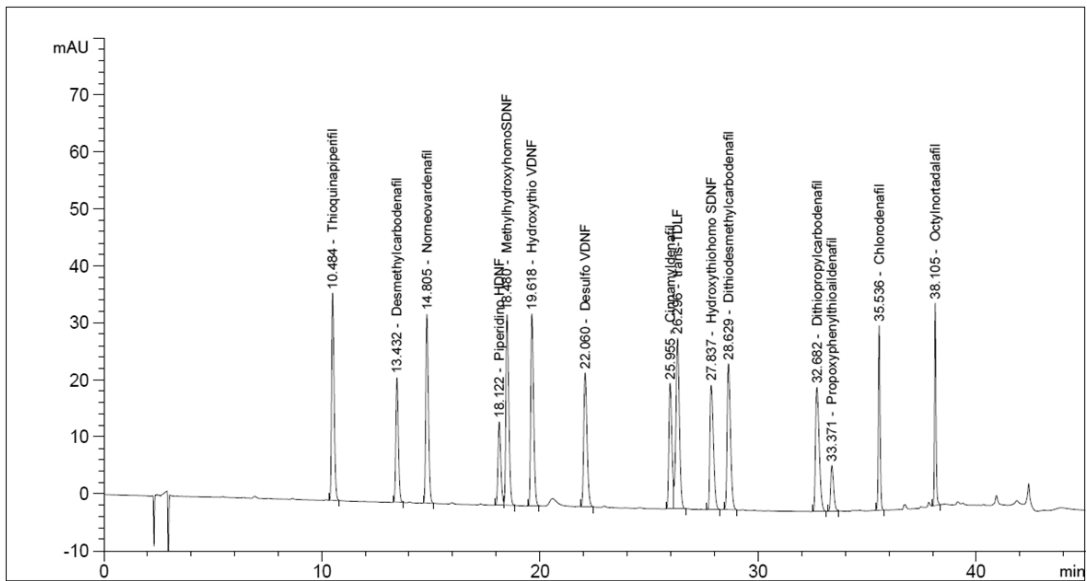
○ Chromatogram



[표준액 1]

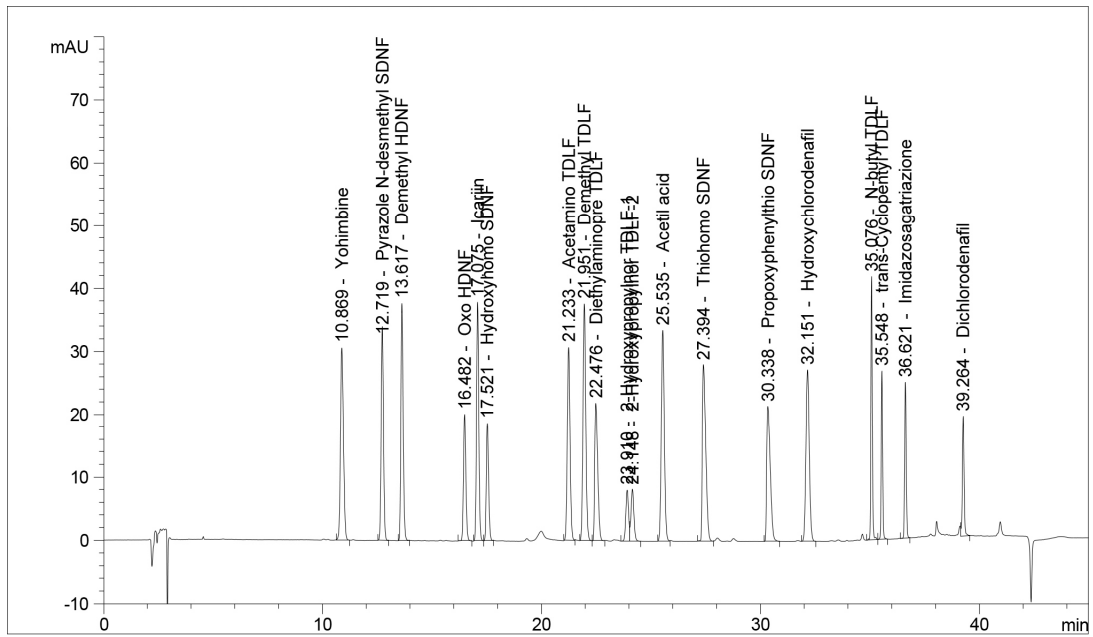


[표준액 2]

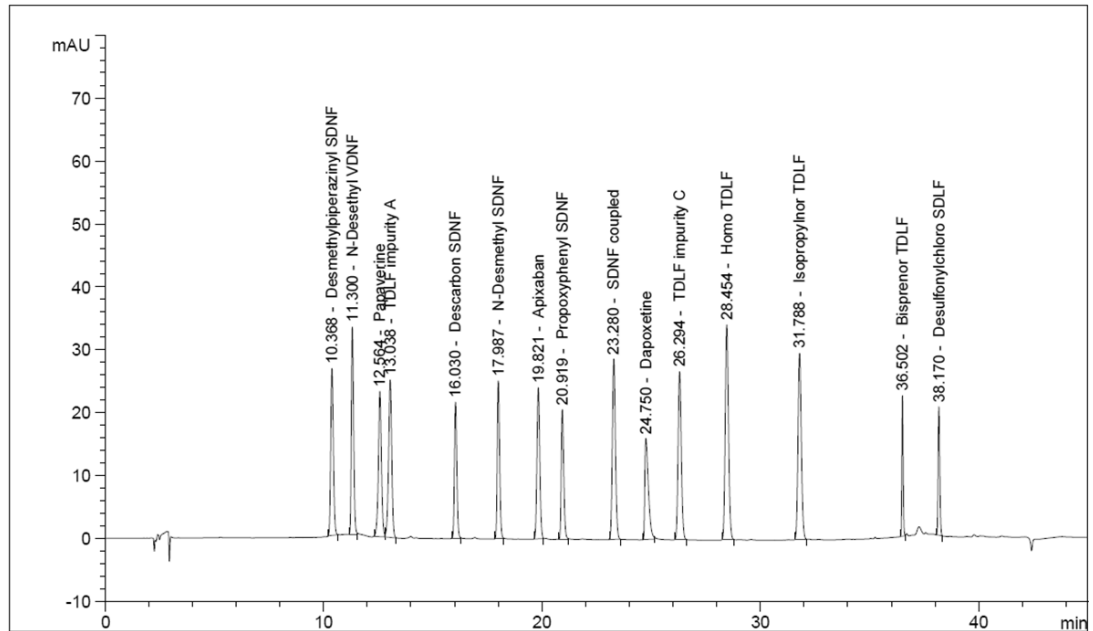


[표준액 3]



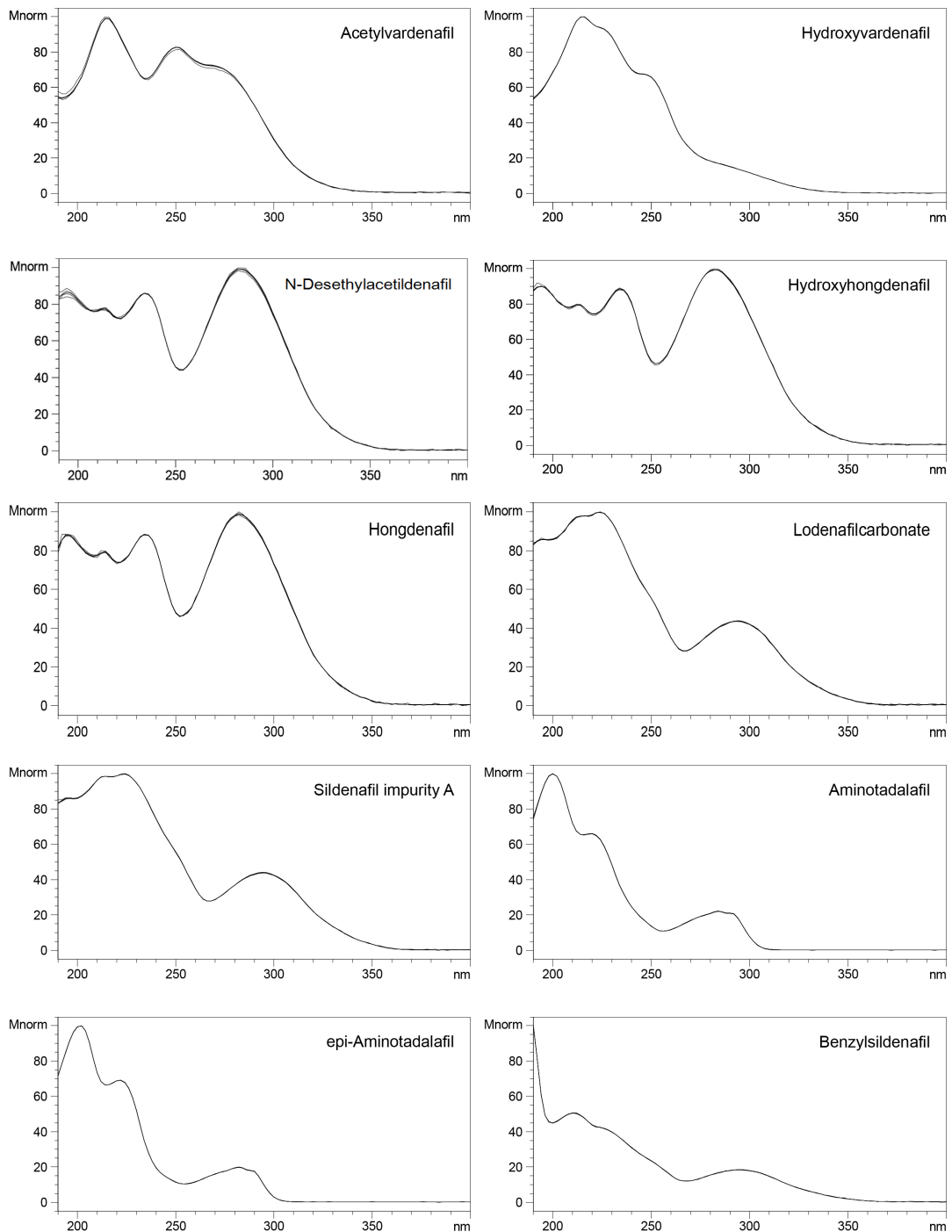


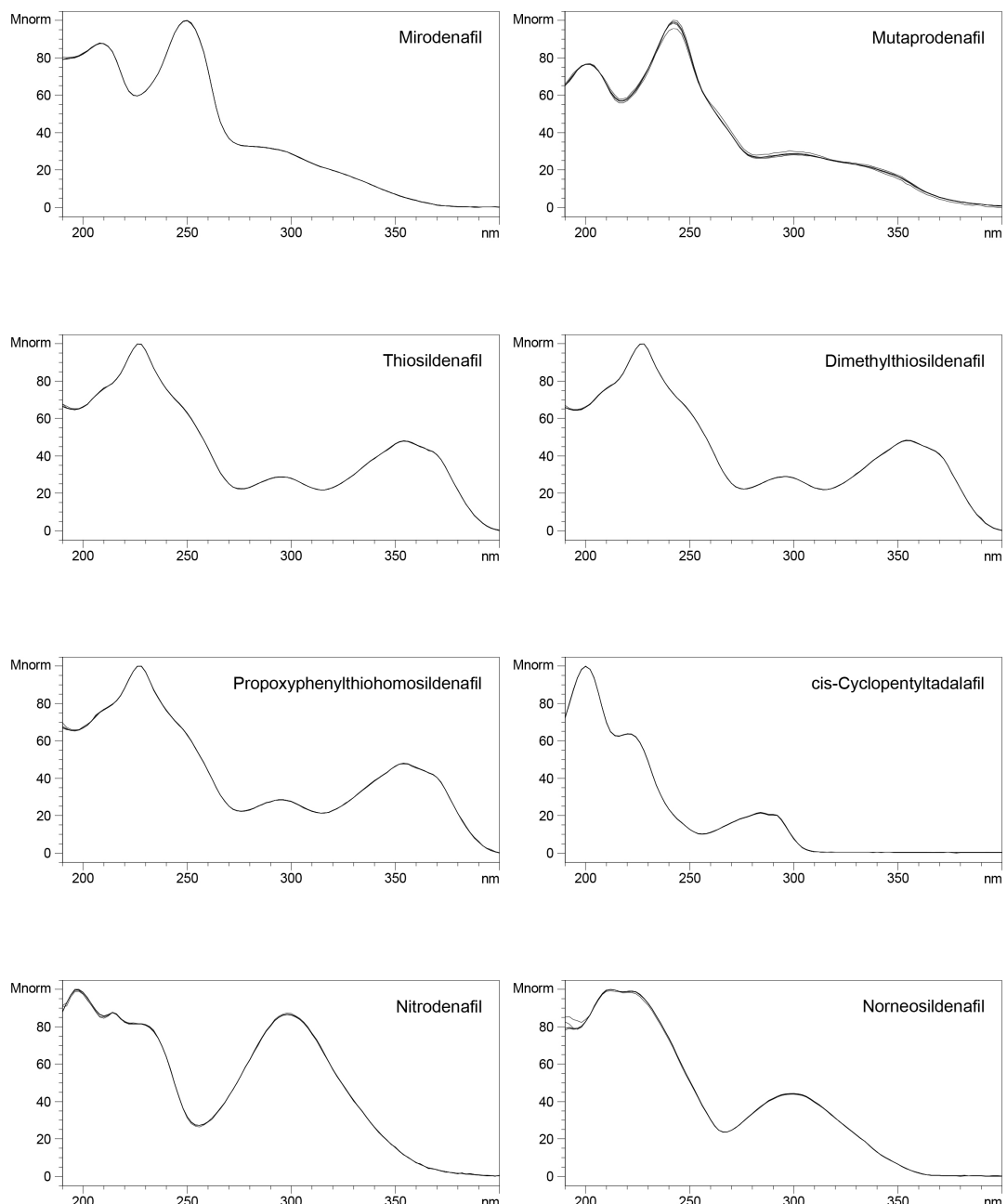
[표준액 4]



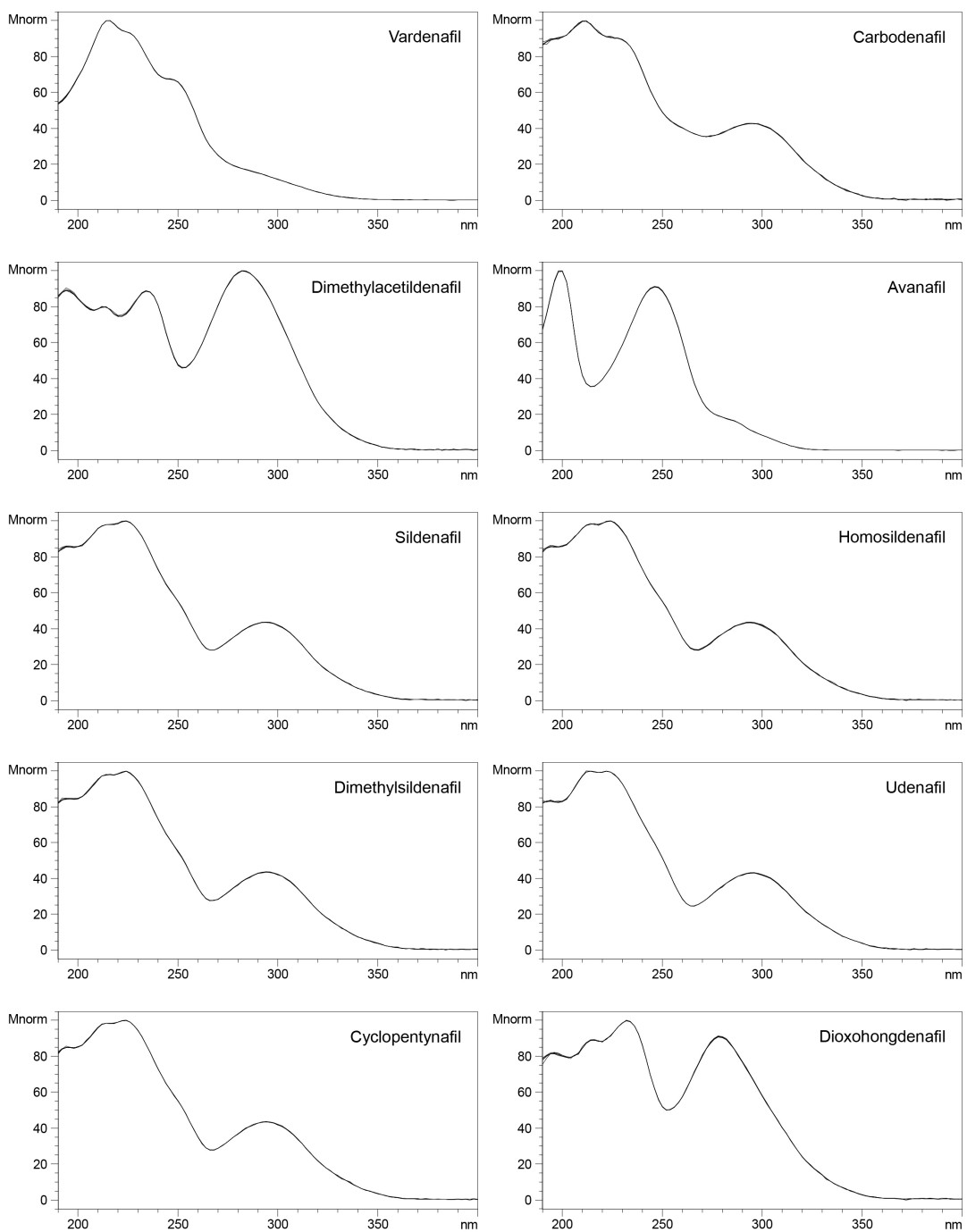
[표준액 5]

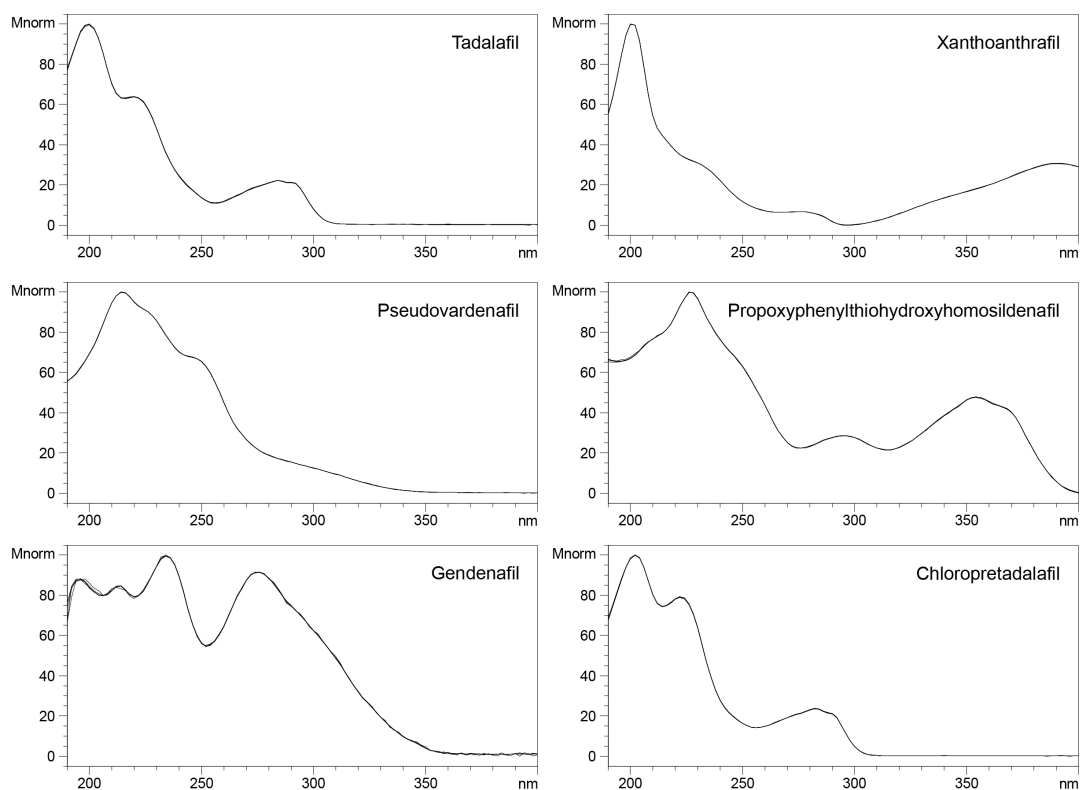
○ PDA Spectrum * 표준액 1



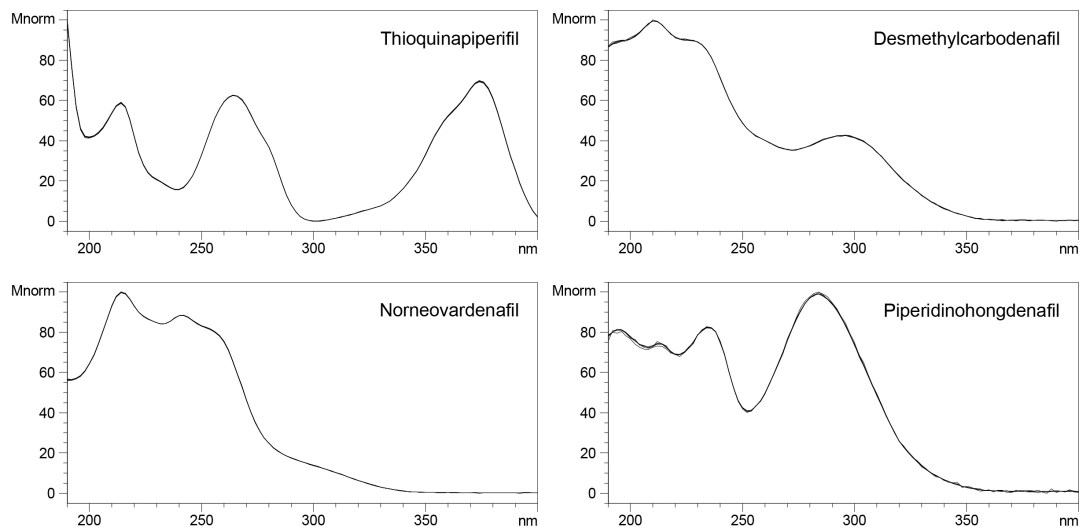


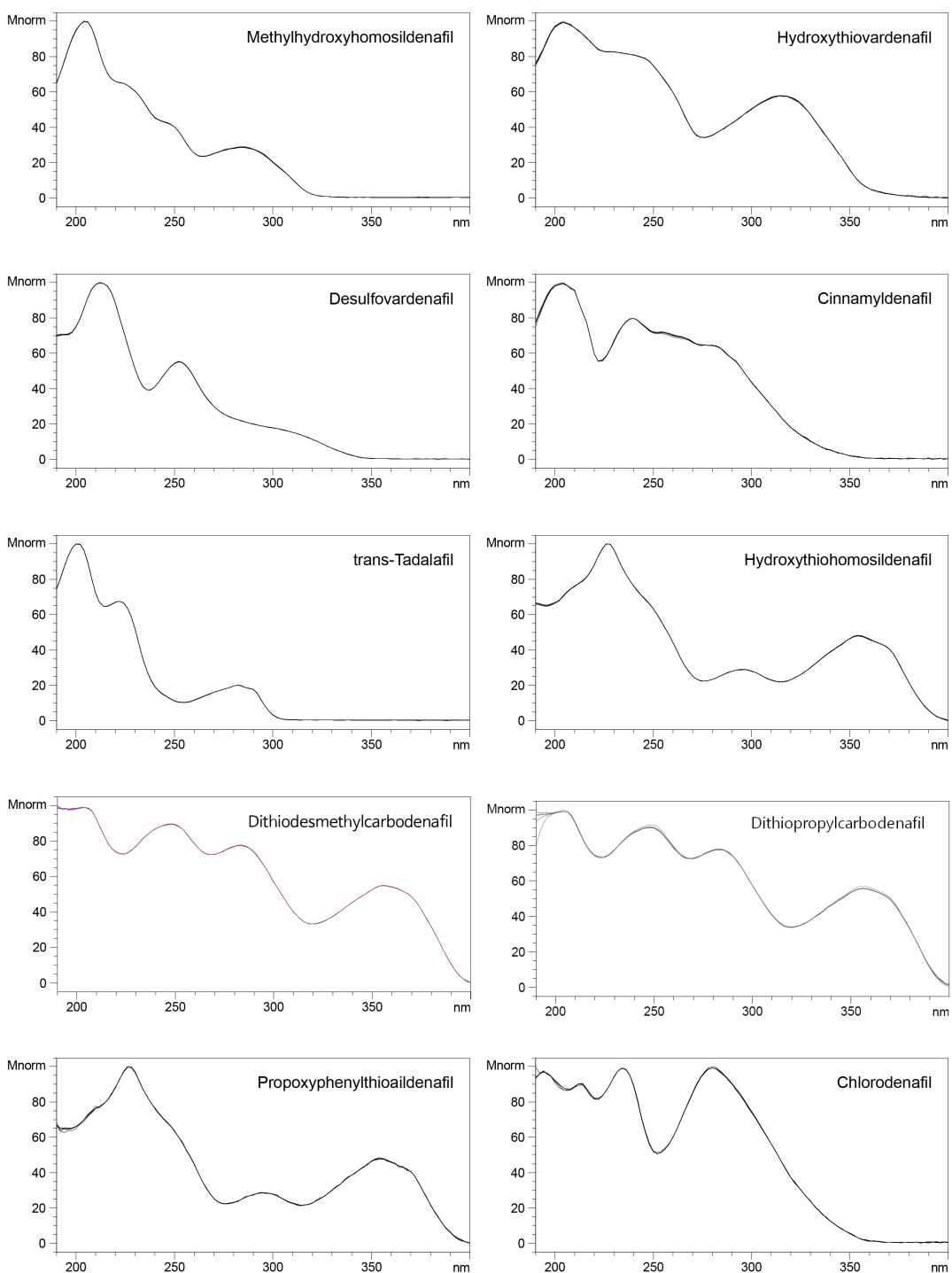
* 표준액 2

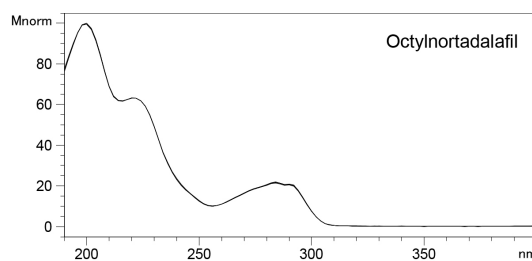




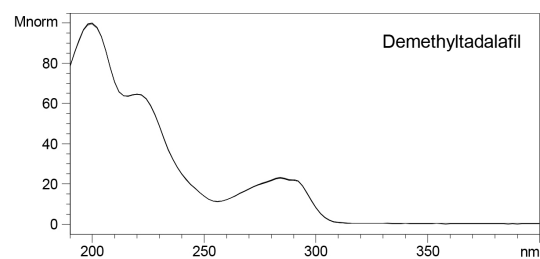
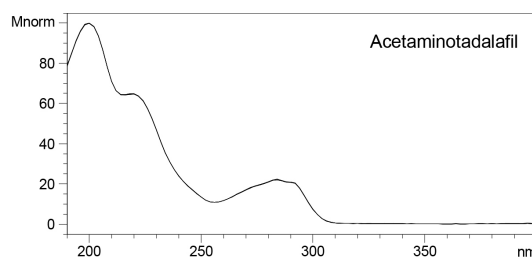
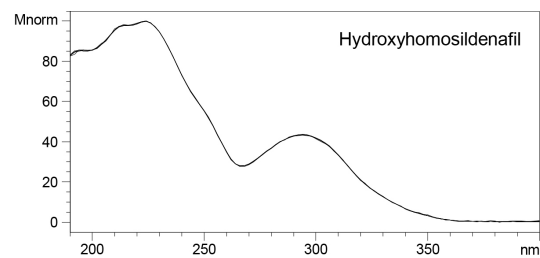
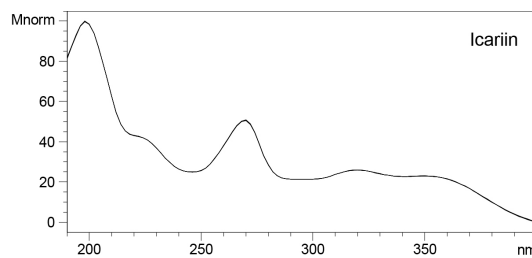
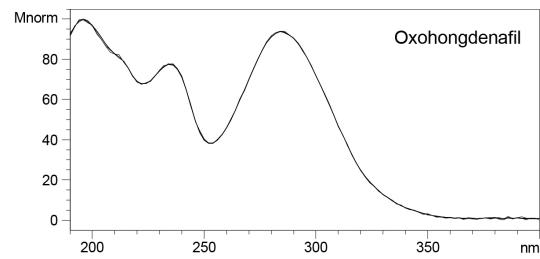
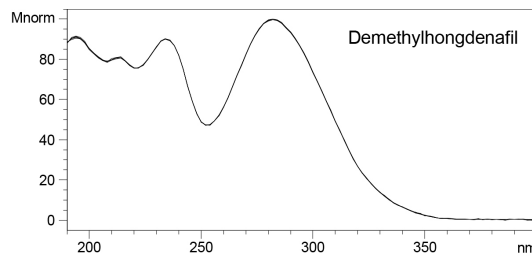
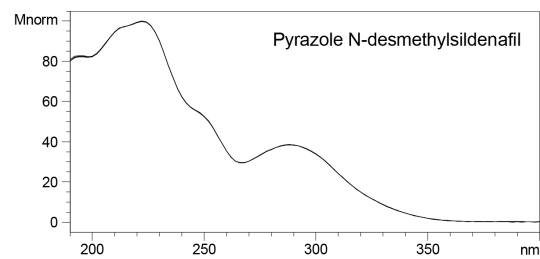
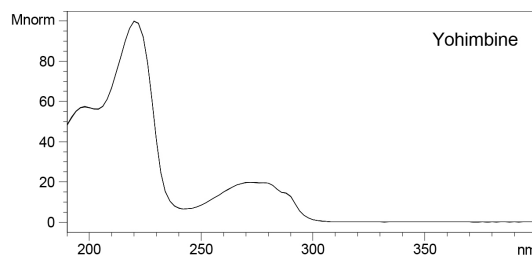
* 표준액 3

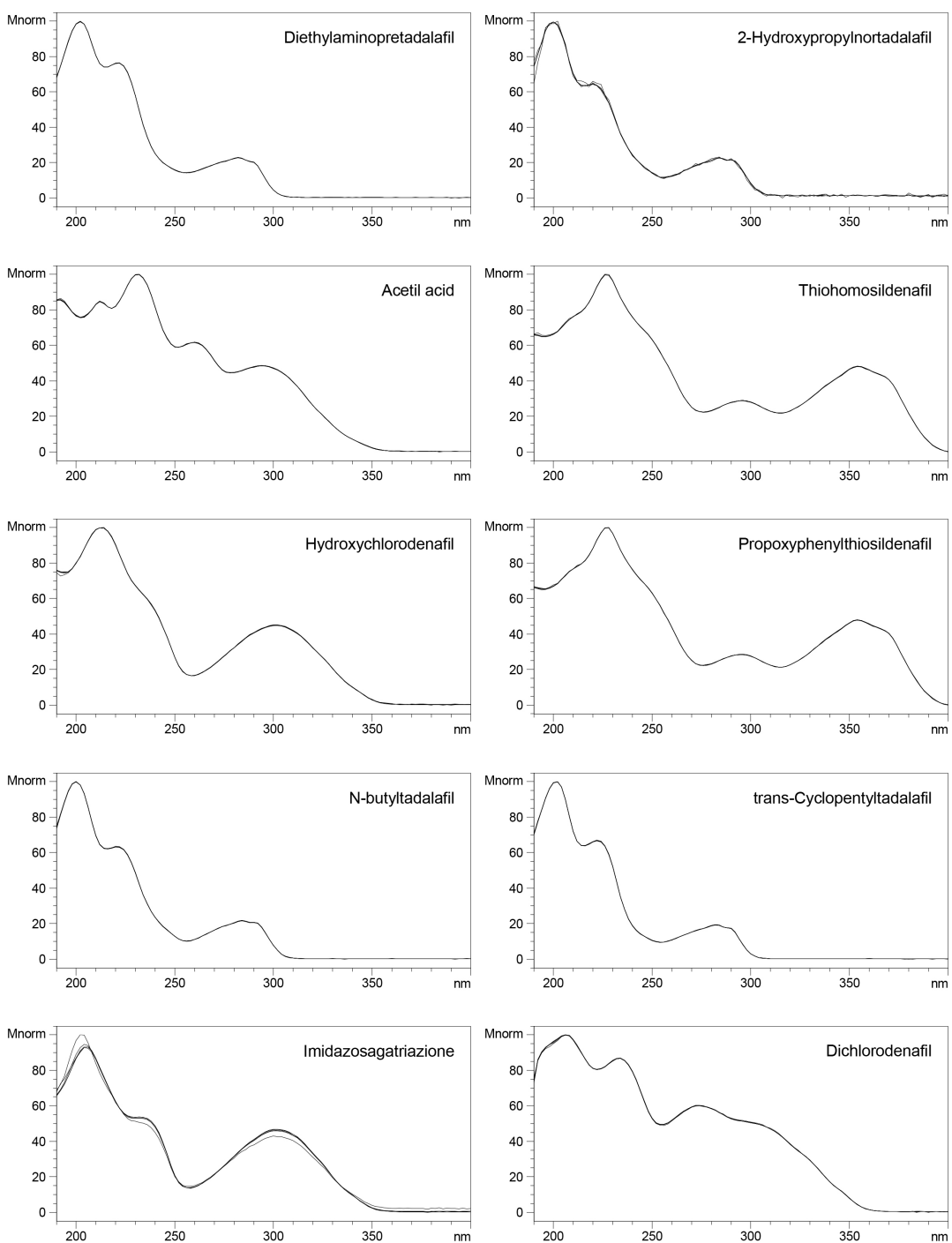




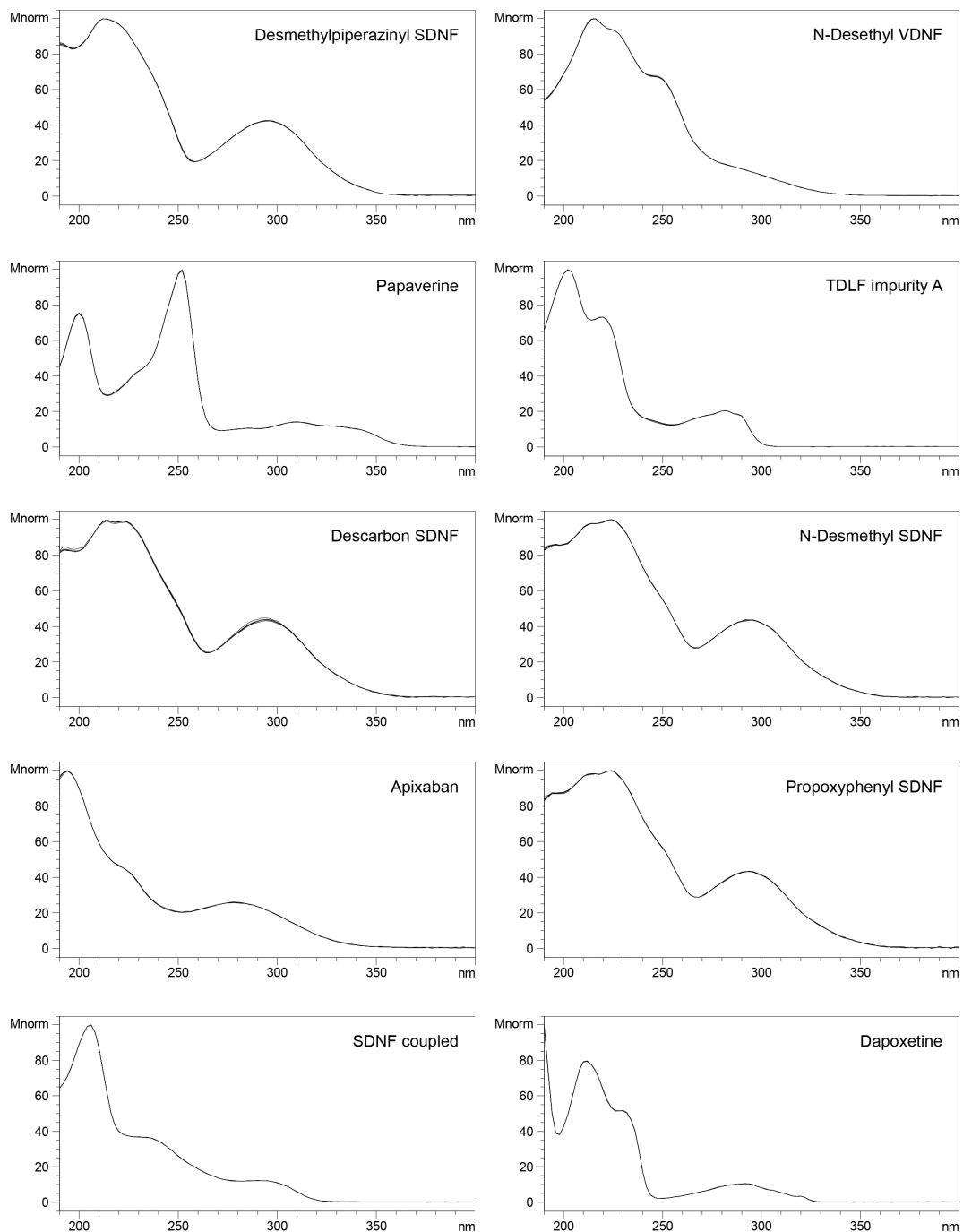


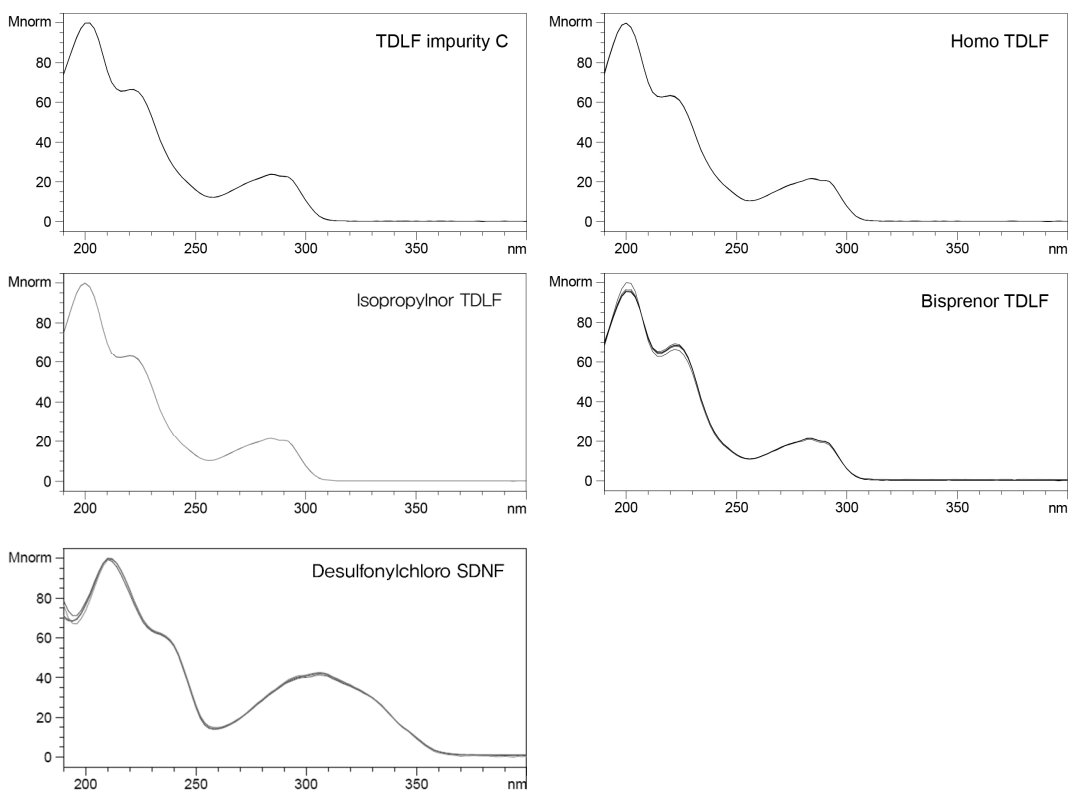
* 표준액 4





* 표준액 5





2. LC-MS/MS

○ Analytical conditions of HPLC

• Instrument	Shiseido SP3133	
• Column	CAPCELL PAK C ₁₈ UG120 (2.0 mm × 150 mm, 3.0 μm)	
• Column Temp.	40°C	
• Mobile Phase	(A) 0.1% Formic acid in Water (B) 0.1% Formic acid in Acetonitrile	
Time (min)	A (%)	B (%)
0.0	90	10
2.0	90	10
2.5	80	20
5.0	80	20
15.0	50	50
23.0	10	90
26.0	10	90
26.5	90	10
30.0	90	10
• Flow Rate	0.2 mL/min	
• Inj. Volume	2 μL	

○ Analytical conditions of LC-MS/MS

• Instrument	AB SCIEX Triple Quad 5500	
• Ionization Mode	ESI (+)	ESI (-)
• Curtain Gas	30 psi	30 psi
• Collision Gas	9 psi	9 psi
• Ion Voltage	5000 V	4500 V
• Ion Source Gas 1	50 psi	55 psi
• Ion Source Gas 2	50 psi	50 psi
• Source Temp.	450°C	500°C

○ Analyte MS/MS transition

Compound	Ion Mode	Precursor Ion (<i>m/z</i>)	DP (V)	Product Ion (<i>m/z</i>)	CE (V)	CXP (V)
Acetylvardenafil	+	467.2	146	151.1	63	12
				341.2	45	12
				127.0	41	14
Hydroxyvardenafil	+	505.2	176	151.0	57	12
				312.1	57	24
				299.0	57	12
<i>N</i> -Desethyl acetildenafil	+	439.2	146	99.1	39	8
				297.2	53	18
				166.0	65	10
Hydroxyhongdenafil	+	483.2	76	127.0	41	10
				297.2	55	14
				143.1	43	14
Hongdenafil	+	467.2	146	111.0	39	12
				127.1	41	8
				297.1	55	12
Lodenafilcarbonate	+	505.2	76	487.3	33	16
				283.1	57	10
				129.1	39	8
Sildenafil Impurity A	+	489.1	201	297.2	53	10
				325.1	43	10
				136.1	85	12
Aminotadalafil	+	391.1	86	269.0	29	16
				169.3	47	14
				262.1	47	11
<i>epi</i> -Aminotadalafil	+	391.1	80	269.1	19	15
				262.1	47	11
				169.0	42	14
Benzylsildenafil	+	551.2	91	377.2	39	16
				134.1	61	20
Mirodenafil	+	532.2	216	296.0	55	12
				312.0	59	16
				141.9	35	14
Mutaprodenafil	+	630.2	156	377.1	31	10
				312.0	47	32

표
준
액
1

	Compound	Ion Mode	Precursor Ion (m/z)	DP (V)	Product Ion (m/z)	CE (V)	CXP (V)
표준액 1	Thiosildenafil	+	491.1	86	299.0	53	14
					341.2	41	10
					327.0	41	12
표준액 1	Dimethylthiosildenafil	+	505.2	26	299.0	51	22
					327.0	43	22
					113.0	39	10
표준액 1	Propoxyphenylthio homosildenafil	+	519.2	130	299.1	50	10
					327.1	40	13
					113.2	47	11
표준액 1	<i>cis</i> -Cyclopentyl tadalafil	+	444.3	79	322.1	25	28
					169.1	60	11
					134.9	30	11
표준액 1	Nitrodenafil	+	358.2	71	284.2	43	16
					136.1	63	12
					166.1	69	12
표준액 1	Norneosildenafil	+	460.2	71	136.0	81	12
					151.1	75	14
					312.0	57	16
표준액 1	Vardenafil	+	489.2	186	339.2	33	10
					311.1	47	12
					166.0	59	22
표준액 1	Carbodenafil	+	453.2	101	325.1	51	16
					127.0	41	14
					297.2	57	8
표준액 2	Avanafil	+	484.2	95	375.1	36	23
					155.1	53	12
					221.1	37	13
표준액 2	Sildenafil	+	475.1	176	100.0	37	14
					283.0	51	12
					311.1	41	12
표준액 2	Homosildenafil	+	489.2	116	112.9	39	12
					283.0	53	16
					311.0	43	16
표준액 2	Dimethylsildenafil	+	489.2	131	113.1	39	10
					283.1	55	18
					311.2	43	10

Compound	Ion Mode	Precursor Ion (m/z)	DP (V)	Product Ion (m/z)	CE (V)	CXP (V)
Homosildenafil	+	489.2	116	112.9	39	12
				283.0	53	16
				311.0	43	16
Dimethylsildenafil	+	489.2	131	113.1	39	10
				283.1	55	18
				311.2	43	10
Udenafil	+	517.2	71	283.2	61	14
				325.3	51	12
				461.2	41	14
Cyclopentynafil	+	529.2	216	283.1	61	20
				461.2	41	14
				311.2	55	14
Dioxohongdenafil	+	495.3	176	127.1	47	10
				268.1	19	10
				168.9	47	14
Tadalafil	+	390.1	61	134.9	31	12
				268.1	19	10
				151.1	33	18
Xanthoanthrafil	+	390.1	71	107.2	83	12
				151.1	63	12
				110.1	97	14
Propoxyphenylthiohydroxy homosildenafil	+	535.2	51	299.1	53	18
				128.9	41	16
				315.0	55	16
Gendenafil	+	355.1	46	285.0	43	24
				326.9	35	18
				135.1	27	14
Chloropretadalafil	+	427.1	136	274.2	43	14
				204.1	35	8
				186.1	55	8
Thioquinapiperifil	+	449.2	126	118.0	71	16
				339.1	35	10
				166.1	60	20
Desmethylcarbodenafil	+	439.3	130	147.1	55	15
				151.0	43	12
				300.1	43	16
Norneovardenafil	+	357.1	121	98.2	41	10
				166.1	67	20
				151.0	43	12
Piperidinohongdenafil	+	438.2	211	300.1	43	16

표준액 2

표준액 3

Compound	Ion Mode	Precursor Ion (<i>m/z</i>)	DP (V)	Product Ion (<i>m/z</i>)	CE (V)	CXP (V)
Methylhydroxyhomosildenafil	+	519.2	126	129.1	43	16
				297.2	53	10
				267.2	75	10
Hydroxythiovardenafil	+	521.2	176	328.0	57	10
				167.0	73	22
				314.9	61	24
Desulfovardenafil	+	313.1	196	151.1	37	10
				256.1	41	8
Cinnamylidenafil	+	555.2	81	116.9	59	16
				437.2	31	12
				355.2	41	18
<i>trans</i> -Tadalafil	+	390.1	81	268.1	19	12
				169.1	57	14
				135.1	29	12
Hydroxythiohomosildenafil	+	521.2	191	99.1	41	10
				299.1	55	12
표준액 3	Dithiodesmethyl carbodenafil	471.1	146	371.0	33	22
				343.0	47	20
				178.8	63	16
Propoxyphenylthio aildenafil	+	519.1	151	299.1	49	10
				113.0	41	14
				315.1	51	12
Chlorodenafil	+	389.1	136	361.1	37	12
				285.0	43	12
Octylnortadalafil	+	488.3	86	366.3	25	12
				204.2	109	14
				343.1	49	10
Dithiopropylcarodenafil	+	499.1	96	371.1	35	16
				178.9	67	16
				144.2	43	10
Yohimbine	+	355.2	156	212.1	33	12
				100.1	35	10
Pyrazole N-Desmethylsildenafil	+	461.2	101	269.1	53	10
				297.1	43	8
				113.2	41	12
Demethylhongdenafil	+	453.2	130	297.2	47	11

Compound	Ion Mode	Precursor Ion (<i>m/z</i>)	DP (V)	Product Ion (<i>m/z</i>)	CE (V)	CXP (V)
Oxohongdenafil	+	481.2	141	410.1	43	24
				297.1	57	10
				165.0	47	14
Icariin	-	675.1	95	513.2	16	15
				367.1	44	11
Hydroxyhomo sildenafile	+	505.1	86	487.2	37	18
				283.1	55	12
				112.0	39	8
Acetaminotadalafil	+	434.1	136	262.2	45	8
				134.9	27	10
				311.0	25	12
Demethyltadalafil	+	377.1	81	255.0	19	16
				204.9	56	14
Diethylaminopretadalafil	+	464.2	1	86.1	43	14
				274.1	57	8
				134.9	37	18
2-Hydroxypropyl nortadalafil	+	434.2	91	312.1	21	8
				135.0	37	10
				262.1	49	24
Acetyl acid	+	357.2	84	329.2	42	11
				300.1	52	22
				256.2	53	9
Thiomosildenafil	+	505.1	16	299.0	53	20
				327.1	45	16
				355.1	43	14
Propoxyphenylthio sildenafile	+	505.2	176	299.1	51	10
				315.0	57	12
				271.1	59	12
Hydroxychlorodenafil	+	391.1	130	313.1	47	11
				285.1	47	11
<i>N</i> -Butyltadalafil	+	432.3	41	310.0	23	20
				134.9	35	16
<i>trans</i> -Cyclopentyl tadalafil	+	444.2	1	322.2	23	14
				169.2	57	12
				204.0	87	22

표
준
액
4

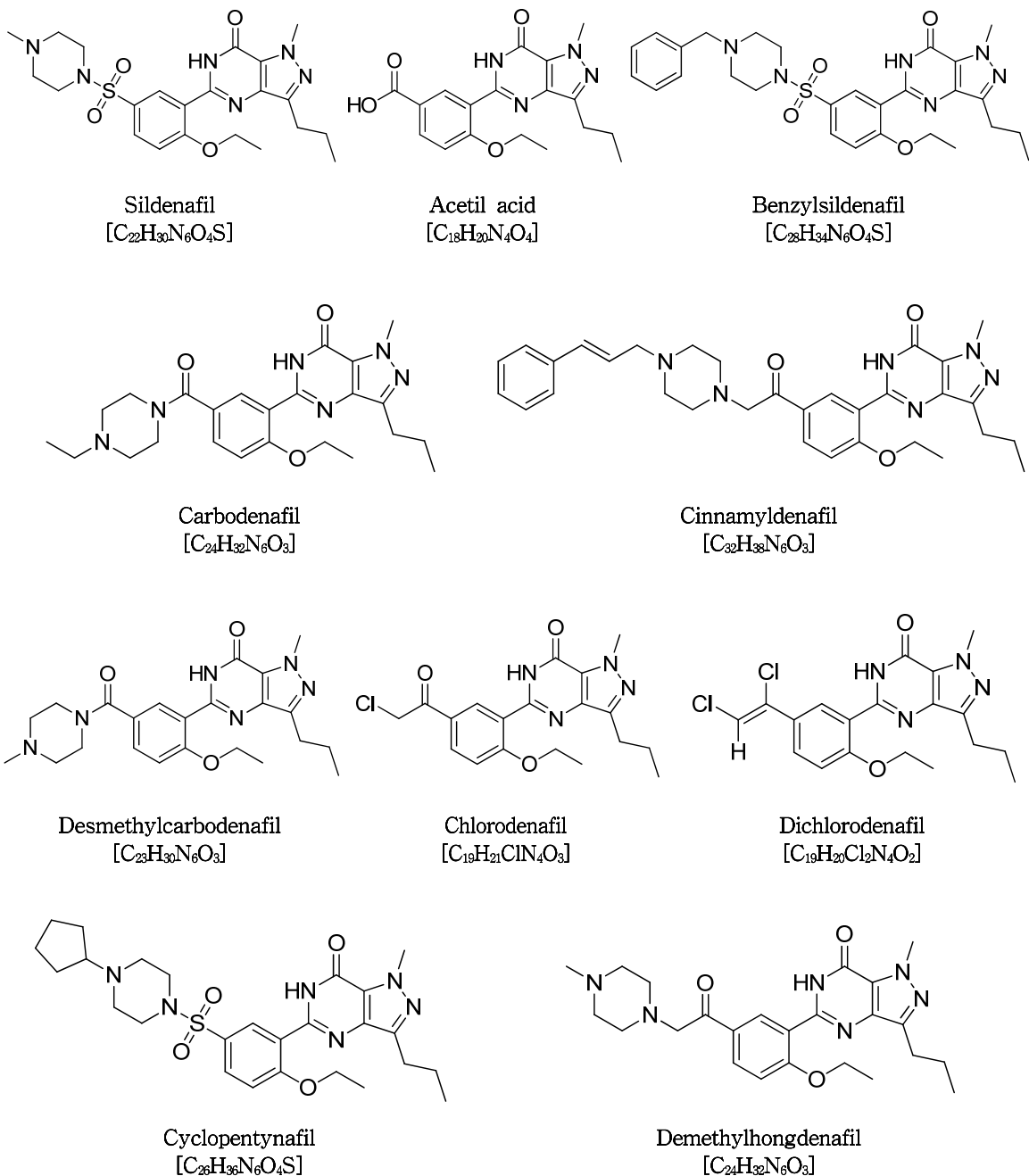
	Compound	Ion Mode	Precursor Ion (m/z)	DP (V)	Product Ion (m/z)	CE (V)	CXP (V)
표준액 4	Imidazosagatriazione	+	313.1	61	285.0 256.0	35 43	26 20
	Dichlorodenafil	+	407.1	71	378.9 349.9	39 45	24 12
	<i>N</i> -Desmethylsildenafil sulfonic acid	+	393.1	100	364.9 256.1 151.1	37 49 51	22 12 14
	<i>N</i> -Desethylvardenafil	+	461.1	96	312.2 284.1 324.1	51 51 43	12 14 12
	Papaverine	+	340.1	101	202.0 171.0	37 51	10 14
	Tadalafil Impurity A	+	350.1	71	333.0 206.0 264.1	19 47 25	10 22 16
	Descarbonsildenafil	+	463.2	131	311.2 283.1 283.1	53 37 51	10 14 18
	<i>N</i> -Desmethylsildenafil	+	461.2	61	311.0 85.0	41 65	14 10
	Apixaban	+	460.2	126	443.1 199.0	37 51	14 16
	Propoxyphenyl sildenafil	+	489.2	136	283.1 299.0 164.8	51 55 61	12 18 14
표준액 5	Sildenafil coupled	+	331.1	55	121.1 149.0 314.1	39 30 26	15 12 14
	Dapoxetine	+	306.1	70	261.2 183.2 157.0	20 27 40	10 11 15

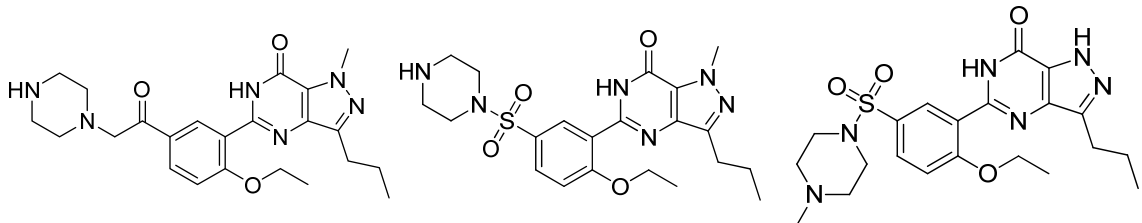
Compound	Ion Mode	Precursor Ion (<i>m/z</i>)	DP (V)	Product Ion (<i>m/z</i>)	CE (V)	CXP (V)
Tadalafil Impurity C	+	426.1	121	135.1	37	10
				395.0	17	20
				276.0	27	12
				282.0	19	10
Homo-tadalafil	+	404.2	11	204.0	83	18
				169.1	47	11
Isopropylnortadalafil	+	418.1	105	296.2	30	10
				135.2	37	9
				360.2	45	11
Bisprenortadalafil	+	766.2	130	334.0	45	11
				262.0	60	20
Desulfonylchlorosildenafil	+	347.2	130	319.1	38	13
				289.6	51	10

표
준
액
5

■ 구조식

○ Sildenafil analogue(38종)

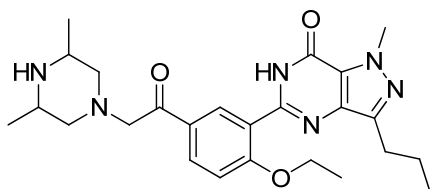




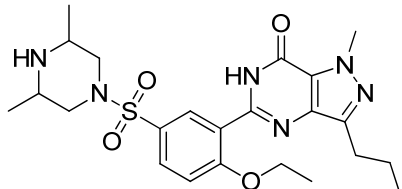
N-Desethylacetildenafil
[C₂₃H₃₀N₆O₃]

N-Desmethylsildenafil
[C₂₁H₂₈N₆O₄S]

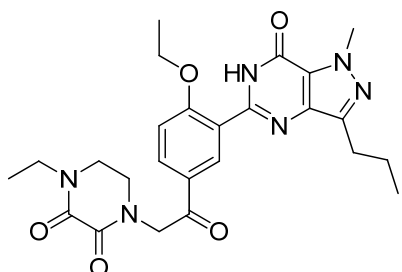
Pyrazole *N*-Desmethylsildenafil
[C₂₁H₂₈N₆O₄S]



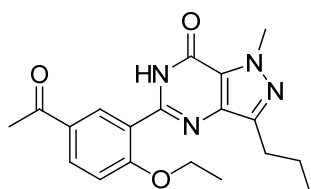
Dimethylacetildenafil
[C₂₅H₃₄N₆O₃]



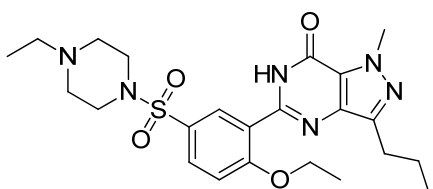
Dimethylsildenafil
[C₂₃H₃₂N₆O₄S]



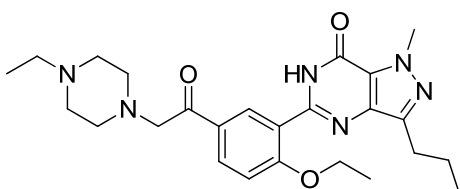
Dioxohongdenafil
[C₂₅H₃₀N₆O₅]



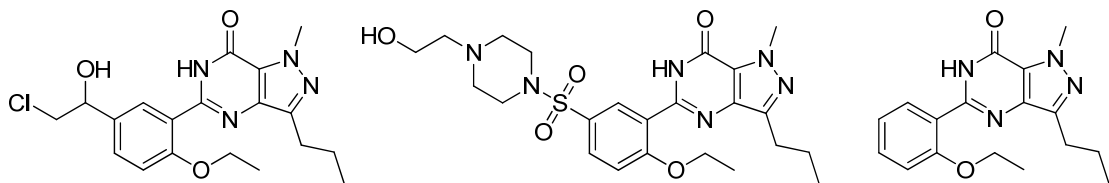
Gendenafil
[C₁₉H₂₂N₄O₃]



Homosildenafil
[C₂₃H₃₂N₆O₄S]



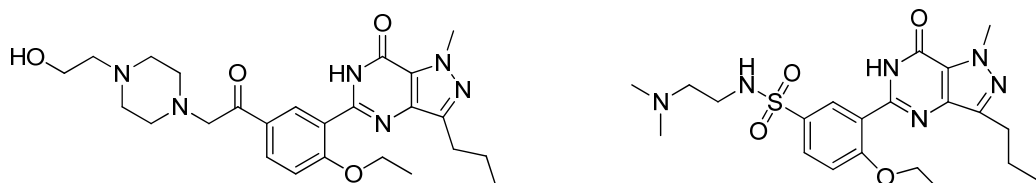
Hongdenafil
[C₂₅H₃₄N₆O₃]



Hydroxychlorodenafil
[C₁₉H₂₃ClN₄O₃]

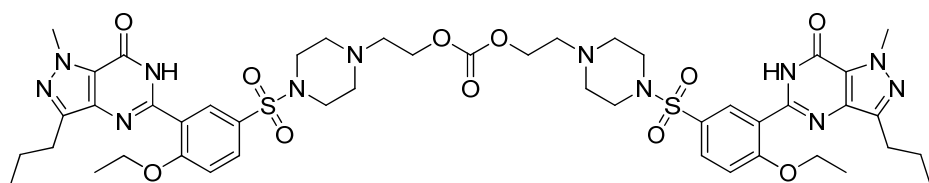
Hydroxyhomosildenafil
[C₂₃H₃₂N₆O₅S]

Imidazosagatiazinone
[C₁₇H₂₀N₄O₂]

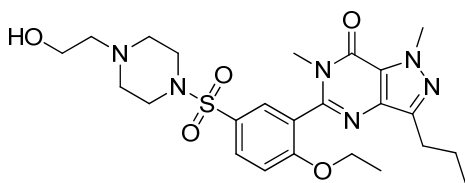


Hydroxyhongdenafil
[C₂₅H₃₄N₆O₄]

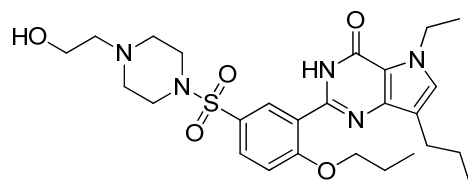
Descarbonsildenafil
[C₂₁H₃₀N₆O₄S]



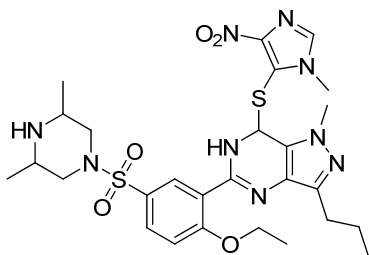
Lodenafilcarbonate
[C₄₇H₆₂N₁₂O₁₁S₂]



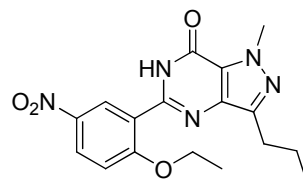
Methylhydroxyhomosildenafil
[C₂₄H₃₄N₆O₅S]



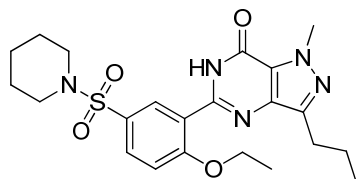
Mirodenafil
[C₂₆H₃₇N₅O₅S]



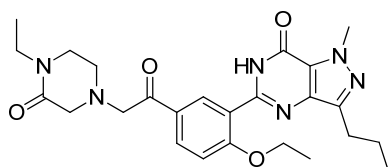
Mutaprodenafil
[C₂₇H₃₅N₉O₅S₂]



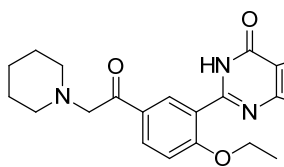
Nitrodenafil
[C₁₇H₁₉N₅O₄]



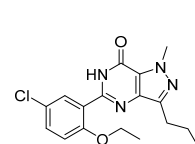
Norneosildenafil
[C₂₂H₂₉N₅O₄S]



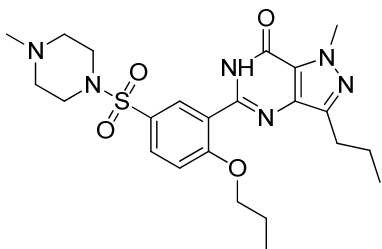
Oxohongdenafil
[C₂₅H₃₂N₆O₄]



Piperidino'hongdenafil
[C₂₄H₃₁N₅O₃]



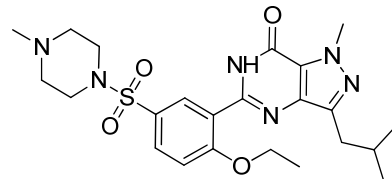
Desulfonylchlorosildenafil
[C₁₇H₁₉ClN₄O₂]



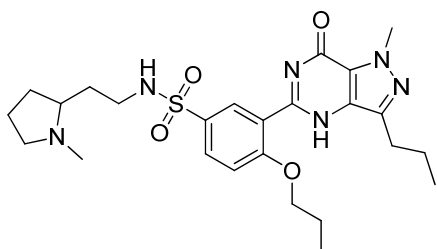
Propoxyphenylsildenafil
[C₂₃H₃₂N₆O₄S]



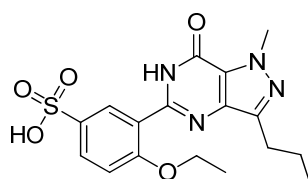
Sildenafil coupled
[C₁₇H₂₂N₄O₃]



Sildenafil Impurity A
[C₂₃H₃₂N₆O₄S]

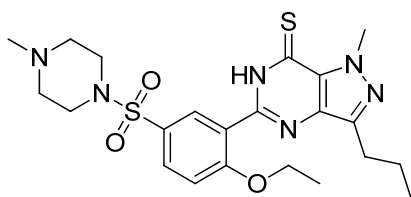


Udenafil
[C₂₅H₃₆N₆O₄S]

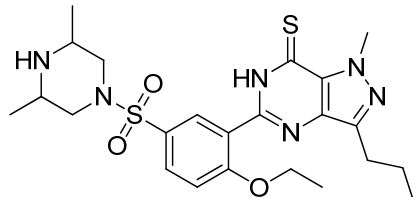


N-Desmethylpiperazinyl sildenafil sulfonic acid
[C₁₇H₂₀N₄O₅S]

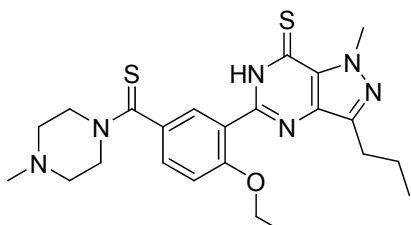
○ Thiosildenafil analogue(10종)



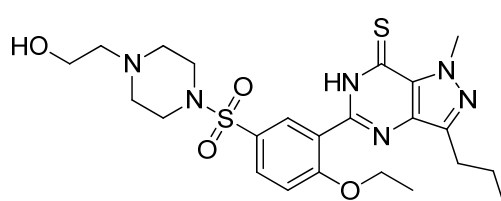
Thiosildenafil
[C₂₂H₃₀N₆O₃S₂]



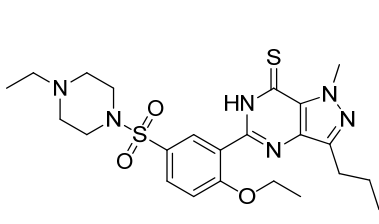
Dimethylthiosildenafil
[C₂₂H₃₂N₆O₃S₂]



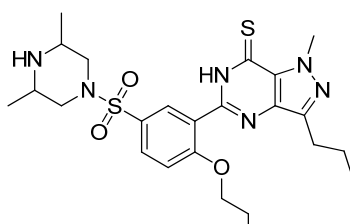
Dithiodesmethylcarbodenafil
[C₂₂H₃₀N₆OS₂]



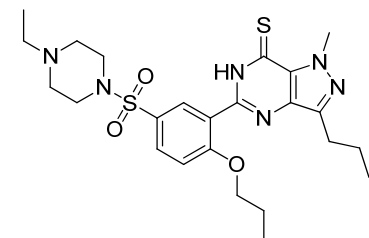
Hydroxythiohomosildenafil
[C₂₂H₃₂N₆O₄S₂]



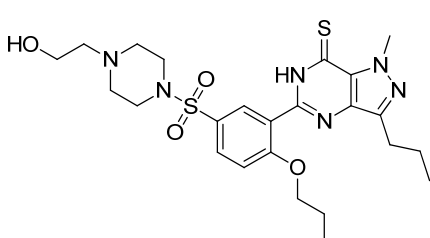
Thiohomosildenafil
[C₂₂H₃₂N₆O₃S₂]



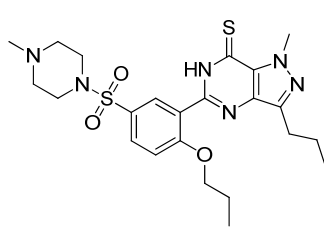
Propoxyphenylthioaildenafil
[C₂₄H₃₄N₆O₃S₂]



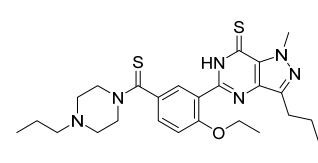
Propoxyphenylthiohomosildenafil
1
[C₂₄H₃₄N₆O₃S₂]



Propoxyphenylthiohydroxyhomosildenafil
[C₂₄H₃₄N₆O₄S₂]

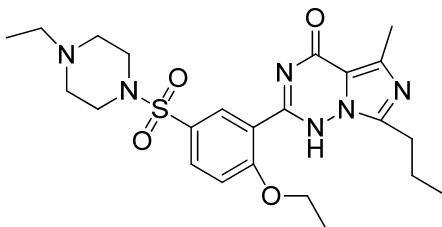


Propoxyphenylthiosildenafil
[C₂₂H₃₂N₆O₃S₂]

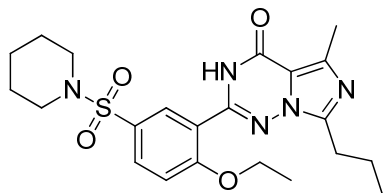


Dithiopropylcarbodenafil
[C₂₅H₃₄N₆OS₂]

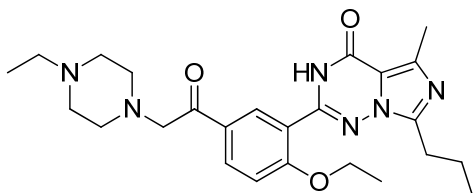
○ Vardenafil analogue(8종)



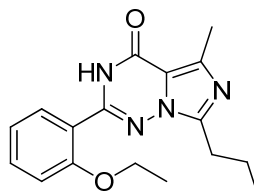
Vardenafil
[C₂₂H₃₂N₆O₄S]



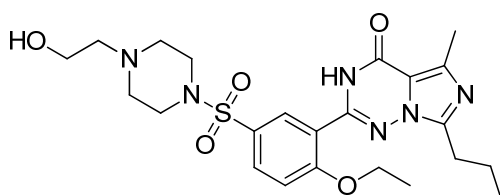
Pseudovardenafil
[C₂₂H₂₉N₅O₄S]



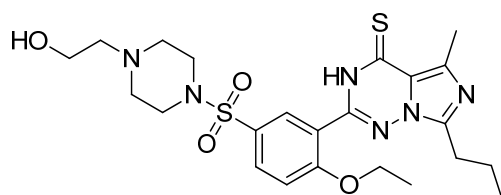
Acetylvardenafil
[C₂₅H₃₄N₆O₃]



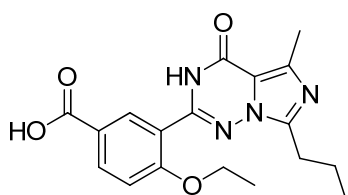
Desulfovardenafil
[C₁₇H₂₀N₄O₂]



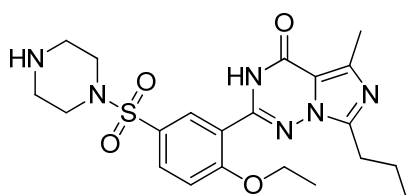
Hydroxyvardenafil
[C₂₃H₃₂N₆O₅S]



Hydroxythiovardenafil
[C₂₃H₃₂N₆O₄S₂]

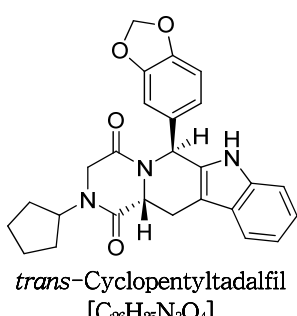
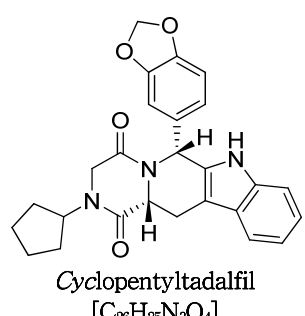
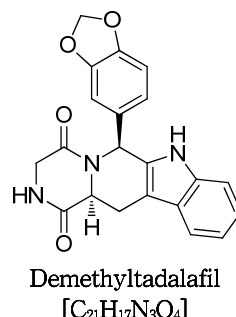
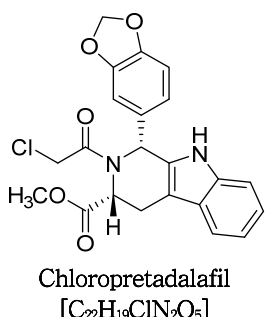
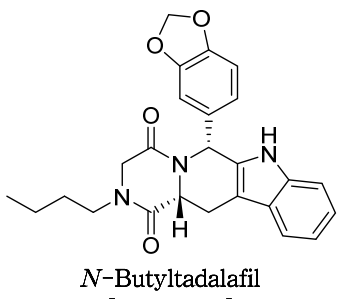
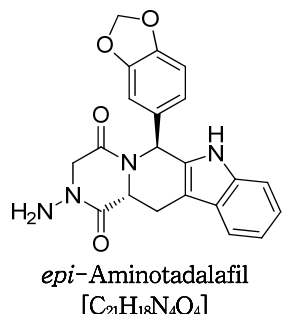
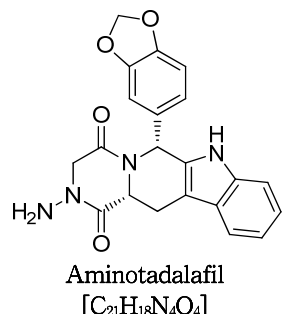
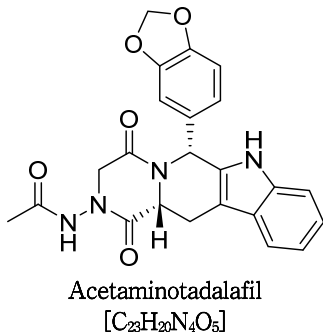
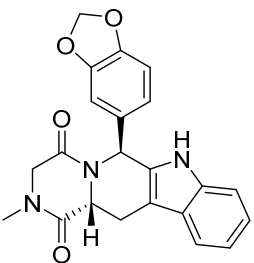
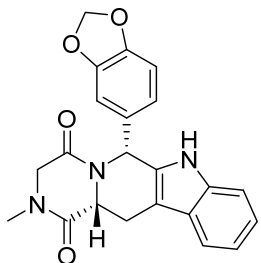


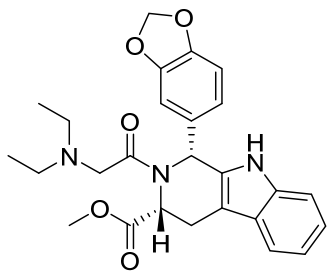
Norneovardenafil
[C₁₈H₂₀N₄O₄]



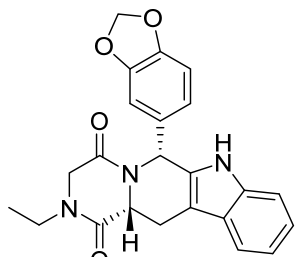
N-Desethylvardenafil
[C₂₁H₂₈N₆O₄S]

○ Tadalafil analogue(18종)

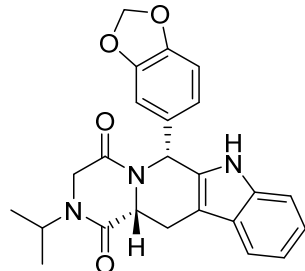




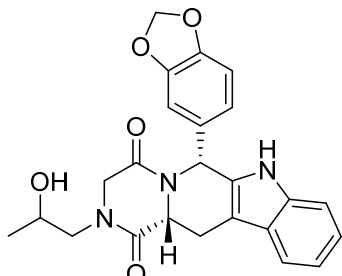
Diethylaminopretadalafil
[C₂₆H₂₉N₃O₅]



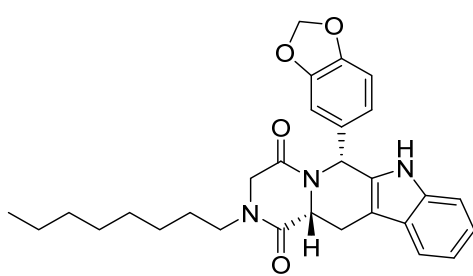
Homotadalafil
[C₂₃H₂₁N₃O₄]



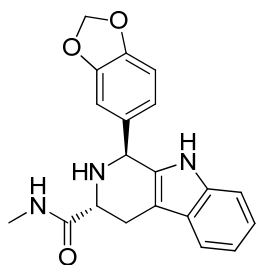
Isopropylnortadalafil
[C₂₄H₂₃N₃O₄]



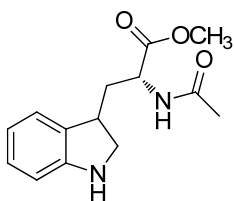
2-Hydroxypropylnortadalafil
[C₂₄H₂₃N₃O₅]



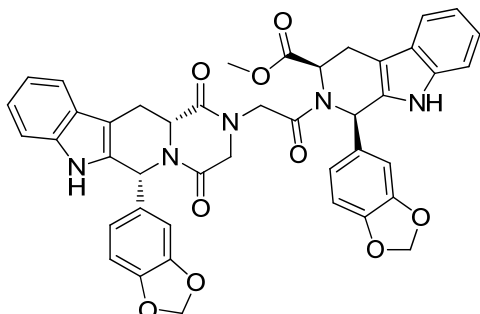
N-Octylnortadalafil
[C₂₉H₃₃N₃O₄]



Tadalafil Impurity A
[C₂₀H₁₉N₃O₃]

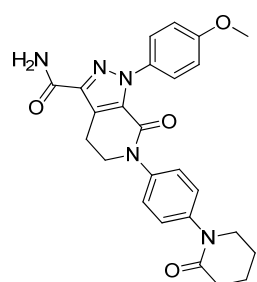
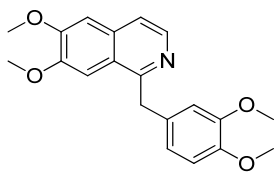
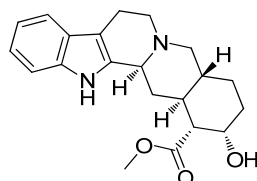
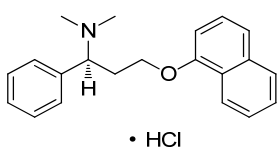
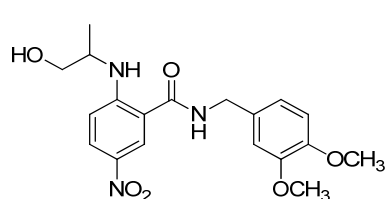
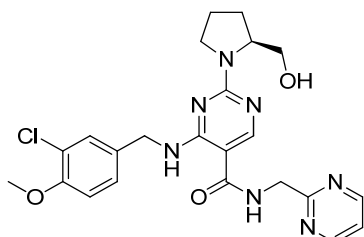
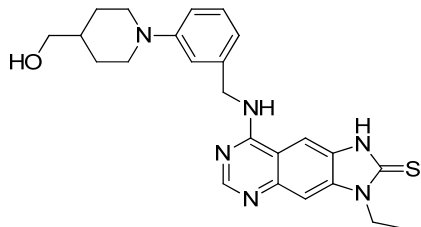
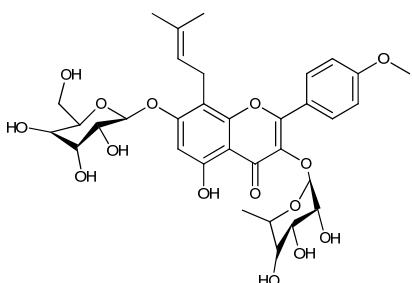


Tadalafil Impurity C
[C₁₄H₁₈N₂O₃]



Bisprenortadalafil
[C₄₃H₃₅N₅O₉]

○ Etc.(8종)



■ 참고문헌

1. Ji Hyun Lee, Han Na Park, Bogoda Ganganna, Ji Hye Jeong, Sung-Kwan Park, JongKook Lee & Sun Young Baek. Isolation and structural elucidation of a new tadalafil analogue in health supplements: Bisprenortadalafil, *Food Additives and Contaminants, Part A*, VOL.33,NO.6,945-952
2. Jung-Ah Do, Eunyoung Noh, Soon-Byung Yoon, Hojune Choi, Sun-Young Baek, Sung-Kwan Park, and Sang-Gyeong Lee, Establishment of a library of fragments for the rapid and reliable determination of anabolic steroids by liquid chromatography-quadrupole time of flight-mass spectrometry, *Analitical Science & Technology*, 30, 10-19 (2017)
3. Ji Hyun Lee, Ji Hye Jeong, Hyoung-Joon Park, Jung Ah Do, Seok Heo, Sooyeul Cho and Chang-Yong Yoon, Analysis of erectile dysfunction drugs and their analogues in counterfeit drugs and herbal medicines by LC-ESI-MS/MS, *Analitical Science & Technology*, 29, 155-161 (2016)
4. Eun Hye Kim, Hee Seung Seo, Nam Yong Ki, Na-Hyun Park, Wonwoong Lee, Jung Ah Do, Sungkwan Park, Sun Young Baek, Bongjin Moon, Han Bin Oh, Jongki Hong, Reliable screening and confirmation of 156 multi-class illegal adulterants in dietary supplements based on extracted common ion chromatograms by ultra-high-performance liquid chromatography-quadrupole /time of flight-mass spectrometry, *A Journal of Chromatography A*, 1491, 43-56 (2017)
5. Sooyeun Lee, Dajeong Ji, Meejung Park, Kyu Hyuck Chung, Development of a comprehensive spectral library of sildenafil and related active analogues using LC - QTOF - MS and its application for screening counterfeit pharmaceuticals, *Forensic Science International*, 257, 182-188 (2015)
6. Sara E. Kern, Lisa M. Lorenz, Adam Lanzarotta, Elisa A. Nickum, Jonathan J. Litzau, Isolation and structural characterization of a new tadalafil analog (chloropropanoylpertadalafil) found in a dietary supplement, *Journal of Pharmaceutical and Biomedical Analysis*, 128, 360 - 366 (2016)

II-5 ◀ 체중감량성분_비만치료관련성분(35종) 분석법

■ 배경

- 식품 제조·가공업체에서 제조한 '밸런스 F-190' 제품에서 비만치료제 유사물질인 '클로로시부트라민'이 검출되어 식품 회수 조치('14.11.)
- 식품으로 사용할 수 없는 의약품 성분인 '시부트라민', '테스메칠시부트라민' 함유된 밀수입 중국산 다이어트 제품 적발('16. 6.)
- 해외 직구 다이어트 제품에서 '센노사이드' 등 유해물질 검출('16. 7)



■ 특성

- 시부트라민: 가장 흔히 사용되던 비만치료제였으나 두통, 불면증, 우울증 등의 부작용으로 인해 2010년 국내시장에서 퇴출됨
- 오르리스타트: 지방흡수 억제 의약품으로 섭취한 지방을 흡수시키지 않고 배설시키며 FDA 승인받은 의약품
- 펜디메트라진, 펜플루라민: 향정신성 의약품 중 대표적인 비만치료제로 4주만 복용해도 중독 우려가 있고 3개월 이상 복용시 폐동맥 고혈압 등 부작용을 나타냄
- 에페드린: 대사 촉진 물질로 안전성이 확립되지 않아 FDA 승인을 받지 못하였음. 어지러움, 불면증, 홍분, 빈맥, 등 부작용 우려가 있음

■ 분석사례

- 다빼 1호 : Phenolphthalein 24.7 mg/g 검출
- 밸런스 F-190 : Chlorosibutramine 672 ug/g 검출

■ 분석법

1. HPLC법

○ 전처리 방법

- 표준액 조제 : 표준액 1* Atenolol 등 19종

표준액 2* 2-Phenethylamine hydrochloride 등 16종

→ 각각 일정량 취함 → 100% 메탄올 가함 → 최종 농도(약 10~200 µg/mL)

- 검액 조제 : 약 1 g 취함 → 70% 메탄올 가함 → 30분 진탕 → 50 mL 정용

* 표준액 1 : Atenolol, Ephedrine hydrochloride, β -Methylphenethylamine, Phendimetrazine tartrate, Diethylpropion hydrochloride, Phentermine hydrochloride, Clenbuterol, Phenobarbital, Bupropion hydrochloride, Propranolol hydrochloride, Bisacodyl, Liothyronine, Phenolphthalein, Didesmethylsibutramine, Flouxetine hydrochloride, Sibutramine hydrochloride, Chlorosipentramine, Rimonabant, Orlistat

* 표준액 2 : 2-Phenethylamine hydrochloride, Pseudoephedrine hydrochloride, Captopril, Sennoside B, Sennoside A, Lorcaserine hydrochloride, Mazindol, Fenfluramine hydrochloride, Modafinil, Phenytoin sodium, Paroxetine hydrochloride, Levothyroxine, Desmethylsibutramine hydrochloride salt, Sertraline hydrochloride, Benzylsibutramine hydrochloride, Chlorosibutramine

○ Analytical conditions of HPLC

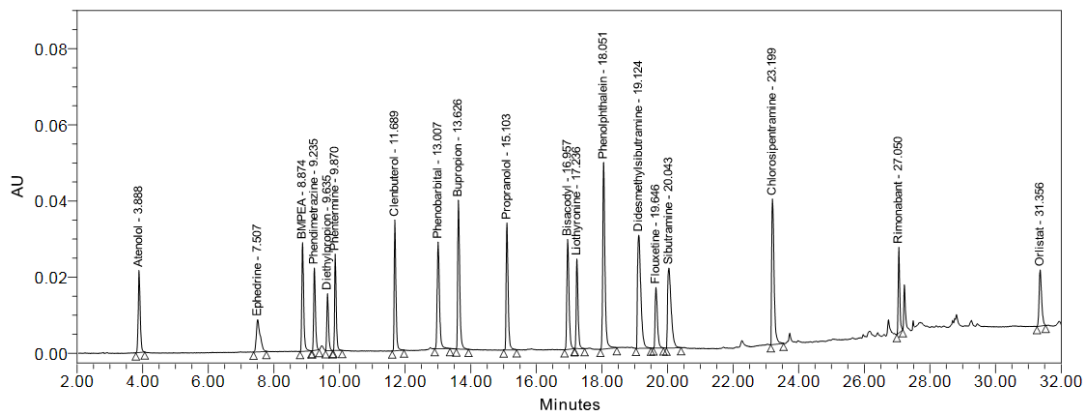
- | | |
|----------------|--|
| • Instrument | Waters ACQUITY UPLC |
| • Column | Waters ACQUITY UPLC HSS C ₁₈ (2.1 mm × 150 mm, 1.8 µm) |
| • Column Temp. | 40°C |
| • Mobile Phase | (A) 0.5 mM Sodium 1-hexane sulfonate in Water (0.1% H ₃ PO ₄)
(B) 95% Acetonitrile |

Time (min)	A (%)	B (%)
0.0	90	10
3.0	90	10
20.0	50	50
25.5	10	90
25.6	0	100
30.0	0	100
31.0	90	10
35.0	90	10

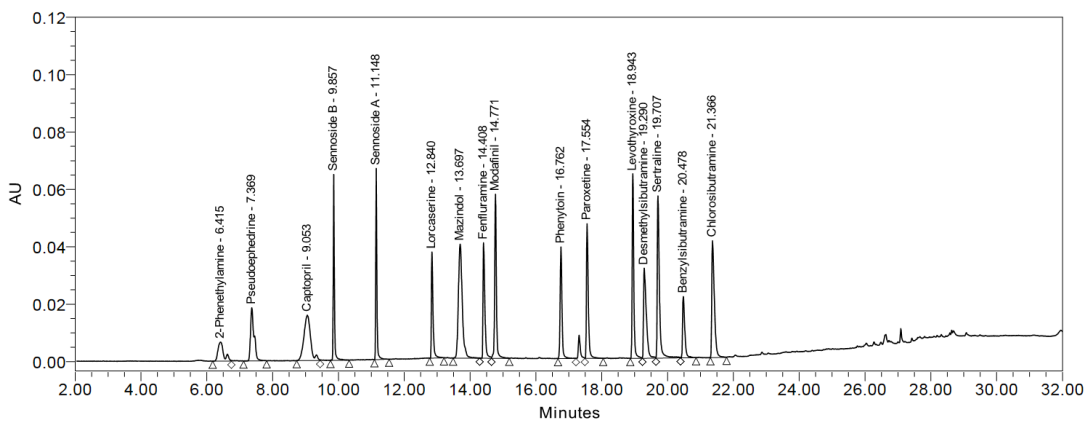
- | | |
|----------------|------------|
| • Flow Rate | 0.3 mL/min |
| • Inj. Volume | 1 µL |
| • UV Detection | 210 nm |
| • PDA Range | 190~400 nm |



○ Chromatogram

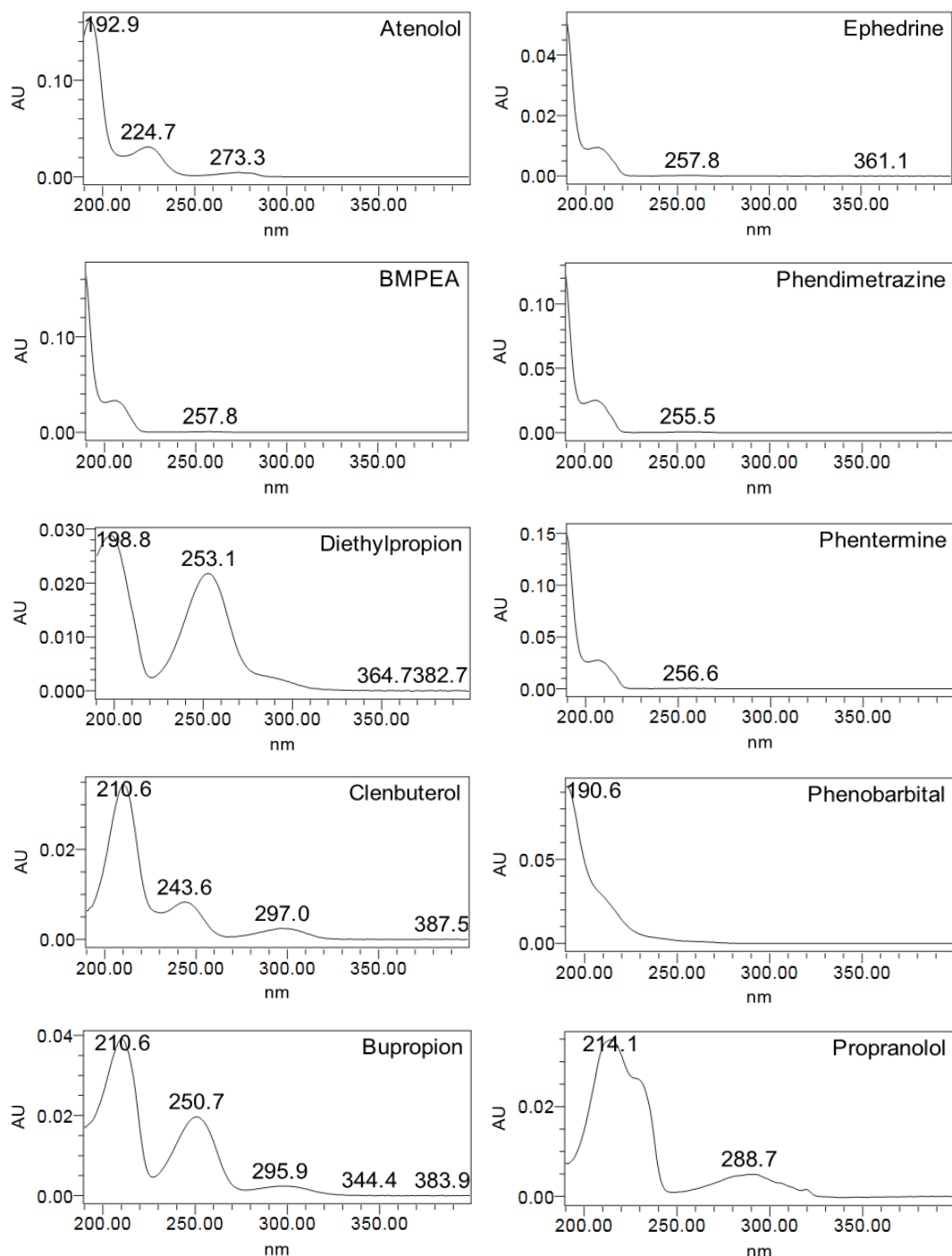


[표준액 1]

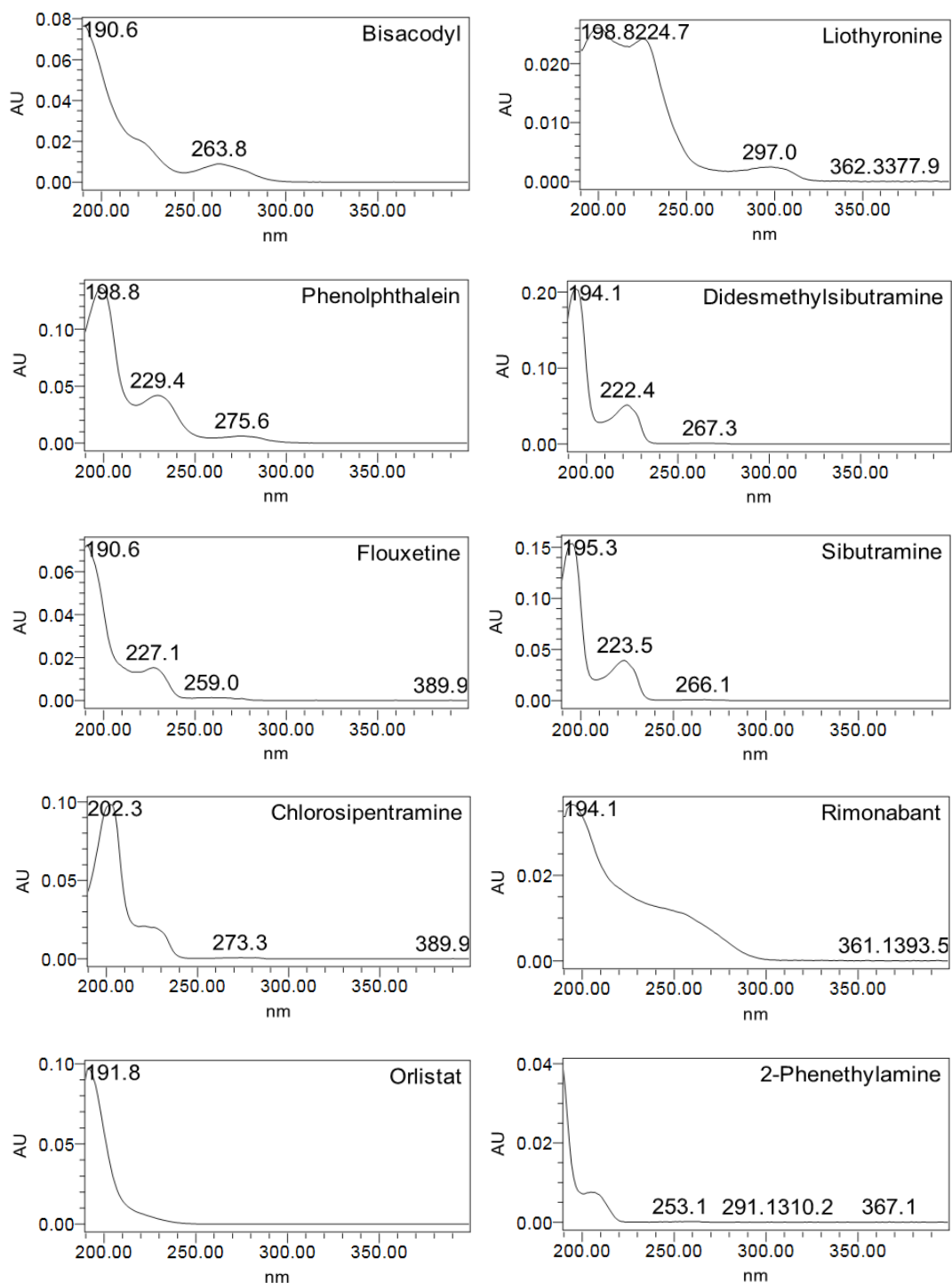


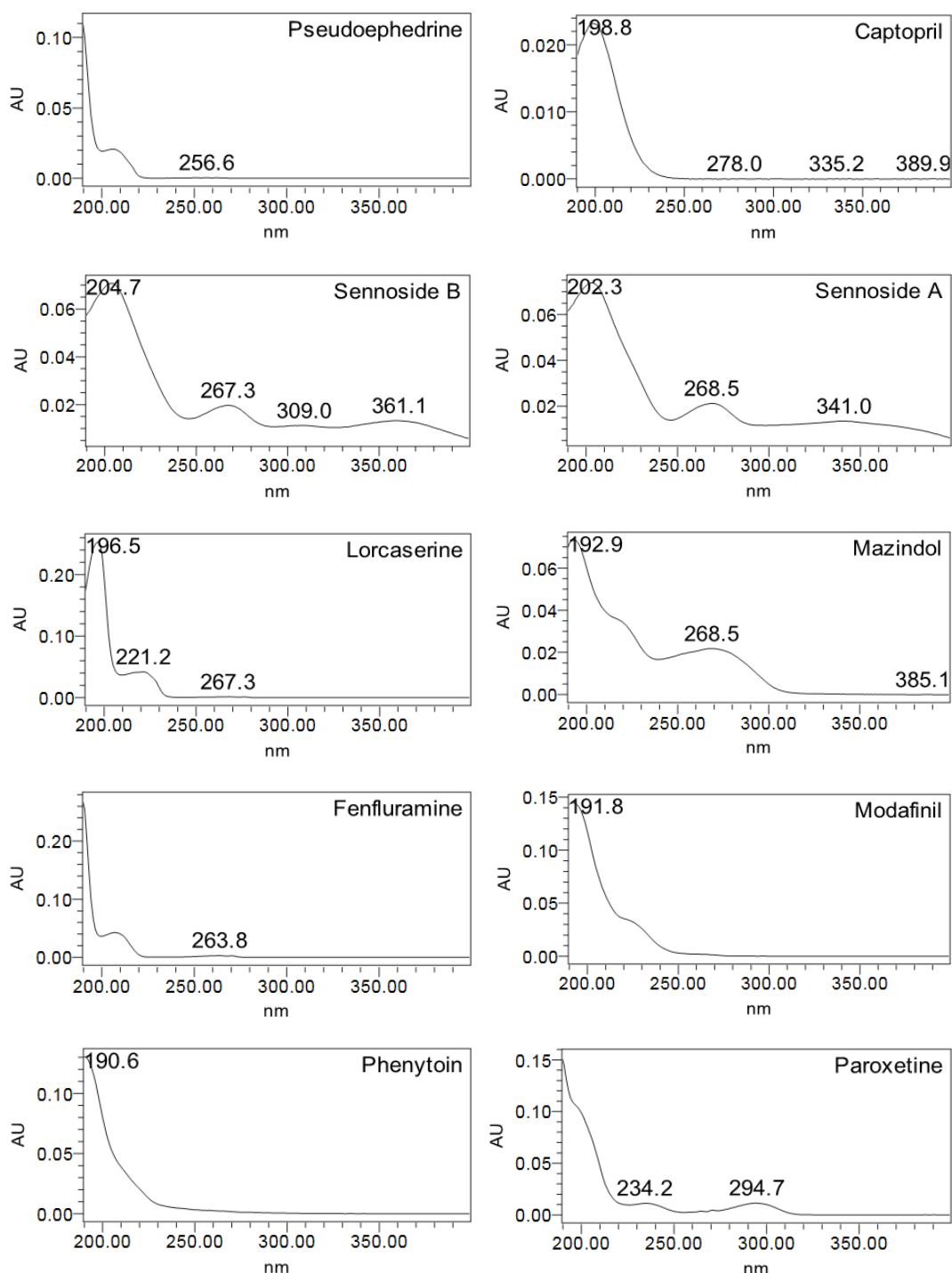
[표준액 2]

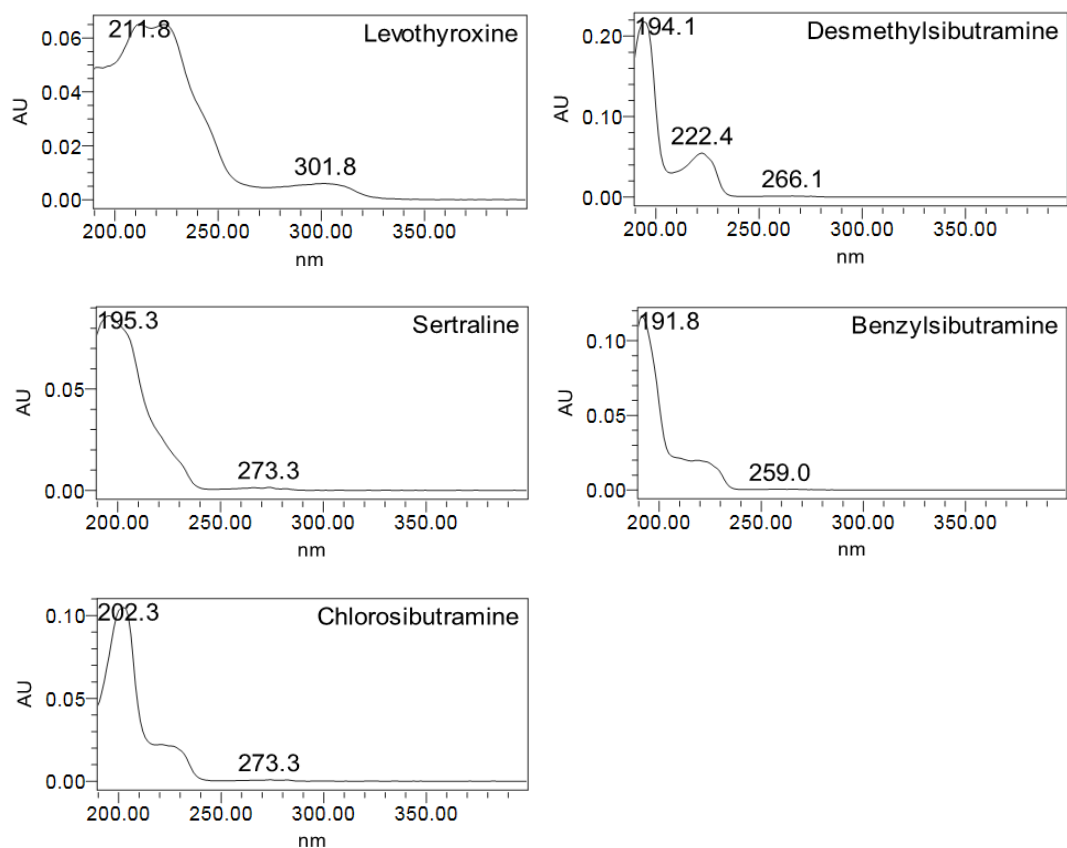
○ PDA Spectrum



II-5. 체중감량성분_비만치료관련성분(35종) 분석법







2. LC-MSMS

○ Analytical conditions of HPLC

• Instrument	UPLC Waters ACQUITY UPLC	
• Column	Waters ACQUITY UPLC BEH C ₁₈ (2.1 mm × 100 mm, 1.7 μm)	
• Column Temp.	30°C	
• Mobile Phase	(A) 0.1% Formic acid in Water:Acetonitrile (95:5) (B) 0.1% Formic acid in Water:Acetonitrile (5:95)	
Time (min)	A (%)	B (%)
0.0	95	5
1.0	95	5
3.0	0	100
8.0	0	100
8.1	95	5
10.0	95	5
• Flow Rate	0.25 mL/min	
• Inj. Volume	2 μL	

○ Analytical conditions of LC-MS/MS

• Instrument	Waters Xevo TQ	
• Ionization Mode	ESI (+)	ESI (-)
• Capillary Voltage	2.7 kV	2.8 kV
• Desolvation Temp.	400°C	300°C
• Desolvation Gas Flow	600 L/Hr (N ₂)	550 L/Hr (N ₂)
• Cone Gas Flow	50 L/Hr (N ₂)	off

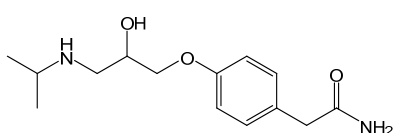
○ Analyte MS/MS transition

Compound	Ion Mode	Precursor ion (<i>m/z</i>)	CV (V)	Product ion (<i>m/z</i>)	CE (eV)
Atenolol	+	267.30	30	144.85	25
				189.95	20
				148.00	10
Ephedrine	+	166.15	20	116.85	20
				114.90	25
				118.95	10
β -Methylphenethylamine	+	136.10	10	90.85	15
				64.80	30
				148.00	20
Phendimetrazine	+	192.19	35	114.85	28
				104.85	20
				132.90	10
Diethylpropion	+	206.25	35	132.90	10
				90.80	15
				132.10	25
Phentermine	+	150.14	15	203.05	17
				259.15	10
				84.80	10
Clenbuterol	+	277.17	20	183.90	15
				165.9	15
				187.8	10
1 표준액 1 Phenobarbital	-	230.85	25	73.82	20
				115.90	20
				226.00	20
Bupropion	+	240.25	20	183.90	30
				165.9	20
				478.10	40
Propranolol	+	260.35	25	196.90	35
				224.85	20
				138.85	10
Bisacodyl	+	362.16	30	152.90	10
				178.95	10
				43.80	10
Liothyronine	+	652.12	30	148.00	10
				606.06	20
				478.10	40
Phenolphthalein	+	319.25	25	152.90	10
				178.95	10
				43.80	10
Didesmethylsibutramine	+	252.20	15	148.00	10
				138.85	10
				43.80	10
Fluoxetine	+	310.35	15	148.00	10
				138.85	10
				43.80	10

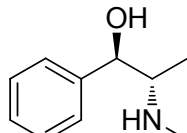
	Compound	Ion Mode	Precursor ion (<i>m/z</i>)	CV (V)	Product ion (<i>m/z</i>)	CE (eV)
표준액 1	Sibutramine	+	280.40	20	124.80	20
					138.80	15
					159.00	25
					173.00	20
표준액 2	Chlorosipentramine	+	328.25	25	185.00	25
					199.05	20
					265.02	50
					299.10	52
표준액 1	Rimonabant	+	463.10	42	362.99	32
					319.25	13
					160.05	13
					105.00	20
표준액 2	2-Phenethylamine	+	122.10	20	76.80	15
					147.95	10
					116.85	20
					114.85	25
표준액 1	Pseudoephedrine	+	166.15	15	69.80	20
					74.80	20
					116.00	12
					386.20	40
표준액 2	Sennoside B	-	861.69	60	224.02	50
					386.20	60
					224.02	35
					144.10	20
표준액 1	Lorcaserine	+	196.15	35	151.05	25
					179.10	15
					49.82	20
					129.82	35
표준액 2	Mazindol	+	285.25	35	108.88	35
					158.90	20
					186.90	15
					128.80	15
표준액 1	Fenfluramine	+	232.25	25	77.01	43
					182.08	15
표준액 2	Modafinil	+	296.20	20		
표준액 1	Phenytoin sodium	+	253.06	29		

Compound	Ion Mode	Precursor ion (<i>m/z</i>)	CV (V)	Product ion (<i>m/z</i>)	CE (eV)
Paroxetine	+	330.30	25	150.90	20
				177.95	20
				192.00	20
Levothyroxine	+	778.09	28	732.02	20
				324.07	50
				138.85	15
Desmethylsibutramine	+	266.30	20	152.90	15
				178.90	15
				158.80	25
Sertraline	+	306.25	15	274.95	15
				124.92	20
				156.95	15
Benzylsibutramine	+	314.35	20	176.90	15
				158.93	30
				172.97	16
Chlorosibutramine	+	314.16	20	187.02	16

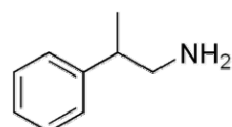
■ 구조식



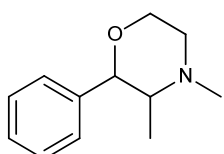
[C₁₄H₂₂N₂O₃]



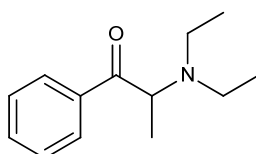
[C₁₀H₁₅NO]



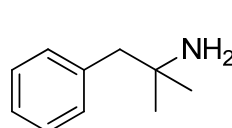
[C₉H₁₃N]



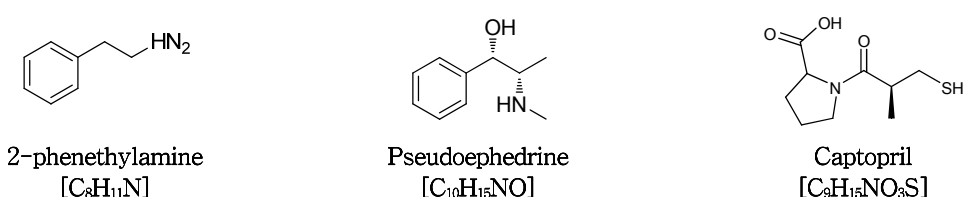
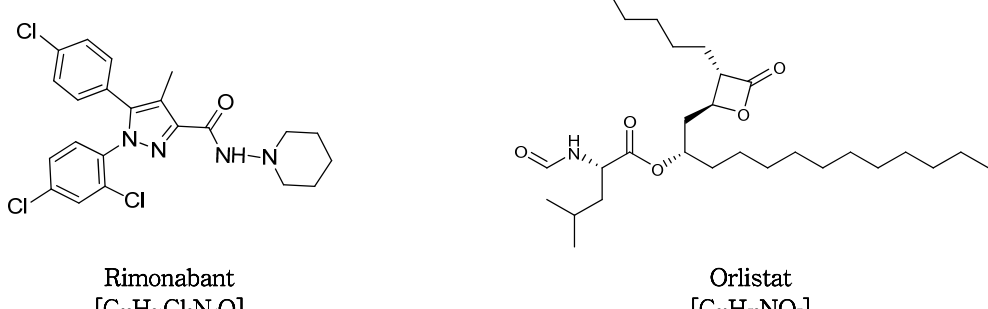
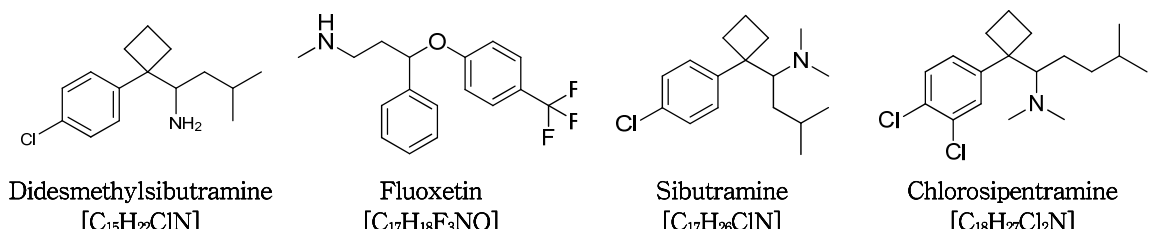
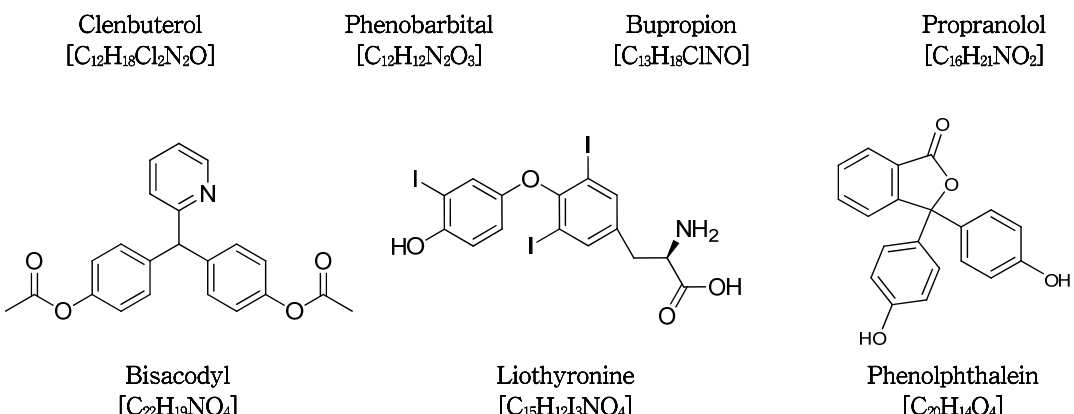
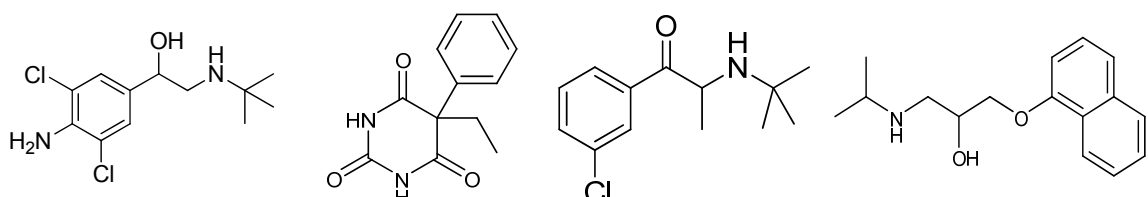
[C₁₂H₁₇NO]

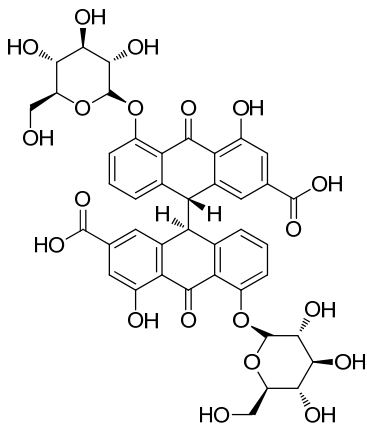


[C₁₃H₁₉NO]

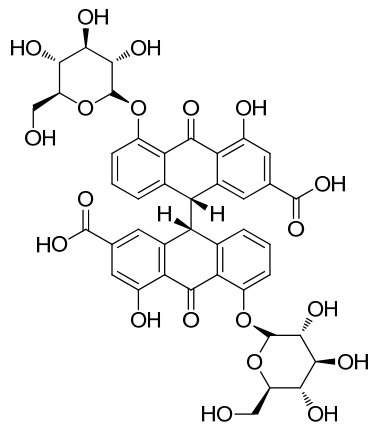


[C₁₀H₁₅N]

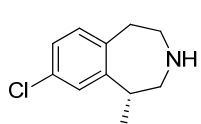




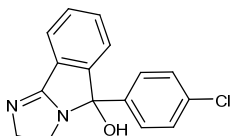
Sennoside B
[C₄₂H₃₈O₂₀]



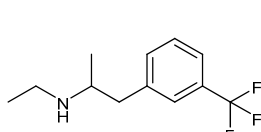
Sennoside A
[C₄₂H₃₈O₂₀]



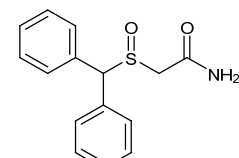
Lorcaserin
[C₁₁H₁₄ClN]



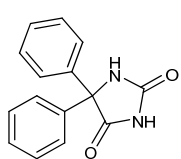
Mazindol
[C₁₆H₁₃ClN₂O]



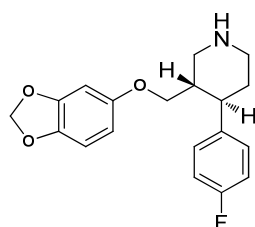
Fenfluramine
[C₁₂H₁₆F₂N]



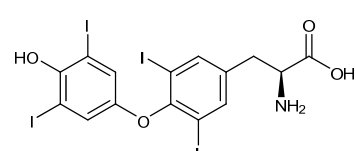
Modafinil
[C₁₅H₁₅NO₂S]



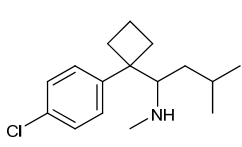
Phenytoin
[C₁₅H₁₂N₂O₂]



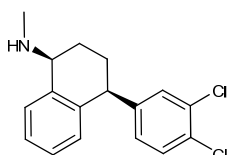
Paroxetine
[C₁₉H₂₀FNO₃]



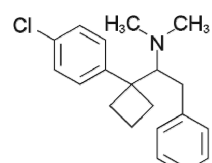
Levothyroxine
[C₁₅H₁₁I₄NO₄]



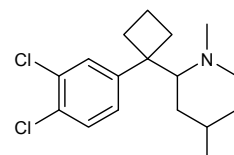
Desmethylsibutramine
[C₁₆H₂₄ClN]



Sertraline
[C₁₇H₁₇Cl₂N]



Benzylsibutramine
[C₂₀H₂₄ClN]



Chlorosibutramine
[C₁₇H₂₅Cl₂N]

■ 참고문헌

1. Hyung Joo Kim, Ji Hyun Lee, Hyoung Joon Park, So-Hyun Cho, SooYeul Cho, Woo Seoung Kim. Monitering of 29 weight loss compounds in food and dietary supplements by LC-MS/MS. *Food Additives and Contaminants. 31(5)*, 777-783 (2014)
2. P. Ravi Kumar Reddy, V. Krishna Reddy, E. Sasikiran Goud. Development and validation of UPLC method for determination of atenolol in tablets form. *World J Pharm Pharmaceu Sci. 3(9)*, 808-816 (2014)
3. Ji Won Kim, Soon Jae Kweon, Seon Kyung Park, Jung Yeon Kim, Ji Hyun Lee, Kyoung Moon Han, Sooyeul Cho, Jinho Kim, Soon Young Han, Hyoung Ja Kim and Woo Seong Kim. Isolation and identification of a sibutramine analogue adulterated in slimming dietary supplements. *Food Additives and Contaminants, Part A. 30(4)* 621-626 (2013)
4. Kim, S. H., Lee, J., Yoon, T., Choi, J., Choi, D., Kim, D. & Kwon, S. W. Simultaneous determination of anti-diabetes/anti-obesity drugs by LC/PDA, and targeted analysis of Sibutramine analog in dietary supplements by LC/MS/MS. *Biomed Chromatogr. 23*, 1259-1265 (2009)
5. Sherma, J. High-performance liquid chromatography/mass spectrometry analysis of botanical medicines and dietary supplements : A Review. *Journal of AOAC International. 86*, 873-881, (2003)

II-6 ◀ 수면유도제(15종) 분석법

■ 배경

- 수면유도제 몰래 투약하던 간호조무사 사망('16. 8.)
- 마약성 수면유도제 '졸피뎀' 관련 범죄 기승('15. 11.)
- 금은방 주인에게 수면유도제 먹이고 귀금속 털어('13. 6.)
- 수면유도제를 식품에 혼입해 범죄에 이용하는 사례가 증가하고 있음
- 향정신성의약품 빼돌린 목포 한국병원 간호사 입건('17. 7.)



■ 특성

- 수면유도제 종류로 크게 벤조디아제핀계 약물, 바비튜레이트(바비탈)계 약물, 비 벤조디아제핀계 약물, 항히스타민제 등이 있음
 - 벤조디아제핀계 약물 : 뇌신경계에서 전반적으로 진정, 이완작용을 하는 가바(GABA)라는 물질의 수용체를 활성화시킴
(ex) Midazolam, Flurazepam 등
 - 바비튜레이트(바비탈)계 약물 : 전반적인 중추신경계의 작용, 특히 호흡을 억제하는 역할
(ex) Hexobarbital, Pentobarbital, Phenobarbital 등
 - 비 벤조디아제핀계 약물 : 특정 가바 수용체에만 작용하여 벤조디아제핀계 약물에 비해 안전하다고 여겨짐 (ex) Zolpidem 등
 - 항히스타민제 : 신경을 진정시키는 성분이 들어있어 수면유도제로 쓰임
(ex) Diphenhydramine hydrochloride 등

■ 분석법

1. HPLC법

○ 전처리 방법

- 표준액 조제 : Diphenhydramine 등 15종*

→ 각각 일정량 취함 → 100% 메탄을 가함 → 최종 농도(약 5~20 µg/mL)

- 검액 조제 : 약 1 g 취함 → 70% 메탄을 가함 → 30분 진탕 → 50 mL 정용

* 표준액 : Zolpidem, Phenobarbital, Midazolam, Flurazepam, Diphenhydramine hydrochloride, Pentobarbital, Hexobarbital, Estazolam, Flunitrazepam, Lorazepam, Triazolam, Temazepam Alprazolam, Clonazepam, Clemastine

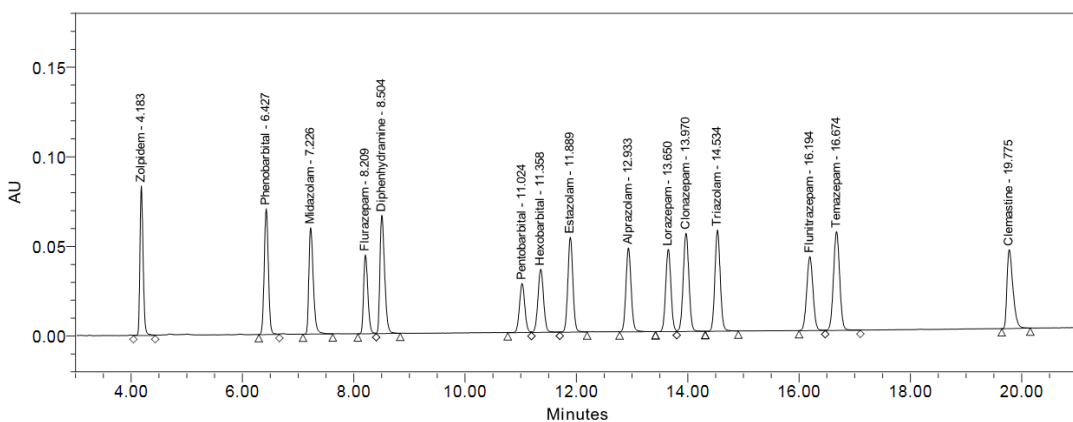
○ Analytical condition of HPLC

- Instrument Waters ACQUITY UPLC
- Column Waters ACQUITY UPLC HSS T3 (2.1 mm × 150 mm, 1.8 µm)
- Column Temp. 40°C
- Mobile Phase (A) 0.5 mM Sodium-1-hexane sulfonate in Water (0.1% H₃PO₄)
(B) 95% Acetonitrile

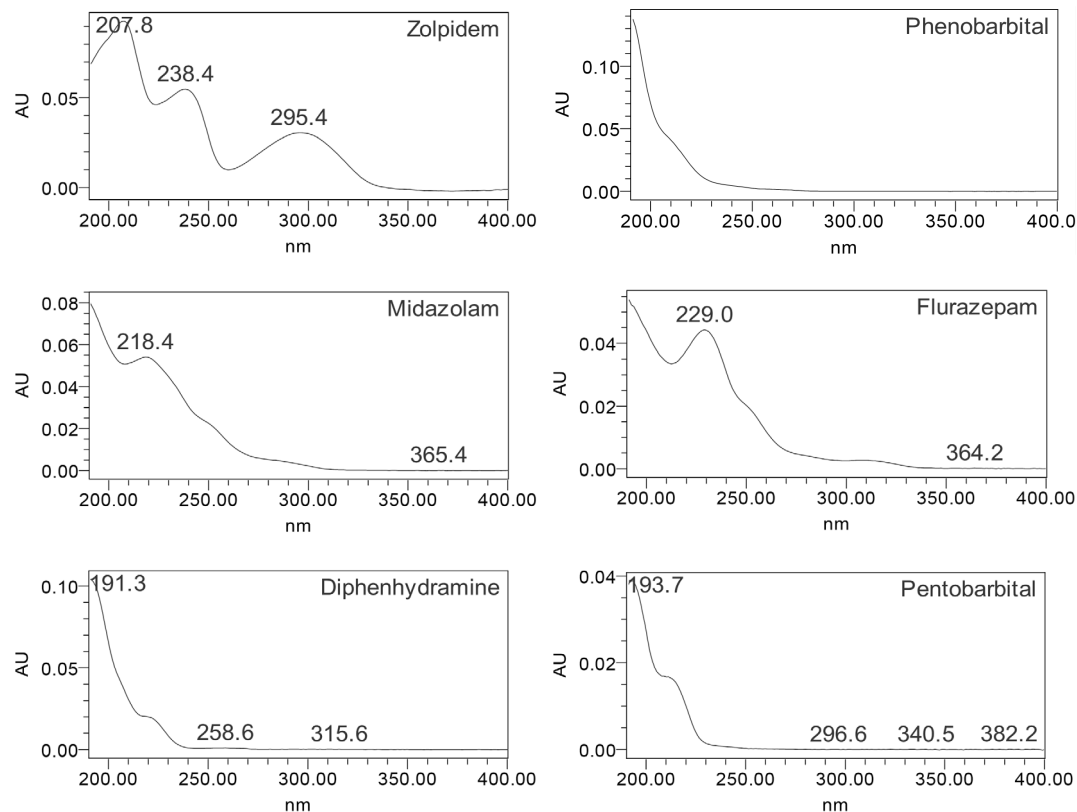
Time (min)	A (%)	B (%)
0.0	68	32
2.0	68	32
19.0	50	50
19.1	10	90
22.0	10	90
22.1	68	32
28.0	68	32

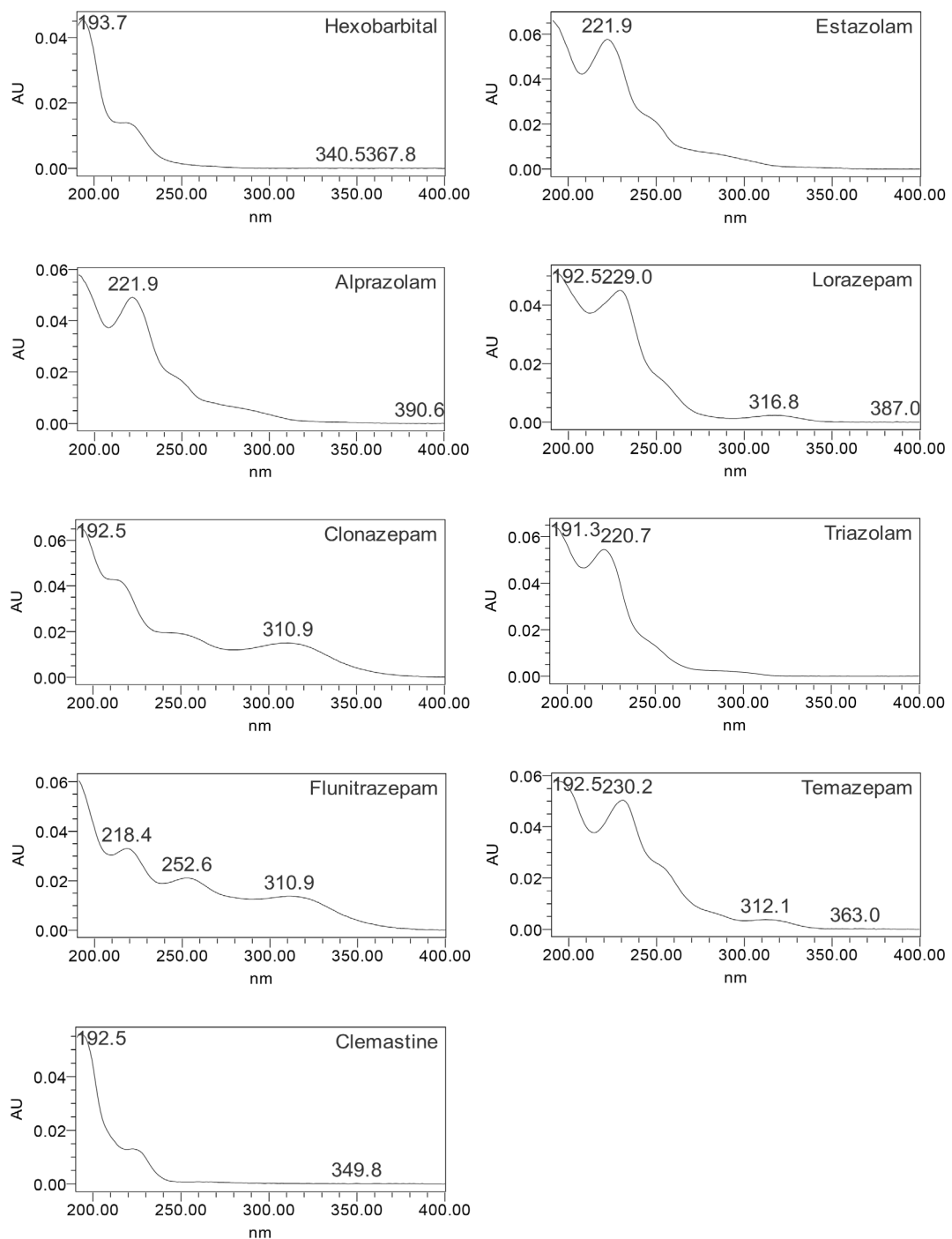
- Flow Rate 0.18 mL/min
- Inj. Volume 1 µL
- UV Detection 200 nm
- PDA Range 190~400 nm

○ Chromatogram



○ PDA Spectrum





2. LC-MS/MS법

○ Analytical conditions of HPLC

• Instrument	Waters ACQUITY UPLC	
• Column	Waters ACQUITY UPLC BEH C ₁₈ (2.1 mm × 100 mm, 1.7 μm)	
• Column Temp.	30°C	
• Mobile Phase	(A) 0.1% Formic acid in Water (B) 0.1% Formic acid in Acetonitrile	
Time (min)	A (%)	B (%)
0.0	80	20
2.0	80	20
7.0	40	60
8.0	10	90
10.0	10	90
10.1	80	20
12.0	80	20
• Flow Rate	0.25 mL/min	
• Inj. Volume	1 μL	

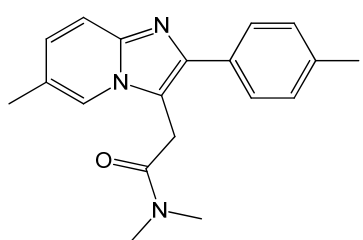
○ Analytical conditions of LC-MS/MS

• Instrument	Waters Xevo TQ	
• Ionization Mode	ESI (+)	ESI (-)
• Capillary Voltage	2.8 kV	2.6 kV
• Desolvation Temp.	400°C	400°C
• Desolvation Gas Flow	600 L/Hr (N ₂)	600 L/Hr (N ₂)
• Cone Gas Flow	off	off

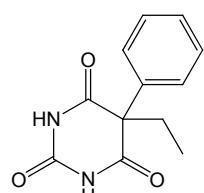
○ Analytical conditions of LC-MS/MS

Compound	Ion Mode	Precursor Ion (<i>m/z</i>)	CV (V)	Product Ion (<i>m/z</i>)	CE (eV)
Zolpidem	+	308.10	35	221.05	40
				235.08	30
				263.05	30
Phenobarbital	-	231.05	25	84.80	10
				187.90	10
				209.00	35
Midazolam	+	326.05	35	243.95	25
				291.08	25
				288.05	25
Flurazepam	+	388.10	30	315.03	20
				317.00	20
				151.95	30
Diphenhydramine	+	256.10	15	164.98	35
				167.00	15
				41.90	15
Pentobarbital	-	225.10	25	84.80	15
				182.00	15
				81.00	20
Hexobarbital	+	237.00	20	157.00	15
				205.00	35
				241.00	20
Estazolam	+	295.00	35	266.98	25
				211.00	35
				240.05	25
Flunitrazepam	+	314.00	35	268.05	25
				205.00	35
				274.05	25
Alprazolam	+	309.00	30	281.05	25
				213.95	35
				270.00	25
Larazepam	+	320.95	30	228.95	30
				274.95	20
				302.95	15
Triazolam	+	343.00	30	238.95	35
				308.00	25
				314.95	25
Clemestine	+	344.10	20	130.00	10
				179.00	30
				215.00	15
Temazepam	+	301.00	30	255.00	25
				283.00	15

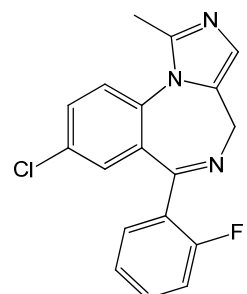
■ 구조식



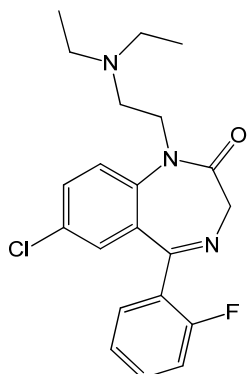
Zolpidem
[C₁₉H₂₁N₃O]



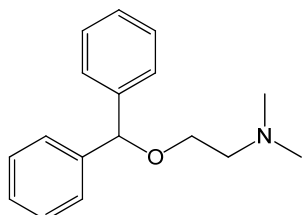
Phenobarbital
[C₁₂H₁₂N₂O₃]



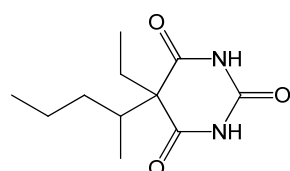
Midazolam
[C₁₈H₁₃ClFN₃]



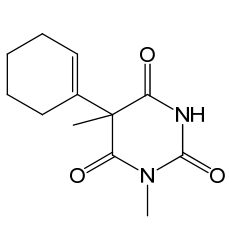
Flurazepam
[C₂₁H₂₃ClFN₃O]



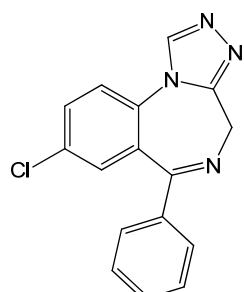
Diphenhydramine
[C₁₇H₂₁NO]



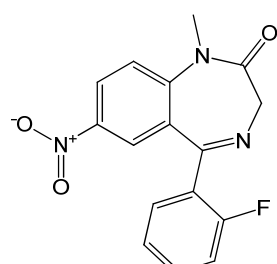
Pentobarbital
[C₁₁H₁₈N₂O₃]



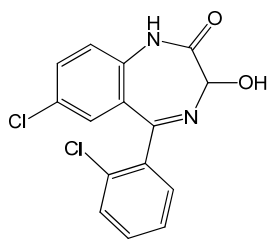
Hexobarbital
[C₁₂H₁₆N₂O₃]



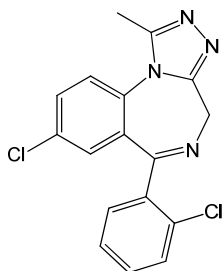
Estazolam
[C₁₆H₁₁ClN₄]



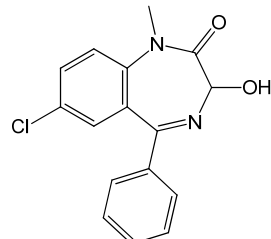
Flunitrazepam
[C₁₆H₁₂FN₃O₃]



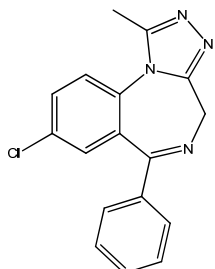
Lorazepam
[C₁₅H₁₀Cl₂N₂O₂]



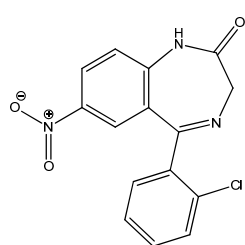
Triazolam
[C₁₇H₁₂Cl₂N₄]



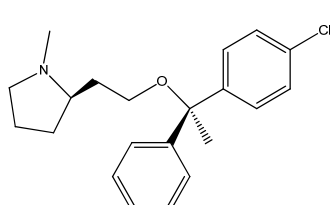
Temazepam
[C₁₆H₁₃ClN₂O₂]



Alprazolam
[C₁₇H₁₃ClN₄]



Clonazepam
[C₁₅H₁₀ClN₃O₃]



Clemastine
[C₂₁H₂₆ClNO]

■ 참고문헌

1. B.E. Smink, J.E. Bramdsma, A.Dijkhuizen, K.J. Lusthof, J.J. de Gier, A.C.G Egberts, D.R.A. Uges. Quantitative analysis of 33 benzodiazepines, metabolites and benzodiazepine-like substances in whole blood by liquid chromatography-(tandem) mass spectrometry. *J Chromatogr B*. 811, 13-20 (2004)
2. Hajime Miyabuchi, Kenji Kuwayama, Kenji Tsujikawa, Tatsuyuki Kanamori, Yuko T. Iwata, Hiroyuki Inoue, Tohru Kishi. A method for screening for various sedative-hypnotics in serum by liquid chromatography/single quadrupole mass spectrometry. *J Forensic science international*. 157, 57-70 (2006)
3. E. Konoz, A.H. Mohsen Sarrafi, R. Abdolahnejad, M. bahrami-Zonozi. Development and validation of a reversed-phase HPLC method for the estimation of zolpidem in bulk drug and tablets. *J Chemistry*. 357890, 6 (2013)

II-7

진통관련성분(22종) 분석법

배경

- 소염진통제를 섞어 관절염과 신경통에 특효가 있는 것처럼 판매한 건강기능식품 (알쓰맥스, 알쓰케어) 적발('13. 4.)
- '조인트케어골드(기타기공식품)'에서 식품에 사용할 수 없는 진통제 성분인 '아세트아미노펜'이 검출되어 해당 제품을 판매금지 및 회수 조치 ('13. 9.)
- 진통제 성분인 '피록시캄', '넥사메타손'이 함유된 원료를 사용해 제조된 환제 품을 유통한 업자 적발('14. 5)
- 중국에서 밀수입 된 불법 다이어트 제품에서 진통제 성분인 '디피론' 검출('15. 5)

특성

- 이부프로펜, 디클로페낙, 피록시캄 등은 근육 관절통에 널리 쓰이는 소염 진통제로 장기간 복용하게 되면 심혈관, 위내 출혈 등 소화기 부작용을 일으킬 수 있어 의사의 처방과 약사의 복약지도에 따라 복용하여야 하는 약물임

분석사례

- 알쓰케어 제품: Naproxen 3.28 mg/정, Indomethacin 2.73 mg/정, Ibuprofen 16.3 mg/정, Piroxicam 2.02 mg/정, Diclofenac 2.89 mg/정 검출
- 관절제품: Piroxicam 0.320 mg/g 검출

■ 분석법

1. HPLC법

○ 전처리 방법

- 표준액 조제 : 표준액 1^{*} Acetaminophen 등 13종

표준액 2^{*} Dipyrone 등 9종

→ 각각 일정량 취함 → 100% 메탄을 가함

→ 최종 농도(약 5~40 µg/mL)

- 검액 조제 : 약 1 g 취함 → 70% 메탄을 가함 → 30분 진탕 → 50 mL 정용

* 표준액 1 : Acetaminophen, 4-Aminoantipyrine(Ampyrone),
4-Dimethylaminoantipyrine(Aminophenazone), Phenacetin, Carbamazepine, Sulindac,
Piroxicam, Naproxen sodium, Meloxicam, Fenoprofen calcium, Indomethacin, Ibuprofen,
Meclofenamate sodium

* 표준액 2 : Dipyrone, Aspirin(Aspirin + Salicylic acid), Ketorolac, 4-Isopropylantipyrine, Ketoprofen,
Diclofenac sodium, Celecoxib, Mefenamic acid, Flurbiprofen

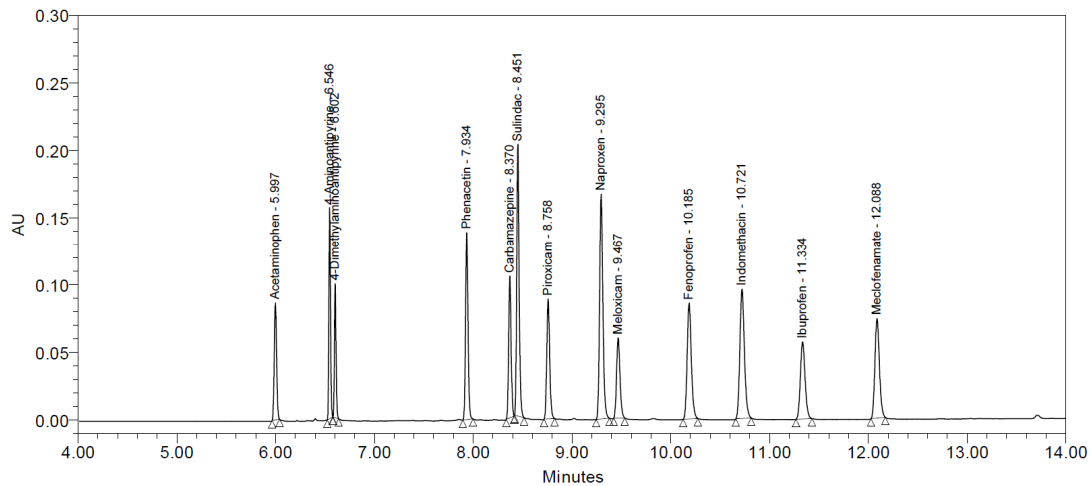
○ Analytical conditions of HPLC

- Instrument Waters ACQUITY UPLC
- Column Waters ACQUITY UPLC HSS C₁₈ (2.1 mm × 150 mm, 1.8 µm)
- Column Temp. 40°C
- Mobile Phase (A) 0.5 mM Sodium 1-hexane sulfonate in Water (0.1% H₃PO₄)
(B) 95% Acetonitrile

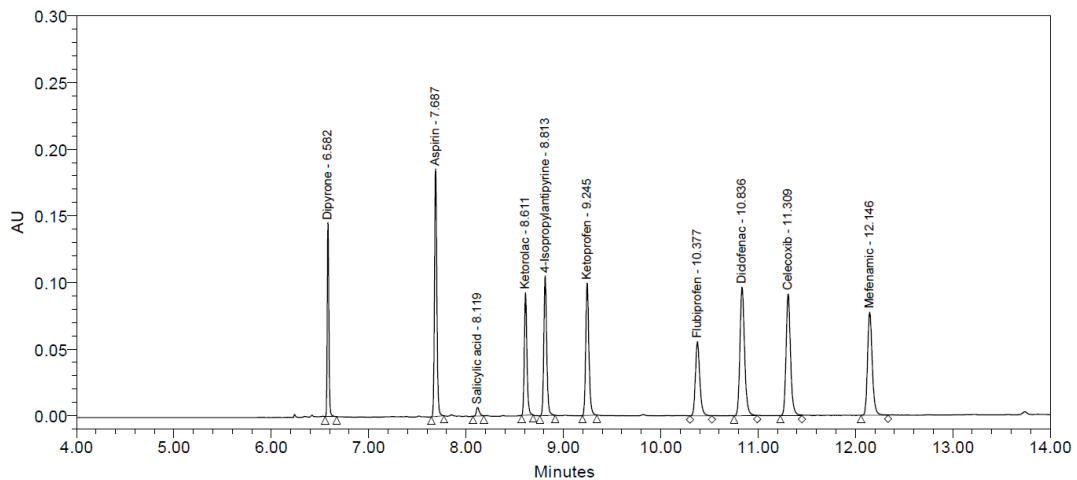
Time (min)	A (%)	B (%)
0.0	95	5
2.0	95	5
6.0	30	70
8.0	30	70
12.0	5	95
16.0	5	95
16.1	95	5
20.0	95	5

- Flow Rate 0.2 mL/min
- Inj. Volume 1 µL
- UV Detection 230 nm
- PDA Range 190~400 nm

○ Chromatogram

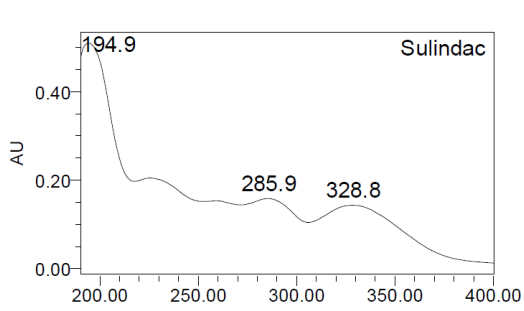
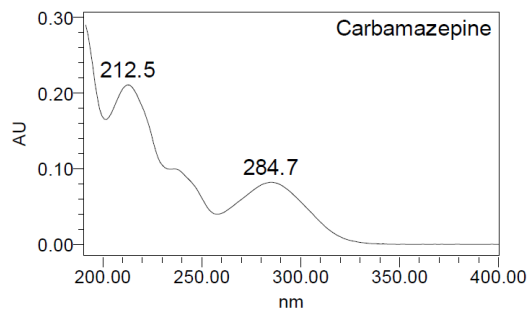
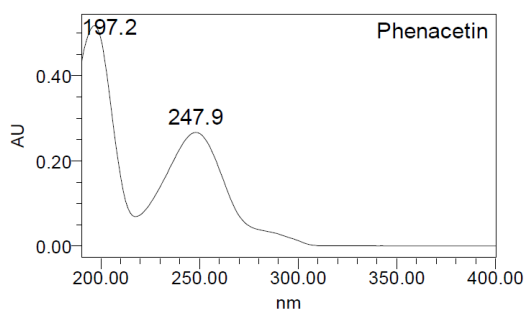
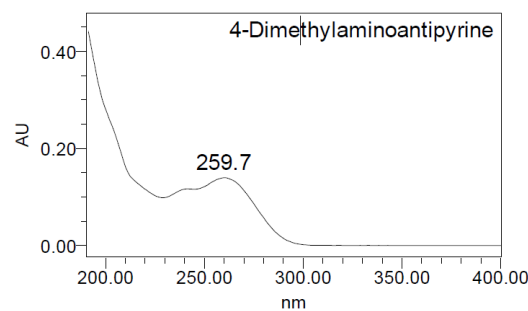
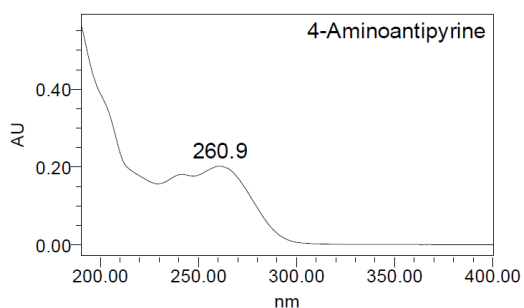
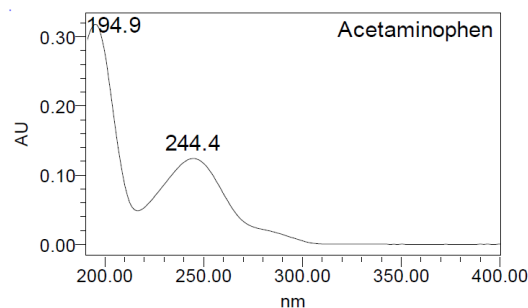


[표준액 1]

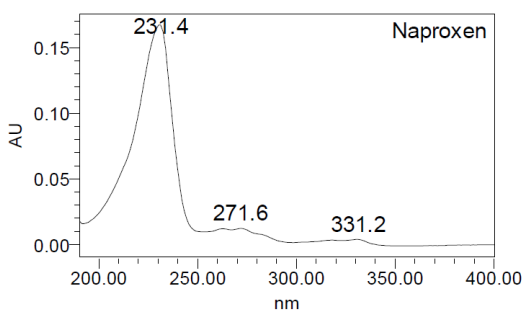
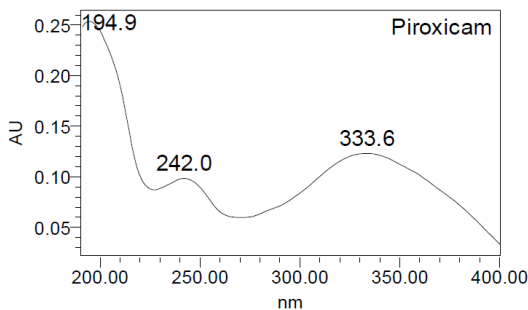


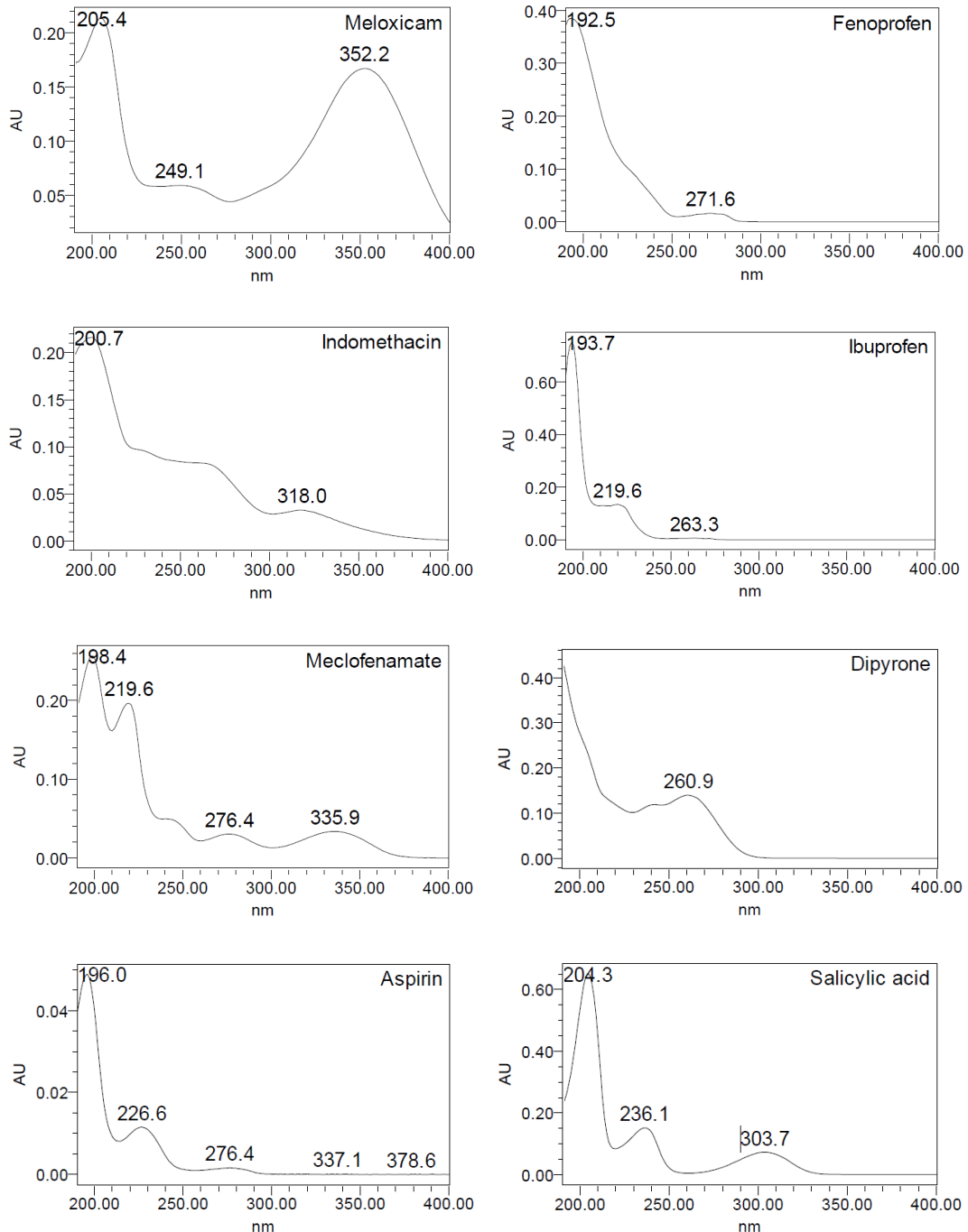
[표준액 2]

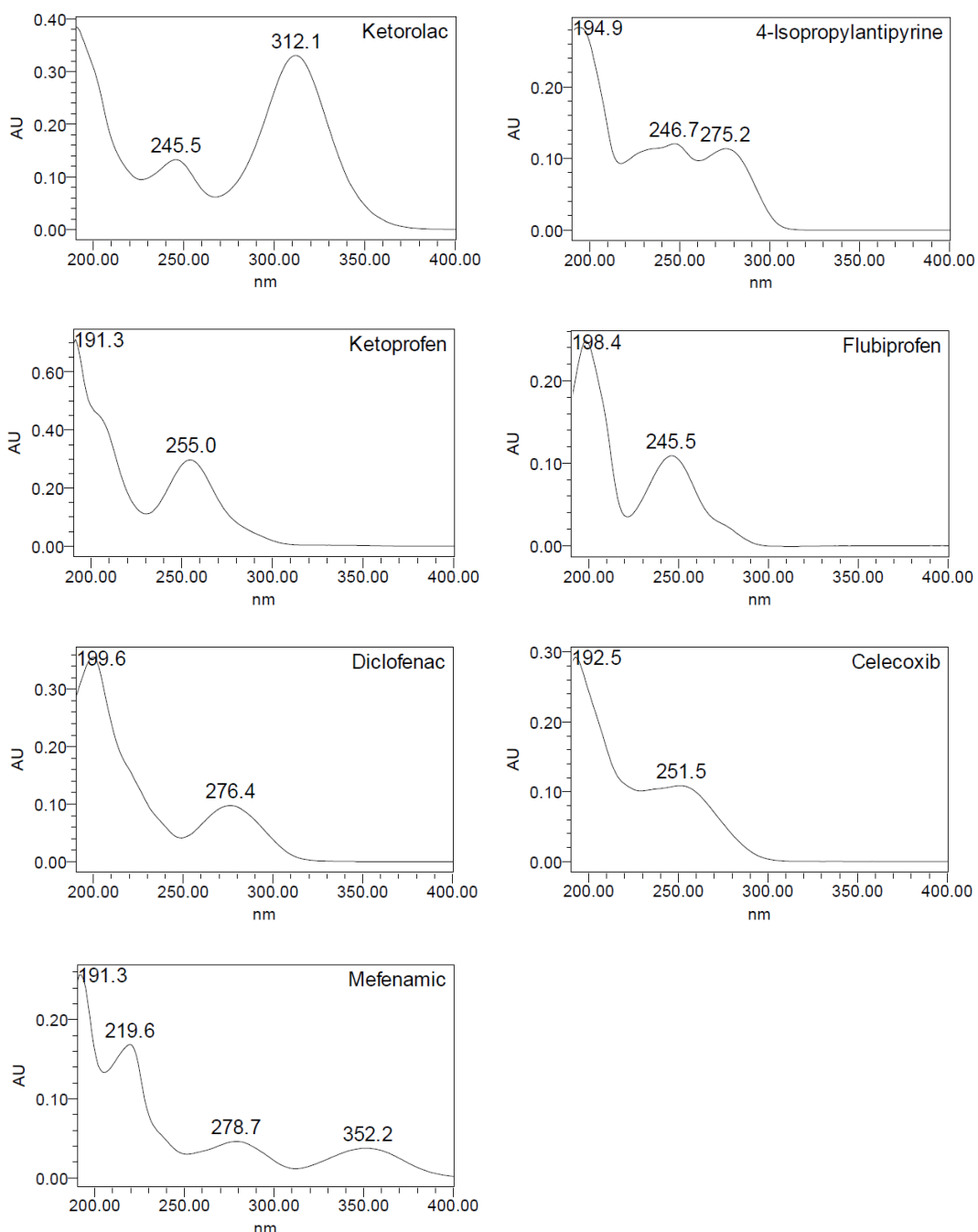
○ PDA Spectrum



Retention Time 8.370







2. LC-MS/MS법

○ Analytical conditions of HPLC

• Instrument	UPLC Waters ACQUITY UPLC																												
• Column	Waters ACQUITY UPLC HSS T ₃ (2.1 mm × 100 mm, 1.8 μm)																												
• Column Temp.	30°C																												
• Mobile Phase	(A) 10 mM Ammonium acetate in Water (B) 100% Acetonitrile																												
<table border="1"> <thead> <tr> <th>Time (min)</th> <th>A (%)</th> <th>B (%)</th> </tr> </thead> <tbody> <tr><td>0.0</td><td>95</td><td>5</td></tr> <tr><td>1.0</td><td>95</td><td>5</td></tr> <tr><td>3.0</td><td>30</td><td>70</td></tr> <tr><td>4.0</td><td>30</td><td>70</td></tr> <tr><td>6.0</td><td>5</td><td>95</td></tr> <tr><td>8.0</td><td>5</td><td>95</td></tr> <tr><td>8.1</td><td>95</td><td>5</td></tr> <tr><td>10.0</td><td>95</td><td>5</td></tr> </tbody> </table>			Time (min)	A (%)	B (%)	0.0	95	5	1.0	95	5	3.0	30	70	4.0	30	70	6.0	5	95	8.0	5	95	8.1	95	5	10.0	95	5
Time (min)	A (%)	B (%)																											
0.0	95	5																											
1.0	95	5																											
3.0	30	70																											
4.0	30	70																											
6.0	5	95																											
8.0	5	95																											
8.1	95	5																											
10.0	95	5																											
• Flow Rate	0.5 mL/min																												
• Inj. Volume	2 μL																												

○ Analytical conditions of LC-MS/MS

• Instrument	Waters Xevo TQ	
• Ionization Mode	ESI (+)	ESI (-)
• Capillary Voltage	2.5 kV	3.0 kV
• Desolvation Temp.	400°C	400°C
• Desolvation Gas Flow	700 L/Hr (N ₂)	700 L/Hr (N ₂)
• Cone Gas Flow	20 L/Hr (N ₂)	50 L/Hr (N ₂)

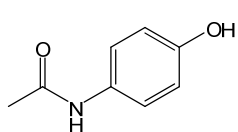
○ Analyte MS/MS transition

Compound	Ion Mode	Precursor ion (<i>m/z</i>)	CV (V)	Product ion (<i>m/z</i>)	CE (eV)
Acetaminophen	+	152.11	25	92.82	20
				109.85	15
				106.24	20
4-Dimethylaminoantipyrine	+	232.20	24	111.13	15
				113.25	12
				92.9	25
Phenacetin	+	179.98	30	109.93	20
				137.97	15
				179.10	30
Carbamazepine	+	237.13	30	194.12	20
				220.05	15
				233.18	27
Sulindac	+	357.15	42	248.18	28
				340.17	18
				105.12	16
Ketorolac	+	256.16	27	169.00	20
				170.08	17
				185.05	6
Flurbiprofen	-	243.05	14	198.80	10
				297.08	21
				312.40	9
Indomethacin	-	356.14	21	160.70	5
				213.70	20
				257.70	15
Ibuprofen	-	205.08	15	145.95	15
				158.98	15
				172.95	12
Meclofenamate	-	294.02	25	191.07	14
				175.01	27
				92.60	20
4-Aminoantipyrine	+	204.00	25	136.60	10
				92.60	15
				136.90	10
Dipyrone	-	310.16	24	192.60	20
				175.01	15
				145.95	12
Aspirin	-	178.95	15	172.95	14
				191.07	27
				92.60	10
Salicylic acid	-	136.90	10	136.60	15
				92.60	10
				145.95	12

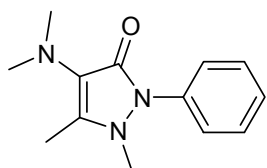
표
준
액
1표
준
액
2

	Compound	Ion Mode	Precursor ion (<i>m/z</i>)	CV (V)	Product ion (<i>m/z</i>)	CE (eV)
표준액 2	Piroxicam	-	330.10	15	145.60 209.60	20 15
	4-Isopropylantipyrine	+ -	231.00	10	189.07 201.07	20 25
	Ketoprofen	+ -	255.25	25	104.85 209.00	25 15
	Meloxicam	-	350.01	25	145.75 209.75 285.85	20 15 15
	Fenoprofen	-	241.05	20	92.60 196.70	25 7
	Diclofenac	-	293.91	20	213.70 249.69	25 12
	Celecoxib	-	379.80	20	275.80 295.80 315.85	28 25 20
	Mefenamic acid	-	240.16	28	180.07 196.12	30 18

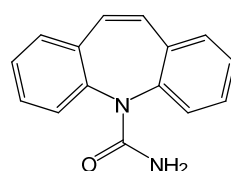
구조식



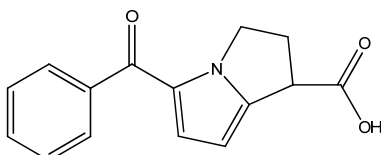
Acetaminophen
[C₈H₉NO₂]



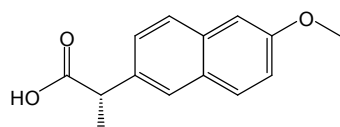
4-Dimethylaminoantipyrine
[C₁₃H₁₇N₃O]



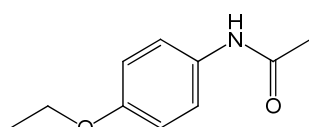
Carbamazepine
[C₁₅H₁₂N₂O]



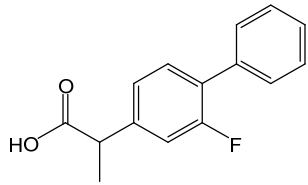
Ketorolac
[C₁₅H₁₃NO₃]



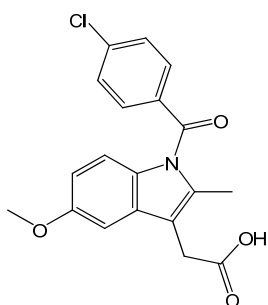
Naproxen
[C₁₄H₁₄O₃]



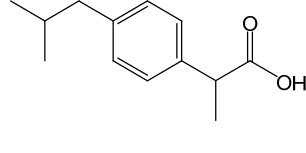
Pheacetin
[C₁₀H₁₃NO₂]



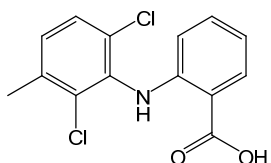
Flurbiprofen
[C₁₅H₁₃FO₂]



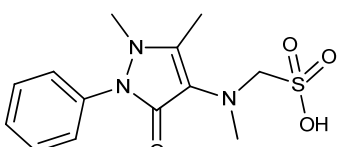
Indomethacin
[C₁₉H₁₆ClNO₄]



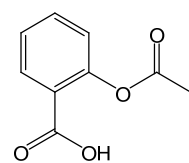
Ibuprofen
[C₁₃H₁₈O₂]



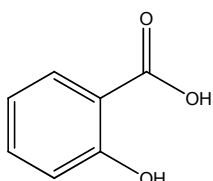
Meclofenamate
[C₁₄H₁₁Cl₂NO₂]



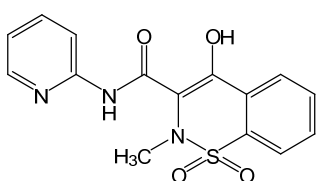
Dipyrone
[C₁₃H₁₇N₃O₄S]



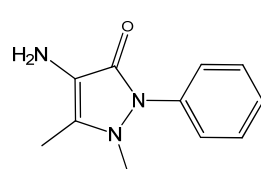
Aspirin
[C₉H₈O₄]



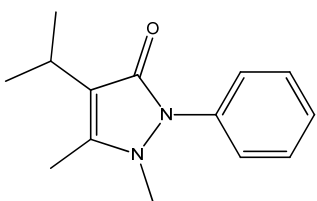
Salicylic acid
[C₇H₆O₃]



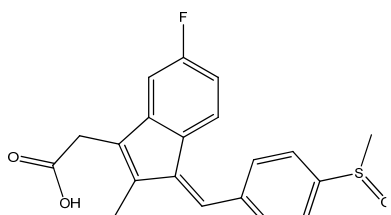
Piroxicam
[C₁₅H₁₃N₃O₄S]



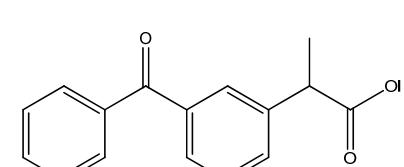
4-Aminoantipyrine
[C₁₁H₁₃N₃O]



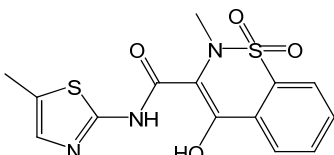
4-Isopropylantipyrine
[C₁₄H₁₈N₂O]



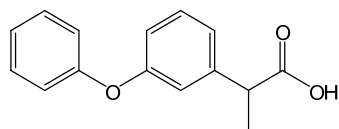
Sulindac
[C₂₀H₁₇FO₃S]



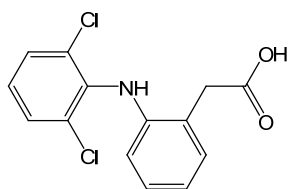
Ketoprofen
[C₁₆H₁₄O₃]



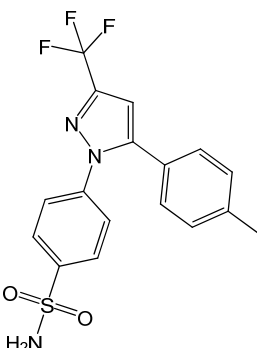
Meloxicam
[C₁₄H₁₃N₃O₄S₂]



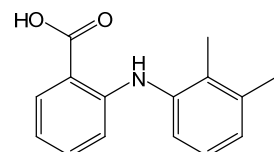
Fenoprofen
[C₁₅H₁₄O₃]



Diclofenac
[C₁₄H₁₁Cl₂NO₂]



Celecoxib
[C₁₇H₁₄F₃N₃O₂S]



Mefenamic acid
[C₁₅H₁₅NO₂]

■ 참고문헌

1. Hyung Joo Kim, Ji Hyun Lee, Hyoung Joon Park, Jung-Yeon Kim, SooYeul Cho, Woo Seoug Kim. Determination of non-opioid analgesics in adulterated food and dietary supplements by LC-MS/MS. *Food Additives and Contaminants, Part A.* 31(6), 973-978 (2014)
2. El-Bagari, R. I., Azzazy, H. M., ElKady, E. F., & Farouk, F. UPLC-MS/MS Determination of Aceclofenac and Diclofenac in Bulk, Dosage forms and in At-line Monitoring of ACL Synthesis. *British Journal of Pharmaceutical Research.* 4(11), 1311 (2014)
3. C. Lacey, G. McMahon, J. Bones, L. Barron, A. Morrissey, J. M. Tobin, An LC - MS method for the determination of pharmaceutical compounds in wastewater treatment plant influent and effluent samples. *Talanta.* 75, 1089-1097, (2008)
4. M. Farré &M. Petrovi & D. Barceló, Recently developed GC/MS and LC/MS methods for determining NSAIDs in water samples, *Anal Bioanal Chem.* 387, 1203-1214, (2007)

III-1

갱년기치료관련성분(9종) 분석법

배경

- 유통기한이 경과한 폐기대상 수입식품을 갱년기 개선 제품으로 허위·과대광고 업자 적발('05)

The image contains two side-by-side screenshots of news articles from Korean media outlets.

Left Screenshot (Kyunghyang Shinmun):

- Headline:** 내 나이가 벌써... 너무 늦었다? NO! 지금 시작하면 됩니다!
- Text:** 취업뿐만 아니라 승진과 이직에서도 외국어 실력이 중요해졌지만 대부분의 직장인들은 바쁜 일상에 치여 선뜻 실천에 옮기지 못하고 있는것이 현실이다. 시원스를 이용해 대화는 오늘이 남은 인생의 첫날이며 절대로 늦지 않았다고 단언한다. 48만명의 시장성을 보유한 ...[더보기▼]
- Bottom Text:** 하수오백수오 건기식, 허위과장광고 '주의'
- Source:** 물스강당 주제진 기자 msookoo@k-health.com
- Date:** 2014-06-10 18:25:10 | 수정: 2014-06-10 16:37:47

Right Screenshot (EBN):

- Headline:** 인터넷 홈페이지에 허위과대 광고한 식품제조업체 철퇴
- Text:** – 부산식 약청, 다다인터넷내셔널 등 7곳 적발 행정조치 통보
도라지가 호흡기 질환을 예방하고, 상어연골을 소재로 한 건강식품이 항암작용을 한다는 등 인터넷 홈페이지 등을 통해 식품을 의약품인양 허위과대 광고한 업소가 대거 적발됐다.
- Image:** A small image showing a blue banner with the text "우리아이의 꿈과" (Our Child's Dream) and some stars.
- Bottom Text:** 부산지방식품의약품안전청은 23일 성호장생도라지영농조합법인, (주)다다인터넷내셔널, (주)사인상사 등 식품위생법을 위반한 7개 업소를 적발해 해당기관에 행정처분 고발조치도록 통보했다고 밝혔다. <첨부파일 참조>
부산식 약청에 따르면 성호장생도라지영농조합법인(경남 진주시 금곡면 정자리)은 자사 인터넷홈페이지 사랑방 상담실 코너에서 '한방서와 전통요법에서는 도라지가 호흡기 등에 좋은 작용을 하는 소재로서 다른 물 등을 상시 복용하면 이를 칠걸의 예방에 좋은 것으로 나타나 있다. 장생도라지는 이러한 도라지가 21년 이상 생장한 것으로 도라지의 일반적 효능은 물론 우리 몸의 면역을 높여 건강을 사전 관리하는데 좋은 소재임을 연구결과 확인했다' 등 의약품과 혼동할 수 있는 광고를 했다.
또 (주)다다인터넷내셔널(울산시 중구 성남동)은 '다다식이섬유다이어트1'이

특성

- 폐경과 관련 있는 에스트로겐 결핍증상, 폐경기 골다공증 등 갱년기 질환에 사용
- 에스트로겐은 갱년기치료에는 효과적이지만 자궁내막암의 위험을 증가시킬 수 있어, 장기 치료 시 의사의 지시에 따라 정기적인 검사를 받아야 함

■ 분석법

1. LC-MS/MS 법

○ 전처리 방법

- 표준액 조제 : Estrone 등 9종*

→ 각각 일정량 취함 → 100% 메탄을 가함 → 최종 농도(약 1.0 µg/mL)
- 검액 조제 : 약 1 g 취함 → 70% 메탄을 가함 → 30분 진탕 → 50 mL 정용

* 표준액 : Estrone, β -Estradiol, β -Estradiol 17-valerate, 17 α -Ethynelestradiol, Estropipate, β -Estradiol 17-cypionate, Norethisterone acetate, Medroxyprogesterone acetate, Raloxifene hydrochloride

○ Analytical condition of HPLC

- | | |
|----------------|---|
| • Instrument | Waters ACQUITY UPLC |
| • Column | Waters ACQUITY UPLC BEH C ₁₈ (2.1 mm × 100 mm, 1.7 µm) |
| • Column Temp. | 40°C |
| • Mobile Phase | (A) 1 mM Ammonium acetate in Water
(B) 100% Acetonitrile |

Time (min)	A (%)	B (%)
0.0	80	20
1.0	80	20
3.0	40	60
6.0	0	100
8.0	0	100
8.1	80	20
10.0	80	20

- Flow Rate 0.35 mL/min
- Inj. Volume 4 µL

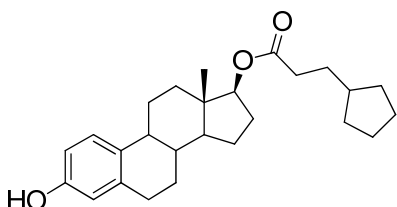
○ Analytical conditions of LC-MS/MS

- | | |
|------------------------|----------------------------|
| • Instrument | Waters Xevo TQ |
| • Ionization Mode | ESI (+), (-) |
| • Capillary Voltage | 2.5 kV |
| • Desolvation Temp. | 350°C |
| • Desolvation Gas Flow | 600 L/Hr (N ₂) |
| • Cone Gas Flow | 50 L/Hr (N ₂) |

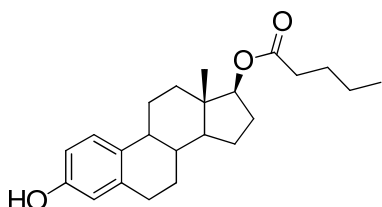
○ Analyte MS/MS transition

Compound	Ion Mode	Precursor ion (<i>m/z</i>)	CV (V)	Product ion (<i>m/z</i>)	CE (eV)
Estrone	-	268.95	50	144.89	40
				158.90	30
				182.92	35
β -Estradiol	-	270.98	40	144.85	35
				182.90	35
				144.85	35
17α -Ethynylestradiol	-	294.96	40	144.85	35
				182.90	35
β -Estradiol 17-valerate	-	355.05	40	100.88	30
				252.98	30
				144.87	40
Estropipate	-	348.90	35	268.98	35
				144.87	40
β -Estradiol 17-cypionate	-	395.05	40	140.92	35
				252.98	30
				108.95	25
Norethisterone	+	341.05	25	281.11	15
				285.10	20
Medroxyprogesterone	+	387.07	25	327.10	15
				111.97	30
Raloxifene	+	474.97	45	269.91	30

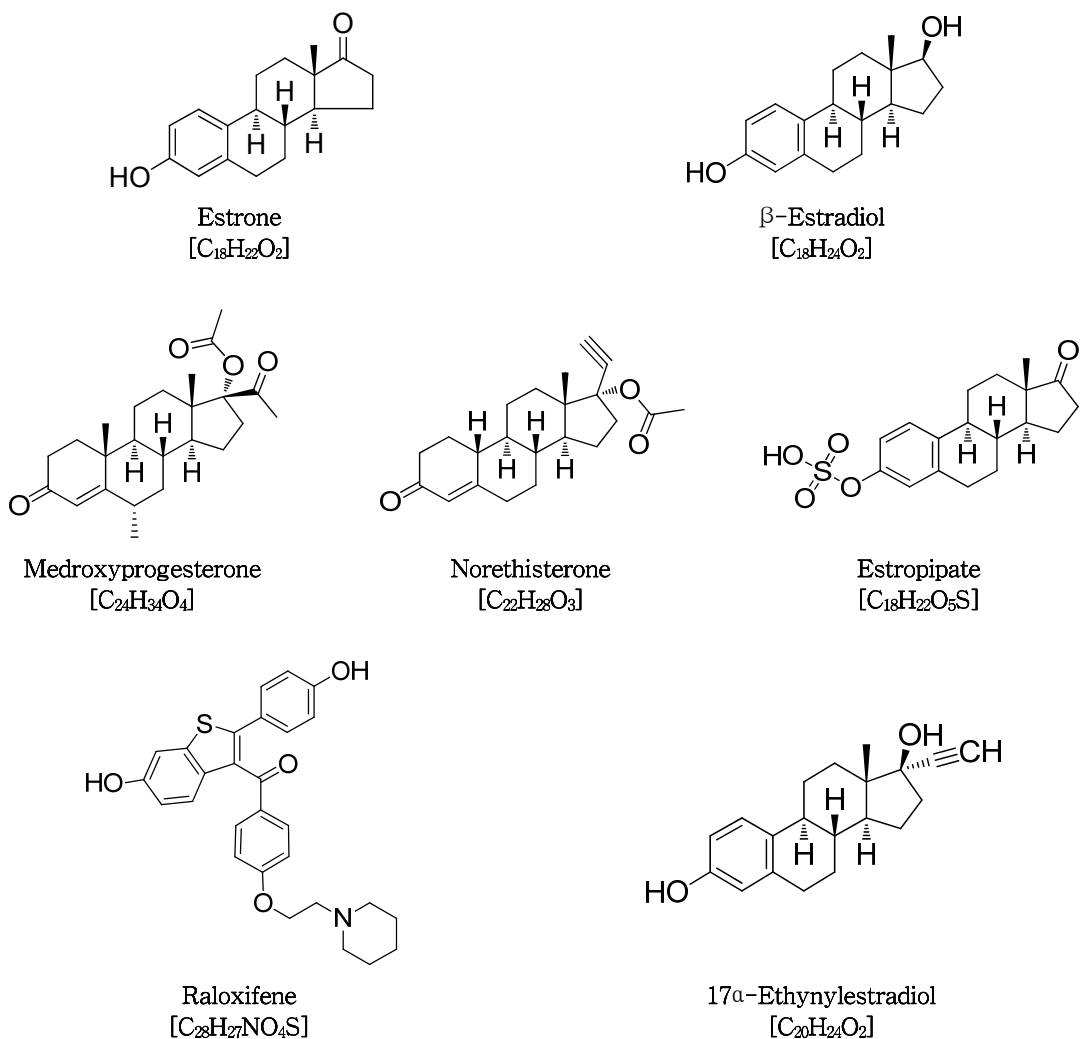
구조식



β -Estradiol 17-cypionate
[C₂₆H₃₆O₃]



β -Estradiol 17-valerate
[C₂₃H₃₂O₃]



■ 참고문헌

1. M. Silvia Díaz-Cruz, María J. López de Alda, Ramón López and Damià Barceló. Determination of estrogens and progestogens by mass spectrometric techniques (GC/MS, LC/MS and LC/MS/MS). *J Mass Spect.* 38(9), 917 - 923 (2003)
2. Zhilong Gong, Kiresha Chandler, Stephen Webster, Remy Kerley, Susan Buist, Melanie McCort-Tipton. Simple and rapid determination of norethindrone in human plasma by supported liquid extraction and ultra performance liquid chromatography with tandem mass spectrometry. *Talanta*. 91, 77 - 82 (2012)

III-2 ◀ 고혈압치료관련성분(34종) 분석법

■ 배경

- 혈압치료제 넣은 한약을 면접특효약으로 판매한 약사 적발.
- 항공사승무원 지망생 및 예능고 수험생 등에게 ‘면접 울렁증 특효약’인 것처럼 광고하여 판매('12. 5.)
- 건강기능식품 섞은 지하수로 암 치료 거짓광고 적발('17. 6.)

The screenshot shows a news article from kyeongsin.com. The headline reads "면접특효약 알고 보니 한약에 섞은 혈압치료제… 일부 구매자 부작용 '충격'" (Interview special medicine? It turns out it's mixed with traditional medicine... Some buyers experience side effects 'shock'). The article discusses a pharmacist who sold blood pressure medication disguised as traditional medicine to pass interviews. It includes a diagram illustrating the mixing of prescription drugs with traditional medicine, and a photo of a prescription bottle.

■ 특성

- 고혈압 치료제는 혈관을 확장시켜 혈압을 낮추는 역할을 해줌
- 약의 작용에 따라 크게 이뇨제, 교감신경억제제, 혈관확장제로 나누어짐

■ 분석사례

- 상명탕: Propranolol hydrochloride 0.21 mg/g 검출

■ 분석법

1. HPLC법

○ 전처리 방법

- 표준액 조제 : 표준액 1^{*} Cartelol hydrochloride 등 17종

표준액 2^{*} Atenolol 등 17종

→ 각각 일정량 취함 → 100% 메탄올 가함 → 최종 농도(약 5~40 µg/mL)

- 검액 조제 : 약 1 g 취함 → 70% 메탄올 가함 → 30분 진탕 → 50 mL 정용

* 표준액 1 : Cartelol hydrochloride, Nadolol, Pindolol, Terazosin hydrochloride, Prazosin hydrochloride, Celiprolol, Propranolol hydrochloride, Doxazosin mesylate, Telmisartan, Olmesartan medoxomil, Losartan potassium, (±)-Penbutolol hydrochloride, Nifedipine, Lercanidipine hydrochloride, Isradipine, Nisoldipine, Candesartan cilexetil

* 표준액 2 : Atenolol, Clonidine hydrochloride, Minoxidil, Acebutolol hydrochloride, (±)-Metoprolol (+)-tartrate salt, Phentolamine mesylate, Betaxolol hydrochloride, Diltiazem hydrochloride, Benazepril hydrochloride, Carvedilol, Irbesartan, Amlodipine besylate, Verapamil hydrochloride, Valsaltan, Nitrendipine, Nilvadipine, Felodipine

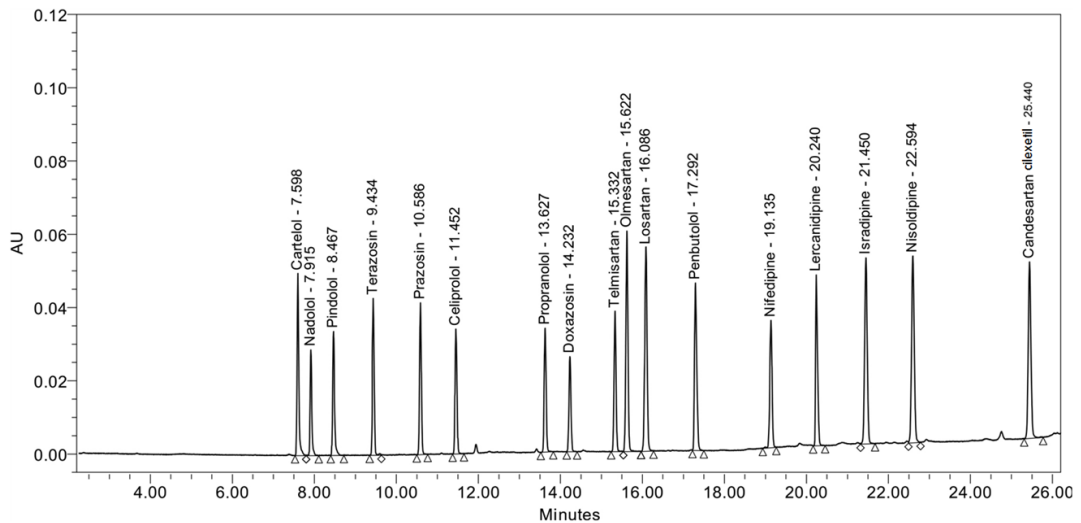
○ Analytical condition of HPLC

- | | |
|----------------|--|
| • Instrument | Waters ACQUITY UPLC |
| • Column | Waters ACQUITY UPLC HSS C ₁₈ (2.1 mm × 150 mm, 1.8 µm) |
| • Column Temp. | 40°C |
| • Mobile Phase | (A) 0.5 mM Sodium-1-hexane sulfonate in Water (0.1% H ₃ PO ₄)
(B) 95% Acetonitrile |

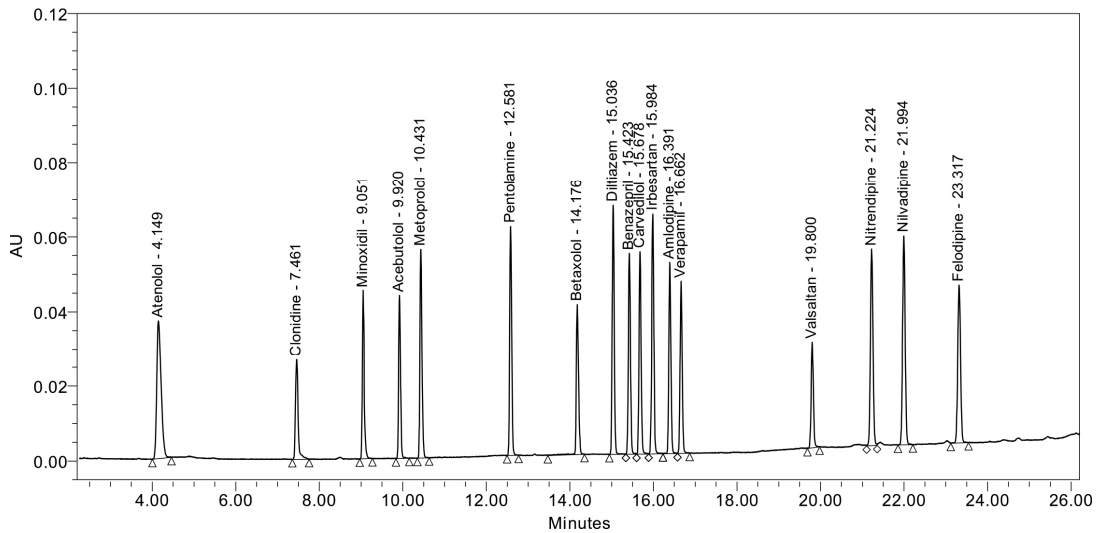
Time (min)	A (%)	B (%)
0.0	90	10
1.0	90	10
10.0	68	32
16.0	50	50
17.0	40	60
24.0	18	82
24.1	0	100
26.0	0	100
26.1	90	10
30.0	90	10

- | | |
|----------------|-------------|
| • Flow Rate | 0.23 mL/min |
| • Inj. Volume | 1 µL |
| • UV Detection | 205 nm |
| • PDA Range | 190~400 nm |

○ Chromatogram

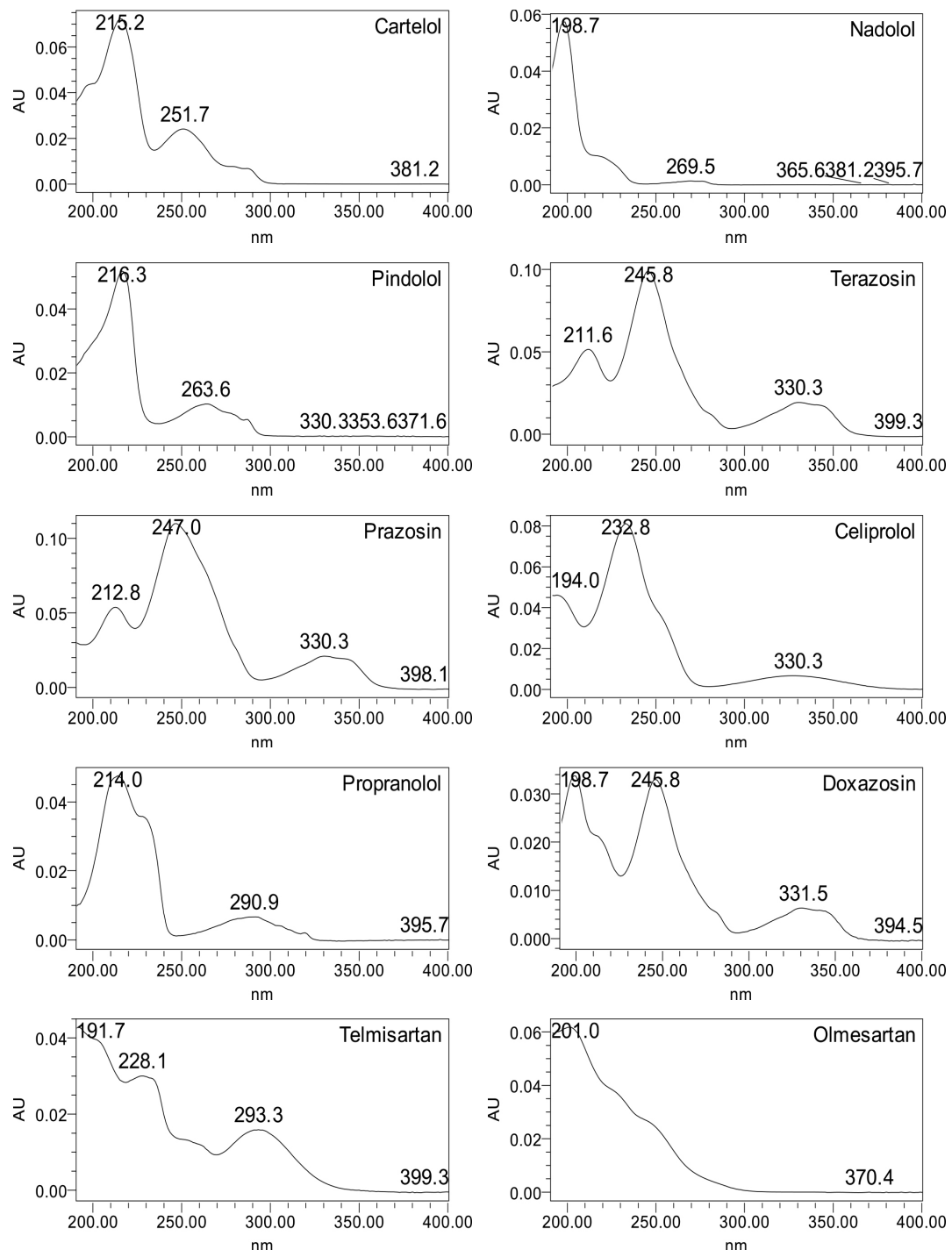


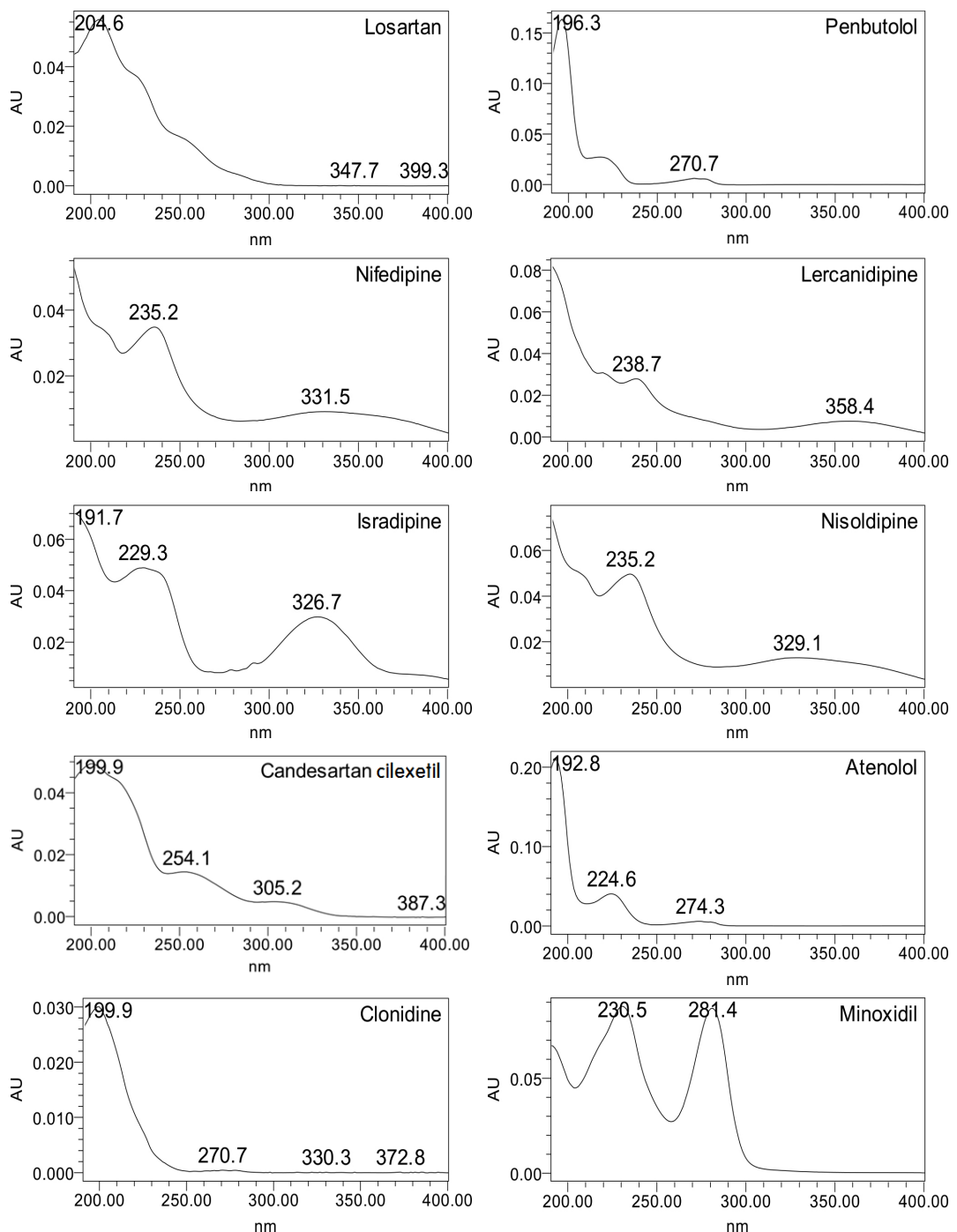
[표준액 1]

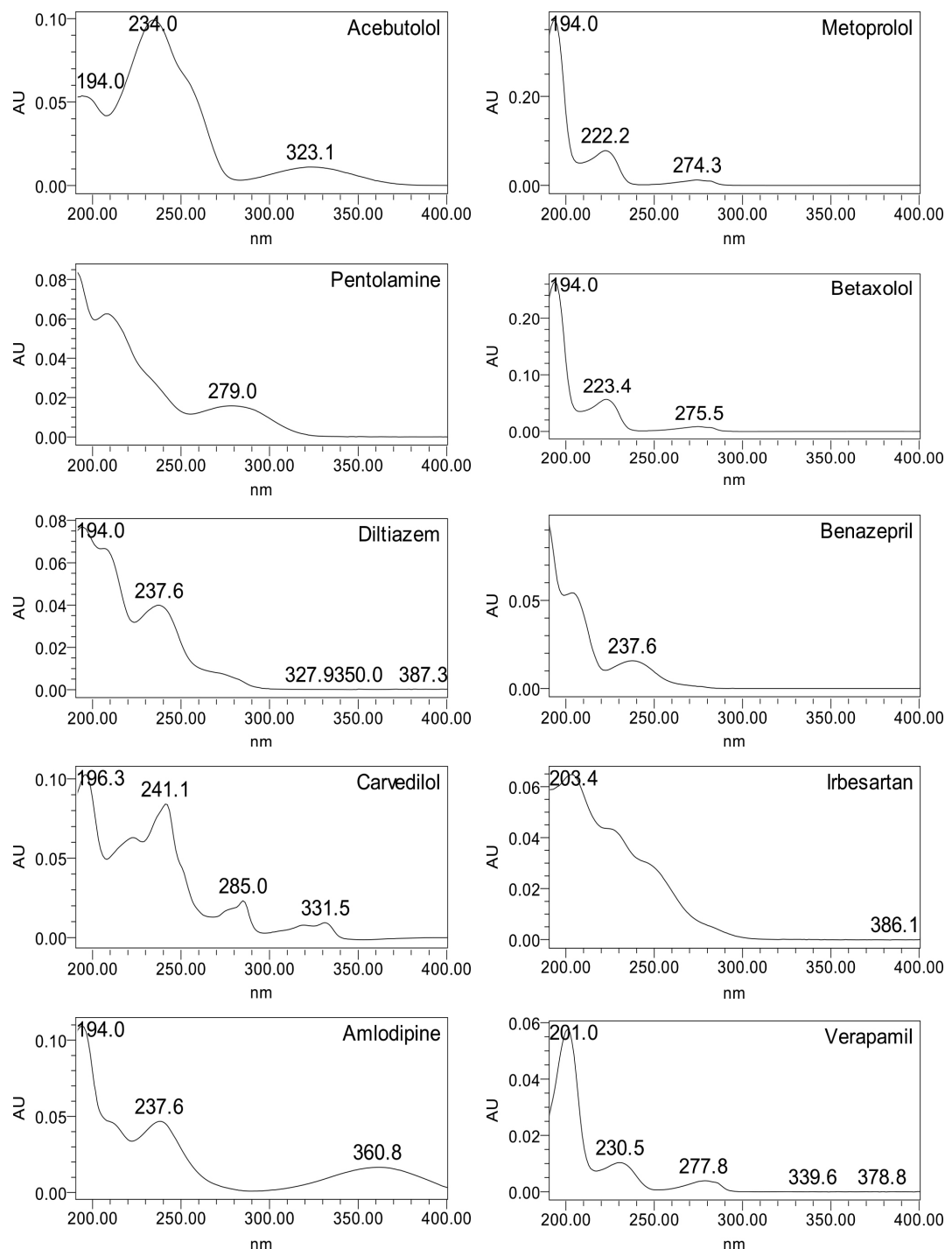


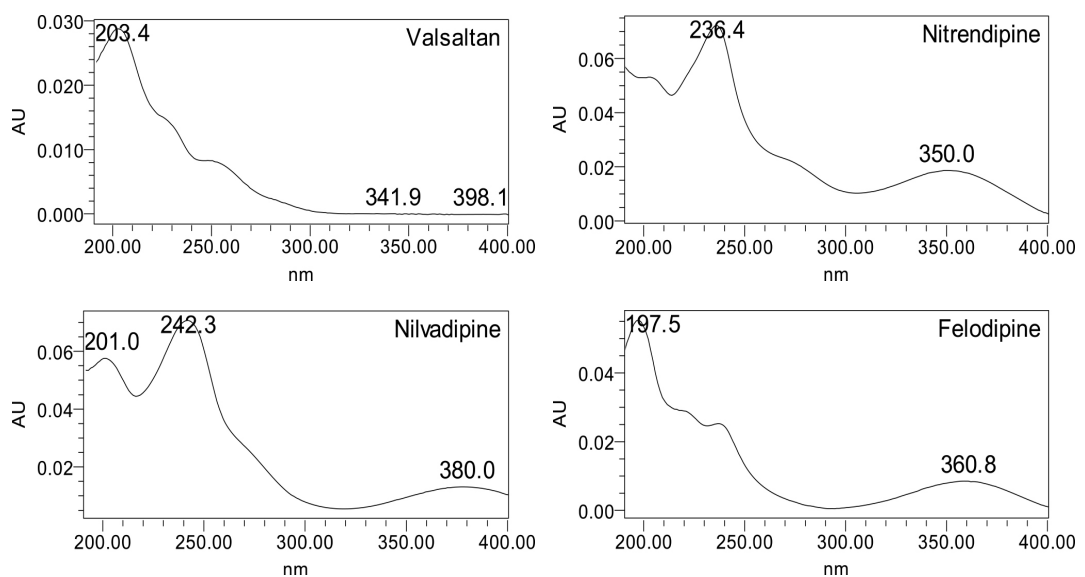
[표준액 2]

○ PDA Spectrum









2. LC-MS/MS법

○ Analytical conditions of HPLC

• Instrument	Shiseido SP3133		
• Column	Waters Atlantis dC ₁₈ (2.1 mm × 150 mm, 3 μm)		
• Column Temp.	40°C		
• Mobile Phase	(A) 0.5 mM Ammonium acetate in Water (B) 0.5 mM Ammonium acetate in Acetonitrile		
Time (min)	A (%)	B (%)	
0.0	95	5	
3.0	95	5	
25.0	0	100	
28.0	0	100	
28.1	95	5	
30.0	95	5	
• Flow Rate	0.22 mL/min		
• Inj. Volume	1 μL		

○ Analytical conditions of LC-MS/MS

• Instrument	AB SCIEX Triple Quad 5500
• Ionization Mode	ESI (+)
• Curtain Gas	20 psi
• Collision Gas	10 psi
• Ion Voltage	4500 V
• Ion Source Gas 1	55 psi
• Ion Source Gas 2	60 psi
• Source Temp.	450°C

○ Analyte LC-MS/MS transition

Compound	Ion Mode	Precursor ion (<i>m/z</i>)	DP (V)	Product ion (<i>m/z</i>)	CE (V)	CXP (V)
Carteolol	+	293.2	60	74.0	30	10
				164.1	35	10
				202.1	30	10
				237.1	20	10
Nadolol	+	310.2	65	201.1	35	10
				236.1	30	10
				254.1	25	15
				116.0	25	10
Pindolol	+	249.2	65	146.1	25	10
				172.1	25	15
				71.0	55	15
				290.1	40	20
Terazosin	+	388.2	65	95.0	65	15
				138.0	40	15
				247.1	40	10
				233.1	35	10
Prazosin	+	384.2	85	251.1	35	10
				307.1	25	10
				324.2	25	15
				116.1	25	15
Celiprolol	+	380.2	45	155.1	35	15
				157.1	25	10
				183.0	25	15
				247.1	55	10
Propranolol	+	260.1	70	290.1	50	10
				344.1	45	15
				211.1	55	10
				276.2	65	15
Doxazosin	+	452.2	90	305.2	45	10
				207.1	35	25
				235.1	30	20
				180.0	60	15
Telmisartan	+	515.3	25	207.1	35	10
				276.2	65	15
				305.2	45	10
				211.1	55	10
Olmesartan	+	447.3	90	276.2	65	15
				305.2	45	10
				207.1	35	25
				235.1	30	20
Losartan	+	423.1	65	180.0	60	15
				207.1	35	10
				405.1	20	15

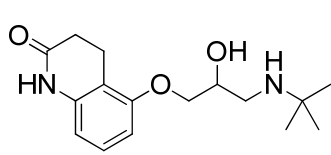
표
준
액
1

Compound	Ion Mode	Precursor ion (<i>m/z</i>)	DP (V)	Product ion (<i>m/z</i>)	CE (V)	CXP (V)
Penbutolol	+	292.2	50	133.0	35	10
				201.1	30	25
				236.1	25	10
				195.1	25	10
Nifedipine	+	347.1	75	254.1	25	10
				315.1	15	10
				100.1	60	10
				280.2	35	15
표준액 1	+	612.2	65	312.1	15	20
				340.1	20	20
				239.1	30	15
				315.0	15	15
Nisoldipine	+	389.2	65	357.1	15	15
				147.1	55	15
				207.1	60	10
				263.1	35	15
Candesartan cilexetil	+	611.3	65	423.2	25	15
				145.1	40	15
				190.1	25	15
				225.1	25	15
Atenolol	+	267.1	35	132.9	60	15
				160.0	50	10
				213.0	35	10
				110.0	35	15
표준액 2	+	210.1	65	164.1	35	10
				193.1	20	15
				98.0	30	10
				218.1	35	15
Acebutolol	+	337.1	85	260.1	30	30
				319.2	25	15
				116.1	25	10
				133.1	35	10
Metoprolol	+	268.2	50	159.1	30	20
				191.1	25	15

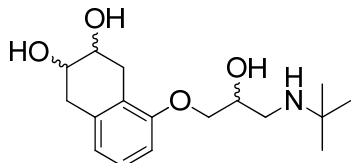
Compound	Ion Mode	Precursor ion (<i>m/z</i>)	DP (V)	Product ion (<i>m/z</i>)	CE (V)	CXP (V)
Phentolamine	+	282.1	65	212.1	30	15
				239.1	30	10
				98.1	30	10
Betaxolol	+	308.2	65	116.1	25	15
				133.0	35	15
				178.1	35	10
Diltiazem	+	415.2	40	310.0	30	10
				118.0	60	10
				190.1	45	15
Benazepril	+	425.2	75	351.2	35	15
				100.0	40	10
				222.1	35	15
Carvedilol	+	407.2	90	224.1	30	15
				283.1	30	10
				180.1	65	15
Irbesartan	+	429.3	50	195.1	30	10
				207.1	35	10
				206.0	35	15
Amlodipine	+	409.2	70	220.0	40	10
				294.0	15	15
				150.1	55	15
Verapamil	+	455.3	75	165.1	40	5
				303.2	35	15
				235.1	25	15
Valsartan	+	436.2	60	291.1	25	15
				306.1	20	10
				283.1	35	10
Nitrendipine	+	361.2	55	315.0	15	20
				329.1	20	15
				312.0	20	20
Nilvadipine	+	386.1	70	326.0	15	10
				344.0	10	15
				338.0	20	15
Felodipine	+	384.1	40	352.1	20	15

표
준
액
2

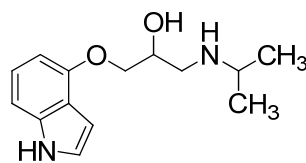
■ 구조식



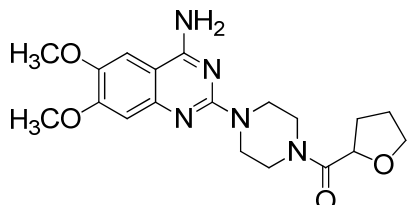
Carteolol
[C₁₆H₂₄N₂O₃]



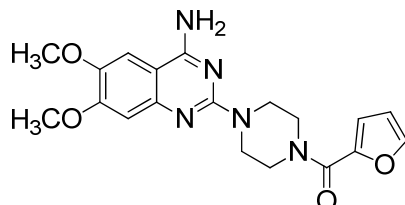
Nadolol
[C₁₇H₂₇NO₄]



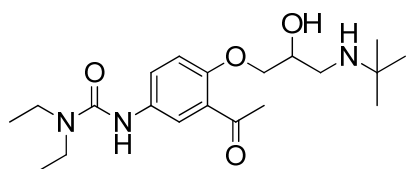
Pindolol
[C₁₄H₂₀N₂O₂]



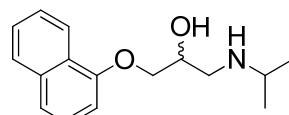
Terazosin
[C₁₉H₂₅N₅O₄]



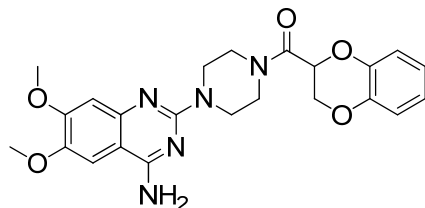
Prazosin
[C₁₉H₂₁N₅O₄]



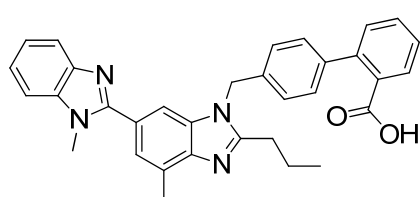
Celiprolol
[C₂₀H₃₃N₃O₄]



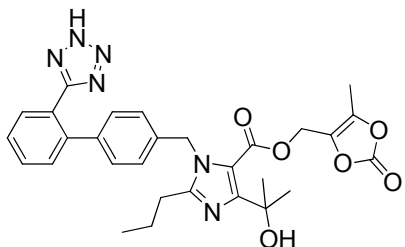
Propranolol
[C₁₆H₂₁NO₂]



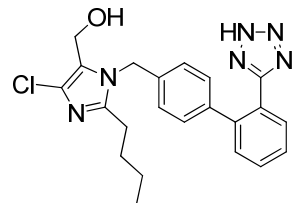
Doxazosin
[C₂₃H₂₅N₅O₅]



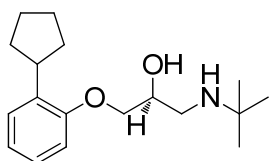
Telmisartan
[C₃₃H₃₀N₄O₂]



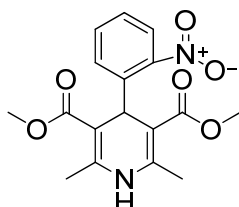
Olmesartan
[C₂₉H₃₀N₆O₆]



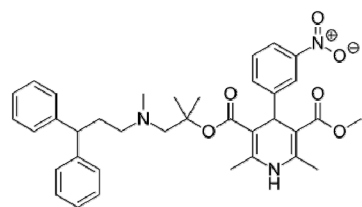
Losartan
[C₂₂H₂₂ClN₆O]



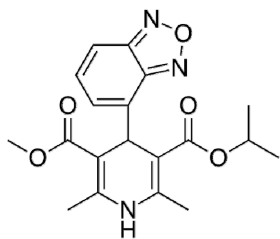
Penbutolol
[C₁₈H₂₃NO₂]



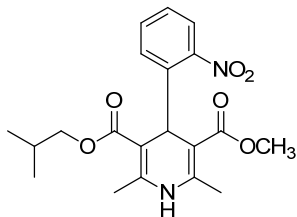
Nifedipine
[C₁₇H₁₈N₂O₆]



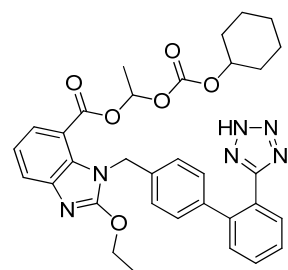
Lercanidipine
[C₃₆H₄₁N₃O₆]



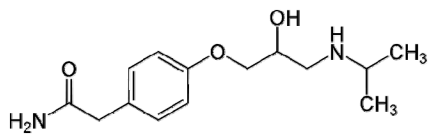
Isradipine
[C₁₉H₂₁N₃O₅]



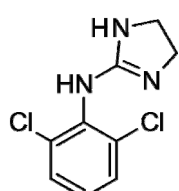
Nisoldipine
[C₂₀H₂₄N₂O₆]



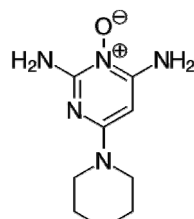
Candesartan cilexetil
[C₃₃H₃₄N₆O₆]



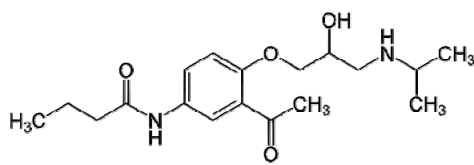
Atenolol
[C₁₄H₂₂N₂O₃]



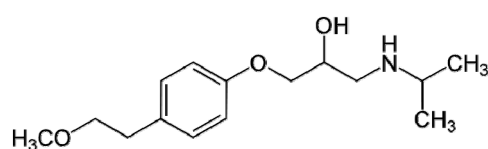
Clonidine
[C₉H₉Cl₂N₃]



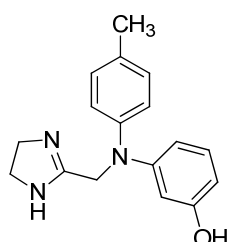
Minoxidil
[C₉H₁₅N₅O]



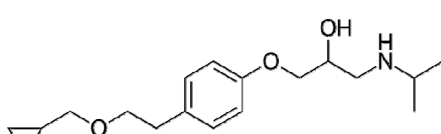
Acebutolol
[C₁₈H₂₈N₂O₄]



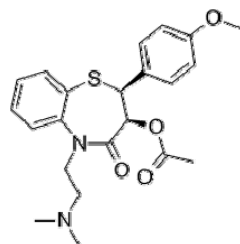
Metoprolol
[C₁₅H₂₅NO₃]



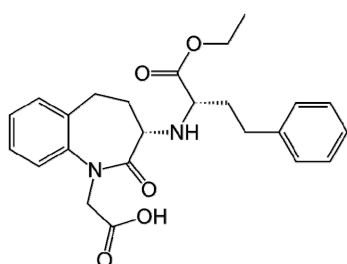
Phentolamine
[C₁₇H₁₉N₃O]



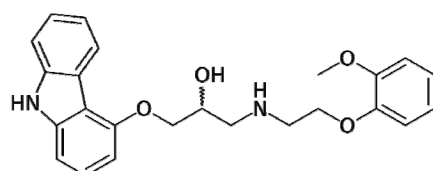
Betaxolol
[C₁₈H₂₉NO₃]



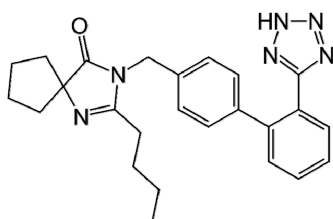
Diltiazem
[C₂₂H₂₈N₂O₄S]



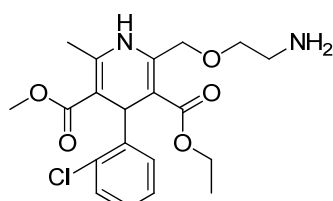
Benazepril
[C₂₄H₂₈N₂O₅]



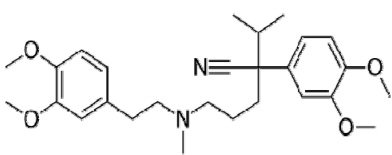
Carvedilol
[C₂₄H₂₆N₂O₄]



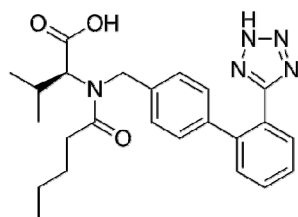
Irbesartan
[C₂₅H₂₈N₆O]



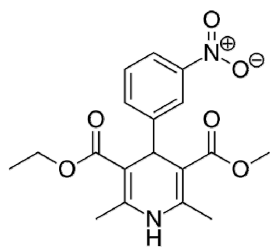
Amlodipine
[C₂₀H₂₅ClN₂O₅]



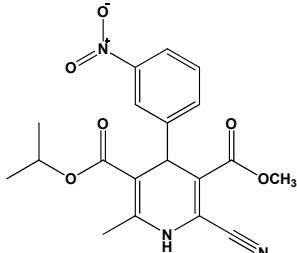
Verapamil
[C₂₇H₃₈N₂O₄]



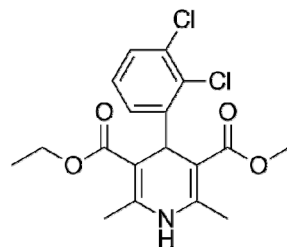
Valsartan
[C₂₄H₂₉N₅O₃]



Nitrendipine
[C₁₈H₂₀N₂O₆]



Nilvadipine
[C₁₈H₁₉N₃O₆]



Felodipine
[C₁₈H₁₉Cl₂NO₄]

■ 참고문헌

1. Seok Heo, Geum Joo Yoo, Ji Yeon Choi, Hyoung Joon Park, Sung-Kwan Park and Sun Young Baek. A rapid method for the simultaneous determination of 25 anti-hypertensive compounds in dietary supplements using ultra-high-pressure liquid chromatography. *Food Addit Contam Part A*. 33(11), 1627-1636 (2016)
2. Vishnuvardhan C, Srinivas R and Satheeshkumar N. Development and validation of a UPLC method for screening potentially counterfeit anti-hypertensive drugs using design of experiment. *Anal Meth*. 6 (13), 4610-4616 (2015)
3. Gonzales O, Alonso R. M. Ferreirós, Weinmann W, Zimmermann R and Dresen S. Development of an LC-MS/MS method for the quantitation of 55 compounds prescribed in combined cardiovascular therapy. *J Chromatogr B*. 879, 243-252 (2011)

III-3 ◀ N-나이트로소디에탄올아민 분석법

■ 배경

- N-나이트로소디에탄올아민은 식품의 제조 과정 중 육류나 생선 등에 통상적으로 들어있는 2차 아민화합물과 아질산염과 같은 산화질소 화합물이 반응해 자연적으로 생성되는 니트로소 화합물질이며, 동물에 강력한 발암물질로 작용
- 식약처는 식품제조, 가공 중 자연 발생하는 유해물질인 니트로소디에틸아민 등의 저감화 추진

조세일보 헬스

Health

보건정책

식약처, 가공식품 내 '자연발생 유해물질' 저감화 본격 추진

기사입력 2015-09-25 11:51:19 | 수정일 2015-09-27 10:20:30

면조피판·아크릴아마이드 등 유래물질 23개 선정, 연구개발·위해성평가… 중소업체 지원

식약처는 이달부터 식품유지 등 면조피판을 저감화하기 위한 연구개발을 추진한다. 2014년부터 가쓰오부시가 공식으로 외식업체 단체급식·방앗 등으로 연구분야를 확대한 방침이다. 연구개발은 총 노출량 조사, 식품을 노출 절유율 평가, 저감화 기법개발 및 유통화 순으로 진행된다.

식약처는 식품 제조 시 자연 발생하는 유해물질 23종을 저감화 대상을 선정했다. 선정된 물질은 면조피판, 면전, 아크릴아마이드, 에칠파라비아이트, 바이오제닉아민류, 흑판, 혁데로사이클릭아민, 디펜방향족단백수소, 8-디메칠미디아조(4-5-4위축글린), 2-아미노-3-메틸아미다조(4-5-4위축글린), 니트로소피클리딘, 이세트랄데하이드, 에틸렌 캐시아, 트리팔로에탄, 포름알데하이드, 3-MCPD, 히스타민, 트란스기방, 1,4-클로로프로포파민(DCP) 등이다.

식약처는 이를 불질을 대상으로 위해성 평가를 실시해 저감화 중점 대상물질을 도출할 방침이다. 지난 5월부

경제투데이

식약처, 식품 가공 중 발생 유해물질 저감화 추진

기사입력 2015-09-25 09:48 | 최종수정 2015-09-25 09:58

식약처, 식품 가공 중 발생 유해물질 저감화 추진

【경제투데이 민승기 기자】 식품의약품안전처(처장 강승)는 식품제조·가공 중 자연스레 발생하는 유해물질을 줄이기 위한 5년(2015~2017년) 종합계획을 수립하고 이를 본격적으로 추진한다.

■ 특성

- 유기질소, 황화합물 등은 산성조건에서 nitrite, nitrate, nitrocompound 등과 반응하여 니트로사민류를 생성
- 니트로사민류의 발암성에 대해 국제암연구기관(IARC)에서는 니트로사민류 중 N-Nitrosodimethylamine, N-Nitrosodiethylamine 2종의 경우 그룹2A (인체 발암 추정물질)로 분류

■ 분석법

1. LC-MS/MS 법

○ 전처리 방법

- 표준액 조제 : NDELA (*N*-Nitrosodiethanolamine)
 - 일정량 취함 → 물 가함 → 최종 농도(약 0.2 $\mu\text{g}/\text{mL}$)
- 검액 조제 : 수용성: 약 2 g 취함 → 물 가함 → 20 mL 정용
지용성: 약 2.5 g 취함 → 디클로로메탄 가함
 - to 10 mL → 물 5 mL
 - 진탕(30분), 원심분리(10분, 19,400 g)
 - SPE(Sep-pak C₁₈ 카트리지, 6 cc, 1 g)
 - Condition(5 mL, 100% 메탄올) → Equilibrate(5 mL, 물)
 - Loading(검액, 5 mL) → 초기 2 mL 버림 → Eluent, 3 mL
 - Eluent(물 5 mL) → Eluent 8 mL → 검액으로 사용

○ Analytical condition of HPLC

- Instrument Waters ACQUITY UPLC
- Column Waters ACQUITY UPLC HSS T₃ (2.1 mm × 150 mm, 1.8 μm)
- Column Temp. 30°C
- Mobile Phase
 - (A) 0.01% Formic acid in Water
 - (B) 100% Acetonitrile

Time (min)	A (%)	B (%)
0.0	99	1
4.0	99	1
6.0	80	20
7.0	80	20
7.1	99	1
10.0	99	1

- Flow Rate 0.3 mL/min
- Inj. Volume 10 μL

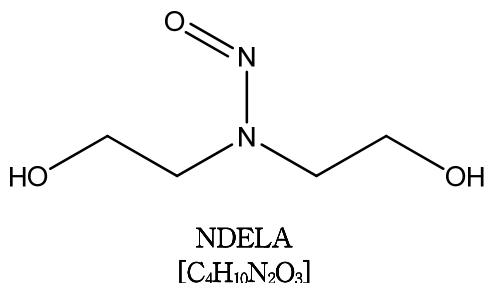
○ Analytical conditions of LC-MS/MS

• Instrument	Waters Xevo TQ
• Ionization Mode	ESI (+)
• Capillary Voltage	3.5 kV
• Desolvation Temp.	500°C
• Desolvation Gas Flow	700 L/Hr (N ₂)
• Cone Gas Flow	50 L/Hr (N ₂)

○ Analyte MS/MS transition

Compound	Ion Mode	Precursor Ion (<i>m/z</i>)	CV (V)	Product Ion (<i>m/z</i>)	CE (eV)
<i>N</i> -Nitrosodiethanolamine	+	135.16	10	73.97	14
				104.04	12

■ 구조식



■ 참고문헌

1. Maria T. Matyska, Joseph J. Pesek, Li Yang. Screening method for determining the presence of *N*-nitrosodiethanolamine in cosmetics by open-tubular capillary electrochromatography. *J. Chrom A.* 887, 497-503 (2000)
2. R. C. Schothorst, H. H. J. Somers. Determination of *N*-nitrosodiethanolamine in cosmetic products by LC-MS/MS. *Anal Bio Chem.* 381, 681-685 (2005)

III-4

노닐페놀 에톡시레이트 분석법

■ 배경

- 불법소포제를 쓴 감자·고구마 전분 제조업체 적발('13. 4.)
- 생감자와 생고구마 분쇄·가공시 발생되는 거품을 제거할 목적으로 기준·규격이 고시되지 않은 화학적 합성품을 소포제로 사용함



■ 특성

- 기름과 물을 섞어 오염물질을 제거하는 데 도움을 주는 계면활성제로서, 주로 주방용 세정제, 세척제, 세안제, 샴푸 등 다양한 용도로 사용
- 내분비계 장애 추정물질로 알려져 있으며, 남성에게 발기부전을 일으키거나 무정자증을 유발해 불임의 원인이 되고, 여성에게는 기형아, 성조숙증 등을 일으킬 수 있음

■ 분석법

1. HPLC법

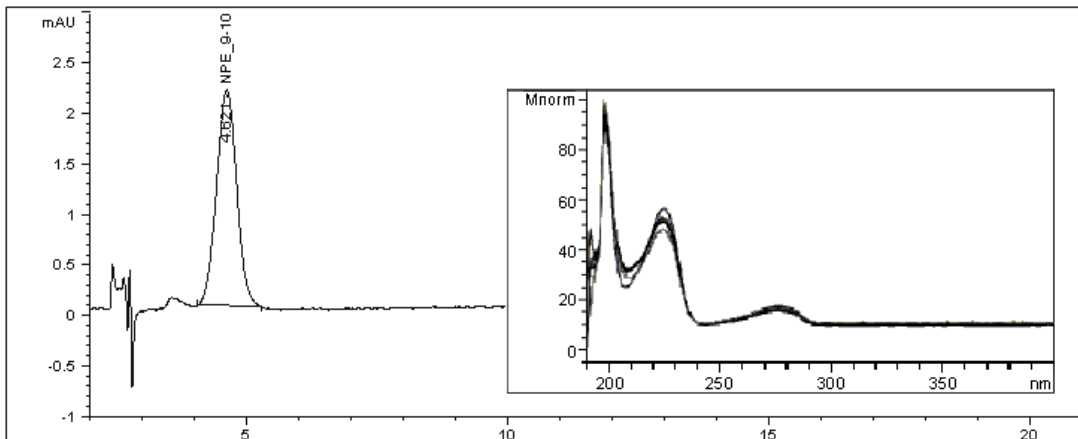
○ 전처리 방법

- 표준액 조제 : P.O.E. (9 to 10) Nonylphenol
 - 20 mg 정도 취함 → 100% 메탄올 용액 가함
 - 최종 농도(약 1.0 mg/mL)
- 검액 조제 : 약 10 g 취함 → 100% 메탄올을 가함 → 30분 진탕 → 100 mL 정용

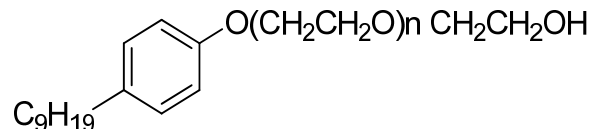
○ Analytical condition of HPLC

- | | |
|----------------|---|
| • Instrument | Agilent DE/1200 HPLC |
| • Column | Waters Sunfire C ₈ (4.6 mm × 200 mm, 5 μm) |
| • Column Temp. | 40°C |
| • Mobile Phase | 80% Methanol + 5% Acetonitrile + 15% Water |
| • Flow Rate | 1.0 mL/min |
| • Inj. Volume | 50 μL |
| • UV Detection | 280 nm |
| • PDA Range | 190~400 nm |

○ Chromatogram & PDA Spectrum



■ 구조식



Nonylphenol ethoxylates
[$C_{15}H_{24}O_2[C_2H_4O]_n$]

■ 참고문헌

1. Bing Shao, Jian-ying Hu, Min Yang. Determination of nonylphenol ethoxylates in the aquatic environment by normal phase liquid chromatography -electrospray mass spectrometry. *J. Chrom. A.* 950, 167-175 (2002)
2. L. Núñez, E. Turiel, J. L. Tadeo. Determination of nonylphenol and nonylphenol ethoxylates in environmental solid samples by ultrasonic-assisted extraction and high performance liquid chromatography-fluorescence detection. *J. Chrom. A.* 1146, 157-163 (2007)

III-5

당뇨병치료제성분[26종] 분석법

■ 배경

- 건강기능식품중 혈당강하제인 글리벤클라미드가 검출된 사례 적발('11)
- 해당제품을 당뇨병, 고혈압, 전립선 등에 효과가 있는 것처럼 광고하여 불법 판매

상업
발기부전치료제 유사물질 검출된 식품 회수 조치
베타-파워플러스-서 당뇨병치료제 성분 검출

▲회수대상 제품(사진=식약처 제공)

당뇨에 좋은 건강식품?...함부로 복용했다간 치명적

2011-08-24 06:41 나도한마디

YTN

당뇨에 좋은 건강식품 복용 주의!

■ 특성

- 당뇨병치료제 종류로 크게 인슐린 분비 촉진제, 인슐린 작용 증강제 등이 있음
 - 인슐린 분비 촉진제: 췌장 베타세포에서 인슐린 분비를 촉진시켜 혈당을 낮춤 (ex) Glibenclamide, Metiglinide
 - 인슐린 작용 증강제: 간에서 당 생성 억제 및 근육과 지방 세포 흡수와 이용을 증가시킴 (ex) Metformin, Polglitazone
- 부작용: 심각한 저혈당을 유발할 수 있으며, 다른 약물과 상호작용에 의해 고혈당증을 유발하거나 혈당 조절 능력을 상실할 수 있음

■ 분석사례

- 베타-파워플러스 : Glibenclamide 3.26 mg/포 검출
- 회갈색 분말 : Glibenclamide 2.62 g/kg 검출

■ 분석법

1. HPLC법

○ 전처리 방법

- 표준액 조제 : Metformin hydrochloride 등 26종*

→ 각각 일정량 취함 → 100% 메탄올 가함 → 최종 농도(약 10~50 µg/mL)

- 검액 조제 : 약 1 g 취함 → 70% 메탄올 가함 → 30분 진탕 → 50 mL 정용

* 표준액 : Metformin hydrochloride, Buformin hydrochloride, Vildagliptin, Phenformin hydrochloride, Alogliptin, Rosiglitazone, Sitagliptin phosphate monohydrate, Pioglitazone hydrochloride, Carbutamide, Glymidine, Empagliflozin, Chlorpropamide, Repaglinide, Ipragliflozin, Glipizide, Tolbutamide, Tolazamide, Gliclazide, Canagliflozin, Mitiglinide Calcium, Glibornuride, Glibenclamide, Nateglinide, Glimepiride, Troglitazone, Gliquidone

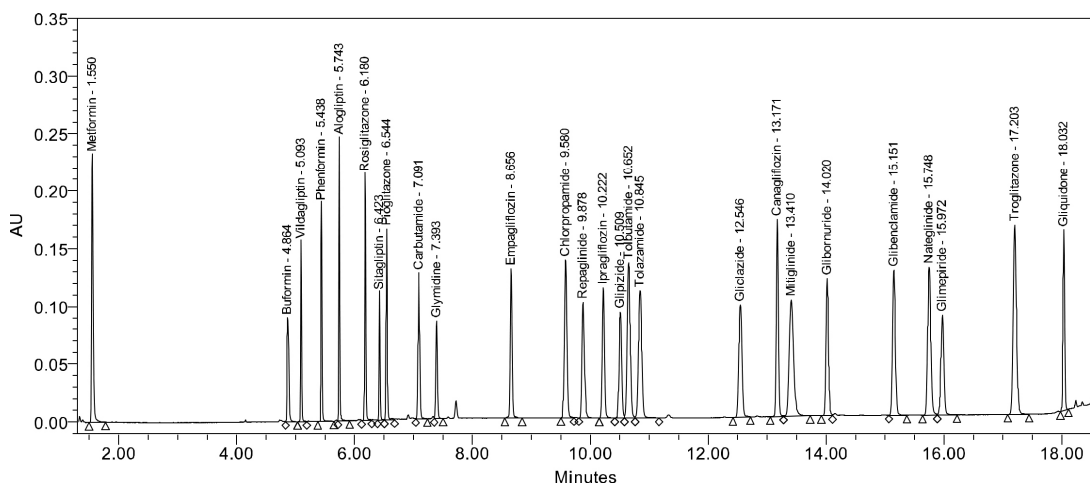
○ Analytical conditions of HPLC

- Instrument Waters ACQUITY UPLC
- Column Waters ACQUITY UPLC BEH C₁₈ (2.1 mm × 150 mm, 1.7 µm)
- Column Temp. 40°C
- Mobile Phase (A) 0.5 mM Sodium-1-hexane sulfonate in Water (0.1% H₃PO₄)
(B) 95% Acetonitrile

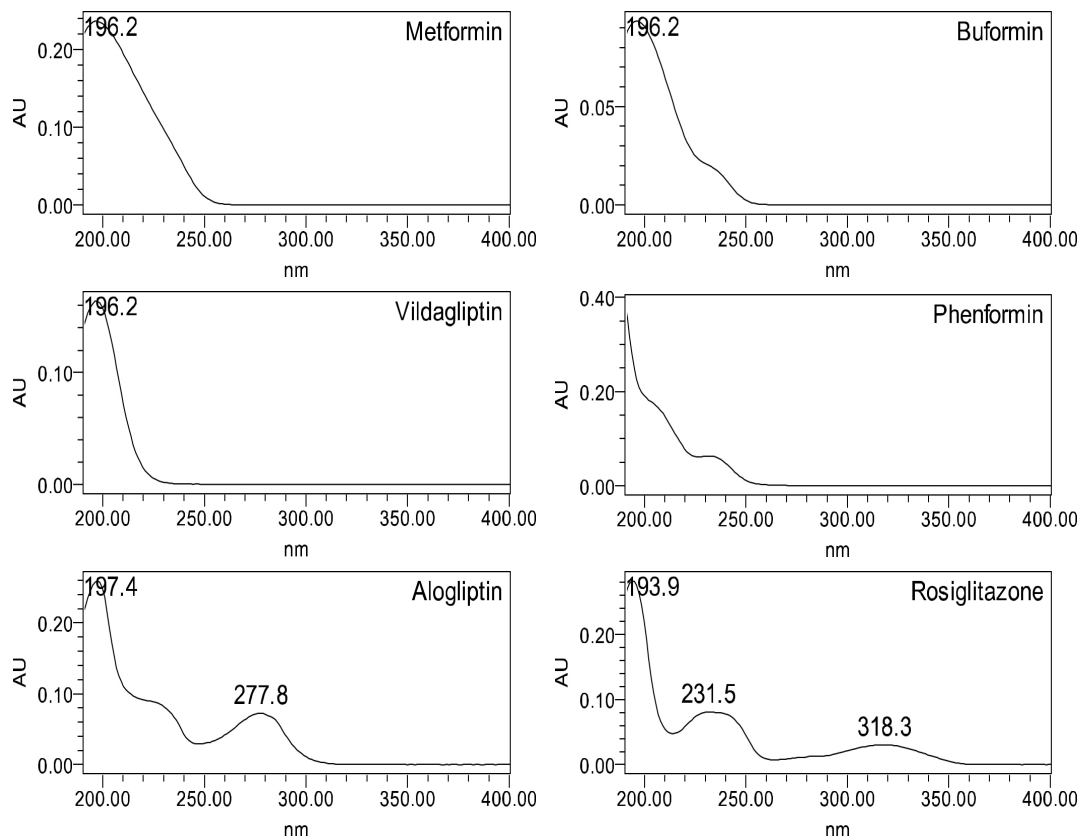
Time (min)	A (%)	B (%)
0.0	95	5
1.0	95	5
4.5	65	35
10.0	55	45
12.0	45	55
16.0	40	60
16.5	0	100
18.5	0	100
19.0	95	5
24.0	95	5

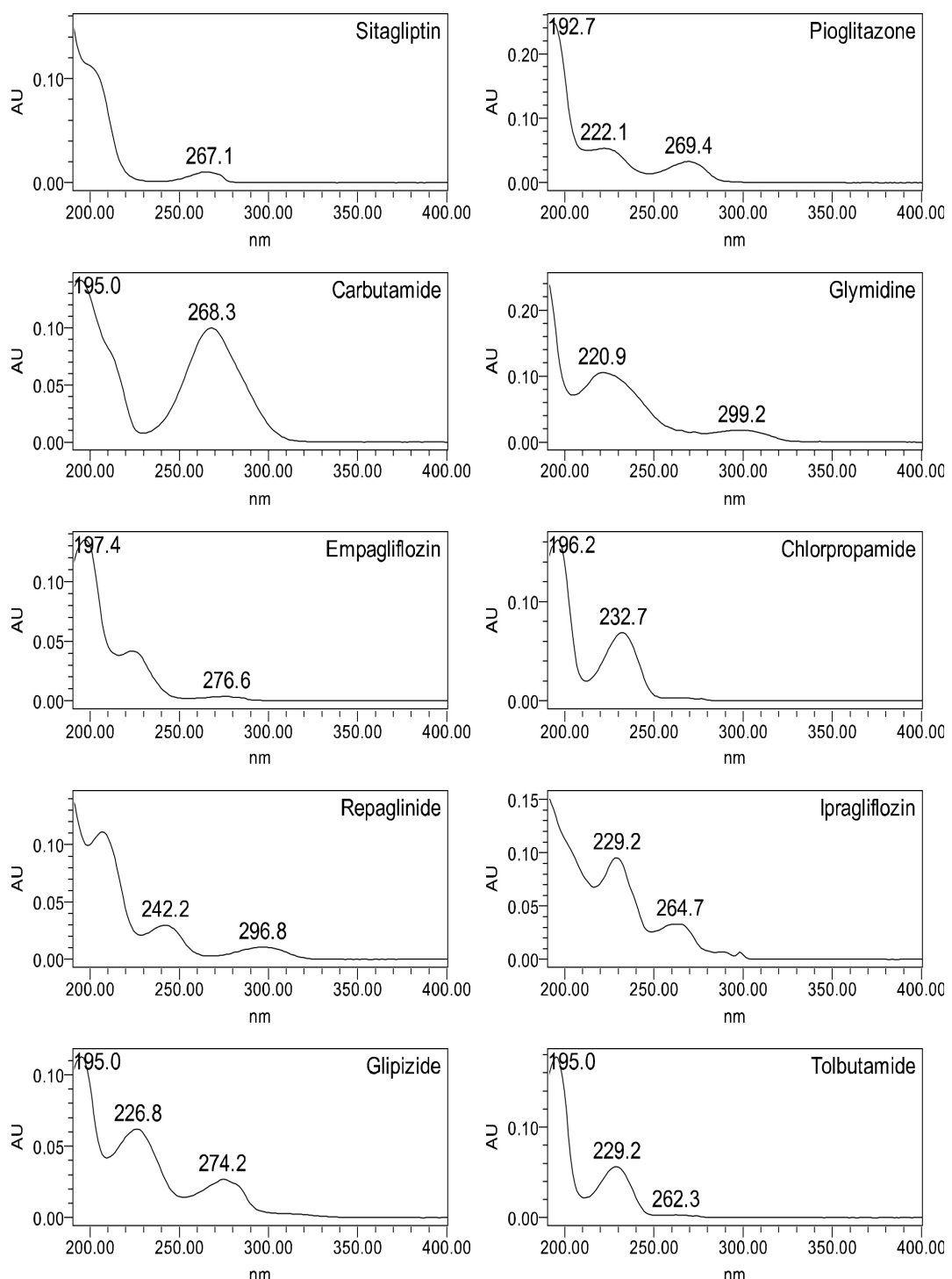
- Flow Rate 0.3 mL/min
- Inj. Volume 1 µL
- UV Detection 200 nm
- PDA Range 190~400 nm

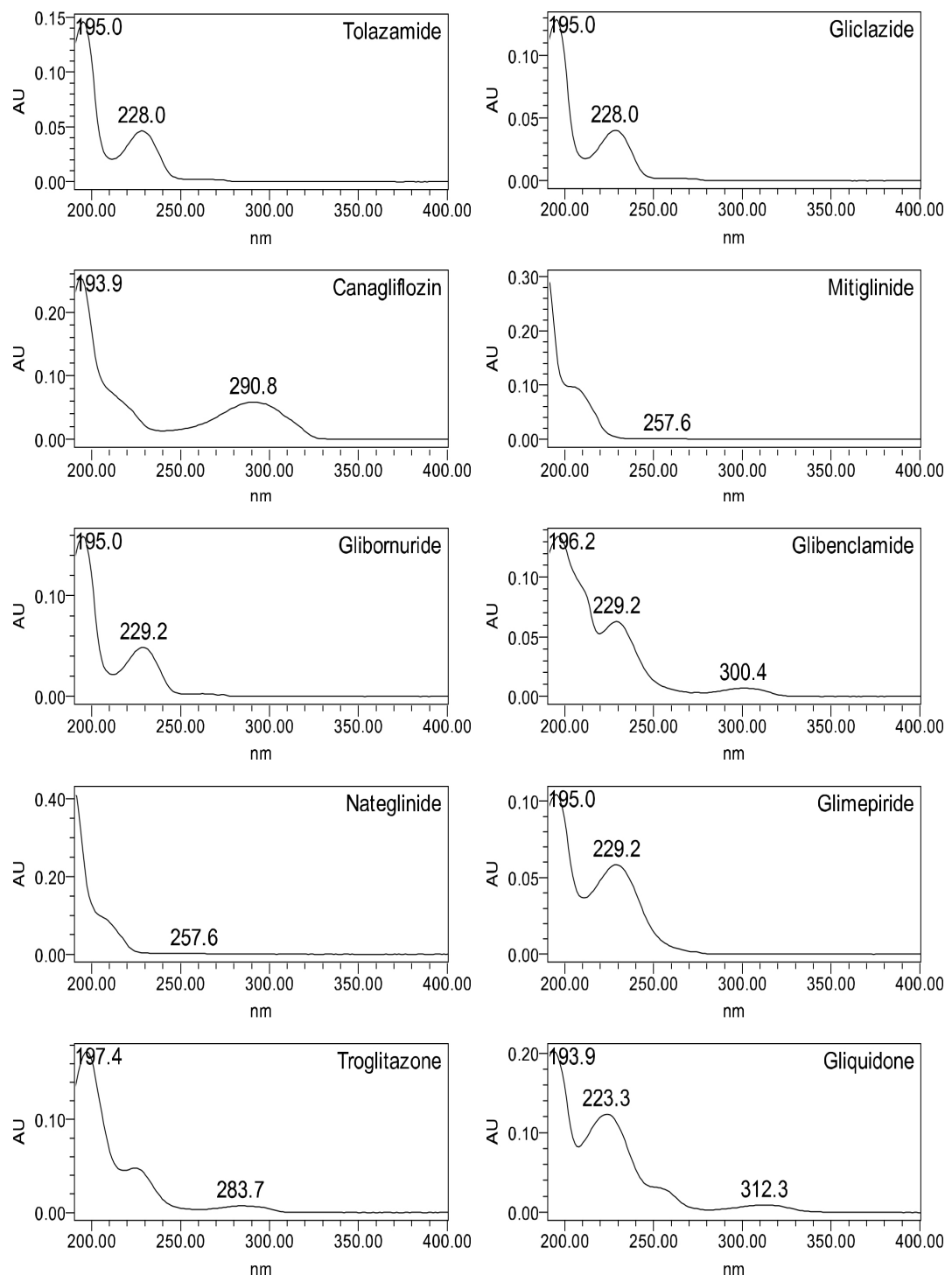
○ Chromatogram



○ PDA Spectrum







2. LC-MS/MS

○ Analytical conditions of HPLC

• Instrument	Agilent DE/1200 HPLC	
• Column	Shiseido Capcell Pak C ₁₈ (MG II) (2.0 mm × 100 mm, 3 μm)	
• Column Temp.	40°C	
• Mobile Phase	(A) 0.1% Formic acid in Water (B) 0.1% Formic acid in Methanol	
Time (min)	A (%)	B (%)
0.0	95	5
0.7	95	5
1.0	60	40
3.0	50	50
8.0	10	90
12.0	10	90
12.1	95	5
18.0	95	5

| • Flow Rate | 0.3 mL/min | |
| • Inj. Volume | 2 μL | |

○ Analytical conditions of LC-MS/MS

• Instrument	AB SCIEX Qtrap 4000	
• Ionization Mode	ESI (+)	ESI (-)
• Curtain Gas	30 psi	30 psi
• Collision Gas	9 psi	9 psi
• Ion Voltage	5000 V	4500 V
• Ion Source Gas 1	50 psi	50 psi
• Ion Source Gas 2	50 psi	50 psi
• Source Temp.	500°C	500°C

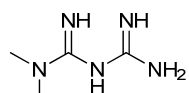
○ Analyte MS/MS transition

Compound	Ion mode	Precursor ion (<i>m/z</i>)	DP (V)	Product ion (<i>m/z</i>)	CE (eV)	CXP (V)
Metformin	+	130.1	45	85.1	20	5
			45	70.9	25	10
			45	60.0	20	10
Buformin	+	158.0	66	59.9	21	10
			66	42.8	59	20
Vildagliptin	+	304.2	65	154.2	25	10
			65	151.1	30	9
			65	133.2	45	10
Phenformin	+	206.2	60	105.1	37	20
			60	164.2	25	10
			60	189.2	23	12
Alogliptin	+	340.2	35	116.1	47	22
			35	323.1	27	22
			35	266.2	31	18
Rosiglitazone	+	358.2	48	135.0	30	10
			48	119.0	78	11
			48	107.0	60	16
Sitagliptin	+	408.2	45	235.0	27	15
			45	174.0	37	10
			45	193.0	35	12
Pioglitazone	+	357.0	91	134.1	39	12
			91	119.0	65	20
Carbutamide	+	272.2	68	156.0	25	10
			68	108.1	40	10
Glymidine	+	310.1	90	111.0	35	20
			90	252.0	28	15
			50	397.0	13	10
Empagliflozin	+	451.1	50	355.1	17	8
			50	71.2	50	13
Chlorpropamide	+	277.1	55	192.0	19	12
			55	110.9	43	10
			55	175.0	25	14

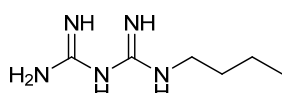
Compound	Ion mode	Precursor ion (<i>m/z</i>)	DP (V)	Product ion (<i>m/z</i>)	CE (eV)	CXP (V)
Repaglinide	+	453.2	55	230.1	38	12
			55	162.0	33	12
			55	86.0	33	13
Ipragliflozin	+	422.1	30	151.2	30	10
			30	285.1	20	18
			30	309.1	20	20
Glipizide	-	444.1	23	319.0	30	15
			23	169.9	40	8
Tolbutamide	+	271.2	61	91.20	47	17
			61	155.05	25	15
			61	74.20	20	13
Tolazamide	+	312.0	35	115.2	30	5
			35	141.1	30	10
			35	157.1	20	10
Gliclazide	-	322.2	30	169.8	35	10
			30	105.9	50	8
Canagliflozin	+	443.1	55	365.0	20	8
			55	353.0	28	10
			55	153.0	50	10
Mitiglinide	+	316.2	43	298.2	22	12
			43	145.1	36	10
			43	126.2	33	10
Glibornuride	+	367.2	25	170.1	20	10
			25	152.2	30	10
			25	349.0	20	25
Glibenclamide	+	492.1	70	169.9	35	15
			70	367.0	28	13
			70	127.0	65	10
Nateglinide	+	318.1	50	166.1	18	10
			50	125.2	22	7
			50	120.1	25	14
Glimepiride	-	489.2	55	224.9	45	10
			55	364.1	30	10
			55	349.8	25	10

Compound	Ion mode	Precursor ion (<i>m/z</i>)	DP (V)	Product ion (<i>m/z</i>)	CE (eV)	CXP (V)
Troglitazone	+	443.1	25	165.0	25	10
			25	367.0	25	8
			25	291.0	25	20
Gliquidone	+	528.2	45	403.1	15	10
			45	386.0	31	14
			45	165.1	63	14

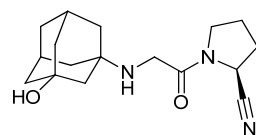
■ 구조식



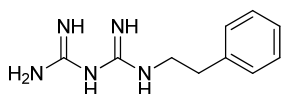
Metformin
[C₄H₁₁N₅]



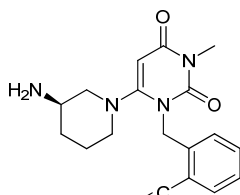
Buformin
[C₆H₁₅N₅]



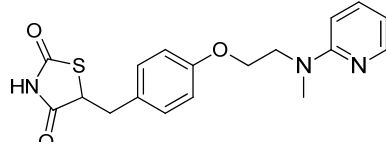
Vildagliptin
[C₁₇H₂₅N₃O₂]



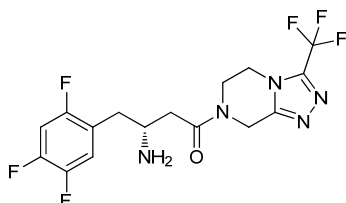
Phenformin
[C₁₀H₁₅N₅]



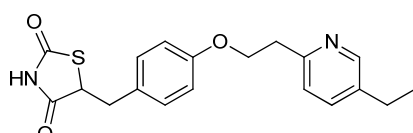
Alogliptin
[C₁₈H₂₁N₅O₂]



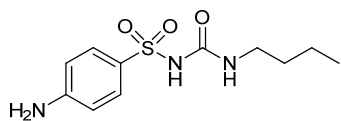
Rosiglitazone
[C₁₈H₁₉N₃O₃S]



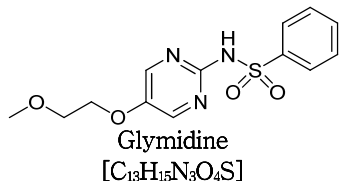
Sitagliptin
[C₁₆H₁₅F₆N₅O]



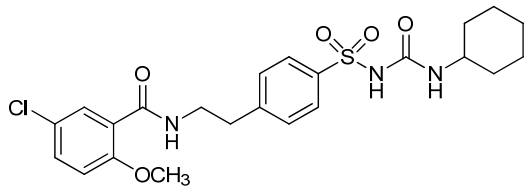
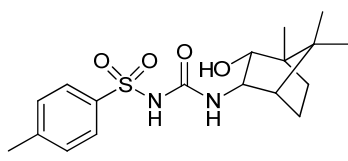
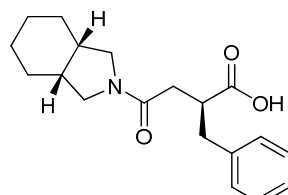
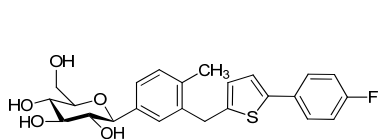
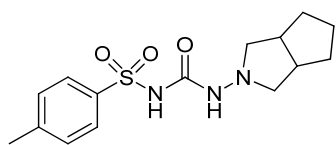
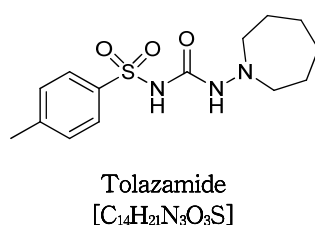
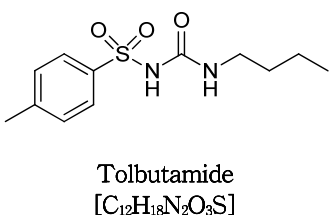
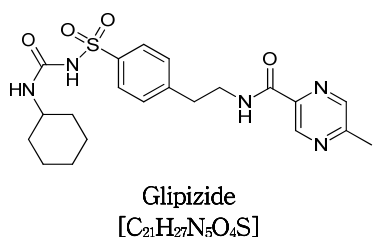
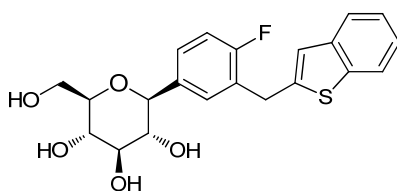
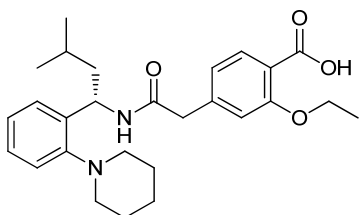
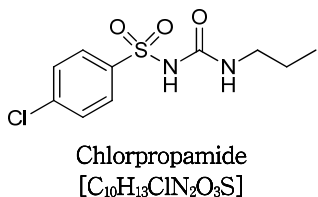
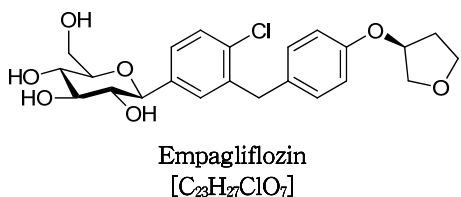
Pioglitazone
[C₁₉H₂₀N₂O₃S]

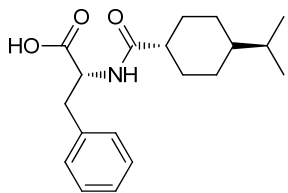


Carbutamide
[C₁₁H₁₇N₃O₃S]

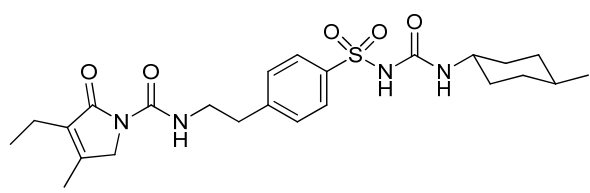


Glymidine
[C₁₃H₁₅N₃O₄S]

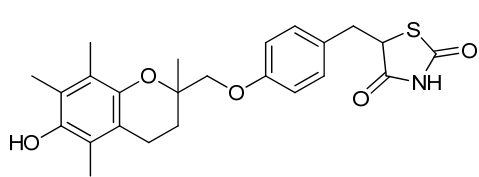




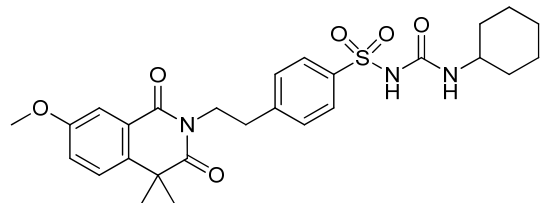
Nateglinide
[C₁₉H₂₇NO₃]



Glimepiride
[C₂₄H₃₄N₄O₅S]



Troglitazone
[C₂₄H₂₇NO₅S]



Gliquidone
[C₂₇H₃₃N₃O₆S]

■ 참고문헌

- Li N, Cui M, Lu X, Qin F, Jiang K, and Li F. A rapid and reliable UPLC/MS method of the identification and quantification of fourteen synthetic anti-diabetic drugs in adulterated Chinese proprietary medicines and dietary supplements. *Biomed Chromatogr.* 24, 1255-1261 (2010)
- 대한약전 제 9개정 의약품각조 2007, 208-209
- B S. B, Sravani and Kumar R. Method development and validation of simultaneous estimation of metformin and pioglitazone in bulk and pharmaceutical formulation by UPLC. *Int. Res J Pharm. App. Sci.* 2, 91-96 (2012)
- Reddy G. S. K, Kumar S. A, Kumar R. A new and rapid analytical method development and validation for simultaneous estimation of metformin, pioglitazone and glimepride in tablet dosage form by using UPLC. *Int. Res. J. Pharm.* 5, 283-289 (2014)

III-6 ◀ 마 및 천마 성분 분석법

■ 배경

- 인삼 또는 홍삼에 값싼 마(산약)분말을 40% 혼합하여 100% 인삼 또는 홍삼제품으로 속여 고가에 불법 판매('10. 1.)
- 국내산 마는 가격이 인삼에 비해 저렴하며 혼입하더라도 냄새와 맛이 거의 없어 소비자가 구별하기 어려움



■ 특성

- 디오신: 마파식물 왕마(*Dioscorea tokoro*)의 뿌리에서 얻은 스테로이드의 일종인 사포닌으로 마의 주요 성분
- 가스트로딘: 천마(*Gastrodiae elara Blume*)의 뿌리에서 얻은 폴리페놀의 일종으로 *gastrodigenin*의 배당체형인 천마의 주요 성분

■ 분석사례

- 인삼제품: *Dioscin* 검출
- 진천마고: *Gastrodin* 검출

■ 분석법

1. LC-MS/MS 법

○ 전처리 방법

- 표준액 조제 : Dioscin, Gastrodin

→ 일정량 취함 → 100% 메탄올 가함 → 농도(약 1,000 $\mu\text{g}/\text{mL}$)

→ 일정량 취함 → 물 가함 → 최종 농도(약 20 ng/mL)

SPE(solid phase extraction, HLB, 500 mg)

→ Condition(100% 메탄올, 5 mL) → Equilibrate(물, 5 mL)

→ Load(표준액, 5 mL) → Wash(5% 메탄올, 5 mL)

→ Eluent(100% 메탄올, 5 mL) → 최종 표준액

- 검액 조제 : 검체 약 2 g 취함 → 물 가함 → 진탕

→ to 50 mL → 원심분리 → 상층액 취해 검액(A액)으로 함

SPE(solid phase extraction, HLB, 500 mg)

→ Condition(100% 메탄올, 5 mL) → Equilibrate(물, 5 mL)

→ Load(SPE용 검액, 5 mL) → Wash(5% 메탄올, 5 mL)

→ Eluent(100% 메탄올, 5 mL) → 최종 검액

○ Analytical condition of HPLC

- Instrument Shiseido SP3133

- Column Shiseido Capcell Pak C₁₈ MG II(2.0 mm × 100 mm, 3 μm)

- Column Temp. 40°C

- Mobile Phase (A) 10 mM Ammonium acetate in Water

- (B) 100% Methanol

Time (min)	A (%)	B (%)
0.0	40	60
2.0	40	60
4.0	10	90
6.0	10	90
8.0	40	60
10.0	40	60

- Flow Rate 0.3 mL/min

- Inj. Volume 5 μL

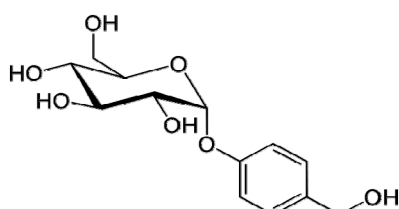
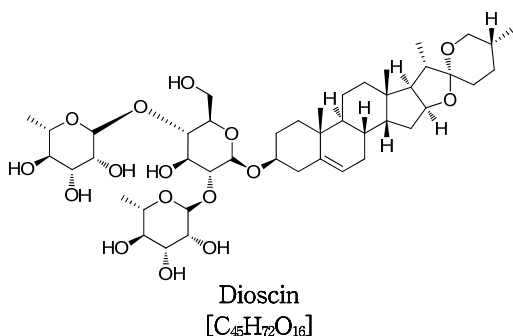
○ Analytical conditions of LC-MS/MS

• Instrument	AB SCIEX Triple Quad 5500
• Ionization Mode	ESI (-)
• Curtain Gas	25 psi
• Collision Gas	9 psi
• Ion Voltage	4500 V
• Ion Source Gas 1	55 psi
• Ion Source Gas 2	45 psi
• Source Temp.	550°C

○ Analyte MS/MS transition

Compound	Ion Mode	Precursor Ion (<i>m/z</i>)	DP (V)	Product Ion (<i>m/z</i>)	CE (V)	CXP (V)
Dioscin	-	867.4	5	721.5	46	27
Gastrodin	-	285.0	50	123.0	18	11

■ 구조식



■ 참고문헌

1. Li, K., Wang, Y., Gu, J., Chen, X. & Zhong, D. Determination of dioscin in rat plasma by liquid chromatography-tandem mass spectrometry. *J Chromatogr B.* 817(2), 271-275 (2005)
2. Lin, L.-C., Chen, Y.-F., Lee, W.-C., Wu, Y.-T. & Tsai, T.-H. Pharmacokinetics of gastrodin and its metabolite p-hydroxybenzyl alcohol in rat blood, brain and bile by microdialysis coupled to LC-MS/MS. *J Pharm Biomed Anal.* 48, 909-917 (2008)
3. Cheng, X.-L., Qi, L.-W., Wang, Q., Liu, X.-G., Boubertakh, B., Wan, J.-Y., Liu, E.-H. & Li, P. Highly efficient sample preparation and quantification of constituents from traditional Chinese herbal medicines using matrix solid-phase dispersion extraction and UPLC-MS/MS. *Analyst.* 138, 2279-2288 (2013)
4. Nino, J., Jimenez, D. A., Mosquera, O. M. & Correa, Y. M. Diosgenin quantification by HPLC in a *Dioscorea polygonoides* tuber collection from colombian flora. *J Braz Chem Soc.* 18(5), 1073-1076 (2007)
5. Lin, P. L., Lin, K. W., Weng, C. F. & Lin, K. C. Yam Storage protein dioscorins from *Dioscorea alata* and *Dioscorea japonica* exhibit distinct immunomodulatory activities in mice. *J agric food chem.* 57(11), 4606-4613 (2009)

III-7

메칠클로로이소치아졸리논, 메칠이소치아졸리논 분석

■ 배경

- 화장품·물티슈에 '가습기 살균제' 성분, 회수 조치('16. 9.)
물티슈 일부서 가습기 살균제 성분 'MIT/CMIT' 검출('16. 9.)
아기 로션에도 버젓이, '살균제 화장품' 유통('16. 9.)
CMIT/MIT 함유된 치약 회수 조치('16. 9.)
- 가습기 살균제 사건의 원인 물질로 알려진 성분들이 다른 용도의 생활화학용품에 별도의 안전기준이 없이 사용되고 있음



■ 특성

- 미국에서 1998년 농약으로 분류돼 2등급 흡입독성물질로 지정
부작용: 비염, 기관지염, 편도염, 폐질환 유발

■ 분석법

1. HPLC법

○ 전처리 방법

- 표준액 조제 : Methylchloroisothiazolinone 등 2종*

→ 각각 일정량 취함 → 100% 메탄올 가함 → 최종 농도(약 10~30 µg/mL)
- 검액 조제 : 약 1 g 취함 → 70% 메탄올 가함 → 30분 진탕 → 50 mL 정용

* 표준액 : Methylchloroisothiazolinone(CMIT), Methylisothiazolinone(MIT)

○ Analytical condition of HPLC

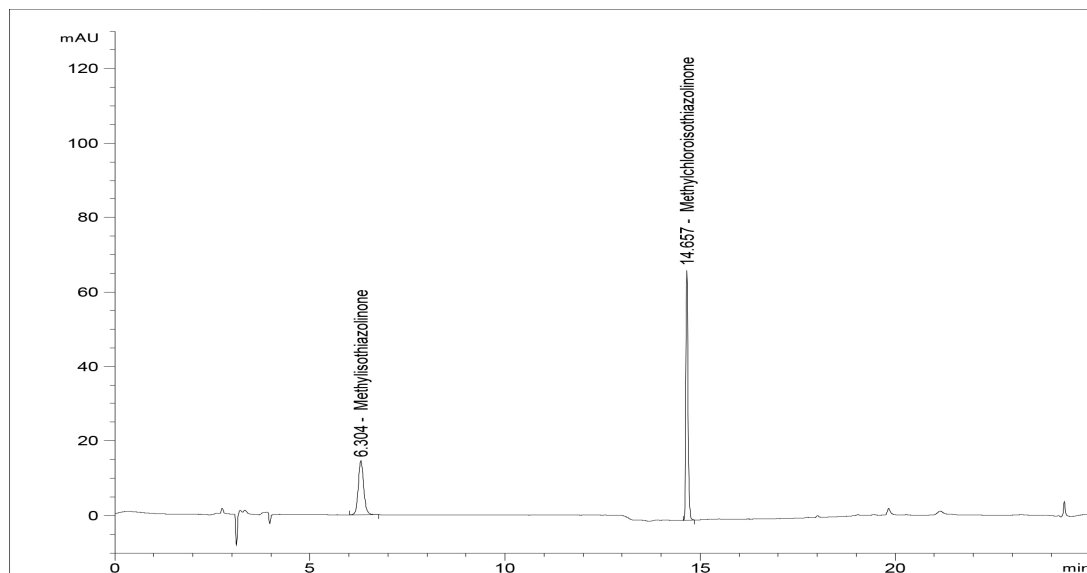
- Instrument Agilent DE/1200 HPLC (DAD)
- Column Agilent Eclipse XDB C18 (4.6 mm × 250 mm, 5 µm)
- Column Temp. 30°C
- Mobile Phase
 - (A) 0.1% 인산수용액:ACN (95:5)
 - (B) 0.1% 인산수용액:ACN (5:95)

Time (min)	A (%)	B (%)
0.0	100	0
8.0	100	0
15.0	20	80
20.0	20	80
25.0	100	0
30.0	100	0

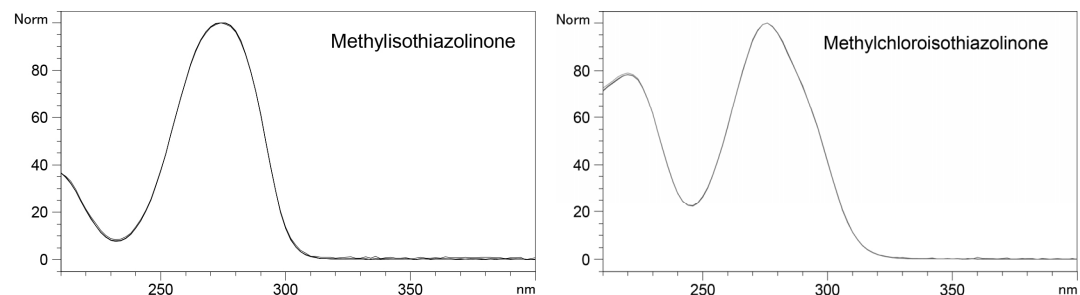
- Flow Rate 0.80 mL/min
- Inj. Volume 5 µL
- UV Detection 275 nm
- PDA Range 190~400 nm

- 0.1% 인산수용액 : Potassium phosphate dibasic (K_2HPO_4) 0.2 g + Potassium phosphate monobasic (KH_2PO_4) 0.8 g을 증류수 1 L에 녹임.

○ Chromatogram



○ PDA Spectrum



2. LC-MS/MS법

○ Analytical condition of HPLC

• Instrument	Waters UPLC																					
• Column	Waters ACQUITY UPLC HSS T ₃ (2.1 mm × 100 mm, 1.7 μm)																					
• Column Temp.	30°C																					
• Mobile Phase	(A) 0.1% Formic acid in Water (B) 0.1% Formic acid in Acetonitrile																					
<table border="1" style="width: 100%; border-collapse: collapse;"> <thead> <tr> <th style="text-align: center;">Time (min)</th> <th style="text-align: center;">A (%)</th> <th style="text-align: center;">B (%)</th> </tr> </thead> <tbody> <tr> <td style="text-align: center;">0.0</td> <td style="text-align: center;">100</td> <td style="text-align: center;">0</td> </tr> <tr> <td style="text-align: center;">2.0</td> <td style="text-align: center;">100</td> <td style="text-align: center;">0</td> </tr> <tr> <td style="text-align: center;">7.0</td> <td style="text-align: center;">0</td> <td style="text-align: center;">100</td> </tr> <tr> <td style="text-align: center;">9.0</td> <td style="text-align: center;">0</td> <td style="text-align: center;">100</td> </tr> <tr> <td style="text-align: center;">9.1</td> <td style="text-align: center;">100</td> <td style="text-align: center;">0</td> </tr> <tr> <td style="text-align: center;">11.0</td> <td style="text-align: center;">100</td> <td style="text-align: center;">0</td> </tr> </tbody> </table>		Time (min)	A (%)	B (%)	0.0	100	0	2.0	100	0	7.0	0	100	9.0	0	100	9.1	100	0	11.0	100	0
Time (min)	A (%)	B (%)																				
0.0	100	0																				
2.0	100	0																				
7.0	0	100																				
9.0	0	100																				
9.1	100	0																				
11.0	100	0																				
• Flow Rate	0.20 mL/min																					
• Inj. Volume	1 μL																					

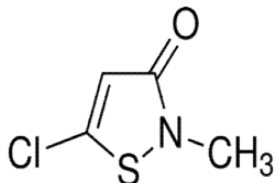
○ Analytical conditions of LC-MS/MS

• Instrument	Waters Xevo TQ
• Ionization Mode	ESI (+)
• Capillary Voltage	2.7 kV
• Desolvation Temp.	500°C
• Desolvation Gas Flow	600 L/Hr (N ₂)
• Cone Gas Flow	50 L/Hr (N ₂)

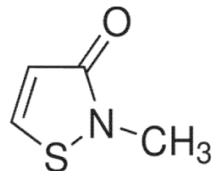
○ Analyte MS/MS transition

Compound	Ion Mode	Precursor ion (<i>m/z</i>)	CV (V)	Product ion (<i>m/z</i>)	CE (eV)
Methylchloroisothiazolinone (CMIT)	+	150.07	15	86.78	15
				95.78	20
				114.80	20
				118.74	20
Methylisothiazolinone (MIT)	+	115.97	30	70.76	15
				98.75	20
				100.79	20

■ 구조식



Methylchloroisothiazolinone
[C₄H₄ClNOS]



Methylisothiazolinone
[C₄H₅NOS]

■ 참고문헌

- 식약처. 화장품 중 배합한도 분석법 가이드라인. I. 살균보존제 성분. 11. 메칠클로로이소치아졸리논과 메칠이소치아졸리논 혼합물 (2015)
- Wittenberg JB, Canas BJ, Zhou W, Wang PG, Rua D and Kryniotsky AJ. Determination of methylisothiazolinone and methylchloroisothiazolinone in cosmetic products by ultra performance liquid chromatography with tandem mass spectrometry. *J Sep Sci.* 38(17), 2983-2988 (2015)
- Kawakami T, Isama K and Ikarashi Y. Analysis of 19 preservatives in polyvinyl alcohol cooling towels used in Japan by high performance liquid chromatography with photo diode array detector. *J Environ An Ch.* 2015.
- Baranowska I and Wojciechowska I. The determination of preservatives in cosmetics and environmental waters by HPLC. *Pol J Environ Stud.* 22, 6 (2013)
- Alvarez-Rivera G, Dagnac T, Lores M, Garcia-Jares C, Sanchez-Prado L, Lamas JP and Llompart M. Determination of isothiazolinone preservatives in cosmetics and household products by matrix solid-phase dispersion followed by high-performance liquid chromatography-tandem mass spectrometry. *J Chromatogr A.* 1270, 41-50 (2012)

III-8

모유분비촉진관련성분(5종) 분석법

■ 배경

- 발암 한약재 ‘등칡’, 수유 특효약 둔갑(‘16. 10.)
- 등칡 발암, 신부전증 등 부작용, 통초로 둔갑해 유통 ‘생김새 보니’(‘16. 10.)
- 수유산모 · 신생아 심장 위협 ‘돔페리돈’, 산부인과서 8만건 처방(‘16. 10.)
- [국감] 모유수유 신생아 돌연사 美 금지약물, 국내선 남용(‘16. 10.)



■ 특성

- 등칡에 함유된 아리스톨로크산(aristolochic acid): 신장장애 및 신장암 유발
 - 미국 FDA에서는 2001년부터 발암성분으로 규정
 - 우리나라에서도 2005년부터 유통과 사용 전면 금지된 약재
 - 모유 수유에 좋은 통초로 속여 파는 사례 급증
- 돔페리돈(domperidone): 오심, 구토 증상 완화에 사용하는 위장관운동촉진제
 - 투약 후 모유수유 시 산모와 신생아 급성심장사 가능성 높음
 - 부작용인 젖 분비 과다 증상을 이용해 모유 촉진제로 처방하는 경우가 급증

■ 분석법

1. LC-MS/MS 법

○ 전처리 방법

- 표준액 조제 : Sulpiride 등 5종*
→ 각각 일정량 취함 → 100% 메탄올 가함 → 최종 농도(약 10 ng/mL)
- 검액 조제 : 약 1 g 취함 → 70% 메탄올 가함 → 30분 진탕 → 50 mL 정용

* 표준액 : Sulpiride, Metoclopramide hydrochloride, Domperidone, Chlorpromazine hydrochloride, Medroxyprogesterone acetate

○ Analytical condition of HPLC

- | | |
|----------------|--|
| • Instrument | Shiseido SP3133 |
| • Column | Agilent Poroshell 120 SB-C ₁₈ , (2.1 mm × 75 mm, 2.7 μm) |
| • Column Temp. | 40°C |
| • Mobile Phase | (A) 20mM Ammonium formate in Water (pH 5.4)
(B) 100% Acetonitrile |

Time (min)	A (%)	B (%)
0.0	90.0	10.0
1.0	90.0	10.0
6.0	5.0	95.0
10.0	5.0	95.0
10.1	90.0	10.0
13.0	90.0	10.0

- | | |
|---------------|------------|
| • Flow Rate | 0.3 mL/min |
| • Inj. Volume | 1 μL |

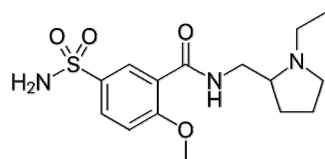
○ Analytical conditions of LC-MS/MS

- | | |
|--------------------|---------------------------|
| • Instrument | AB SCIEX Triple Quad 5500 |
| • Ionization Mode | ESI (+) |
| • Curtain Gas | 30 psi |
| • Collision Gas | 8 psi |
| • Ion Voltage | 5500 V |
| • Ion Source Gas 1 | 50 psi |
| • Ion Source Gas 2 | 50 psi |
| • Source Temp. | 500°C |

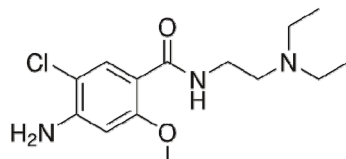
○ Analyte MS/MS transition

Compound	Ion Mode	Precursor ion (<i>m/z</i>)	CV (V)	Product ion (<i>m/z</i>)	CE (eV)	CXP (V)
Sulpiride	+	342.0	120	112.2	40	13
				84.1	40	20
Metoclopramide	+	300.1	120	227.1	2	13
				184.0	45	25
Domperidone	+	426.1	120	175.0	32	15
				147.0	45	20
Chlorpromazine	+	319.1	120	86.1	31	14
				58.2	55	14
Medroxyprogesterone acetate	+	387.0	120	327.2	21	14
				123.1	33	12

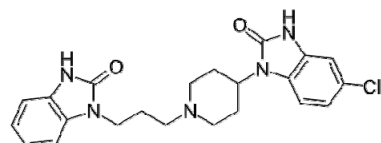
■ 구조식



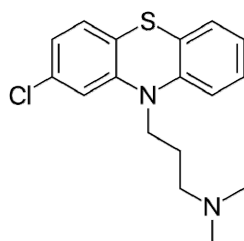
Sulpiride
[C₁₅H₂₃N₃O₄S]



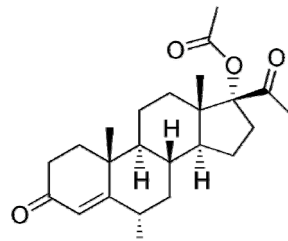
Metoclopramide
[C₁₄H₂₂ClN₃O₂]



Domperidone
[C₂₂H₂₄ClN₅O₂]



Chlorpromazine
[C₁₇H₁₉ClN₂S]



Medroxyprogesterone acetate
[C₂₄H₃₄O₄]

■ 참고문헌

1. Saar, E., Gerostamoulos, D., Drummer, O.H., Beyer, J. Identification and quantification of 30 antipsychotics in blood using LC-MS/MS. *J Mass Spectrom.* 45, 915-925 (2010)
2. Yan, M., Li, H.-D., Chen, B.-M., Liu, X.-L. & Zhu, Y.-G. Determination of metoclopramide in human plasma by LC-ESI-MS and its application to bioequivalence studies. *J Chromatogr B.* 878, 883-887 (2010)

III-9 ◀ 발모관련성분(13종) 분석법

■ 배경

- 식품에 사용할 수 있는 발모제 성분인 미녹시딜이 함유된 건강기능식품을 판매한 업자 적발 ('13. 9.)
- 국내에 허가되지 않은 탈모치료제를 불법 유통하였으며, 발모제 성분인 피나스테리드가 검출된 사례 적발.('15. 3.)
- 속눈썹감모증치료제인 전문의약품 '라티쎄'가 인터넷 불법판매 및 유통 ('16. 7.)
- 탈모치료제 프로페시아, 우울증 자살생각 '경고' ('17. 7.)

<p>발모제 성분 '미녹시딜' 검출 건강기능식품 회수 조치 식약청, 건강기능식품 모리아 알지-Ⅲ 판매 금지</p> <p>2013년 12월 31일 12:22:45</p> <p>[사티지날 신유진 기자] 식품의약품안전처 대전지방청이 (주)제품엔비디가 제조하고 에스엔코스메틱이 판매한 건강기능식품 '모리아 알지-Ⅲ(베타카로틴)'에서 식품에 사용할 수 있는 의약품 성분 '미녹시딜'이 검출돼 해당 제품에 대해 판매 금지 및 회수 조치한다.</p> <p>해당 제품은 '모리아 알지-Ⅲ' (유통기한 2013.6.16. / 2013.7.24.)로, 유통기한별 해당 제품 고시결과 미녹시딜이 1캡슐(400mg) 당 각각 2.59mg, 3.35mg 검출됐다.</p> <p>대형식약점은 시장에 유통 중인 제품을 회수 중에 있다고 밝히면서, 해당 제품을 구입한 소비자는 사용을 중단하고 구매처를 통해 반품해 줄 것을 당부했다.</p>	<p>[뉴스쇼 판] 무허가 일본 발모제 버젓이…부작용 우려</p> <p>등록 2015.02.24 21:58 / 수정 2015.02.24 23:30</p> <p>기사 공유하기 • </p> <p>호르몬 부작용…일본 발모제 유통</p> <p>21:56 경제 코스닥지수 5.79포인트(0.94%) 오른 621.31 마감</p>
---	---

■ 특성

- 대표적인 발모제는 미녹시딜, 피나스테리드로서 FDA에 승인받은 의약품임
- 미녹시딜은 모낭혈관을 확장시켜 혈액흐름을 원활하게 하는 발모제 성분으로 과량 사용 시 부종, 부정맥, 가려움 등 부작용을 나타냄
- 속눈썹감모증 치료제인 '라티쎄'는 녹내장치료제 성분인 비마토프로스트의 부작용으로 만든 전문의약품으로서 FDA에 승인받음

■ 분석 사례

- 모리아 알지-Ⅲ(베타카로틴): Minoxidil 2.47mg/캡슐 검출

■ 분석법

1. HPLC법

○ 전처리 방법

- 표준액 조제 : Triaminodil 등 13종*
→ 각각 일정량 취함 → 100% 메탄올 가함 → 최종 농도(약 5~100 $\mu\text{g}/\text{mL}$)
- 검액 조제 : 약 1g 취함 → 100% 메탄올 가함 → 30분 진탕 → 50 mL 정용
→ 원심분리(3,000 rpm, 10분) → 상층액을 검액으로 함

* 표준액 : Triaminodil, Minoxidil, Bimatoprost, Alimemazine tartrate, Diphenylcyclopropenone, Alfatradiol, Finasteride, Methyltestosterone, Spironolactone, Flutamide, Cyproterone acetate, Dutasteride, Testosterone 17-propionate

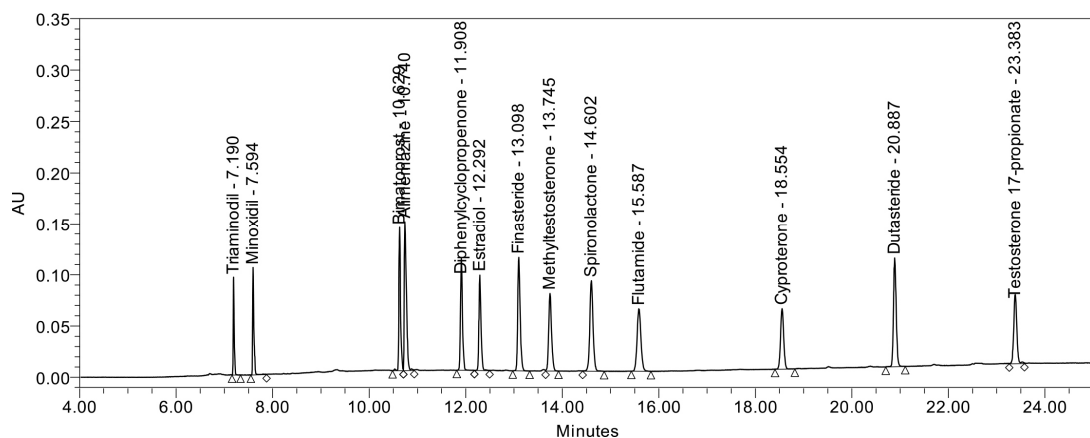
○ Analytical condition of HPLC

• Instrument	Waters ACQUITY UPLC
• Column	Waters ACQUITY UPLC HSS T3 (2.1 mm × 150 mm, 1.8 μm)
• Column Temp.	40°C
• Mobile Phase	(A) 0.5 mM Sodium-1-hexane sulfonate in Water (0.1% H_3PO_4) (B) 90% Acetonitrile

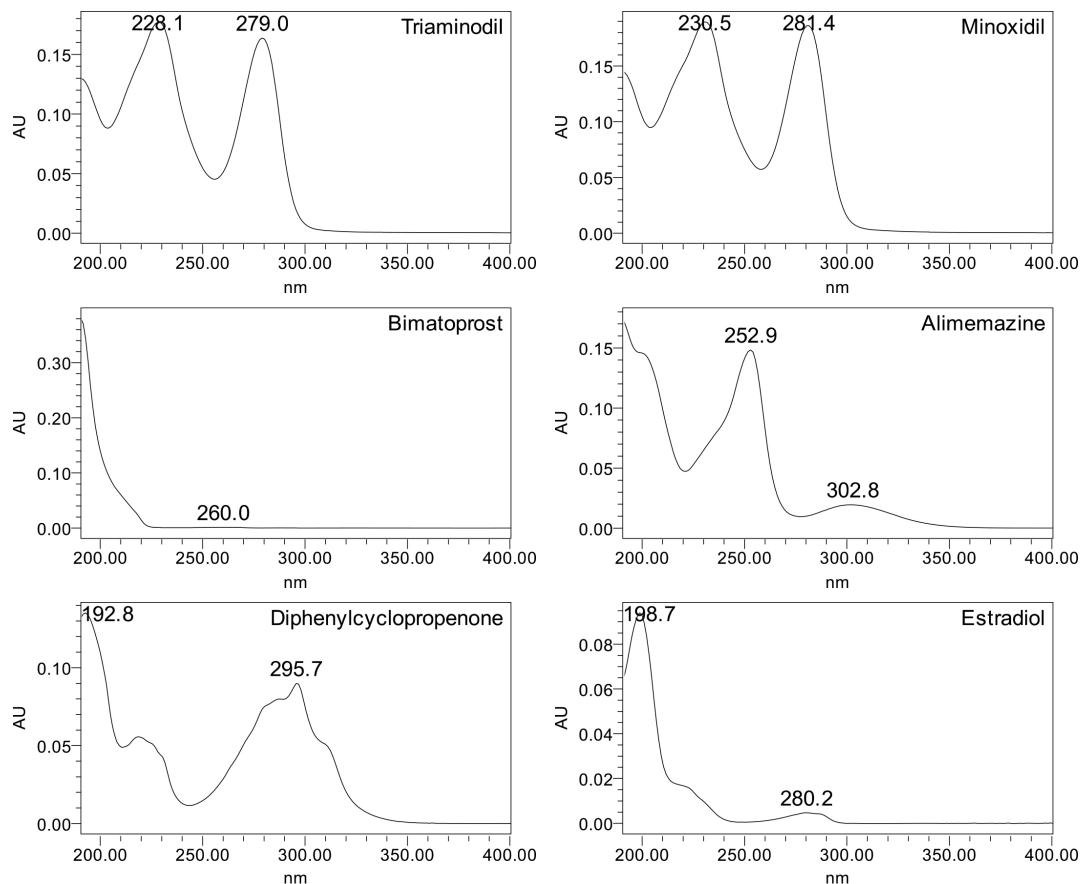
Time (min)	A (%)	B (%)
0.0	95	5
3.0	95	5
5.0	70	30
10.0	42	58
14.0	42	58
22.0	10	90
24.0	10	90
24.1	95	5
26.0	95	5

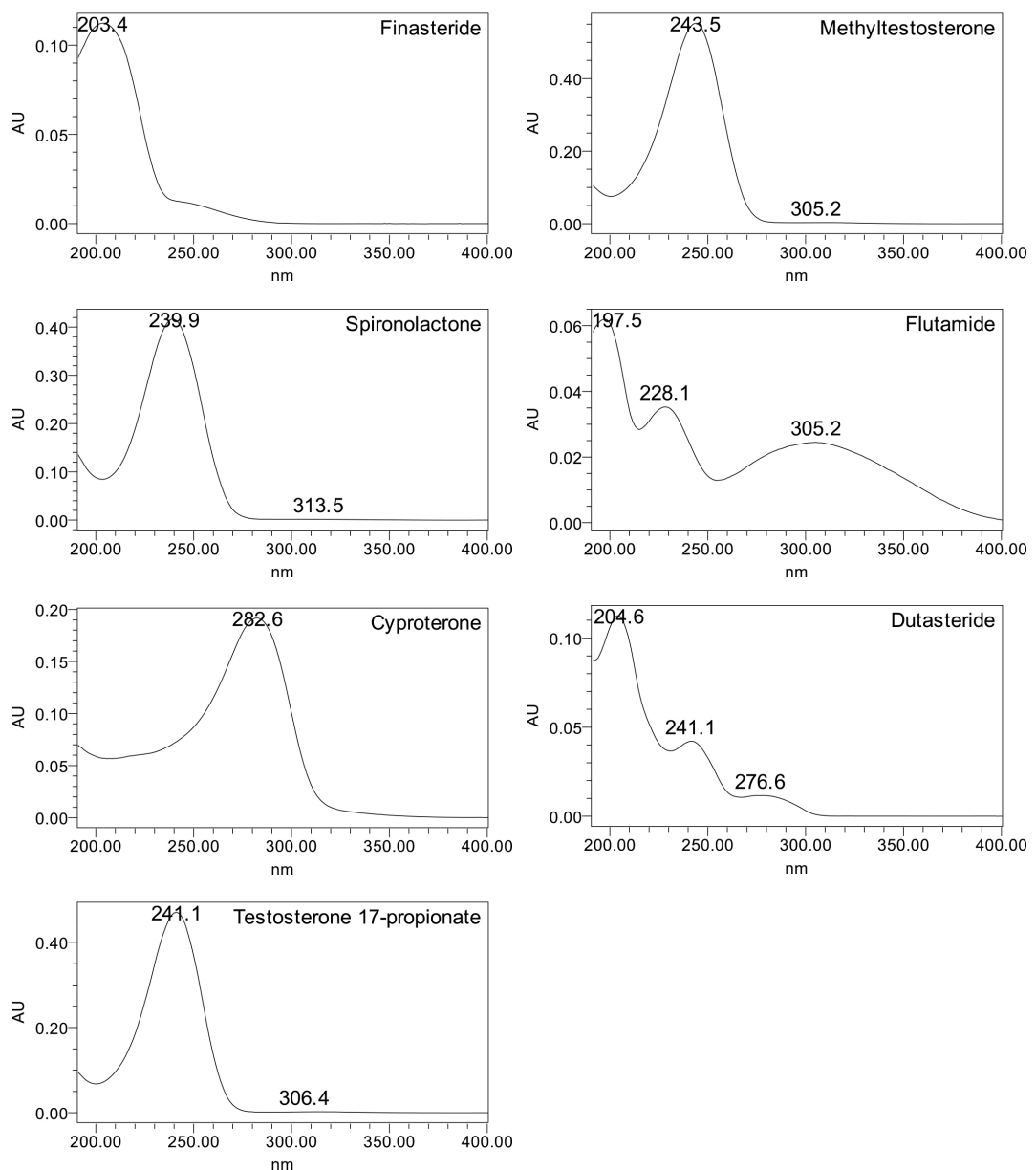
• Flow Rate	0.30 mL/min
• Inj. Volume	1 μL
• UV Detection	200 nm
• PDA Range	190~400 nm

○ Chromatogram



○ PDA Spectrum





2. LC-MS/MS법

○ Analytical conditions of HPLC

• Instrument	Waters ACQUITY UPLC																								
• Column	Waters ACQUITY UPLC BEH C ₁₈ (2.1 mm × 100 mm, 1.7 μm)																								
• Column Temp.	30°C																								
	(A) 1 mM Ammonium acetate in Water																								
	(B) 100% Acetonitrile																								
• Mobile Phase	<ul style="list-style-type: none"> · Alimemazine의 경우 (A) 0.1% Formic acid in Water (B) 0.1% Formic acid in Acetonitrile																								
	<table border="1" style="width: 100%; border-collapse: collapse;"> <thead> <tr> <th style="text-align: center;">Time (min)</th> <th style="text-align: center;">A (%)</th> <th style="text-align: center;">B (%)</th> </tr> </thead> <tbody> <tr><td style="text-align: center;">0.0</td><td style="text-align: center;">90</td><td style="text-align: center;">10</td></tr> <tr><td style="text-align: center;">1.0</td><td style="text-align: center;">90</td><td style="text-align: center;">10</td></tr> <tr><td style="text-align: center;">3.0</td><td style="text-align: center;">50</td><td style="text-align: center;">50</td></tr> <tr><td style="text-align: center;">8.0</td><td style="text-align: center;">10</td><td style="text-align: center;">90</td></tr> <tr><td style="text-align: center;">10.0</td><td style="text-align: center;">10</td><td style="text-align: center;">90</td></tr> <tr><td style="text-align: center;">10.1</td><td style="text-align: center;">90</td><td style="text-align: center;">10</td></tr> <tr><td style="text-align: center;">12.0</td><td style="text-align: center;">90</td><td style="text-align: center;">10</td></tr> </tbody> </table>	Time (min)	A (%)	B (%)	0.0	90	10	1.0	90	10	3.0	50	50	8.0	10	90	10.0	10	90	10.1	90	10	12.0	90	10
Time (min)	A (%)	B (%)																							
0.0	90	10																							
1.0	90	10																							
3.0	50	50																							
8.0	10	90																							
10.0	10	90																							
10.1	90	10																							
12.0	90	10																							
• Flow Rate	0.3 mL/min																								
• Inj. Volume	1 μL																								

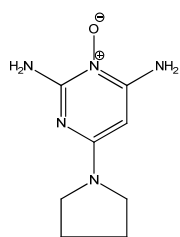
○ Analytical conditions of LC-MS/MS

• Instrument	Waters Xevo TQ
• Ionization Mode	ESI (+),(-)
• Capillary Voltage	2.5 kV
• Desolvation Temp.	400°C
• Desolvation Gas Flow	600 L/Hr (N ₂)
• Cone Gas Flow	off

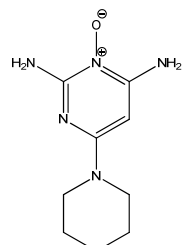
○ Analyte LC-MS/MS transition

Compound	Ion Mode	Precursor ion (<i>m/z</i>)	CV (V)	Product ion (<i>m/z</i>)	CE (eV)
Triaminodil	+	196.20	25	137.15	20
				151.15	20
				179.20	15
Minoxidil	+	210.20	10	110.10	25
				164.20	25
				193.20	15
Biamtoprost	+	398.39	20	317.28	15
				362.25	10
				100.00	20
Alimemazine tartrate	+	299.08	30	179.95	40
				211.90	25
				77.05	35
Diphenylcyclopropenone	+	207.18	35	152.13	35
				178.20	25
				144.95	35
Alfatradiol	-	271.10	40	182.97	40
				305.35	30
				317.30	25
Finasteride	+	373.35	35	97.10	25
				109.10	25
				107.15	25
Methyltestosterone	+	303.30	30	187.20	20
				174.95	30
				181.95	30
Spironolactone	+	341.13	50	201.97	25
				165.13	50
				279.30	25
Cyproterone acetate	+	417.28	35	357.30	15
				133.20	45
				461.32	35
Dutasteride	+	529.30	45	97.10	20
				109.10	25
				253.30	15
Testosterone 17-propionate	+	345.30	30		

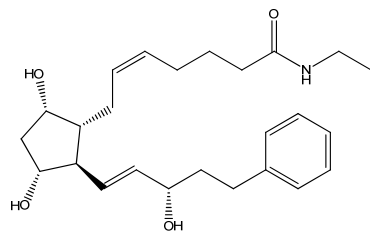
■ 구조식



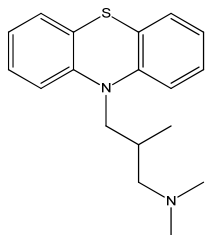
Triaminodil
[C₈H₁₃N₅O]



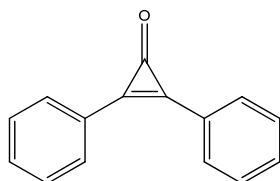
Minoxidil
[C₈H₁₅N₅O]



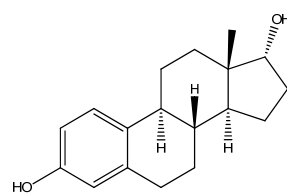
Bimatoprost
[C₂₅H₃₇NO₄]



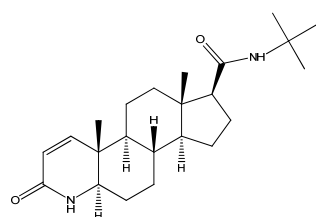
Alimemazine
[C₁₈H₂₂N₂S]



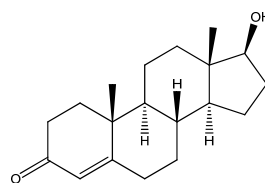
Diphenylcyclopropenone
[C₁₅H₁₀O]



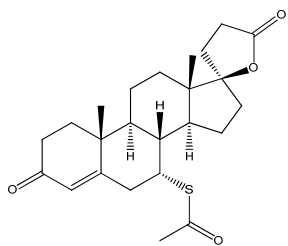
Alfatradiol
[C₁₈H₂₄O₂]



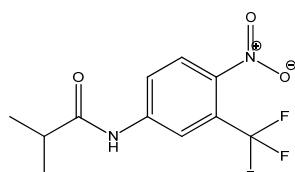
Finasteride
[C₂₂H₃₆N₂O₂]



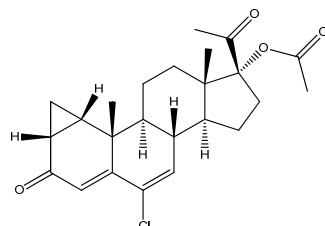
Methyltestosterone
[C₂₀H₃₀O₂]



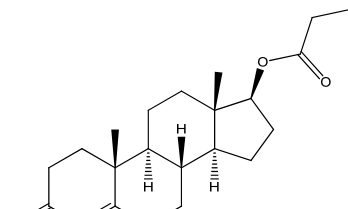
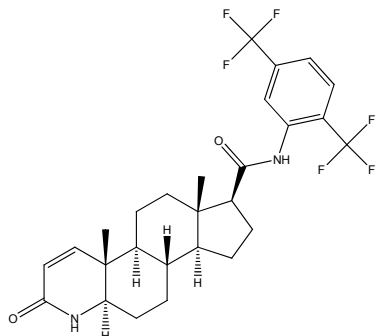
Spironolactone
[C₂₄H₃₂O₄S]



Flutamide
[C₁₁H₁₁F₃N₂O₃]



Cyproterone
[C₂₄H₂₈ClO₄]



■ 참고문헌

1. Gavin Gibson, Tore Ramstad, Kent A Mills, Michael J Dunn, A method for the determination of minoxidil in hair-regrowth formulations by micellar electrokinetic capillary chromatography, Il Farmaco, 10, 847 - 853(2005)
2. Nivedita Patel and Dhananjay Meshram, Development and Validation of Analytical Method for Simultaneous Determination of Minoxidil and Finasteride in Pharmaceutical Dosage Form by RP-HPLC Method, IJPSR, 6(11),4882-4885(2015)

III-10

복어독(테트로도톡신) 분석법

■ 배경

- 14살 먹으면 사망 '복어독 환' 불법 제조 암 환자에 판매('17. 4.)
- 복어독 불법 의약품이 '암 특효약'으로 둔갑('17. 4.)



■ 특성

- 복에 함유되어 있는 맹독(tetrodotoxin)으로 물에 잘 녹지 않고 동시에 내열성이므로 보통의 조리 조건으로는 무독화 되지 않으며 존재 여부를 관능적으로 감지할 수 없음
- 흡수된 tetrodotoxin은 신경근 접합부에 작용, 신경의 흥분에 동반하는 Na⁺의 세포 내로의 유입을 선택적으로 억제하는 특이한 작용을 나타내어 자율운동신경의 흥분전도를 차단하게 되어 강한 독성을 나타냄
- 중독증상(제1도)은 섭취 후 2~3 시간 내에 먼저 입술, 혀끝, 손끝이 저리고 두통, 복통, 구토가 계속되며 이어서 불완전 운동마비의(제2도) 상태가 되어 지각마비, 언어장애, 혈압이 떨어진 후 완전 운동마비의(제3도) 운동 불능의 상태인 호흡곤란(cyanosis)이 나타나고 전신마비를 보이며 의식소실(제4도)의 단계로 진행되어 의식을 잃고, 호흡과 심장박동이 정지됨

■ 분석사례

- 복어환 : 테트로도톡신 0.531mg/g 검출

■ 분석법

1. LC-MS/MS 법

○ 전처리 방법

- 표준액 조제 : Tetrodotoxin
→ 일정량 취함 → 0.1% acetic acid 가함 → 최종 농도(약 10 µg/mL)
- 검액 조제 : 약 1 g 취함 → 70% 메탄올 가함 → 30분 진탕 → 50 mL 정용

○ Analytical conditions of UPLC

- Instruments Waters ACQUITY UPLC
- Column Waters ACQUITY UPLC HILIC (2.1 mm × 100 mm, 1.7 µm)
- Column Temp. 35°C
- Mobile Phase (A) 0.1% Acetic acid in Water
(B) 100% Acetonitrile

Time (min)	A (%)	B (%)
0.0	90	10
3.0	50	50
4.0	50	50
4.1	90	10
6.0	90	10

- Flow Rate 0.4 mL/min
- Inj. Volume 2 µL

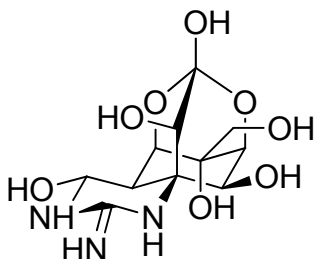
○ Analytical conditions of LC-MS/MS

- Instrument Waters Xevo TQ
- Ionization Mode ESI (+)
- Capillary Voltage 3.5 kV
- Desolvation Temp. 350°C
- Desolvation Gas Flow 600 L/Hr (N₂)
- Cone Gas Flow 50 L/Hr (N₂)

○ Analyte MS/MS transition

Compound	Ion Mode	Precursor Ion (<i>m/z</i>)	CV (V)	Product Ion (<i>m/z</i>)	CE (eV)
Tetrodotoxin	+	320.1	45	302.1	37
				284.2	29
				162.0	25

■ 구조식



Tetrodotoxin
[C₁₁H₁₇N₃O₈]

■ 참고문헌

1. Hong-Nan, Huang Jie Lina, Hong-Lin Lina, Identification and quantification of tetrodotoxin in the marine gastropod *Nassarius* by LC - MS, *Toxicon*. 51(5), 774-779 (2008)

III-11 ◀ 부자성분 분석법

■ 배경

- 부자·초오 등 식품에 사용할 수 없는 식물에 함유된 성분인 아코니틴이 검출되어 해당 제품을 유통·판매금지 및 회수('13. 8.)
- 식품에 금지된 아코니틴을 포함한 식품을 만병통치약으로 속여 판매된 제품 적발('14. 6.)



■ 특성

- 아코니틴: 부자, 초오 등 미나리아재비과 식품의 뿌리에 들어 있는 알칼로이드
- 부작용: 독성이 강하여 과량 복용 시 호흡중추 또는 심근마비를 야기 할 수 있음

■ 분석사례

- 바보환 B.B.P: Aconitine 검출
- 인삼성분함유미삼정: Aconitine 검출

■ 분석법

1. LC-MS/MS 법

○ 전처리 방법

- 표준액 조제 : Aconitine 등 3종*

→ 각각 일정량 취함 → 100% 메탄올 가함 → 최종 농도(약 1.0 $\mu\text{g}/\text{mL}$)
- 검액 조제 : 약 1 g 취함 → 70% 메탄올 가함 → 30분 진탕 → 50 mL 정용

* 표준액 : Aconitine, Mesaconitine, Hypaconitine

○ Analytical condition of HPLC

- | | |
|----------------|---|
| • Instrument | Waters ACQUITY UPLC |
| • Column | Waters ACQUITY UPLC BEH C ₁₈ (2.1 mm × 100 mm, 1.7 μm) |
| • Column Temp. | 40°C |
| • Mobile Phase | (A) 0.1% Formic acid in Water
(B) 100% Methanol |

Time (min)	A (%)	B (%)
0.0	60	40
1.0	60	40
5.0	35	65
5.5	35	65
6.0	10	90
7.0	10	90
7.1	60	40
10.0	60	40

- | | |
|---------------|-----------------|
| • Flow Rate | 0.25 mL/min |
| • Inj. Volume | 2 μL |

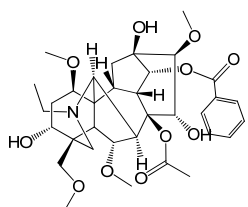
○ Analytical conditions of LC-MS/MS

- | | |
|------------------------|---------------------------|
| • Instrument | Waters Xevo TQ |
| • Ionization Mode | ESI (+) |
| • Capillary Voltage | 2.5 kV |
| • Desolvation Temp. | 150°C |
| • Desolvation Gas Flow | 550 L/Hr (N_2) |
| • Cone Gas Flow | off |

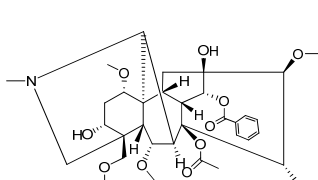
○ Analyte MS/MS transition

Compound	Ion Mode	Precursor Ion (<i>m/z</i>)	CV (V)	Product Ion (<i>m/z</i>)	CE (eV)
Aconitine	+	646.56	35	526.51	40
				586.50	35
Mesaconitine	+	632.54	52	354.27	42
				572.49	38
			52	338.27	42
Hypaconitine	+	616.54	52	524.45	36
				556.50	34

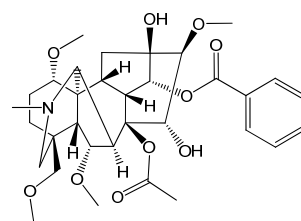
■ 구조식



Aconitine
[C₃₄H₄₇NO₁₁]



Mesaconitine
[C₃₃H₄₅NO₁₁]



Hypaconitine
[C₃₃H₄₅NO₁₀]

■ 참고문헌

- Rina Kaneko, Satoshi Hattori, Shiho Furuta, Makoto Hamajima, Yukari Hirata, Kanako Watanabe, Hiroshi Seno and Akira Ishii. Sensitive analysis of aconitine, hypaconitine, mesaconitine and jesaconitine in human body fluids and *Aconitum* tubers by LC/ESI-TOF-MS. *J Mass Spectrom.* 41, 810-814 (2006)

III-12 ◀ 비만치료주사제(PPC, 5종) 분석법

■ 배경

- 일반화장품으로 수입·제조된 PPC 제품을 살빼는 의약품 주사제로 둔갑시켜 무허가로 불법 판매함('10. 3.)
※ PPC 주사제는 세포막의 구성성분으로 다수의 비만클리닉 등에서 피하지방에 직접 주사하는 '지방분해주사'로 사용



■ 특성

- PPC 주사제의 지방분해 주사로 사용하는 기전은 '직접적인 독성 또는 계면활성 효과에 의한 피하지방의 감소'인 것으로 추정되나 이러한 요법은 식약처에서 허가한 효능·요법은 아니며 특히 의약품주사제로 허가 받지 않은 일반화장품을 인체에 직접 주사 할 경우 무균, 불용성 이물 시험검사를 실시하지 않아 끓거나 피부괴사 등 부작용이 나타날 수 있음

■ 분석사례

- PPC Impact Sliming Cream : Phosphatidylcholine 7.80 mg/g 검출

■ 분석법

1. HPLC법

○ 전처리 방법

- 표준액 조제 : Phosphatidylinositol 등 5종
 - 각각 일정량 취함
 - IPA:아세톤(50:50) 가함(Phosphatidylinositol에는 물 소량첨가)
 - 최종 농도(약 20~160 µg/mL)
 - 검액 조제 : 약 1 g 취함 → IPA:아세톤(50:50) 가함 → 30분 진탕 → 50 mL 정용
- * 표준액 : Phosphatidylinositol, Phosphatidylethanolamine, Phosphatidylserine, Phosphatidylcholine, Sphingomyelin

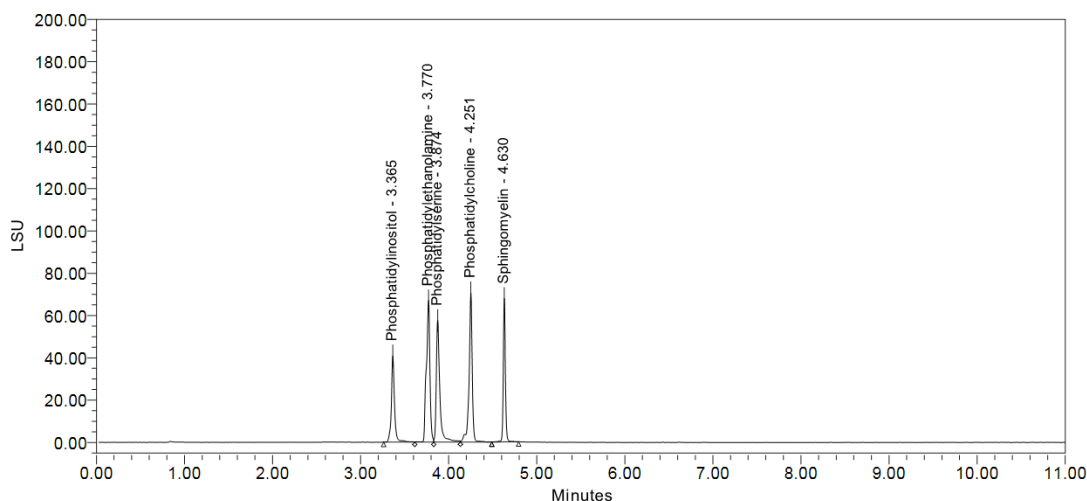
○ Analytical conditions of HPLC

• Instrument	Waters ACQUITY UPLC
• Column	Waters ACQUITY UPLC BEH HILIC (2.1 mm × 100 mm, 1.7 µm)
• Column Temp.	50°C
• Mobile Phase	(A) 50% Acetonitrile (1.5% Acetic acid, 0.08% Triethylamine) (B) Acetonitrile:Acetone (9:1) (1.5% Acetic acid, 0.08% Triethylamine)

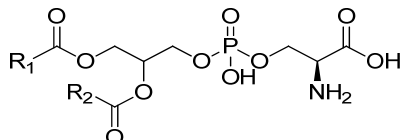
Time (min)	A (%)	B (%)
0.0	5	95
2.0	5	95
3.5	35	65
6.5	50	50
6.6	5	95
10.0	5	95

• Flow Rate	0.3 mL/min
• Inj. Volume	5 µL
• Detector	ELSD (Gain: 100, Gas (N ₂): 50 psi, Drift tube: 55°C)

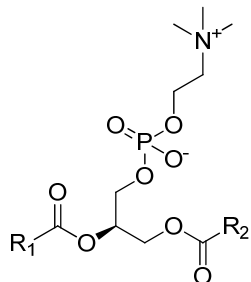
Chromatogram



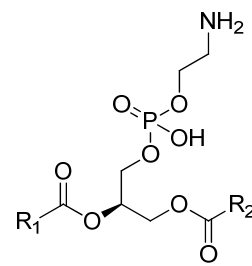
구조식



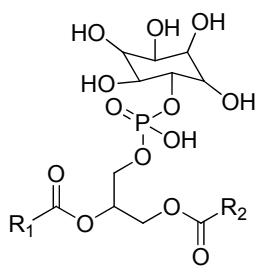
Phosphatidylserine
[C₁₃H₂₄NO₁₀PI]



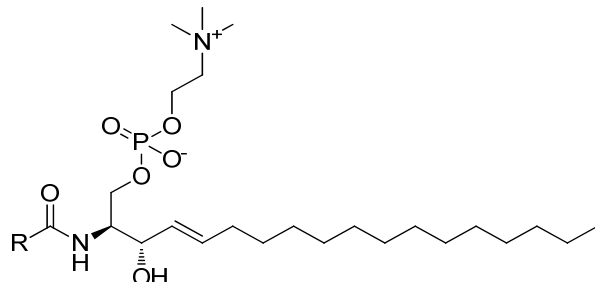
Phosphatidylcholine [C₁₂H₂₂NO₈P]



**Phosphatidylethanolamine
[C₄₀H₈₀NO₈P]**



**Phosphatidylinositol
[C₄₇H₈₃O₁₃P]**



Sphingomyelin
[C₄₁H₈₄N₂O₆P]

■ 참고문헌

1. Jeremy Netto, Stephen Wong, Federico Torta, Pradeep Narayanaswamy, and Mark Ritchie. A Definitive Lipidomics Workflow for Human Plasma Utilizing Off-line Enrichment and Class Specific Separation of Phospholipids. *Waters Application Note, 720004521en.* (2014)
2. Mark E. Benvenuti, Jennifer A. Burgess Monitoring Sugar Content of Fruit Juice Using ACQUITY UPLC H-Class and BEH Amide Column Chemistry with Evaporative Light Scattering Detection (ELSD). *Waters Application Note, 720004404en.* (2014)
3. Hisham I. Seri, Hassan Y. Naim, and Tigani Hassan. A liquid chromatography (HPLC) method with evaporative light scattering detector for quantification of major phospholipids classes of donkey serum. *VETERINARSKI ARHIV.* 80 (3), 365-373. (2010)
4. Yingying Zhang, Yiwen Yang, Qilong Ren and Hailiang Jiang. Quantification of Soybean Phospholipids in Soybean Degummed Oil Residue by HPLC with Evaporative Light Scattering Detection. *J Liquid Chromatogr & Related Technol.* 28(9), 1333-1343. (2005)

III-13 ◀ 식물스테롤(4종) 분석법

■ 배경

- 피자에 모조·가공 치즈를 사용하고 '100% 자연산 치즈'라 피자박스와 전단지 등에 표시해 판매한 프랜차이즈 업체 9곳과 치즈 제조업체 3곳 적발
- 100% 자연산 치즈만을 사용했다고 광고 전단지 등에 표시했으나 테두리 속 치즈에 가공 치즈를 사용함

SBS 뉴스

뉴스 프로그램 기자스페셜 이슈 + 취재파일 SBS 8 뉴스 생생영상

뉴스 속보 정치 경제 사회 글로벌 라이프 연예 스포츠

뉴스 > 사회

100% 자연산이라더니…'식용유 치즈' 적발

신승호 기자 2012.02.16 19:31 | 수정: 2012.02.16 21:58

<8뉴스>

<앵커>

'자연 치즈 100%' 이렇게 적힌 피자 꽁고 많이 보셨죠. 식약청 조사 결과, 이렇게 말한 업체들 가운데 일부가 물과 식용유로 만든 모조 치즈를 사용한 것으로 드러났습니다.

신승호 기자입니다.

경향신문
The Kyunghyang Shimnun

경향 비즈●라이프 신차정보 OPEN

뉴스 오피니언 스포츠 연예 비즈●라이프 포토·영상 블로그 전국

사회 | 최신 사회일반 | 사건·사고 | 법원·검찰 | 교육·일자리 | 노동 | 보건·복지 | 미디어

내 나아가 벌써... 너무 늦었다? NO! 지금 시작하면 된다!

최근에는 아니나 송건과 이직에서도 외국어 실력이 중요해졌지만 대부분의 직장인들은 비즈니스 일상에 치여 선뜻 실천에 힘기지 못하고 있는 것이 현실이다. 시원스를 대시원 대표는 오늘날은 인생의 첫날이며 절대로 늦지 않았다고 단언한다. 48만명의 수강생을 보유한...[더보기]

사회 모조가공 치즈 넣은 피자 '자연산'이라고 하위 광고

작성한 기자 mok@kyunghyang.com

일자: 2012-02-16 21:55:38 | 수정: 2012-02-17 02:50:09

댓글 0 글자크기 + -

자연산 치즈를 사용한다고 **갈고**해놓고 실제로는 모조 **가공** 치즈를 써온 유명 피자업체들이 무더기로 적발됐다. 식품의약안전처는 16일 '모조 치즈와 가공 치즈를 사용하면서 100% 자연산 치즈만 사용한 것처럼 표기해 판매한 유명 **피자 프랜차이즈**업체 12곳을 적발했다'고 밝혔다. 식약청은 치즈 원재료명을 허위로 표기한 9곳과 **식품위생법**을 위반한 3곳을 경찰에 **고발**했다.

자연산 치즈는 주원료인 우유를 증고 **발효**해 만든다. 그러나 가공 치즈는 자연산 치즈에 **실크침가물**을 넣는다. 두 가지 이상 첨가물이 섭이기 때문에 품질은 당연히 떨어질 수밖에 없다. 모조 치즈는 아래 우유를 사용하지 않는다. 식용유 등에 첨가물을 더해 치즈와 비슷한 색 모양만 훌내 낸 것이다.

적발된 피자업체인 **피자스토 59피자**, 피자마루, 난디5000, 피자기기기막혀, 슈퍼자이언트피자 등 6곳은 피자 도우(빵)에 전분, 식용유, 산화조절제 등을 첨가한 가공 치즈를 사용했다. 그러나 꽁고 전달이나 포장용 상자에는 자연산 치즈만 사용한다고 하여 꽁고를 했다. 피자스토 측은 '이번에 문제가 된 원재료는 치즈크리스 톤피자에서 판매 대우리 부분에 들어가는 치즈'라며 '위에 있는 토핑용 치즈는 100% 자연산 사용하고 있다'고 밝혔다.

수도승립 치즈피자와 치즈마을 치즈피자, 일식 치즈&79피자 등 업체 3곳은 피자의 토핑용 치즈에 모조 치즈를 섞어 만든다. 그러나 **기획형 카페**와 포장용 상자에는 자연산 치즈만 사용하겠다고 적어 놓았다.

■ 특성

- 식물스테롤은 식물성 기름, 곡류, 채소류 등에 널리 존재하고 있는 천연물질로 정제되지 않은 식물성 유지 내에 다양 함유
- 식물스테롤은 자연적으로 200여 종이나 되는 식물군에 존재하고 있고 그 양은 대략 0.3~0.8% 수준임

■ 분석법

1. GC-MS법

○ 전처리 방법

• 표준액 조제 : Brassicasterol 등 4종*

- 각각 일정량 취함 → 100% 에탄올 가함
- 유도체화 → 내부표준용액(50 µg/mL) 50 µL 가함 → 진탕
- 질소농축(60°C, 약 1.5 hr) → 300 µL 정도 시료 남음
- BSFTA(1% TMCS 함유) 500 µL 가함 → 진탕
- 반응(60°C, 30 min) → 5 min 상온 방치 → 진탕
- 최종 농도(약 5 µg/mL)

• 검액 조제 : 균질화

- 약 25 g 취함
- Folch(클로로포름:메탄올=2:1) 25 mL 가함
- 균질화 30분 → 원심분리(4,000 rpm, 25 min, -4°C)
- 상층액 취함 → 감압농축(45°C, 180 rpm)

검화

- 100% 에탄올 40 mL 가함
- 내부표준용액(50 µg/mL) 50 µL 가함
- 0.1N 수산화칼륨(에탄올성) 10 mL 가함
- 환류추출(95°C, 1 hr)
- 100% 에탄올 40 mL 가함 → 냉각관을 wash함

추출

- 분액여두로 옮김 → 포화 나트륨 용액 25 mL
- Hexane 50 mL 가함, 3회 반복 추출
- 무수황산나트륨과 filter paper 이용하여 여과
- 감압농축(45°C, 180 rpm)
- 100% 에탄올 3.0 mL 가함, 용해(1 mL씩 3회) → 여과

유도체화

- 질소농축(60°C, 약 1.5 hr)
- BSFTA(1% TMCS 함유) 50-500 µL 가함 → 진탕
- 반응(60°C, 30 min) → 5 min 상온 방치 → 진탕
- 검액

* 표준액 : Brassicasterol, Campesterol, Stigmasterol, β -sitosterol,

** 내부표준용액 : 5 α -cholestane

○ Analytical conditions of GC

• Instrument	Agilent 7890A
• Column	Agilent HP 5MS (30 mm × 0.25 mm, 0.25 μm)
• Oven Temp.	200°C (1 min) → 10°C/min → 280°C (11 min) → 4°C/min → 300°C (5 min)
• Inj. Temp.	300°C
• Inj. Mode	Split 10:1
• Carrier Gas Flow	He, 1 mL/min
• Inj. Volume	1 μL
• FID Detector Temp.	300°C

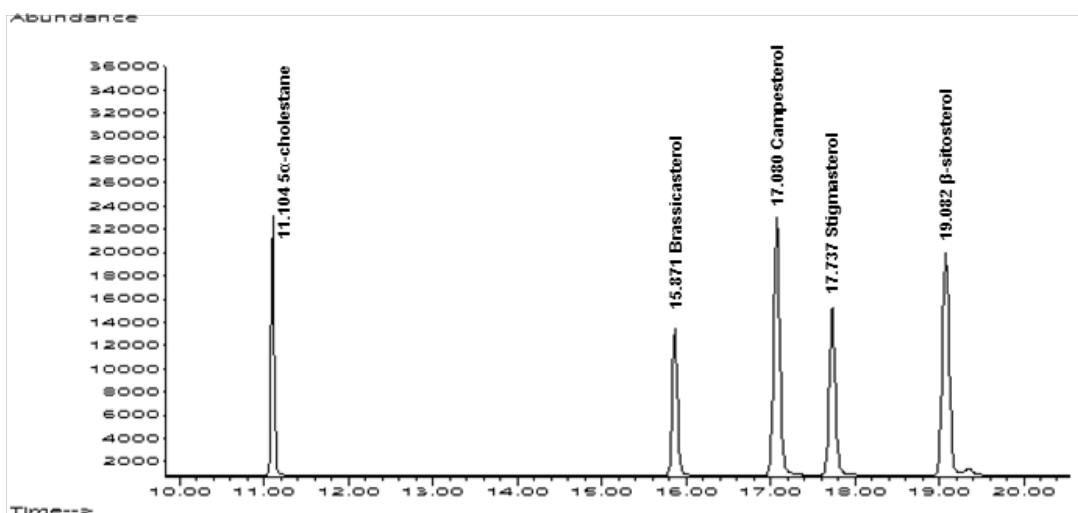
○ Analytical condition of GC/MS: SIM

• Instrument	Agilent GC/MSD 5975C
• Ionization Mode	EI
• Ionization Energy	70 eV
• Source Temp.	230°C
• Quad Temp.	150°C
• Mass Mode	SIM
• Scan Range	50~500 amu
• SIM Dwell Time	50 ms

- SIM ions

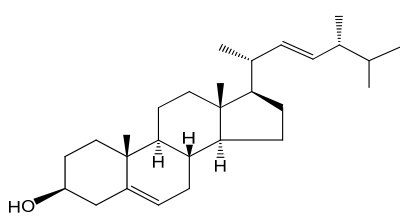
Compound	Precursor Ion (<i>m/z</i>)	Product Ion (<i>m/z</i>)	
Brassicasterol	255	380	470
Campesterol	382	367	472
Stigmasterol	255	394	484
β-Sitosterol	396	381	486
5α-Cholestane (I.S.)	217	357	372

○ Chromatogram

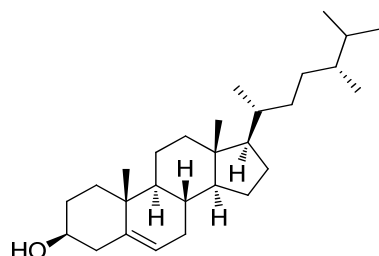


* Internal standard : 5 α -cholestane

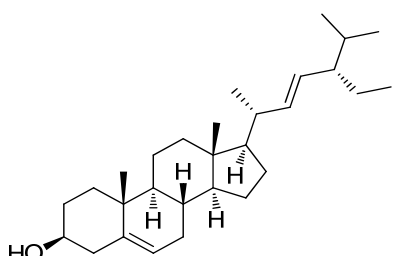
■ 구조식



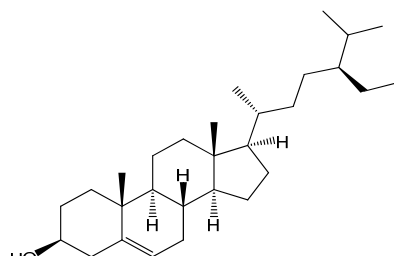
Brassicasterol
[C₂₈H₄₆O]



Campesterol
[C₂₈H₄₆O]



Stigmasterol
[C₂₉H₄₈O]



β -sitosterol
[C₂₉H₅₀O]

■ 참고문헌

1. Nam Sook Kim, Ji Hyun Lee, Kyoung Moon Han, Ji Won Kim, Sooyeul Cho, Jinho Kim. Discrimination of commercial cheeses from fatty acid profiles and phytosterol contents obtained by GC and PCA. *Food Chemistry*. 143, 40-47 (2014)
2. Laakso, Päivi H., Determination of plant stanols and plant sterols in phytosterol enriched foods with a gas chromatographic-flame ionization detection method. *J. AOAC Int.* 97(4), 1097-1108 (2014)
3. Rita S., Eunice L., Mualide S., Maria da C. C., Fernando R., Maria I. N. da S. Optimization of analytical procedures for GC-MS determination of phytosterols and phytosterols in enriched milk and yoghurt. *Food Chemistry*. 102, 113-117 (2007)
4. Haojun Y., Feng Y., Daogeng W., Ming H., Jianxin L., Yuping C., Yiming J. Recovery of phytosterols from waste residue of soybean oil deodorizer distillate. *Bioresource Technology*. 101, 1471-1476 (2010)
5. Haiyan Z., Thava V., Mahinda W. Enrichment of Tocopherols and Phytosterols in Canola Oil during Seed Germination. *J Agric Food Chem.* 55, 355-359 (2007)

III-14 ◀ 스테로이드류(53종) 분석법

■ 배경

- 스테로이드 성분을 첨가하여 인터넷을 통해 관절염, 신경통 등 각종 통증에 특효제인 것처럼 허위·과대 광고하여 판매한 판매업자 적발 ('13. 4.)
- 국내 유통이 금지된 헬스 보조제에서 스테로이드 성분 검출 ('16. 5)



■ 특성

- 스테로이드
 - 스테로이드 핵인 cyclopentanoperhydrophenanthrene을 갖는 화합물군의 총칭
 - 지금까지 개발된 물질 중 가장 강력한 항염증제로 류마티스성 관절염, 천식, 루프스, 장기이식후의 부작용 억제 등 여러 가지 질병치료제로 쓰임
 - 장기 복용할 경우 부신에서 호르몬 생산 억제, 소화성궤양 등 소화기계 이상, 심근경색 등 부작용이 나타날 수 있음

■ 분석 사례

- 관절제품: Dexamethasone 21-acetate 42.88 $\mu\text{g/g}$ 검출
Dexamethasone 1.99 $\mu\text{g/g}$ 검출

■ 분석법

1. LC-MS/MS 법

○ 전처리 방법

- 표준액 조제 : Prednisolone 등 53종*
 - 각각 일정량 취함 → 100% 메탄올 가함 → 최종 농도(약 1 µg/mL)
- 검액 조제 : 약 1 g 취함 → 70% 메탄올 가함 → 30분 진탕 → 50 mL 정용

* 표준액 : Prednisolone, Hydrocortisone, Betamethasone, Dexamethasone, Prednisone 21-acetate, Cortisone 21-acetate, Prednisolone-21-acetate, Hydrocortisone 21-acetate, Hydrocortisone 17-acetate, Beclomethasone, Budesonide, Betamethasone 21-acetate, Dexamethasone 21-acetate, Triamcinolone acetonide, 6a-Methylprednisolone, Hydrocortisone 17-valerate, Hydrocortisone 21-valerate, Beclomethasone 21-acetate, Beclomethasone-21-propionate, Beclomethasone 17-propionate, Clobetasol 17-propionate, Betamethasone 17-valerate, Betamethasone 21-valerate, Triamcinolone diacetate, Dexamethasone 21-hemisuccinate, Betamethasone 21-hemisuccinate, Betamethasone 17,21-dipropionate, Beclomethasone 21-hemisuccinate, Beclomethasone 17,21-dipropionate, Medroxyprogesterone 17-acetate, Norethisterone acetate, Testosterone, Testosterone 17-propionate, Testosterone 17-valerate, Megestrol acetate, 11 α -OH-progesterone-hemisuccinate, 6a-Methylprednisolone aceponate, D(-)-norgestrel, Fluticasone furoate, Norethisterone, Prednisone, Stanazolol C-3, Clobetasone butyrate, Dichlorisone diacetate, Diflurasone acetate, Fluocinolone acetonide, Flurandrenolide, Hydrocortisone butyrate, Hydrocortisone 21-hemisuccinate, Mometasone furoate, Amcinonide, Fludrocortisone acetate, Fluticasone propionate

○ Analytical conditions of HPLC

- | | |
|----------------|---|
| • Instrument | UPLC Waters ACQUITY UPLC |
| • Column | Waters ACQUITY UPLC BEH C ₁₈ (2.1 mm × 100 mm, 1.8 µm) |
| • Column Temp. | 35°C |
| • Mobile Phase | A: 0.1% Formic acid in Water
B: 0.1% Formic acid in Acetonitrile |

Time (min)	A (%)	B (%)
0.0	80	20
3.0	80	20
13.0	40	60
17.0	0	100
22.0	0	100
22.1	80	20
25.0	80	20

- | | |
|---------------|-------------|
| • Flow Rate | 0.25 mL/min |
| • Inj. Volume | 2 µL |

○ Analytical conditions of LC-MS/MS

• Instrument	Waters Xevo TQ
• Ionization Mode	ESI (+)
• Capillary Voltage	2.7 kV
• Desolvation Temp.	500 °C
• Desolvation Gas Flow	400 L/Hr (N ₂)
• Cone Gas Flow	60 L/Hr (N ₂)

○ Analyte MS/MS transition

Compound	Ion mode	Precursor ion (<i>m/z</i>)	CV (v)	Product Ion (<i>m/z</i>)	CE (eV)
Testosterone	+	289.43	30	96.80	20
				108.84	20
				253.05	20
Norethisterone	+	299.43	30	108.85	20
				170.95	20
				231.05	20
D(-)-norgestrel	+	313.45	30	108.85	20
				144.90	20
				245.05	20
Stanozolol C-III	+	329.50	40	106.85	35
				108.85	35
				120.90	35
Norethisterone acetate	+	341.44	30	90.83	40
				108.85	25
				281.08	15
Testosterone 17-propionate	+	345.48	30	96.83	20
				108.85	25
				253.05	20
Prednisone	+	359.40	20	146.90	20
				170.92	25
				265.03	15
Prednisolone	+	361.44	15	307.07	10
				325.09	10
				343.09	10

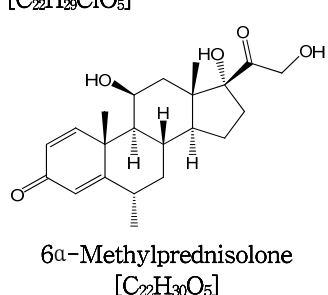
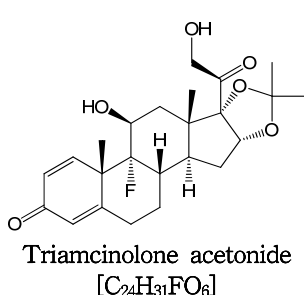
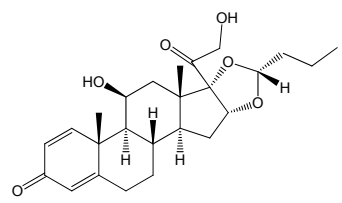
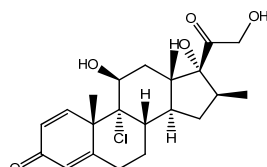
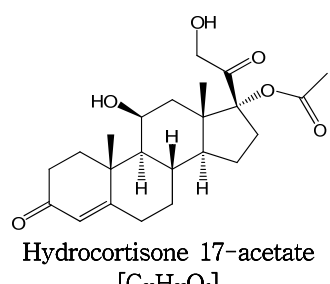
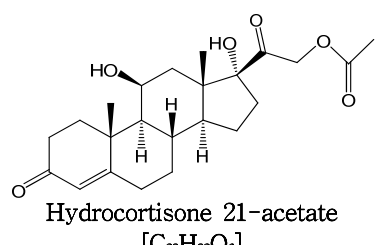
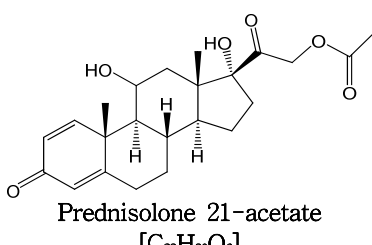
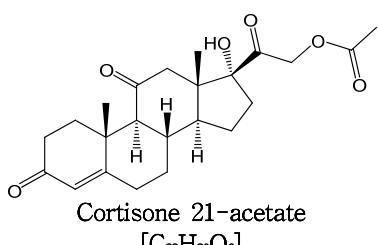
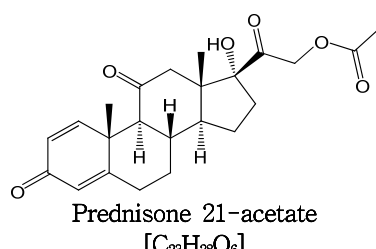
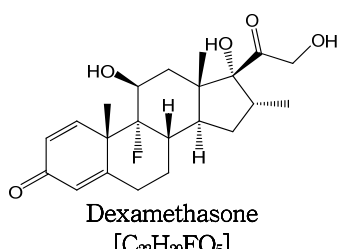
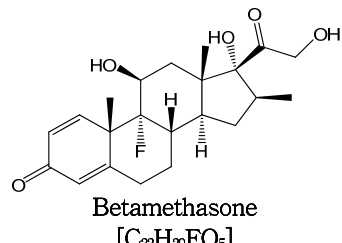
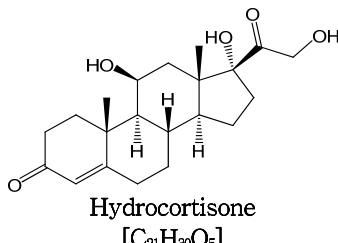
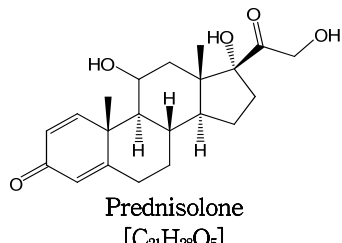
Compound	Ion mode	Precursor ion (<i>m/z</i>)	CV (v)	Product Ion (<i>m/z</i>)	CE (eV)
Hydrocortisone	+	363.45	25	120.85	25
				309.07	15
				327.07	15
Testosterone 17-valerate	+	373.50	25	108.85	25
				253.08	20
				271.08	15
6a-methylprednisolone	+	375.46	15	321.10	13
				339.10	10
				357.10	10
Megesterol acetate	+	385.50	25	224.02	25
				267.05	20
				325.12	15
Medroxyprogesterone 17-acetate	+	387.50	25	122.85	25
				285.10	15
				327.10	15
Betamethasone	+	393.46	20	279.05	20
				355.10	10
				373.08	10
Dexamethasone	+	393.20	15	237.00	15
				355.11	10
				373.12	10
Prednisone 21-acetate	+	401.45	18	313.05	15
				341.05	10
				383.06	10
Prednisolone 21-acetate	+	403.48	15	307.04	15
				325.10	10
				385.10	10
Cortisone 21-acetate	+	403.48	30	162.90	25
				325.10	20
				343.10	20
Hydrocortisone 21-acetate	+	405.50	25	241.00	20
				309.10	15
				327.05	15

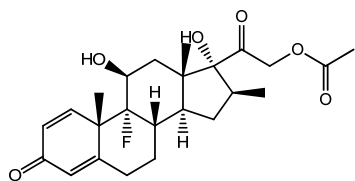
Compound	Ion mode	Precursor ion (<i>m/z</i>)	CV (v)	Product Ion (<i>m/z</i>)	CE (eV)
Hydrocortisone 17-acetate	+	405.50	25	309.10	15
				327.05	15
				345.10	15
				279.05	20
Beclomethasone	+	409.43	20	373.10	10
				391.05	10
				239.00	25
				325.10	20
Fludrocortisone acetate	+	423.46	25	343.05	20
				323.05	16
				395.10	10
				413.10	10
Budesonide	+	431.50	20	253.05	20
				295.09	20
				313.13	10
				309.05	20
11a-OH-progesterone -hemisuccinate	+	431.50	20	327.10	15
				345.10	15
				237.00	20
				279.10	15
Betamethasone 21-acetate	+	435.45	15	397.10	10
				237.00	20
				309.05	15
				397.10	10
Dexamethasone 21-acetate	+	435.45	15	339.10	15
				397.10	15
				415.10	15
				225.00	25
Flurandrenolide	+	437.50	30	341.10	20
				361.10	20
				309.10	20
				327.10	20
Hydrocortisone 21-valerate	+	447.50	25	345.10	20

Compound	Ion mode	Precursor ion (<i>m/z</i>)	CV (v)	Product Ion (<i>m/z</i>)	CE (eV)
Hydrocortisone 17-valerate	+	447.50	25	120.85 309.10 345.10	25 20 15
Beclomethasone 21-acetate	+	451.45	20	319.05 397.10 433.10	15 10 10
Fluocinolone acetonide	+	453.45	20	337.05 413.10 433.10	15 10 10
Dichlorisone acetate	+	455.09	15	237.00 305.05 419.05	20 15 10
Hydrocortisone 21-hemisuccinate	+	463.50	25	309.05 327.05 445.10	15 15 10
Beclomethasone 21-propionate	+	465.45	15	319.05 411.10 447.10	20 10 10
Beclomethasone 17-propionate	+	465.45	15	337.10 355.10 447.10	15 10 10
Clobetasol 17-propionate	+	467.45	15	355.10 373.05 447.10	15 10 10
6a-Methylprednisolone aceponate	+	473.52	15	303.10 381.10 455.10	15 10 10
Betamethasone 21-valerate	+	477.52	15	279.07 355.10 457.15	15 10 10
Betamethasone 17-valerate	+	477.52	15	279.07 355.10 457.15	15 10 10

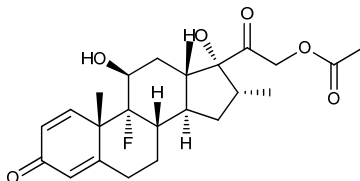
Compound	Ion mode	Precursor ion (<i>m/z</i>)	CV (v)	Product Ion (<i>m/z</i>)	CE (eV)
Clobetasone butyrate	+	479.45	25	279.07	15
				343.10	15
				371.05	15
Triamcinolone diacetate	+	479.45	15	399.10	15
				441.10	10
				459.10	10
Dexamethasone 21-hemisuccinate	+	493.50	15	319.05	15
				337.05	15
				455.10	10
Betamethasone 21-hemisuccinate	+	493.50	15	319.05	15
				455.10	10
				475.15	10
Diflorasone diacetate	+	495.50	20	279.05	15
				317.05	15
				335.05	15
Fluticasone propionate	+	501.45	15	275.05	25
				293.05	15
				313.05	15
Amcinonide	+	503.52	15	339.05	15
				399.10	10
				483.15	10
Betamethasone 17,21-dipropionate	+	505.54	15	355.10	15
				411.15	10
				485.15	10
Beclomethasone 21-hemisuccinate	+	509.45	15	319.10	15
				437.10	10
				491.10	10
Mometasone furoate	+	521.42	15	279.10	20
				355.05	15
				503.05	10
Beclomethasone 17,21-dipropionate	+	521.42	15	319.10	15
				429.10	10
				503.15	10
Fluticasone furoate	+	539.45	15	204.90	20
				265.00	20
				275.00	20

■ 구조식

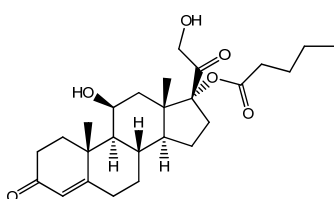




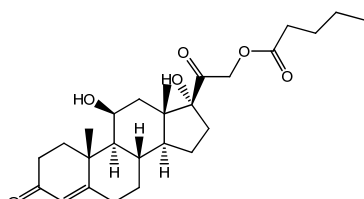
Betamethasone 21-acetate
[C₂₄H₃₁FO₆]



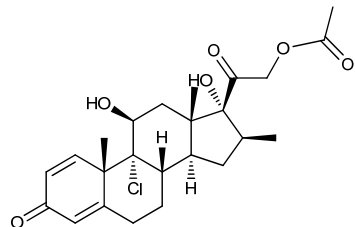
Dexamethasone 21-acetate
[C₂₄H₃₁FO₆]



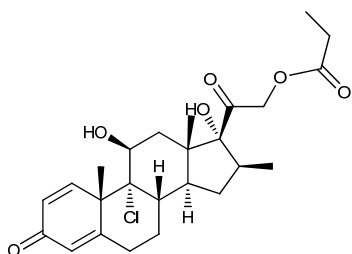
Hydrocortisone 17-valerate
[C₂₆H₃₈O₆]



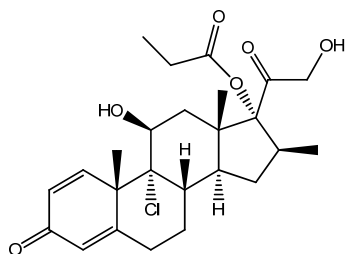
Hydrocortisone 21-valerate
[C₂₆H₃₈O₆]



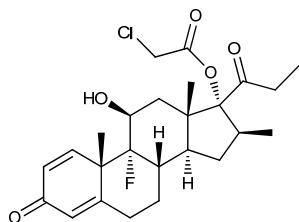
Beclomethasone 21-acetate
[C₂₄H₃₁ClO₆]



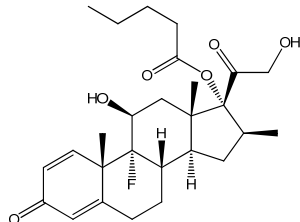
Beclomethasone 21-propionate
[C₂₅H₃₃ClO₆]



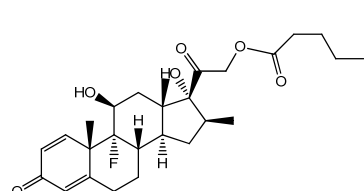
Beclomethasone 17-propionate
[C₂₅H₃₃ClO₆]



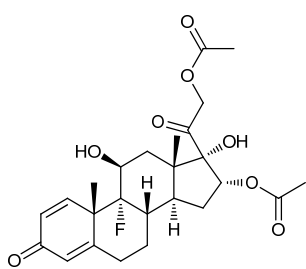
Clobetasol 17-propionate
[C₂₅H₃₂ClFO₅]



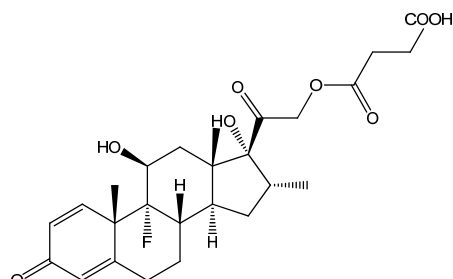
Betamethasone 17-valerate
[C₂₇H₃₇FO₆]



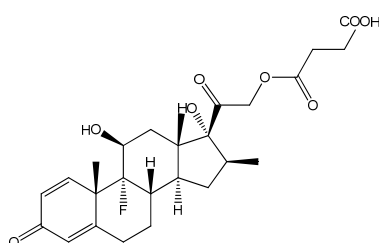
Betamethasone 21-valerate
[C₂₇H₃₇FO₆]



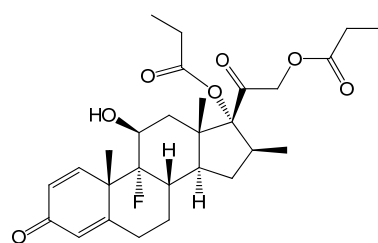
Triamcinolone diacetate
[C₂₅H₃₁FO₈]



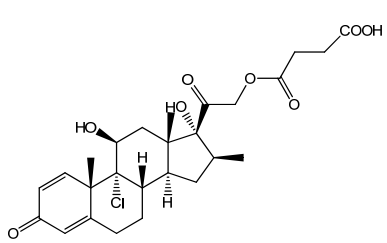
Dexamethasone 21-hemisuccinate
[C₂₆H₃₃FO₈]



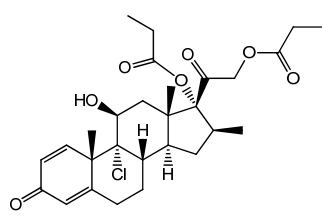
Betamethasone 21-hemisuccinate [C₂₆H₃₃FO₈]



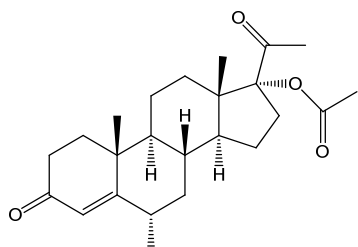
Betamethasone 17,21-dipropionate [C₂₈H₃₇FO₇]



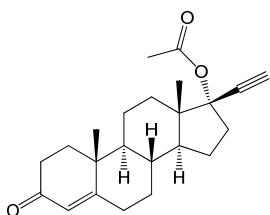
Beclomethasone 21-hemisuccinate [C₂₆H₃₃ClO₈]



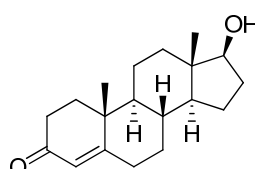
Beclomethasone 17,21-dipropionate
[C₂₈H₃₇ClO₇]



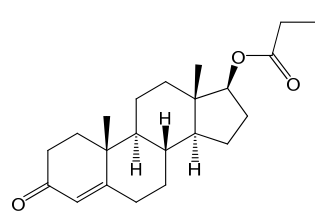
Medroxyprogesterone 17-acetate
[C₂₄H₃₄O₄]



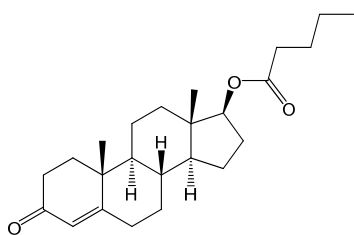
Norethisterone acetate
[C₂₂H₂₈O₃]



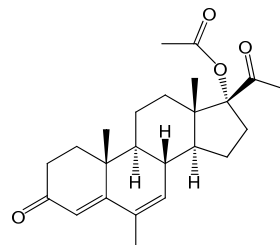
Testosterone
[C₁₉H₂₈O₂]



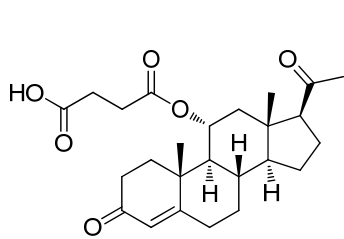
Testosterone 17-propionate
[C₂₂H₃₂O₃]



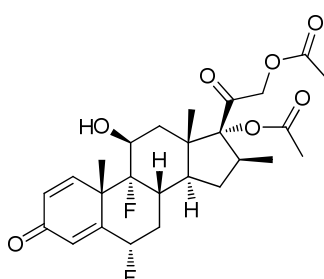
Testosterone 17-valerate
[C₂₄H₃₆O₃]



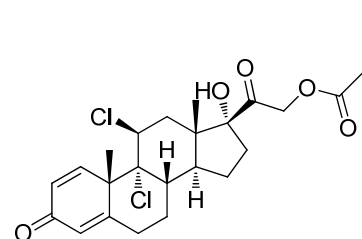
Megesterol acetate
[C₂₄H₃₂O₄]



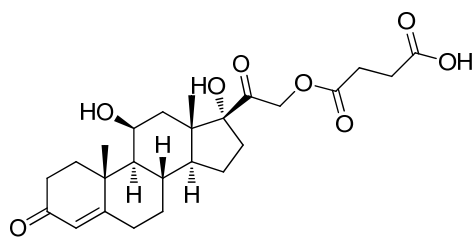
11α-OH-progesterone-hemisuccinate
[C₂₅H₃₄O₆]



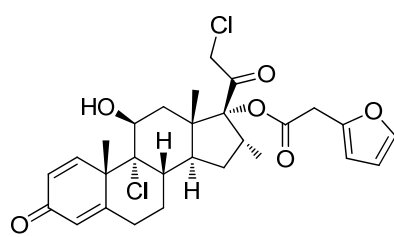
Diflorasone diacetate
[C₂₆H₃₂F₂O₇]



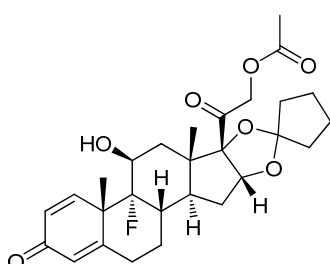
Dichlorisone acetate
[C₂₃H₂₈Cl₂O₅]



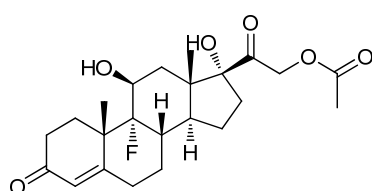
Hydrocortisone 21-hemisuccinate
[C₂₅H₃₄O₈]



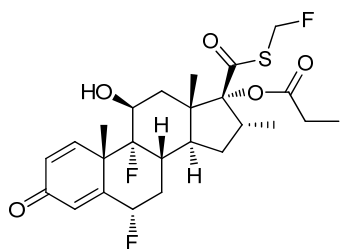
Mometasone furoate
[C₂₈H₃₂O₆Cl₂]



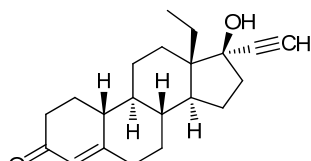
Amcinonide
[C₂₈H₃₅FO₇]



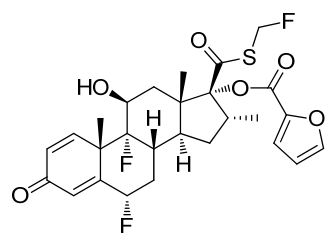
Fludrocortisone acetate
[C₂₃H₃₁FO₆]



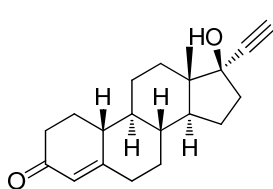
Fluticasone propionate
[C₂₅H₃₁F₃O₅S]



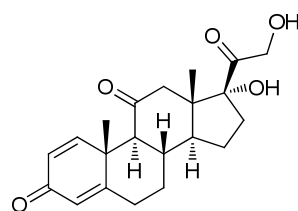
D(-)-Norgestrel
[C₂₁H₂₈O₂]



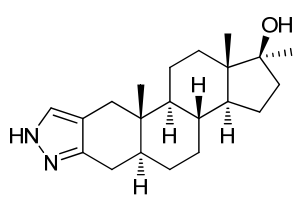
Fluticasone furoate
[C₂₇H₂₉F₃O₆S]



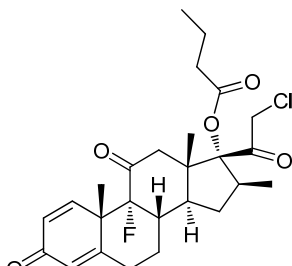
Norethisterone
[C₂₀H₂₆O₂]



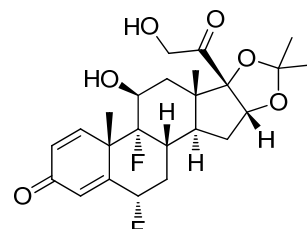
Prednisone
[C₂₁H₂₆O₅]



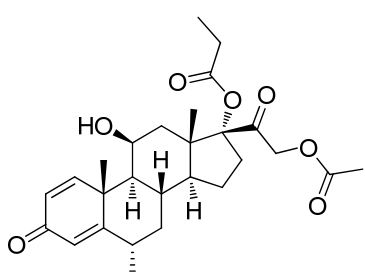
Stanozolol
[C₂₁H₃₂N₂O]



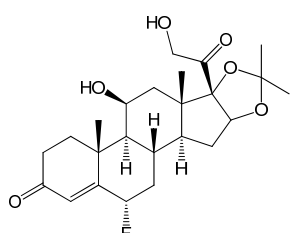
Clobetasone butyrate
[C₂₆H₃₂ClFO₅]



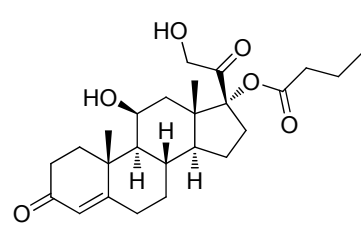
Fluocinolone acetonide
[C₂₄H₃₀F₂O₆]



6 α -Methylprednisolone aceponate
[C₂₇H₃₆O₇]



Flurandrenolide
[C₂₄H₃₃FO₆]



Hydrocortisone-17-butylrate
[C₂₅H₃₆O₆]

■ 참고문헌

1. Hyoung-Joon Park, So-Hyun Cho, Ji Hyun Lee, In Sun Hwang, Kyong Moom Han, Chang-Yong Yoon, Sooyeul Cho, Woo Seong Kim. Screening for Corticosteroid Adulterants in Korean Herbal Medicines. *Forensic Sciences*. January 2016, Vol. 61, No. 1
2. Ya-Bing Fan, Yu-Min Yin, Wen-Bin Jiang, Yi-Ping Chen, Jia-Wei Yang, Jia Wu, Meng-Xia Xie. Simultaneous determination of ten steroid hormones in animal origin food by matrix solid-phase dispersion and liquid chromatography-electrospray tandem mass spectrometry. *Food Chem.* 142(1) 170-177 (2014)
3. Guan, F., Uboh, C., Soma, L., Hess, A., Luo, Y. & Tsang, D. S. Sensitive liquid chromatographic/tandem mass spectrometric method for the determination of beclomethasone dipropionate and its metabolites in equine plasma and urine. *J Mass Spectrom.* 38(8), 823-838 (2003)
4. Arthur, K. E., Wolff, J. C. & Carrier, D. J. Analysis of betamethasone, dexamethasone and related compounds by liquid chromatography/electrospray mass spectrometry. *Rapid Commun Mass Spectrom.* 18(6), 678-684 (2004)

III-15 ◀ 여드름치료관련성분(11종) 분석법

■ 배경

- 화장품법 위반 5개 업체 행정처분('16. 9.)
- 여드름 증상 완화 효과를 높이기 위해 사용이 제한되어 있는 살균보존제 '트리클로란'을 다른 화장품 원료(일명 '그린컴플렉스')인 것처럼 사용하여 기준을 초과한 화장품을 제조·유통시킨 업체 대표 적발 ('16. 2.)



■ 특성

- 트리클로란: 화장품 중 배합한도성분 분석법 가이드라인 살균보존제 성분(2015.7.10.)에 따르면 세정용 제품 등 일부를 제외하고는 사용을 금지하고 있음.

■ 분석 사례

- 야다 안티-티 스팟 크림: Triclosan 0.3 ~ 1.7% 검출
- 닥터에스리안티세범인텐시브케어젤: 트리클로란 0.2% 이상 검출

■ 분석법

1. HPLC법

○ 전처리 방법

- 표준액 조제 : Tetracycline hydrochloride 등 11종*

→ 각각 일정량 취함 → 100% 에탄올 가함 → 최종 농도(약 10~200 µg/mL)
- 검액 조제 : 약 1 g 취함 → 100% 에탄올 가함 → 30분 진탕 → 50 mL 정용

* 표준액 : Tetracycline hydrochloride, Dapsone, Clindamycin hydrochloride, 6-Hydroxy-1,3-benzoxathiol-2-one(=Tioxolone), Nadifloxacin, Ibuprofen, Benzoyl peroxide, Triclosan, Bithionol, Isotretinoin, Adapalene

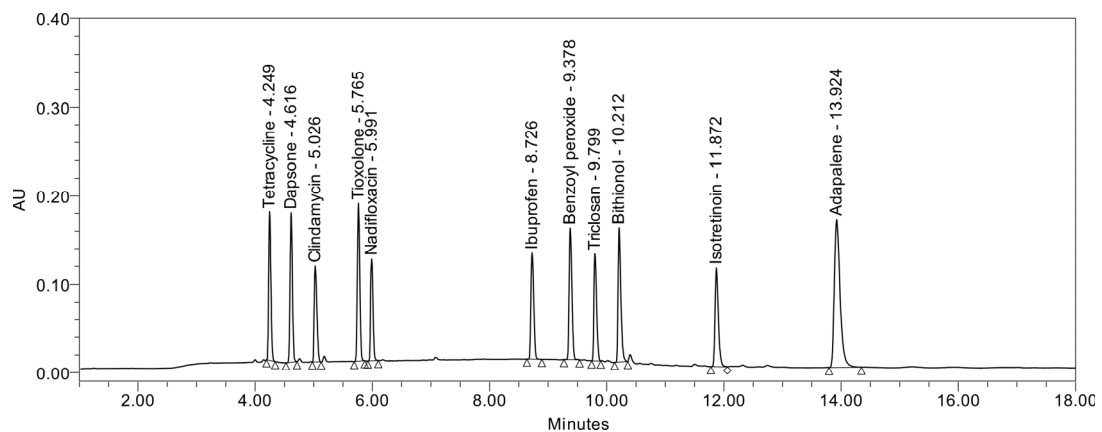
○ Analytical condition of HPLC

- | | | |
|----------------|---|--|
| • Instrument | Waters ACQUITY UPLC | |
| • Column | Waters ACQUITY UPLC HSS C ₁₈ (2.1 mm × 100 mm, 1.8 µm) | |
| • Column Temp. | 40°C | |
| • Mobile Phase | (A) 0.01% Trifluoroacetic acid in Water
(B) 0.01% Trifluoroacetic acid in Acetonitrile | |

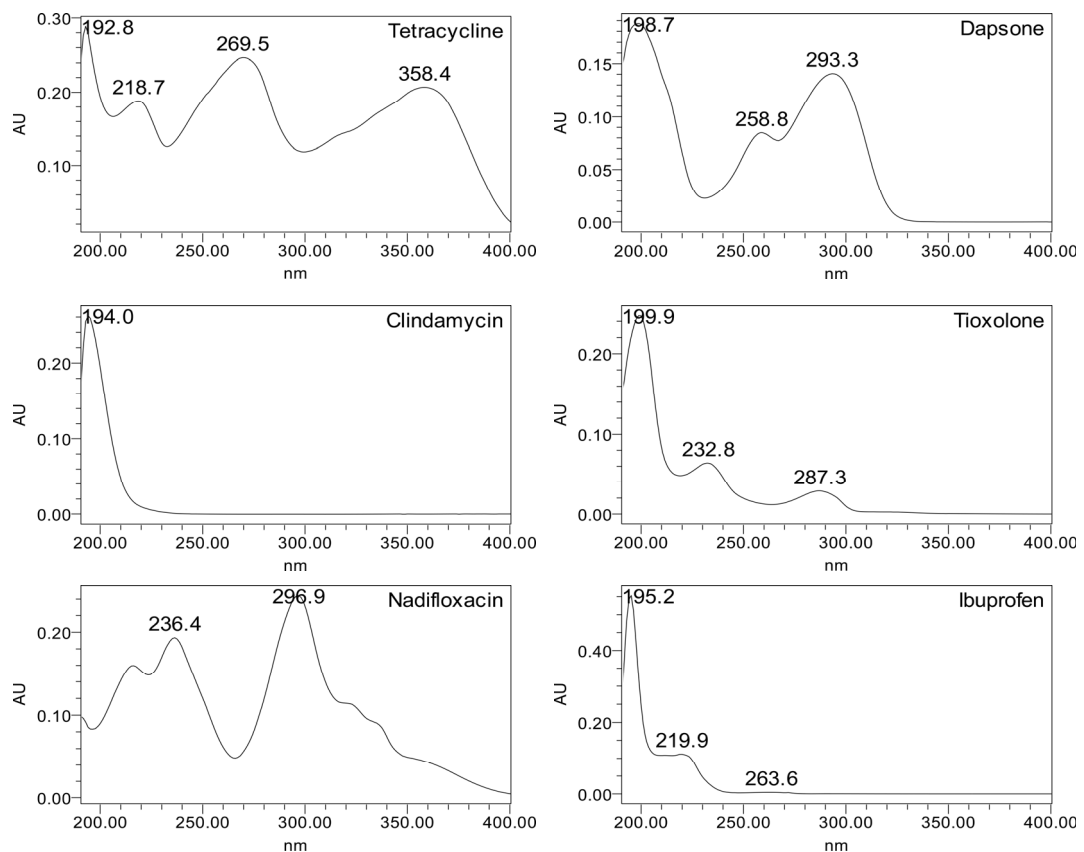
Time (min)	A (%)	B (%)
0.0	90	10
2.0	90	10
10.0	15	85
17.0	15	85
17.1	0	100
19.0	0	100
19.1	90	10
22.0	90	10

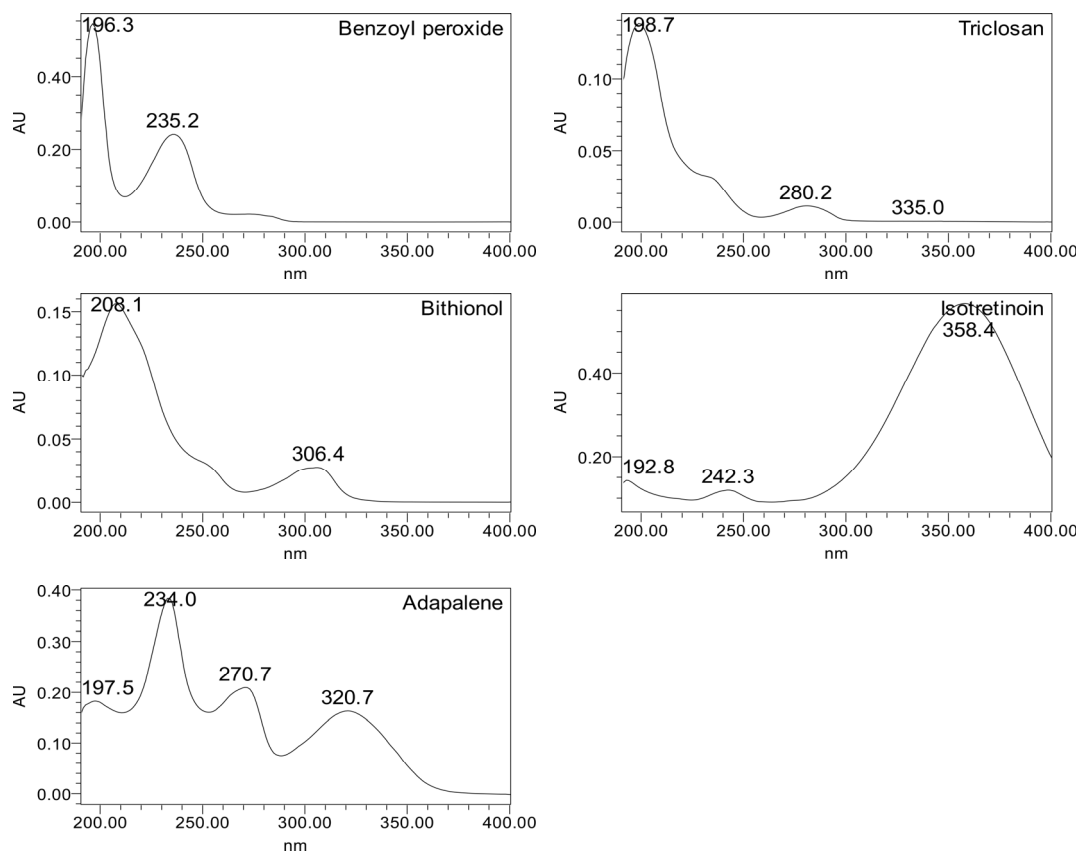
- | | |
|----------------|------------|
| • Flow Rate | 0.3 mL/min |
| • Inj. Volume | 1.0 µL |
| • UV Detection | 205 nm |
| • PDA Range | 190~400 nm |

○ Chromatogram



○ PDA Spectrum





2. LC-MS/MS법

○ Analytical conditions of HPLC

• Instrument	Waters ACQUITY UPLC	
• Column	Waters ACQUITY UPLC BEH C ₁₈ (2.1 mm × 100 mm, 1.7 μm)	
• Column Temp.	35°C	
• Mobile Phase	(A) 0.1% Formic acid in Water (B) 0.1% Formic acid in Acetonitrile	
Time (min)	A (%)	B (%)
0.0	90	10
2.0	90	10
7.0	0	100
10.0	0	100
10.1	90	10
12.0	90	10
• Flow Rate	0.3 mL/min	
• Inj. Volume	2 μL	

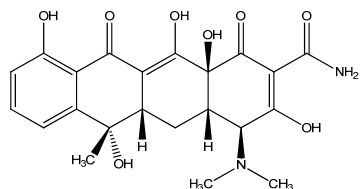
○ Analytical conditions of LC-MS/MS

• Instrument	Waters Xevo TQ
• Ionization Mode	ESI (+),(-)
• Capillary Voltage	2.5 kV
• Desolvation Temp.	400°C
• Desolvation Gas Flow	600 L/Hr (N ₂)
• Cone Gas Flow	50 L/Hr (N ₂)

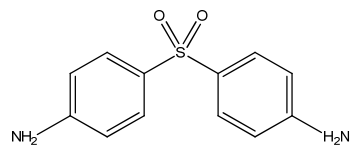
○ Analytical conditions of LC-MS/MS

Compound	Ion Mode	Precursor Ion (<i>m/z</i>)	CV (V)	Product Ion (<i>m/z</i>)	CE (eV)
Clindamycin	+	425.38	30	81.80	55
				125.90	25
				377.05	20
				64.80	35
Dapsone	+	249.20	25	107.80	25
				155.80	15
				282.95	40
Nadifloxacin	+	361.35	30	343.03	25
				153.90	25
				410.03	20
Tetracycline	+	445.35	25	427.05	15
				428.00	15
				352.00	45
Adapalene	-	411.40	35	367.00	25
				160.70	20
				191.70	20
Bithionol	-	353.00	35	316.70	15
				160.90	5
				118.85	25
Isotretinoin	-	299.38	30	239.00	20
				255.05	15
				138.73	10
Tioxolone	-	167.05	25	122.75	15
				110.75	20
				34.70	5
Triclosan	-	287.10	15		

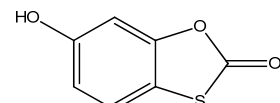
■ 구조식



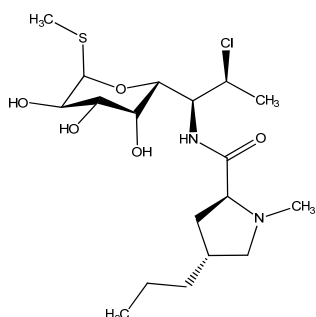
Tetracycline
[C₂₂H₂₄N₂O₈]



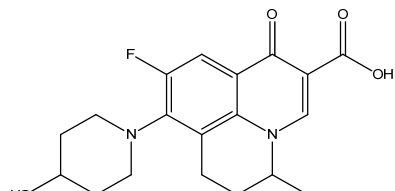
Dapsone
[C₁₂H₁₂N₂O₂S]



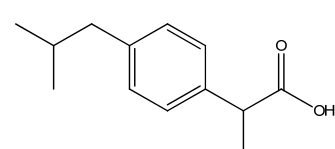
Tioxolone
[C₇H₈O₃S]



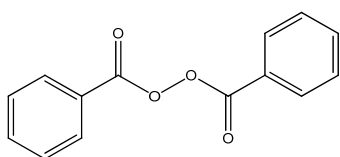
Clindamycin
[C₁₈H₃₃ClN₂O₅S]



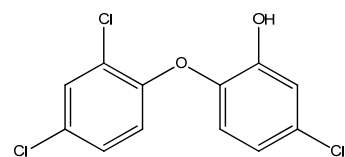
Nadifloxacin
[C₁₉H₂₁FN₂O₄]



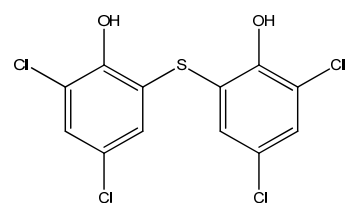
Ibuprofen
[C₁₃H₁₈O₂]



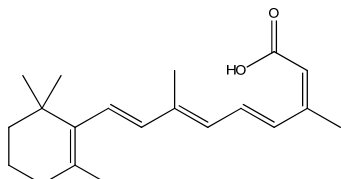
Benzoyl peroxide
[C₁₄H₁₀O₄]



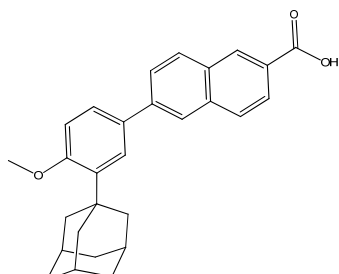
Triclosan
[C₁₂H₇Cl₃O₂]



Bithionol
[C₁₂H₆Cl₄O₂S]



Isotretinoin
[C₂₀H₂₈O₂]



Adapalene
[C₂₀H₂₈O₃]

■ 참고문헌

1. Tashtoush, B. M., Jacobson, E. L., Jacobson, M. K. A rapid HPLC method for simultaneous determination of tretinoin and isotretinoin in dermatological formulations. *J Pharm Biomed Anal.* 43, 859-864 (2007)
2. Gue, Liang., Chen, Yiqiang., Zhang Liying., Yang, Wenjun., He, Pingli. Development and validation of a liquid chromatographic/tandem mass spectrometric method for determination of chlortetracycline, oxytetracycline, tetracycline, and doxycycline in animal feeds. *J AOAC International.* 95, 1010-1015 (2012)
3. VLADIMIR DOBRIČIĆ, NATAŠA BUBIĆ PAJIĆ, BOJAN MARKOVIĆ, SOTE VLADIMIROV, SNEŽANA SAVIĆ, GORDANA VULETA. Development and validation of an LC-MS/MS method for the determination of adapalene in pharmaceutical forms for skin application. *J. Serb. Chem. Soc.* 81, 1 - 14 (2016)

III-16

체중감량성분_이뇨관련성분(23종) 분석법

■ 배경

- 이뇨제 성분이 포함된 불법 다이어트 의약품 적발('10, 11)
- 지네환 복용한 장대높이뛰기 선수 도핑테스트에서 이뇨제 성분 검출 ('15. 1.)
- 식품에 사용할 수 없는 의약품 성분이 함유된 중국산 불법 다이어트 제품에서 이뇨제인 '푸로세미드' 검출('15. 5.)
- '다이어트·성기능 개선' 해외직구 식품서 유해물질 검출('17, 03)

Yonhap News Article:

불법 비아그라·다이어트식품 국성
기사입력 2010-07-19 10:00 | 최종수정 2010-07-19 10:06 |

【일수한 꽈동 기자, 비아그라】(인천=연합뉴스) 김남원 기자 = 26일 일천군부서장 창고에서 중국으로부터 불법 반입한 꽈동 시계 및 비아그라 등 일수들을 세관 관계자가 풀어놓이고 있다. kong7@yna.co.kr

(서울=연합뉴스) 김세영 기자 = 식품의약품안전청은 최근 3년간 유사 의약품 물질 등이 검출된 불법식품 156건 가운데 발기부전치료제류가 92건으로 가장 많았다고 19일 밝혔다.

Kukinews.com Article:

의약품성분 함유 중국산 불법 다이어트 제품 판매일당 적발
입력 2015.05.05 09:50 | 콘텐츠 | 0인원 | 0인원 | 0인원 |

6일 식품의약품안전처는 중국산 다이어트 제품인 '다빼1호'와 '다빼파닉스'를 수입신고 없이 국내에 들어온 인터넷이나 경매, IT, 교육, 사회, 자발, 국제, 단독기사

구독 - 뉴스마을 어떤 종사!

【국기뉴스=박주로 기자】 식품에 사용할 수 없는 의약품 성분이 함유된 중국산 불법 다이어트 제품을 판매한 업체가 적발됐다.

6일 식품의약품안전처는 중국산 다이어트 제품인 '다빼1호'와 '다빼파닉스'를 수입신고 없이 국내에 들어온 인터넷이나 SNS(사회관계망서비스) 등을 통해 판매한 중국동포 서비스(25·여씨)와 전도(21·여씨) 2명을 사용위생법 제6조 등 반법행위로 구속영장을 신청하고 해당 제품들을 반매증단 및 화수조치 했다고 밝혔다.

문제가 된 제품은 최근 체중 감량 효과가 있다고 인터넷 블로그나 카카오톡 등을 중심으로 유통하고 있다. 일명 '민다이어트'라고 불리며 제조국도 인도네시아로 표시돼 있지만 실제 제조국은 인도네시아와 무관한 것으로 드러났다.

■ 특성

- 뇨량을 증대시켜 체내의 불필요한 수분을 배출하는 의약품으로 대표적인 이뇨제로 하이드로클로로티아지드, 푸로세미드, 스피로노락톤 등이 있음
- 부작용으로 순간적인 탈수증에 빠질 수 있고, 수분과 함께 칼륨이나 마그네슘 등 전해질이 몸 밖으로 빠져나가므로 심장의 정상적인 박동이 어려워지기도 함

■ 분석 사례

- 다빼 1호: Furosemide 79.5 mg/캡슐 검출
- 이뇨제 불법의약품: Hydrochlorothiazide 16.6 mg/정 검출

■ 분석법

1. HPLC법

○ 전처리 방법

- 표준액 조제 : 표준액 1* Acetazolamide 등 13종
표준액 2* Chlorothiazide 등 10종

→ 각각 일정량 취함 → 100% 메탄을 가함 → 최종 농도(약 10~20 µg/mL)

- 검액 조제 : 약 1 g 취함 → 70% 메탄을 가함 → 30분 진탕 → 50 mL 정용

* 표준액 1 : Acetazolamide, Hydrochlorothiazide, Methazolamide, Hydroflumethiazide, Chlorthalidone, Methyclothiazide, Metolazone, Torsemide, Indapamide, Bendroflumethiazide, Xipamide, Bumetanide, Ethacrynic acid

* 표준액 2 : Chlorothiazide, Amiloride hydrochloride, Triamterene, Trichlormethiazide, Furosemide, Eplerenone, Cyclothiazide, Azosemide, Piretanide, Spironolactone

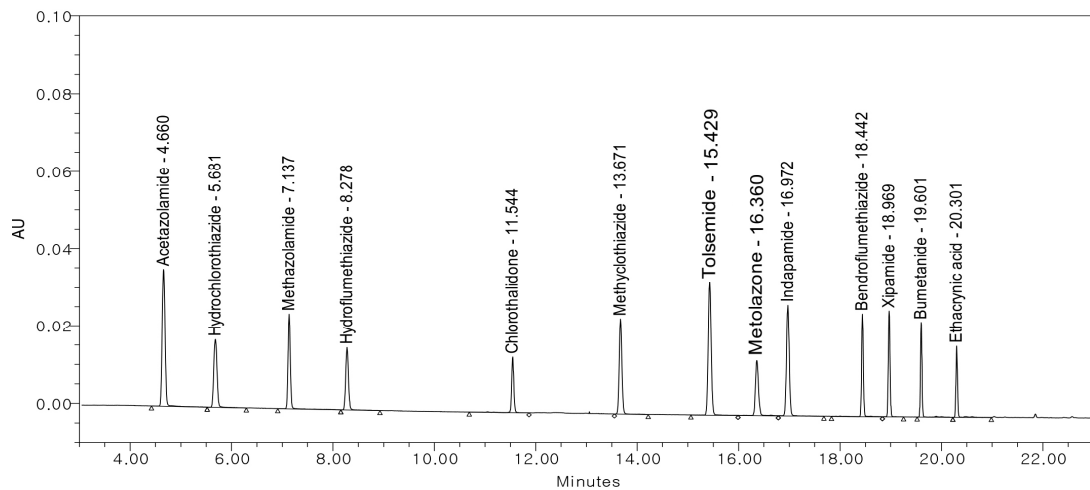
○ Analytical conditions of HPLC

- Instrument Waters ACQUITY UPLC
- Column Waters ACQUITY UPLC BEH C₁₈ (2.1 mm × 150 mm, 1.7 µm)
- Column Temp. 40°C
- Mobile Phase (A) 0.15% Trifluoroacetic acid in Water
(B) 100% Acetonitrile

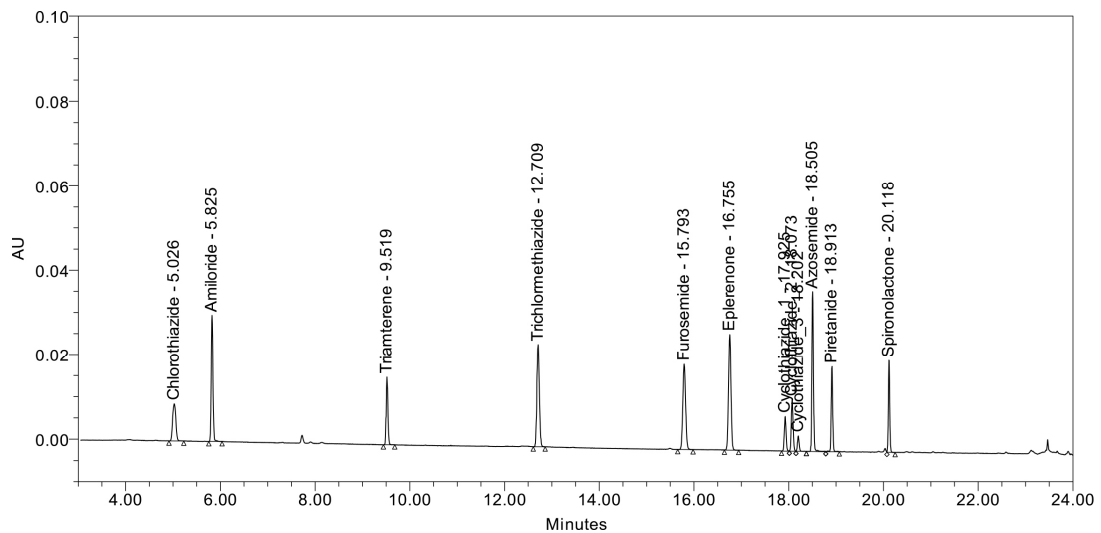
Time (min)	A (%)	B (%)
0.0	95	5
2.0	95	5
13.5	70	30
15.0	70	30
22.0	25	75
22.1	0	100
24.0	0	100
24.1	95	5
28.0	95	5

- Flow Rate 0.3 mL/min
- Inj. Volume 1 µL
- UV Detection 254 nm
- PDA Range 190~400 nm

○ Chromatogram

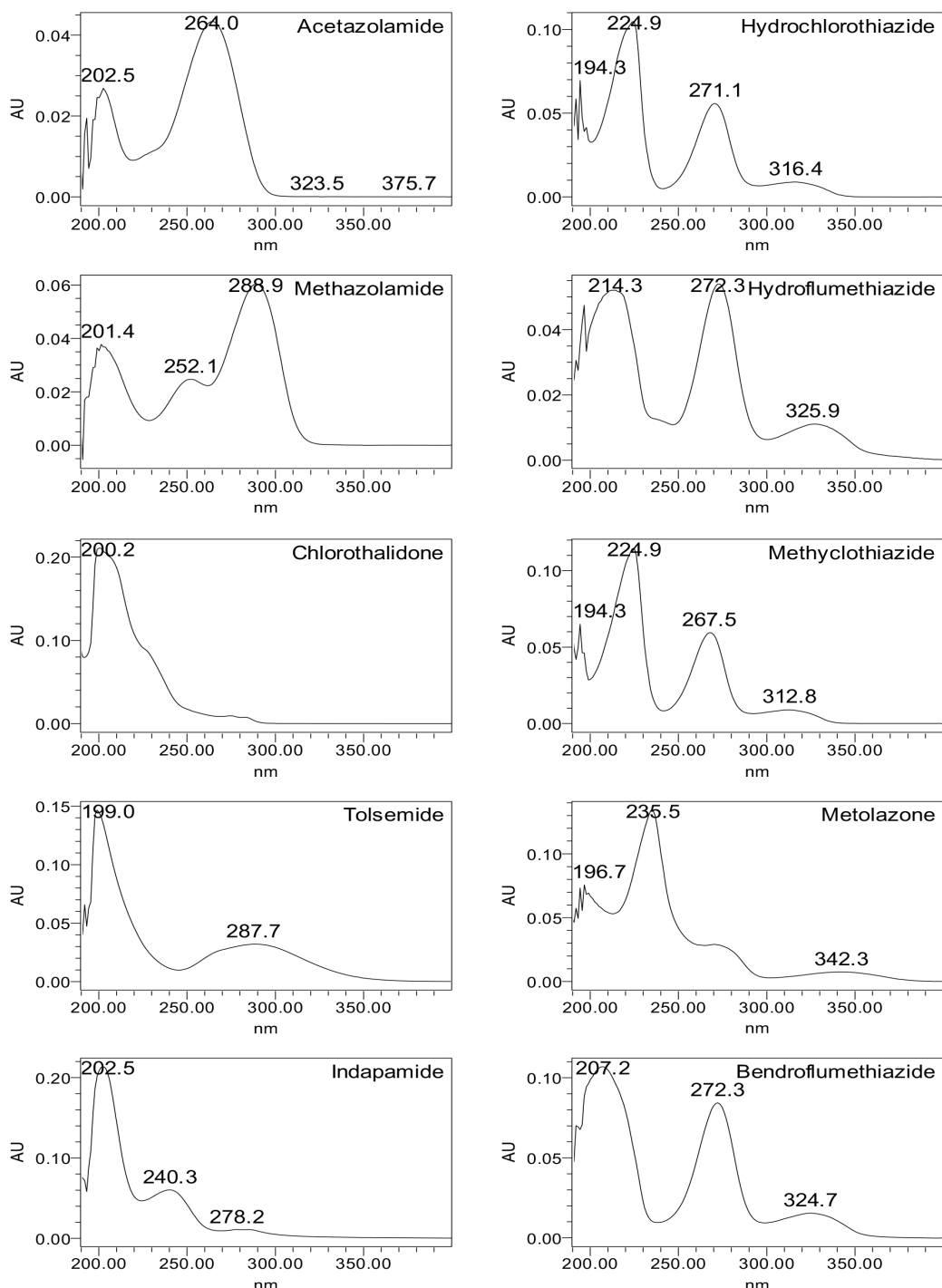


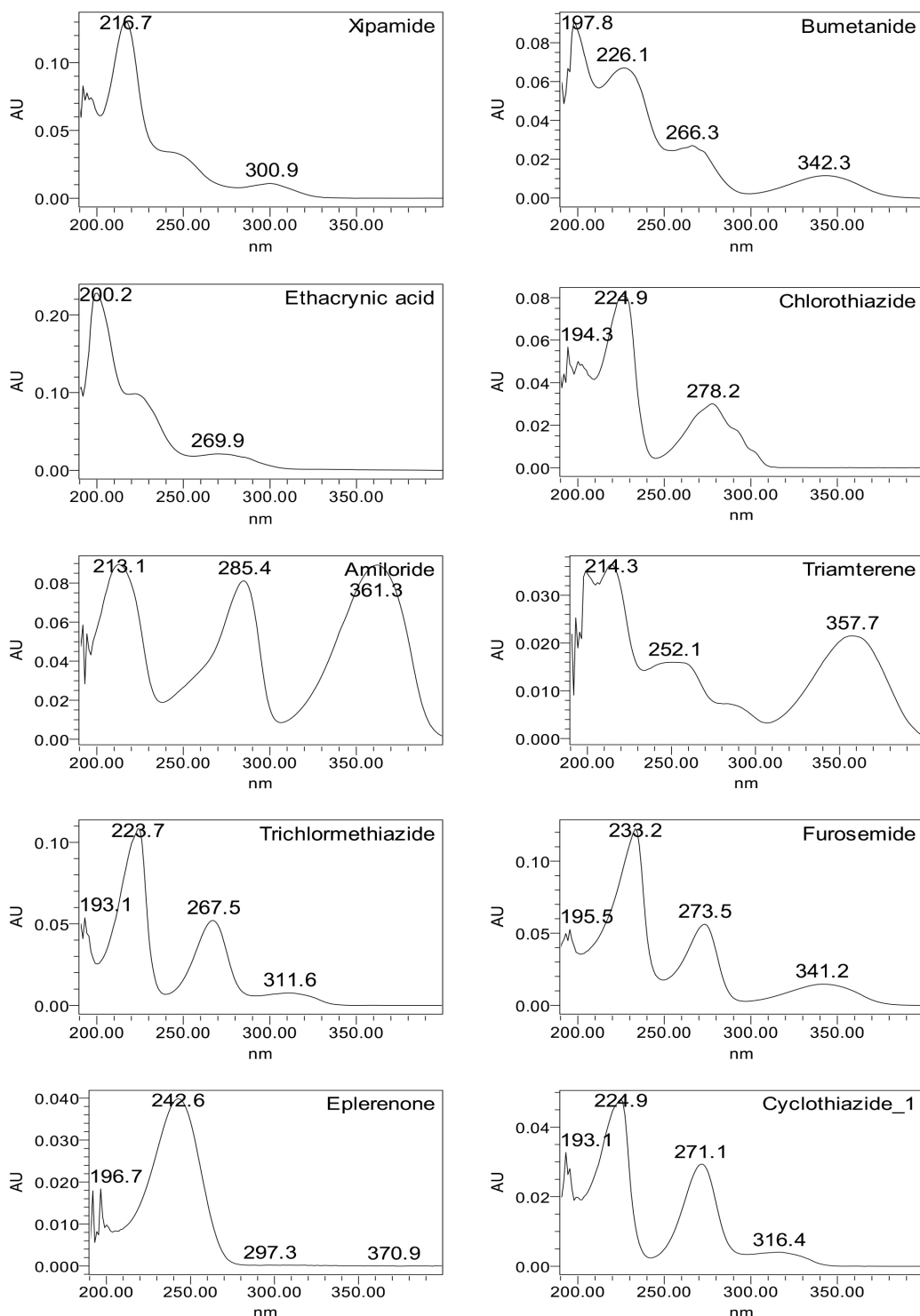
[표준액 1]

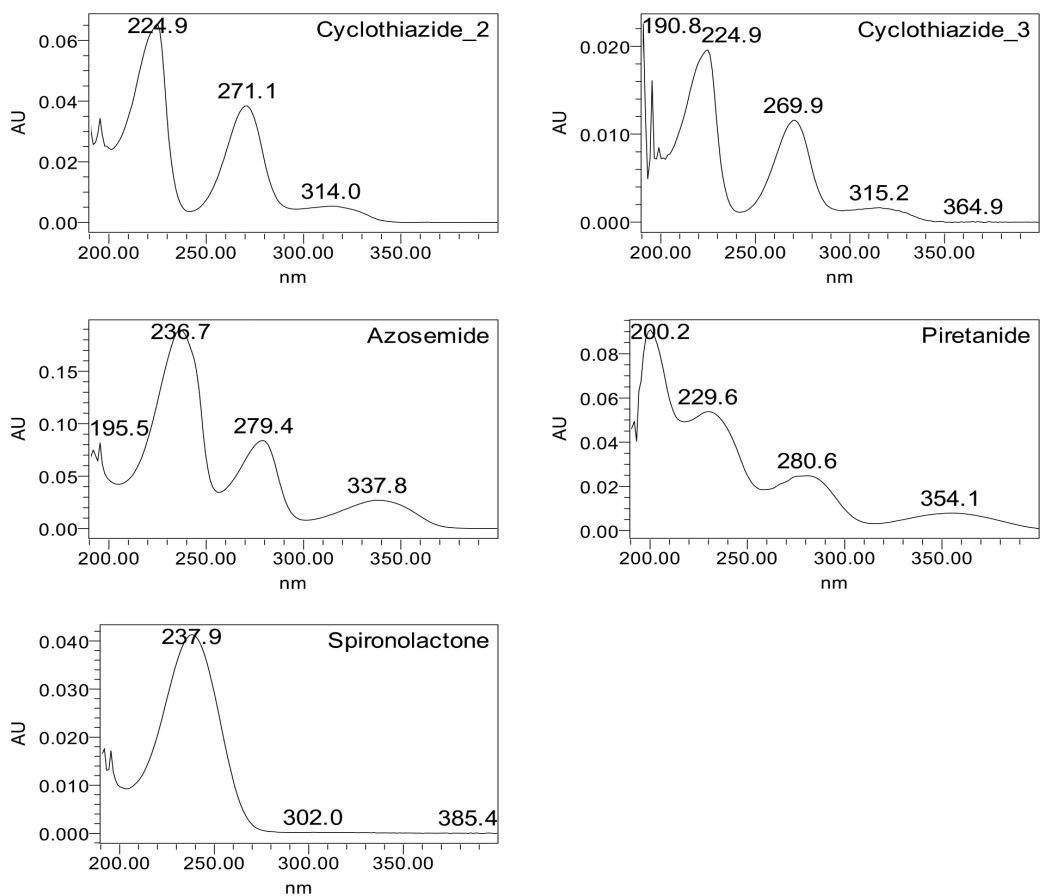


[표준액 2]

○ PDA Spectrum







2. LC-MS/MS법

○ Analytical conditions of HPLC

• Instrument	Waters UPLC																					
• Column	Waters ACQUITY UPLC HSS T ₃ (2.1 mm× 100 mm, 1.8 μm)																					
• Column Temp.	35°C																					
• Mobile Phase	(A) 10 mM Ammonium acetate in Water (B) 100% Acetonitrile																					
<table border="1" style="width: 100%; border-collapse: collapse;"> <thead> <tr> <th style="text-align: center;">Time (min)</th> <th style="text-align: center;">A (%)</th> <th style="text-align: center;">B (%)</th> </tr> </thead> <tbody> <tr> <td style="text-align: center;">0.0</td><td style="text-align: center;">100</td><td style="text-align: center;">0</td></tr> <tr> <td style="text-align: center;">2.0</td><td style="text-align: center;">100</td><td style="text-align: center;">0</td></tr> <tr> <td style="text-align: center;">6.0</td><td style="text-align: center;">0</td><td style="text-align: center;">100</td></tr> <tr> <td style="text-align: center;">8.0</td><td style="text-align: center;">0</td><td style="text-align: center;">100</td></tr> <tr> <td style="text-align: center;">8.1</td><td style="text-align: center;">100</td><td style="text-align: center;">0</td></tr> <tr> <td style="text-align: center;">10.0</td><td style="text-align: center;">100</td><td style="text-align: center;">0</td></tr> </tbody> </table>		Time (min)	A (%)	B (%)	0.0	100	0	2.0	100	0	6.0	0	100	8.0	0	100	8.1	100	0	10.0	100	0
Time (min)	A (%)	B (%)																				
0.0	100	0																				
2.0	100	0																				
6.0	0	100																				
8.0	0	100																				
8.1	100	0																				
10.0	100	0																				
• Flow Rate	0.5 mL/min																					
• Inj. Volume	2 μL																					

○ Analytical conditions of LC-MS/MS

• Instrument	Waters Xevo TQ	
• Ionization Mode	ESI (+)	ESI (-)
• Capillary Voltage	2.5 kV	2.5 kV
• Desolvation Temp.	400°C	500°C
• Desolvation Gas Flow	600 L/Hr (N ₂)	800 L/Hr (N ₂)
• Cone Gas Flow	50 L/Hr (N ₂)	50 L/Hr (N ₂)

○ Analyte MS/MS transition

Compound	Ion Mode	Precursor Ion (m/z)	CV (V)	Product Ion (m/z)	CE (eV)
Acetazolamide	-	221.06	25	57.90 82.95	15 15
Hydrochlorothiazide	-	295.90	42	204.96 268.94	22 18
Methazolamide	-	235.11	20	57.70 77.70	15 15
Hydroflumethiazide	-	329.98	40	238.99 302.87	22 20
Chlorothalidone	-	336.97	34	146.12 190.00	24 18
Methyclothiazide	-	357.92	32	257.98 321.91	20 12
Metolazone	-	366.03	48	232.98 258.98	24 24
Torsemide	-	347.05	26	262.06	20
Indapamide	-	363.90	42	131.89 188.84	24 24
1 Bendiophlumethiazide	-	419.99	44	288.98 327.93	22 22
Xipamide	-	353.30	40	77.70 121.75 169.75	30 35 30
Bumetanide	-	363.01	28	273.88 79.81 206.99	25 24 18
Ethancrenic acid	-	300.92	16	191.84 242.88	30 16
Chlorothiazide	-	294.02	30	178.97 213.95	40 25
Amiloride	-	228.15	25	142.75 185.80	15 15
Trichlormethiazide	-	378.00	30	241.99 305.98	20 10

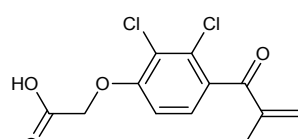
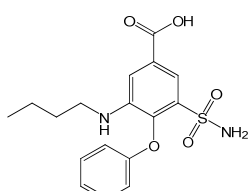
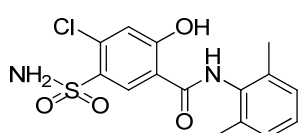
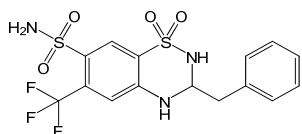
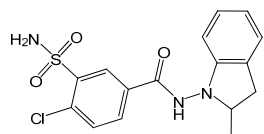
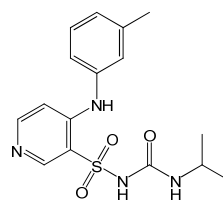
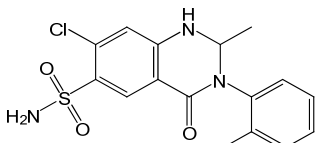
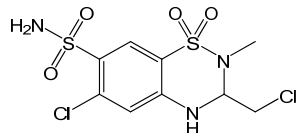
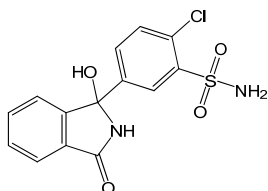
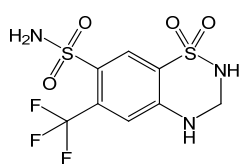
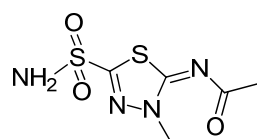
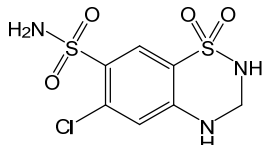
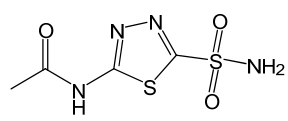
표준액

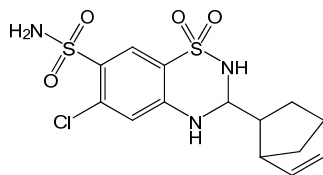
1

III-16. 체중감량성분_이뇨관련성분(23종) 분석법

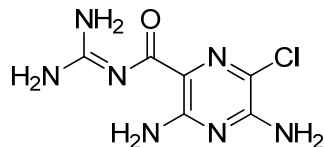
	Compound	Ion Mode	Precursor Ion (<i>m/z</i>)	CV (V)	Product Ion (<i>m/z</i>)	CE (eV)
표준액 1	Furosemide	-	329.10	25	204.93	25
					285.02	15
					122.80	35
표준액 2	Eplerenone	-	413.40	30	334.90	25
					353.03	20
					268.95	28
표준액 1	Cyclothiazide	-	388.00	52	321.88	22
					196.80	30
					325.83	20
표준액 2	Azosemide	-	369.23	30	284.76	20
					79.70	25
					204.85	25
표준액 2	Piretanide	-	361.30	30	316.93	15
					104.01	34
					141.01	42
표준액 2	Triamterene	+	254.08	46	236.99	26
					107.20	25
					187.10	20

■ 구조식

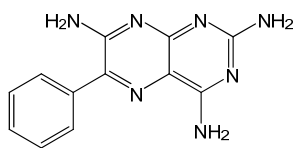




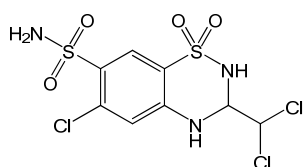
Cyclothiazide
[C₁₄H₁₆ClN₃O₄S₂]



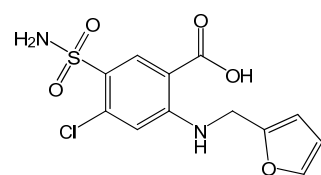
Amiloride
[C₆H₈ClN₇O]



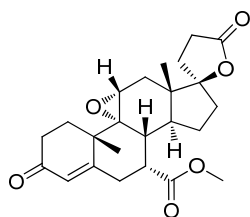
Triamterene
[C₁₂H₁₁N₇]



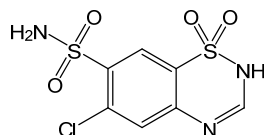
Trichlormethiazide
[C₈H₈Cl₃N₃O₄S₂]



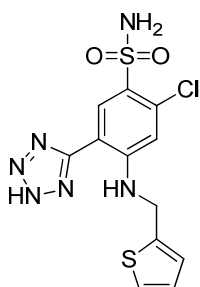
Furosemide
[C₁₂H₁₁ClN₂O₅S]



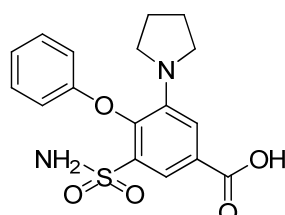
Eplerenone
[C₂₄H₃₀O₆]



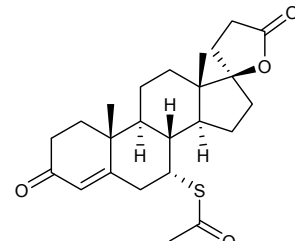
Chlorothiazide
[C₇H₆ClN₃O₄S₂]



Azosemide
[C₁₂H₁₁ClN₆O₂S₂]



Piretanide
[C₁₇H₁₈N₂O₅S]



Spironolactone
[C₂₄H₃₂O₄S]

■ 참고문헌

1. Sevinc Kurbanoglu, Paula Rodringuez San Miguel, Bengi Uslu, Sibel A. Ozkan. Stability-indicating UPLC method for the determination of bisoprolol fumarate and hydrochlorothiazide: application to dosage forms and biological sample. *Chromatographia*. 44(3-4) 365-371 (2014)
2. H. Woo, J.W. Kim, K.M. Han, J.H. Lee, I.S. Hwang, J.H. Lee, J. Kim, S.J. Kweon, S. Cho, K.R. Chae, S.Y. Han and J. Kim. Simultaneous analysis of 17 diuretics in dietary supplements by HPLC and LC-MS/MS. *Food Addit Contam Part A*. 30(2) 209-217 (2013)
3. Ana Paula Lançanova Moreira, Monique Jung Motta, Thaís Ramos Dal Molin, Carine Viana & Leandro Machado de Carvalho. Determination of diuretics and laxatives as adulterants in herbal formulations for weight loss. *Food Addit Contam Part A*. 30(7), 1230-1237 (2013)
4. Patel AR, Chandrul KK. Method Development and Validation of Simultaneous Estimation Telmisartan and Indapamide by Reverse Phase-High Performance Liquid Chromatography in Pharmaceutical Dosage Forms, *Asian J Biochem Pharmaceu Res.* 1, 39-49 (2011)
5. K. Deventer, F. T. Delbeke, K. Roels and P. Van Eenoo. Screening for 18 diuretics and probenecid in doping analysis by liquid chromatography- tandem mass spectrometry. *Biomed Chromatog.* 16, 529-535 (2002)

III-17 ◀ 진세노사이드 분석법

■ 배경

- 홍삼농축액 대신 홍삼향과 카라멜색소를 사용하여 가짜 홍삼음료 등을 제조 판매한 사례('15. 9)
- 영업등록을 하지 않은 제조시설에서 홍삼유사제품 불법제조 판매 ('15. 2.)



■ 특성

- 홍삼·인삼의 정의
 - 인삼: 인삼의 뿌리로서 그대로 또는 가는 뿌리와 코르크 층을 제거한 것
 - 홍삼: 인삼의 뿌리를 껍질째 증기로 쪄서 건조한 담황갈색 인삼
- 홍삼·인삼의 규격
 - 식품공전의 인삼·홍삼음료 규격: 인삼·홍삼성분 확인되어야 함
 - 건강기능식품공전 중 기능성 원료의 인삼, 홍삼규격
 - 인삼
 - 제조기준 기능성분의 함량: 진세노사이드 Rg1과 Rb1 합하여 0.8~34 mg/g 함유
 - 진세노사이드 Rg1과 Rb1의 합(최종제품: 표시량의 80% 이상)
 - 홍삼
 - 제조기준 기능성분의 함량: 진세노사이드 Rg1, Rb1 및 Rg3를 합하여 2.5~34 mg/g 함유
 - 진세노사이드 Rg1, Rb1 및 Rg3의 합(최종제품: 표시량의 80% 이상)

■ 분석법

1. LC-MS/MS 법

○ 전처리 방법

- 표준액 조제 : Ginsenoside Rg1 등 3종* → 각각 일정량 취함 → 메탄을 가함
→ 최종농도(약 1 $\mu\text{g}/\text{L}$)
- 검 액 조제 : 약 1 g 취함 → 70 % 메탄을 가함 → 30분 진탕 → 50 mL 정용

* 표준액 : Ginsenoside Rb1, Ginsenoside Rg1, Ginsenoside Rg3

○ Analytical conditions of LC-MS/MS

• LC System	Water ACQUITY UPLC
• Column	Waters ACQUITY UPLC HSS T ₃ (2.1 × 100 mm, 1.8 μm)
• Column temp.	40°C
• Inj. Vol.	2 μL
• Mobile Phase	A: 0.1% formic acid in D.W. B: 0.1% formic acid in MeOH

Time (min)	A (%)	B (%)
0.0	80	20
1.5	80	20
3.0	50	50
4.0	30	70
11.5	10	90
12.0	10	90
13.0	80	20
15.0	80	20

• Flow Rate	0.25 mL/min
• MS system	Waters Xevo TQ
• Ionization mode	ESI(+)
• Capillary voltage	2.5 kV
• Desolvation Temp.(°C)	150°C
• Desolvation Gas Flow	300 L/Hr(N ₂)
• Cone Gas Flow	off

○ Analyte MS/MS transition

Compound	Ion Mode	Parent ion (<i>m/z</i>)	CV (V)	Product ion (<i>m/z</i>)	CE (eV)
Ginsenoside Rg1	+	823.63	50	203.18	40
				643.44	40
Ginsenoside Rb1	+	1131.62	60	365.23	60
				789.51	60
Ginsenoside Rg3	+	807.64	55	245.18	55
				365.18	50

2. TLC

○ 전처리 방법

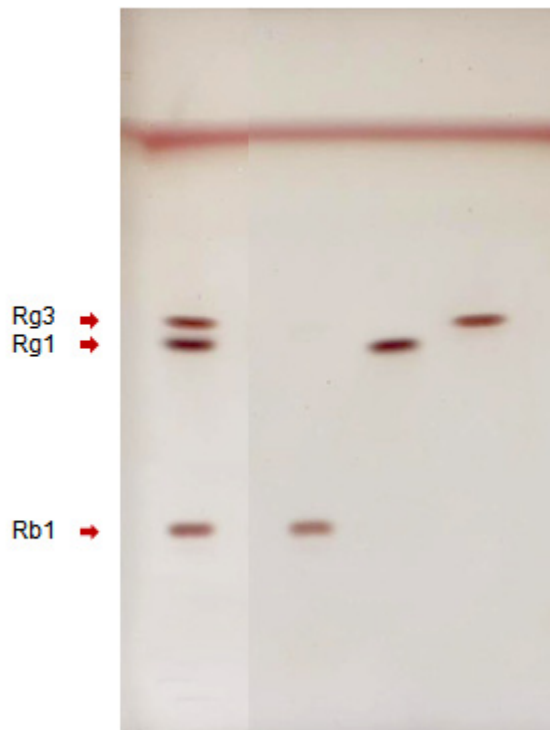
- 표준액 조제 : Ginsenoside Rg1 등 3종*
 - 각각 일정량 취함 → 100% 메탄올 가함
- 검액 조제 : 검체 약 50 g 취함
 - 80°C에서 60분 동안 환류추출
 - 감압농축
 - 농축한 것을 물에 녹인 뒤 에테르로 지방 등의 불순물 제거
 - 물층을 불포화 부탄올로 추출하여 감압농축
 - 메탄올에 녹인 후 시험용액으로 함

* 표준액 : Ginsenoside Rb1, Ginsenoside Rg1, Ginsenoside Rg3

○ Analytical condition of TLC

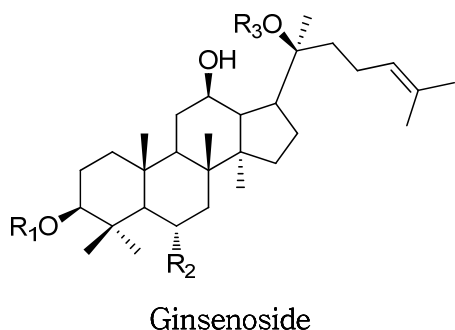
- Instrument Camag TLC System
- TLC plate HPTLC Silica gel 60 F₂₅₄ (200 μm)
- Mobile Phase Chloroform : Methanol : Water = 65 : 35 : 10
- Dosage Speed 50 nL/s
- Loading Volume 20 μL
- Detection 10% H₂SO₄ 용액을 분무하여 110°C에서 10분간 가열하여 발색시킨 뒤 육안으로 확인

○ Chromatogram



■ 구조식

○ 진세노사이드 (3종)



	R1	R2	R3
Rg1	H	O-Glc	Glc
Rb1	Glc ² -Glc	H	Glc ⁶ -Glc
Rg3	Glc ² -Glc	H	H

■ 참고문헌

1. Da-Wei Lou, Y. Saito, K. Jinno. Solid-phase extraction and high-performance liquid chromatography for simultaneous determination of important bioactive ginsenoside in pharmaceutical preparations. *Chromatographia* 62, 349-354 (2005)
2. Tianxiu Qian and Zongwei Cai. Biotransformation of ginsenosides Rb1, Rg3 and Rh2 in rat gastrointestinal tracts. *Chinese Medicine*, 5(19), (2010)
3. Zongwei Cai, Tianxiu Qian, Ricky N.S. Wong, Zhi-Hong Jiang. Liquid chromatography-electrospray ionization mass spectrometry for metabolism and pharmacokinetic studies of ginsenoside Rg3. *Analytica Chimica Acta*, 492, 283-293 (2003)

III-18 ◀ 칡성분 분석법

■ 배경

- 칡냉면에 칡을 넣지 않거나 적게 넣어 함량을 허위로 표시한 식품 제조업체 적발('11. 7.)
- 칡 성분이 들어가지 않은 가짜 '칡 냉면'을 제조 유통시킨 업자 적발, 보관중인 가짜 칡냉면 등 압류('10. 4.)



■ 특성

- 칡 뿌리에는 이소플라빈 화합물인 푸에라린, 다이드제인, 다이드진 쿠마린 등의 성분을 함유
- 푸에라린: 칡(*Puerariae Radix*)에서 발견되는 대표적인 Isoflavone이며, 혈액순환을 활발하게 하여 동맥경화를 예방하고 고혈압, 협심증 등에 효능이 있으며 원기회복을 돋고 음주 뒤 숙취 유발물질인 아세트알데히드의 분해를 촉진함
또한, 다양한 기전을 통해 신경세포를 보호하는 것이 보고됨

■ 분석사례

- 비썩세스 비타민 E : Puerarin 검출
- 칡냉면 : Puerarin 불검출

■ 분석법

1. HPLC법

○ 전처리 방법

- 표준액 조제 : Puerarin

→ 일정량 취함 → 100% 메탄올 가함 → 최종 농도(약 10 µg/mL)

Ononin

→ 일정량 취함 → 중류수 소량과 Formic acid 20%를 가함

→ 100% 메탄올 가함 → 최종 농도(약 10 µg/mL)

- 검액 조제 : 약 1 g 취함 → 70% 메탄올 가함 → 30분 진탕 → 50 mL 정용

* 표준액 : Puerarin, Ononin

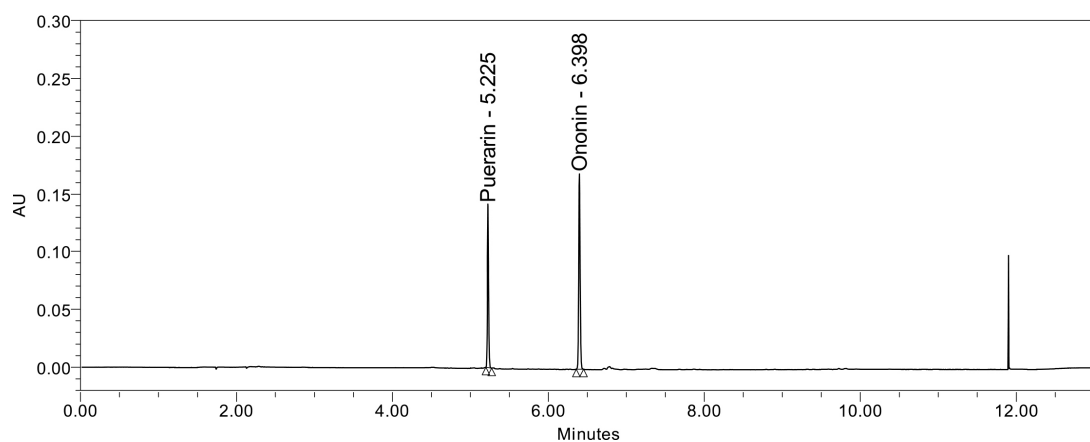
○ Analytical conditions of HPLC

• Instrument	Waters ACQUITY UPLC
• Column	Waters ACQUITY UPLC BEH C ₁₈ (2.1 mm × 100 mm, 1.7 µm)
• Column Temp.	40°C
• Mobile Phase	(A) 10 mM Ammonium acetate in Water (B) 100% Acetonitrile

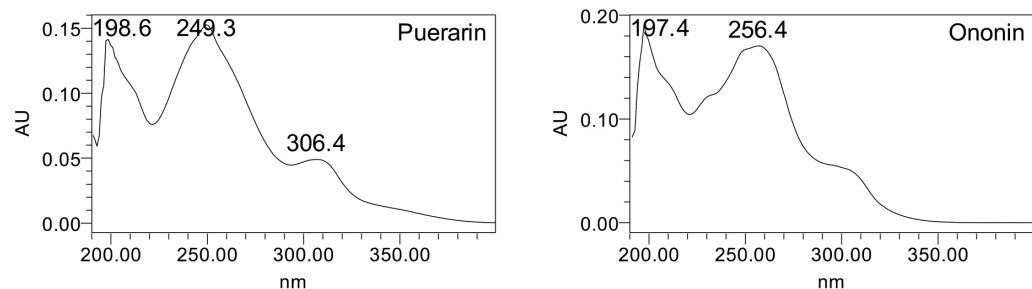
Time (min)	A (%)	B (%)
0.0	95.0	5.0
2.0	95.0	5.0
8.0	5.0	95.0
10.0	5.0	95.0
10.1	95.0	5.0
13.0	95.0	5.0

• Flow Rate	0.2 mL/min
• Inj. Volume	1 µL
• UV Detection	210 nm, 254 nm
• PDA Range	190~400 nm

○ Chromatogram



○ PDA Spectrum



2. LC-MS/MS법

○ Analytical conditions of HPLC

• Instrument	Shiseido SP3133		
• Column	Capcell pak C18 MG II (2.0 mm × 100 mm, 3.0 μm)		
• Column Temp.	40°C		
• Mobile Phase	(A) 100% Water (B) 100% Acetonitrile		
Time (min)	A (%)	B (%)	C (%)
0.0	90.0	10.0	0.0
2.0	90.0	10.0	0.0
5.0	60.0	40.0	0.0
8.0	60.0	40.0	0.0
10.0	90.0	10.0	0.0
12.0	90.0	10.0	0.0
• Flow Rate	0.3 mL/min		
• Inj. Volume	5 μL		

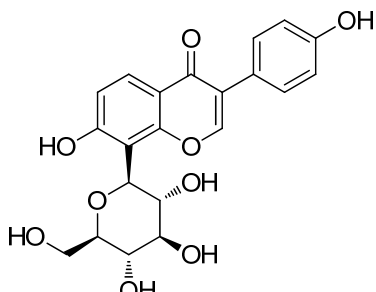
○ Analytical condition of LC-MS/MS

• Instrument	AB SCIEX Triple Quad 5500		
• Ionization Mode	ESI (+)		
• Curtain Gas	30 psi		
• Collision Gas	Medium		
• Ion Voltage	5500 V		
• Ion Source Gas 1	50 psi		
• Ion Source Gas 2	50 psi		
• Source Temp.	500°C		

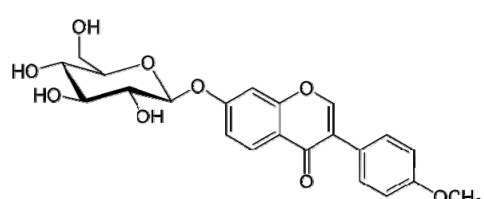
○ Analyte MS/MS transition

Compound	Ion Mode	Precursor Ion (<i>m/z</i>)	DP (V)	Product Ion (<i>m/z</i>)	CE (V)	CXP (V)
Puerarin	+	417.10	120	297.0	37	15
				321.0	30	15
Ononin	+	431.13	120	269.1	40	20
				254.0	60	20
				213.1	60	20

■ 구조식



Puerarin
[C₂₁H₂₀O₉]



Ononin
[C₂₂H₂₂O₉]

■ 참고문헌

1. Liu, Y., Liu, J., Wang, Y., Abozeid, A. & Tang, Z.- H. Simultaneous determination of six active metabolites in *Astragalus mongholicus* (Fisch.) Bge. under salt stress by ultra-pressure liquid chromatography with tandem mass spectrometry. *SpringerPlus.* 5, 1-11 (2016)
2. Zhang, R., Wang, S., Lu, M., Zhang, Z., Tian, X. & Lv, D. Simultaneous determination and pharmacokinetic study of three isoflavones from *Trifolium pratense* extract in rat plasma by LC-MS/MS. *Biomed Chromatogr.* 29, 210-219 (2015)
3. Zhang, Y., Yuan, J., Wang, Y., Wang, Y., An, R. & Wang, X. LC-MS/MS determination and pharmacokinetics study of puerarin and daidzein in rat plasma after oral administration of Gegenqinlian decoction and *Radix Puerariae* extract. *Pharmacogn Mag.* 10, 241-248 (2014)

III-19 ◀ 코치닐추출색소[카르민산] 분석법

■ 배경

- 식품의 색깔을 돋보이게 하는 등의 시각적 자극을 통해 식욕을 증대시키고, 풍미를 인식시키는 데 도움을 주어 식품의 외형적 가치를 높이고자 첨가함
- 식품첨가물공전(2015. 11.)에 따르면 코치닐추출색소는 다류에서는 사용하면 아니 되나, 시판중인 딸기, 복분자, 오미자, 석류 등의 적황색 과실추출 분말 다류 일부에서 코치닐추출색소 색소의 주성분인 카르민산이 검출됨



■ 특성

- 중남미 자생 선인장(Opuntia coccinellifera, Opuntia tura 등)에 기생하는 연지벌레 암컷 분말을 물-알코올성 용액으로 추출한 뒤 알코올성 분을 제거시켜 얻은 농축물로서 안트라퀴논계 화합물인 카르민산(Carminic acid)이 색소의 주성분이며 가공식품, 화장품, 직물, 의약품 등의 천연색소로 이용되고 있음
- 물, 에탄올, 에테르에 쉽게 녹고 벤젠, 클로로포름, 유지에는 녹지 않음
- pH 의존성이 매우 높아 Halochromism 현상을 나타냄
- 산성(pH 3 이하)에서는 등적색, pH 5-6에서는 적자색, pH 7 이상에서는 자색을 나타냄
- 코치닐추출색소가 각종 알레르기성 질환을 유발할 수 있음이 보고됨

■ 분석사례

- 차뜨래 딸기라떼 : Carminic acid 검출
- 난새콤달콤한생맥차야 : Carminic acid 검출
- 복분자차, 석류차, 오미자차 : Carminic acid 검출

■ 분석법

1. HPLC법

○ 전처리 방법

- 표준액 조제 : Carminic acid

→ 약 20 mg 취함 → 50% 메탄올:10% 염산(4:1) 용액을 가함

→ 일정량 취함 → 50% 메탄올:10% 염산(4:1) 용액으로 희석

→ 최종 농도(약 1.0 mg/mL)

- 검액 조제 : 약 10 g 취함 → 50% 메탄올:10% HCl(4:1), n-Hexane 가함

→ 30분 진탕 → 원심분리 후 메탄올 층 취함

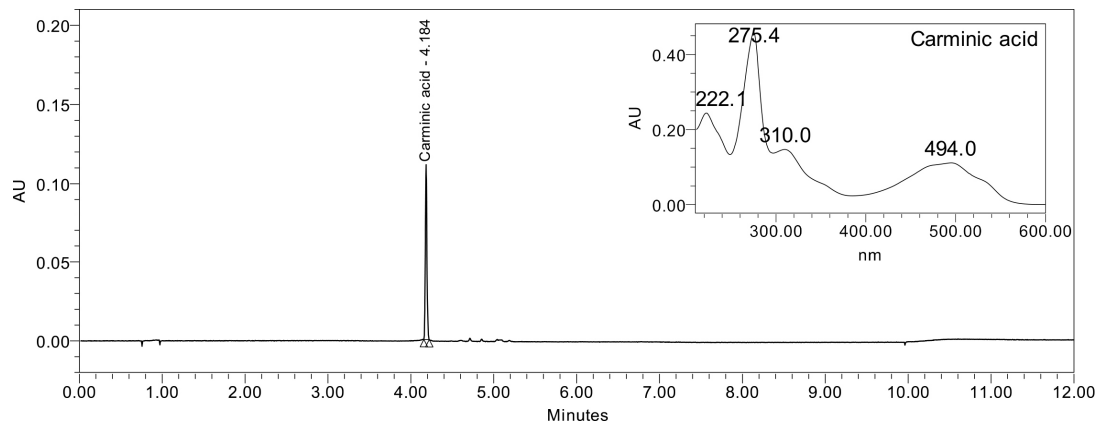
○ Analytical condition of HPLC

• Instrument	Waters ACQUITY UPLC
• Column	Waters ACQUITY UPLC BEH C ₁₈ (2.1 mm × 100 mm, 1.7 μm)
• Column Temp.	30°C
• Mobile Phase	(A) 0.1% Trifluoroacetic acid in Water (B) 0.1% Trifluoroacetic acid in Acetonitrile

Time (min)	A (%)	B (%)
0.0	90	10
2.0	90	10
6.0	50	50
6.1	10	90
9.0	10	90
9.1	90	10
12.0	90	10

• Flow Rate	0.3 mL/min
• Inj. Volume	5.0 μL
• UV Detection	495 nm
• PDA Range	210~600 nm

○ Chromatogram & PDA Spectrum



2. LC-MS/MS 법

○ Analytical conditions of HPLC

• Instrument	Waters ACQUITY UPLC
• Column	Waters ACQUITY UPLC BEH C ₁₈ (2.1 mm × 100 mm, 1.7 μm)
• Column Temp.	40°C
• Mobile Phase	(A) 0.1% Formic acid in Water (B) 0.1% Formic acid in Acetonitrile

Time (min)	A (%)	B (%)
0.0	95	5
2.0	95	5
6.0	60	40
8.0	60	40
8.1	10	90
10.0	10	90
10.1	95	5
12.0	95	5

• Flow Rate	0.2 mL/min
• Inj. Volume	2 μL

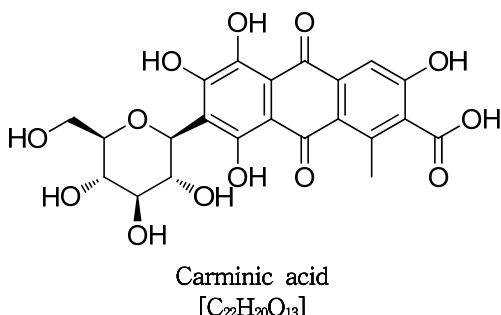
○ Analytical conditions of LC-MS/MS

• Instrument	Waters Xevo TQ
• Ionization Mode	ESI (-)
• Capillary Voltage	2.5 kV
• Desolvation Temp.	400°C
• Desolvaton Gas Flow	600 L/Hr (N ₂)
• Cone Gas Flow	50 L/Hr (N ₂)

○ Analyte MS/MS transition

Compound	Ion Mode	Precursor ion (<i>m/z</i>)	CV (V)	Product ion (<i>m/z</i>)	CE (eV)
				326.90	24
Carminic acid	-	491.12	35	356.91	25
				446.93	20

■ 구조식



■ 참고문헌

1. Taujenis L and Olsauskaite V. Identification of main constituents of historical textile dyes by ultra performance liquid chromatography with photodiode array detection *Chemi Ja.* 21(3), 210-215 (2012)
2. Kunkely H and Vogler A. Absorption and luminescence spectra of cochineal. *Inor Chem Commun.* 13, 1153-1155 (2011)

III-20 ◀ 통캇알리 성분 분석법

■ 배경

- 통캇알리는 말레이시아, 인도네시아 등 동남아 지역에서 자라는 식물로 남성 성기능 촉진에 효능이 있다고 알려지면서 인터넷을 통해 암암리에 판매됐으나, 우리나라를 비롯한 유럽, 미국, 일본 등 대부분 국가에서는 안전성 문제 때문에 식품 원료로 승인되지 않음
- 통캇알리 원 제품과 함께 함유 제품 또한 우리나라에 정식으로 수입되지 않음



■ 특성

- 말레이시아 원주민들 사이에서 말라리아 예방제, 쇠음제, 당뇨병 치료제, 살균제, 해열제 등으로 사용되고 있고, 특히 성기능 개선을 위한 정력 강장제로 많이 이용되고 있음
- 정확한 성분이나 효과, 효능 및 독성 평가가 이뤄지지 않은 상태에서 말레이시아를 비롯한 아시아 및 기타 국가에서 유통이 이뤄지고 있음
- 주요 성분: 13,21-Dihydroeurycomanone, 14,15 β -Dihydroxyklaineaneone, Eurycomalactone, Eurycomanone, Longilactone

■ 분석사례

- TONGKAT ALI : 통캇알리 성분 검출

■ 분석법

1. LC-MS/MS 법

○ 전처리 방법

- 표준액 조제 : Eurycomalactone 등 5종
→ 일정량 취함 → 100% 메탄올 가함 → 최종 농도(약 30~50 µg/mL)
- 검액 조제 : 약 1 g 취함 → 70% 메탄올 가함 → 10 mL 정용 → 3시간 진탕
→ 5분간 원심분리 → 상징액 취함

* 표준액 : 13,21-Dihydroeurycomanone, 14,15 β -Dihydroxyklaineaneone, Eurycomalactone, Eurycomanone, Longilactone

○ Analytical condition of HPLC

- | | |
|----------------|---|
| • Instrument | Shiseido SP LC |
| • Column | Agilent Pursuit Ultra XR _s C18 (2 mm × 100 mm, 2.8 µm) |
| • Column Temp. | 40°C |
| • Mobile Phase | (A) 0.1% Formic acid in Water
(B) 0.1% Formic acid in Acetonitrile |

Time (min)	A (%)	B (%)
0.0	95	5
2.0	95	5
8.0	0	100
10.0	0	100
10.1	95	5
12.0	95	5

- | | |
|---------------|-------------|
| • Flow Rate | 0.25 mL/min |
| • Inj. Volume | 2 µL |

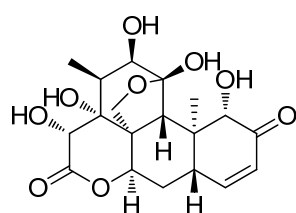
○ Analytical conditions of LC-MS/MS

- | | |
|--------------------|---------------------------|
| • Instrument | AB SCIEX Triple Quad 5500 |
| • Ionization Mode | ESI (+) |
| • Curtain Gas | 30 psi |
| • Collision Gas | 12 |
| • Ion Voltage | 5000 V |
| • Ion Source Gas 1 | 50 psi |
| • Ion Source Gas 2 | 50 psi |
| • Source Temp. | 500°C |

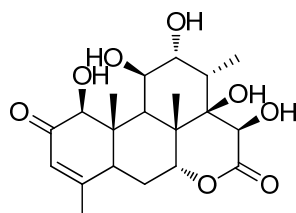
○ Analyte MS/MS transition

Compound	Ion Mode	Precursor Ion (<i>m/z</i>)	CV (V)	Product Ion (<i>m/z</i>)	CE (V)	CXP (V)
13,21-Dihydroeurycomanone	+	411.2	70	393.2	25	13
				375.2	31	13
				345.1	35	13
14,15 β -Dihydroxyklaineanone	+	397.2	70	343.2	19	13
				361.2	19	13
				379.2	17	13
Eurycomalactone	+	349.1	130	331.1	25	13
				303.0	25	13
				313.1	27	13
Eurycomanone	+	409.2	76	391.1	21	16
				165.1	93	20
Longilactone	+	367.1	121	331.0	19	14
				313.1	23	12

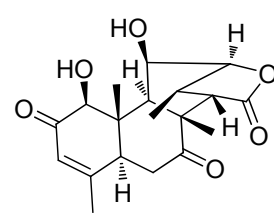
■ 구조식



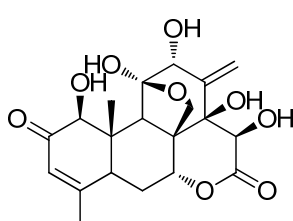
13,21-Dihydroeurycomanone
[C₁₉H₂₄O₉]



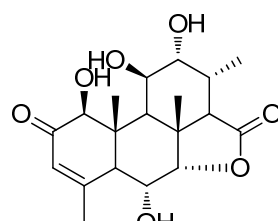
14,15 β -Dihydroxyklaineanone
[C₂₀H₂₈O₈]



Eurycomalactone
[C₁₉H₂₄O₆]



Eurycomanone
[C₂₀H₂₄O₉]



Longilactone
[C₁₉H₂₆O₇]

■ 참고문헌

1. Chin-Hoe Teh, Vikneswaran Murugaihay, Kit-Lam Chan. Developing a validated liquid chromatography-mass spectrometric method for the simultaneous analysis of five bioactive quassinoid markers for the standardization of manufactured batches of *Eurycoma longifolia* Jack extract as antimalarial medicaments. *J Chromatography A.* 1861-1877 (2011)
2. Lee Suan Chua, Nor Amaiza Mohd Amin, Jason Chun Hong Neo, Ting Hun Lee, Chew Tin Lee, Mohamad Roji Sarmidi, Ramlan Abdul Aziz. LC - MS/MS-based metabolites of *Eurycoma longifolia* (Tongkat Ali) in Malaysia (Perak and Pahang). *J Chromatography B.* 3909-3919 (2011)

III-21 푸에라리아 미리피카 성분 분석법

배경

- 안전성이 미확보 되어 식품용도로 사용할 수 없는 원료인 태국칡(*Pueraria mirifica*)이 함유된 제품을 기슴 확대 효과가 있다고 광고하며 인터넷 블로그나 중고거래 인터넷을 통해 몰래 판매한 일당이 적발('14. 9.)
- *Pueraria mirifica*와 비슷한 isoflavone 화합물(에스트로겐 활성, 항산화 활성)을 함유하고 있는 유사 식물인 한국산 칡(*Pueraria thunbergiana*) 및 *Pueraria lobata*가 혼용될 가능성이 있으므로 성분 확보 또는 유전자 분석을 통해 시료의 동등성이나 분별에 필요한 방법의 확립 필요



특성

- 태국칡은 에스트로겐(여성호르몬) 활성, 폐경기 여성의 골다공증 예방 및 치료에 효과가 있다고 보고되었고 가슴이 커질 수 있지만, 동물실험 결과 적혈구와 백혈구 감소 및 자궁비대 등의 부작용 확인됨
- 수입된 제품을 섭취한 소비자 중 상당수는 하혈을 하거나 생리가 멎지 않는 부작용 사례 보고됨
- 주요성분: Miroestrol, Isomiroestrol

분석사례

- 가슴발육제: Miroestrol, Isomiroestrol 검출

■ 분석법

1. LC-MS/MS 법

○ 전처리 방법

- 표준액 조제 : Miroestrol → 일정량 취함 → 100% 메탄을 가함
→ 최종 농도(약 20~100 $\mu\text{g}/\text{mL}$)
Isomiroestrol → 일정량 취함 → 100% 메탄을 가함
→ 최종 농도(약 10~50 $\mu\text{g}/\text{mL}$)
 - 검액 조제 : 약 1 g 취함 → 70% 메탄을 가함 → 30분 진탕 → 50 mL 정용
- * 표준액 : Miroestrol, Isomiroestrol

○ Analytical condition of HPLC

- Instrument Shiseido SP3133
- Column Waters XBridge C₁₈ (2.1 mm × 150 mm, 3.5 μm)
- Column Temp. 40°C
- Mobile Phase (A) 0.1% Formic acid in Water
(B) 0.1% Formic acid in Acetonitrile

Time (min)	A (%)	B (%)
0.0	90	10
3.0	90	10
8.0	50	50
12.0	5	95
15.0	5	95
15.1	90	10
20.0	90	10

- Flow Rate 0.25 mL/min
- Inj. Volume 2 μL

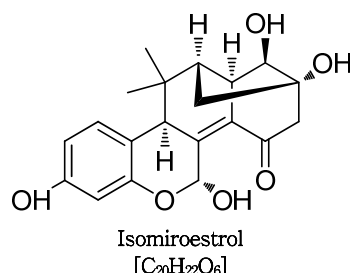
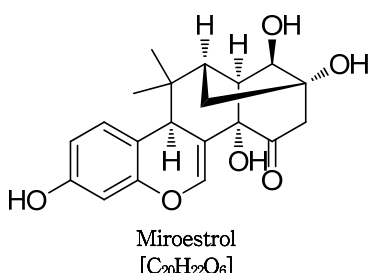
○ Analytical conditions of LC-MS/MS

• Instrument	AB SCIEX Triple Quad 5500
• Ionization Mode	ESI (-)
• Curtain Gas	30 psi
• Collision Gas	9 psi
• Ion Voltage	4500 V
• Ion Source Gas 1	50 psi
• Ion Source Gas 2	50 psi
• Source Temp.	450°C

○ Analyte MS/MS transition

Compound	Ion Mode	Precursor ion (<i>m/z</i>)	CV (V)	Product ion (<i>m/z</i>)	CE (V)	CXP (V)
Miroestrol	-	357.1	150	188.9	44	19
				144.8	44	13
				108.9	40	13
				120.9	46	9
Isomiroestrol	-	357.1	120	108.9	38	7
				297.0	32	9
				120.8	40	9
				269.0	38	21

■ 구조식



2. 유전자 분석법

○ PCR을 위한 주형유전자의 준비

- 유전자추출키트(DNeasy Mini Kit) 이용하여 추출

(재현성 및 검출효율 등을 고려하여 QIAGEN DNA Mini Kits 또는 동등 이상의 제품 사용 가능)

- 검액 조제 : ① 약 100 mg을 취함
② 400 μL 의 Buffer AP1, 4 μL 의 RNase A를 가함
→ Vortex Mixer를 사용하여 균질화 → 65°C incubator에 2시간 방치
③ 130 μL 의 Buffer AP2 가함
→ Vortex Mixer를 사용하여 균질화 → 5분간 ice에 방치
④ 8분간 14,000 rpm에서 원심 분리 → 상층액을 취함
→ IAshredder spin column에 넣고 2분간 14,000 rpm에서 원심 분리
⑤ column을 통과한 액을 새로운 tube에 옮김
→ 이의 1.5배의 Buffer AP3/E를 가하고 균질화
⑥ 650 μL 를 취함
→ DNeasy Mini spin column에 넣고 1분간 8,000 rpm에서 원심 분리
→ 통과한 액을 버림
⑦ ⑥ 반복
⑧ Spin column을 새로운 2 mL collection tube에 넣음
→ 500 μL 의 Buffer AW를 가함
→ 1분간 8,000 rpm에서 원심 분리
→ 통과한 액을 버림
⑨ ⑧번 반복
⑩ Column을 새로운 1.5 mL 또는 2 mL microcentrifuge tube에 옮김
→ 60 μL 의 중류수 가함 → 15분간 실온에서 방치
⑪ 1분간 8,000 rpm에서 원심 분리
→ 통과된 액을 취함
- 농도 확인 : DNA 원액을 TE 완충액(pH 8.0) 또는 멸균증류수로 적절히 희석
→ 분광광도계를 사용하여 260 nm에서 흡광도(Absorbance, A) 측정
→ 그 값이 1일 때 DNA 농도가 50 ng/ μL 인 것으로 하여 계산



- 순도 확인 : 230, 260, 280 nm에서 흡광도를 각각 측정
 - A_{260}/A_{280} 과 A_{260}/A_{230} 이 1.7~2.0일 경우 PCR에 적합한 DNA로 판단
 - ※ 단, 가공식품의 경우 이러한 순도 적용이 어려운 경우가 있으므로 반드시 적용되는 것은 아님
 - ※ A_{260}/A_{280} 이 낮아 단백질 유래 불순물의 혼입이 우려되는 경우
 - 단백질 분해효소(protease)로 처리한 후 DNA 회수
 - ※ A_{260}/A_{230} 이 낮을 경우
 - 전분 분해효소(amylose)로 처리한 후 DNA를 회수하여 PCR에 사용

○ PCR을 위한 프라이머 염기서열

구분	프라이머 명	염기서열(5'-3')	예상 크기 (bp)	비고
태국칡	SFI12-Miri-F	TCT CAC ACG ACA CGT TCT G		
	SFI12-Miri-R	TCT CGT TGA GAG CGT CTC CCC GAA	216	ITS2

○ PCR 반응액 조제

성분	최종농도	Stock용액농도	1회용량	비고
완충액	1×	10×	2.5 μ L	
MgCl ₂	2.5 mM	25 mM	2.5 μ L	
dNTPs	200 μ M	2.5 mM	2 μ L	
프라이머(F)	10 pmole/tube	100 pmole/ μ L	1 μ L	
프라이머(R)	10 pmole/tube	100 pmole/ μ L	1 μ L	
주형DNA	25~50 ng 또는 5 μ L	-	3 μ L	
Taq	2.5 U/tube	5 U/ μ L	0.5 μ L	
증류수	-	-	12.5 μ L	
전체량	-	-	25 μ L	

○ PCR 반응조건

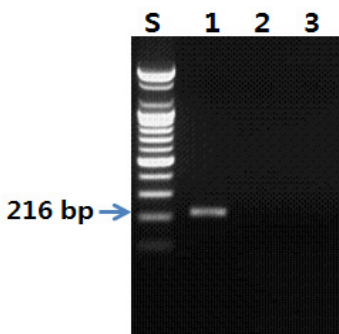
구분	온도	시간	반복 수	비고
초기변성(Initial denaturation)	95°C	5분	1	
변성(Denaturation)	95°C	30초		
결합(Anealing)	65°C	30초	30	
신장(Extension)	72°C	30초		
최종신장(Elongation)	72°C	5분	1	
보존	4°C	-	-	

○ 결과 확인

- 결과 확인 : PCR 반응 후 최종산물의 확인은 반응액 5 μ L를 취함
→ 1.5% SeaKEM LE agarose로 100 V, 30분간 전기영동
→ UV투영기를 이용하여 확인

○ 유전자 증폭산물의 결과 판정

- PCR 산물 확인: 종 특이 프라이머(Species-specific primer)를 사용한 PCR 결과 산물의 생성유무 및 크기를 확인한 후, PCR 산물에 대하여 염기서열을 결정하고 유전자 DB를 이용하여 종 동정을 수행

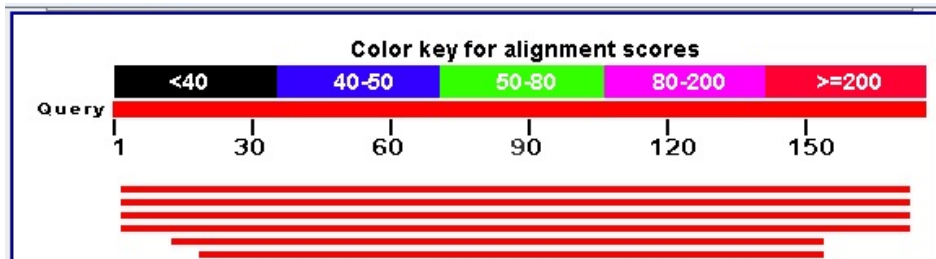


태국칡 프라이머를 이용한 PCR 결과
Lane 1 ; 태국칡(*Pueraria mirifica*), lane 2 ; 국산칡(*Pueraria lobata*), lane 3 ; 태국칡(*Butea superba*)

- 염기서열 분석: 일반 프라이머(universal primer)를 사용한 경우 PCR 산물은 염기서열을 결정하고 NCBI(www.ncbi.nlm.nih.gov) 등 유전자 DB를 사용하여 최종 동정을 실시

① Blast 등의 프로그램을 이용하여 염기서열 입력

② 입력된 자료는 DB내의 염기서열 자료와 비교



③ 염기서열을 분석하여 가장 근접한 종과의 일치도를 나타냄

Description	Max score	Total score	Query cover	E value	Ident	Accession
Pueraria candollei var. mirifica isolate Ref.2 internal transcribed spacer 1, partial sequence, 5.8S ribosomal RNA gene, complete sequence, and internal transcribed spacer 2	272	272	97%	8e-70	95%	KC017872.1
Pueraria candollei var. mirifica isolate Ref.1 internal transcribed spacer 1, partial sequence, 5.8S ribosomal RNA gene, complete sequence, and internal transcribed spacer 2	272	272	97%	8e-70	95%	KC017871.1
Dicranostachys cernua L. 5S ribosomal DNA, rRNA genes, internal transcribed spacer 1, internal transcribed spacer 2, 5.8S ribosomal RNA gene, and 18S ribosomal DNA, partial sequence	267	267	97%	4e-52	94%	J0596463.1

■ 참고문헌

1. Ji Hyun Lee, Jung Yeon Kim, So-Hyun Cho, Ji Hye Jeong, Sooyeul Cho, Hyoung Joon Park, and Sun Young Baek. Determination of Miroestrol and Isomiroestrol From *Pueraria mirifica*(White Kwao Kruea) in Dietary Supplements by LC-MS-MS and LC-Q-Orbitrap/MS. Journal of Chromatographic Science, 2017, Vol. 55, No. 3, 214-221
2. Satoko Shimokawa, Takuya Kumamoto, Tsutomu Ishikawa, Miho Takashi, Yoshihiro Higuchi, Chaiyo Chaichantipyuth and Sunee Chansakaow. Quantitative analysis of miroestrol and kwakhurin for standardisation of Thai miracle herb 'Kwao Keur' (*Pueraria mirifica*) and establishment of simple isolation procedure for highly estrogenic miroestrol and deoxymiroestrol. *Nat Prod Res*, 27(4 - 5), 371 - 378 (2013)
3. Sunee Chansakaow, Tsutomu Ishikawa, Hiroko Seki, Keiko Sekine (née Yoshizawa), Mineaki Okada, and Chaiyo Chaichantipyuth. Identification of Deoxymiroestrol as the Actual Rejuvenating Principle of "Kwao Keur", *Pueraria mirifica*. The Known Miroestrol May Be an Artifact. *J Nat Prod.* 63(2), 173-175 (2010)
4. Yong-Chjun Park, Sang-Wook Jin, Mi-Ra Kim, Kyu-Heon Kim, Jae-Hwang Lee, Tae-Yong Cho, Hwa-Jung Lee, Sang-Jae Lee, and Sang-Bae Han. Detection Method for Identification of *Pueraria mirifica* (Thai kudzu) in Processed Foods. *J Fd Hyg Safety*. 27(4), 466-472 (2012)

III-22 ◀ 프탈레이트(6종) 분석법

배경

- PVC 수액용기 '환경호르몬'에 무방비('05. 5.)
- PVC 의료용품 이용환자, 환경호르몬 일반인의 8배('07. 5.)
- 발암물질 프탈레이트 함유 수액세트 제조 금지('15. 6.)
- 환경호르몬 프탈레이트, 어린이 지능·주의력 떨어뜨려('17. 4.)
- 美시판 가루치즈 마카로니서 환경호르몬 프탈레이트 검출('17. 7.)



특성

- 프탈레이트는 딱딱한 플라스틱을 부드럽게 만들어주는 플라스틱 가소제로 화장품, 장난감, 세제 등 각종 PVC 제품 및 향수의 용매, 가정용 바닥재 등 광범위한 용도로 쓰임
- 환경호르몬의 일종인 프탈레이트는 인체 내분비계 교란을 가져옴
- DEHP, DBP, BBP 등 3종의 프탈레이트계 가소제가 발암성과 변이독성, 재생독성이 있는 물질임
- 프탈레이트류(DEHP, DBP, BBP)는 화장품 중 배합금지 성분임.

분석 사례

- 수액세트 : DEHP 1.40 mg/g 검출

■ 분석법

1. GC/MS 법

○ 전처리 방법

- 표준액 조제 : Dibutyl phthalate 등 6종*

(의료기기류) : → 각각 일정량 취함 → 아세토니트릴:테트라하이드로퓨란(2:1) 가함

→ 혼합액 0.5 mL과 내부표준용액*** 0.5 mL 혼합 → 최종농도(약 5 µg/mL)

(화장품 등) : → 각각 일정량 취함 → 헥산:아세톤(8:2) 가함 → 일정량 취함

→ 내부표준용액 4 mL 가함 → 헥산:아세톤(8:2)으로 10 mL 정용

→ 최종농도(약 25 µg/mL)

- 검액 조제

(의료기기류) : 약 50 mg 유리 삼각플라스크에 취함 → 테트라하이드로퓨란 5 mL 가함

→ 30분간 진탕 → 아세토니트릴 10 mL 가함 → 혼합 후 10분 방치 후 필터

→ 혼합액 0.5 mL과 내부표준용액 0.5 mL 혼합

(화장품 등) : 약 1 g 유리 삼각플라스크에 취함 → 헥산:아세톤(8:2) 10 mL 가함

→ 30분간 진탕 후 원심분리(2,400 rpm, 10분) → 상등액 5 mL을 취함

→ 내부표준용액 4 mL 가함 → 헥산:아세톤(8:2)으로 10 mL 정용

* 전처리 방법에 이용된 모든 초자 기구는 glass 이용

** 표준액 : Dibutyl phthalate(DBP), Benzyl butyl phthalate(BBP), Bis (2-ethylhexyl) adipate(DEHA), Bis (2-ethylhexyl) phthalate(DEHP), Di-n-octyl phthalate(DNOP), Diocetyl terephthalate(DOTP)

*** 내부표준용액 : Benzyl benzoate(BB)

의료기기류 → 아세토니트릴:테트라하이드로퓨란(2:1)에 녹임 → 최종농도(약 1 mg/mL)

화장품 등 → 헥산:아세톤(8:2)에 녹임 → 최종농도(약 1 mg/mL)

○ Analytical conditions of GC

• Instrument	Agilent, 7890A
• Column	Agilent DB-5MS (30 m × 0.25 mm, 0.25 µm)
• Oven Temp.	150°C(3 min) → 10°C/min → 300°C(12 min)
• Inj. Temp.	300°C
• Transfer Line	280°C
• Inj. Mode	Splitless mode (purge to split vent 50 mL/min, 1.5 min)
• Carrier Gas	He, 1 mL/min
• Inj. Volume	1 µL

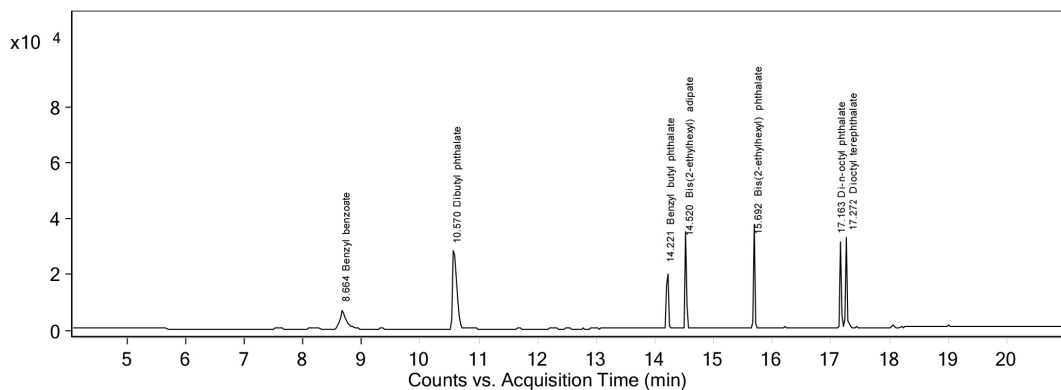
○ Analytical condition of GC-MS : SIM and Scan

• Instrument	Agilent, GC/MSD, 5975C
• Ionization Mode	EI
• Ionization Energy	70 eV
• Source Temp.	230°C
• Quad Temp.	150°C
• Mass Mode	SIM and Scan
• Scan Range	50~500 amu
• SIM Dwell Time	100 ms

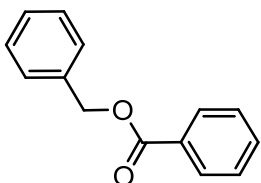
- SIM ions

Compound	Ion (<i>m/z</i>)		
Benzyl benzoate(I.S)	105	212.1	194.1
Dibutyl phthalate	149.1	223	205
Benzyl butyl phthalate	149.1	91	206
Bis (2-ethylhexyl) adipate	129.1	112	147
Bis (2-ethylhexyl) phthalate	149.1	167	279
Di-n-octyl phthalate	149.1	279	261
Diethyl terephthalate	261		

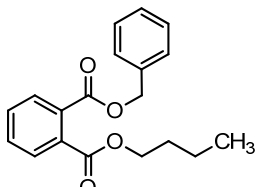
○ Chromatogram



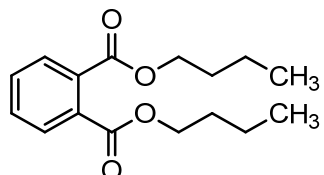
■ 구조식



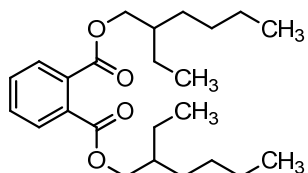
Benzyl benzoate
[C₁₄H₁₂O₂]



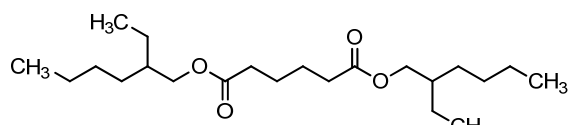
Benzyl butyl phthalate
[C₁₉H₂₀O₄]



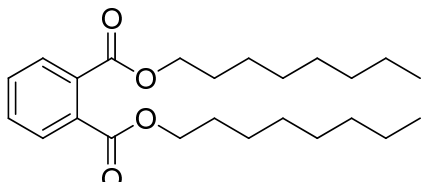
Dibutyl phthalate
[C₁₆H₂₂O₄]



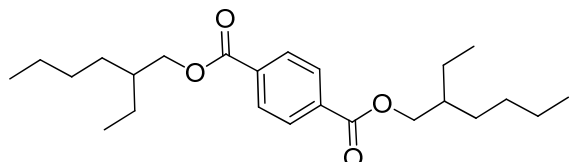
Bis(2-ethylhexyl) phthalate
[C₂₄H₃₈O₄]



Bis(2-ethylhexyl) adipate
[C₂₂H₄₂O₄]



Di-n-octyl phthalate
[C₂₄H₃₈O₄]



Dioctyl terephthalate
[C₂₄H₃₈O₄]

■ 참고문헌

1. 고분자 재료 중의 프탈레이트계 가소제 정량 방법, 산업표준심의회 (2015)
2. 화장품 원료지정에 관한 규정 전부 개정고시, 식품의약품안전처 고시 제2013 - 2호 (2013)
3. Amayreh Mousa, Chanbasha Basheer, Abdul Rahman Al-Arfaj, Determination of phthalate esters in bottled water using dispersive liquid - liquid microextraction coupled with GC - MS, J . Sep. Sci., 36, 2003-2009 (2013)

III-23 ◀ 화장품 중 스테로이드류(43종) 분석법

배경

- 주름완화, 여드름 예방 효과가 탁월한 화장품에서 스테로이드 성분 대거 검출('13. 9.)
- 스테로이드 성분이 포함된 아토피크림을 생약성분의 천연아토피 크림이라고 허위·과대 광고하여 판매한 판매업자 적발('15. 6.)



특성

- 스테로이드
 - 스테로이드 핵인 cyclopentanoperhydrophenanthrene을 갖는 화합물군의 총칭
 - 당질 코르티코이드류는 코르티손, 코르티솔 코르티코스테론 등이 포함한 부신피질에서 합성분비되는 스테로이드 호르몬
 - 지금까지 개발된 물질 중 가장 강력한 항염증제로 아토피나 건선습진과 같은 피부질환 등 여러 가지 질병치료제로 쓰임
 - 피부에 장기 도포할 경우 모낭염, 혈관확장, 피부 피사 등 부작용이 나타날 수 있음

분석 사례

- 아토피 크림: Betamethasone dipropionate 835 µg/g 검출
- 화장품: Betamethasone 29.2~331 µg/g 검출
Clobetasol propionate 66.0~119 µg/g 검출
Triamcinolone acetonide 15.2~28.6 µg/g 검출

■ 분석법

1. LC-MS/MS 법

○ 전처리 방법

- 표준액 조제 : Prednisolone 등 43종*

→ 각각 일정량 취함 → 내부표준물질 250 μL 가함

→ 100% 메탄올 가함 → 최종 농도(약 1 μg/mL)

- 검액 조제 : 약 1 g 취함 → 내부표준물질 250 μL 가함

→ 0.1% 포름산 1 mL 가함 → 100% 메탄올 가함 → 30분 진탕

→ 10 mL 정용 → 원심분리(2,500 rpm, 10분) → 상층액 4 mL 취함

→ 0.1% 포름산 80% 메탄올 가함 → 20 mL 정용

* 표준액 : Prednisolone, Hydrocortisone, Betamethasone, Dexamethasone, Prednisone 21-acetate, Cortisone 21-acetate, Prednisolone 21-acetate, Hydrocortisone 21-acetate, Hydrocortisone 17-acetate, Beclomethasone, Budesonide, Betamethasone 21-acetate, Dexamethasone 21-acetate, Triamcinolone acetonide, Methylprednisolone, Hydrocortisone 17-valerate, Hydrocortisone 21-valerate, Beclomethasone 21-acetate, Beclomethasone 21-propionate, Beclomethasone 17-propionate, Clobetasol 17-propionate, Betamethasone 17-valerate, Betamethasone 21-valerate, Triamcinolone diacetate, Dexamethasone 21-hemisuccinate, Fluticasone propionate, Betamethasone 21-hemisuccinate, Betamethasone 17,21-dipropionate, Prednisone, 6a-Methylprednisolone, Beclomethasone 21-hemisuccinate, Beclomethasone 17,21-dipropionate, Amcinonide, Fludrocortisone acetate, Fluticasone furoate, Clobetasone butyrate, Fluocinolone acetonide, Dichlorisone acetate, 6a-Methylprednisolone aceponate, Flurandrenolide, Hydrocortisone 17-butylrate, Hydrocortisone 21-hemisuccinate, Mometasone furoate

* 내부 표준액 : Triamcinolone-6-d₁ acetonide-d₆ (100% 메탄올에 녹임, 최종농도 200 μg/mL)

○ Analytical conditions of HPLC

• Instrument	UPLC Waters ACQUITY UPLC
• Column	Waters ACQUITY UPLC BEH C ₁₈ (2.1 mm × 100 mm, 1.8 μm)
• Column Temp.	35°C
• Mobile Phase	A: 0.1% Formic acid in Water B: 0.1% Formic acid in Acetonitrile

Time (min)	A (%)	B (%)
0.0	80	20
3.0	80	20
13.0	40	60
17.0	0	100
22.0	0	100
22.1	80	20
25.0	80	20

• Flow Rate 0.25 mL/min

• Inj. Volume 3 μL

○ Analytical conditions of LC-MS/MS

• Instrument	Waters Xevo TQ
• Ionization Mode	ESI (+)
• Capillary Voltage	2.7 kV
• Desolvation Temp.	500°C
• Desolvation Gas Flow	400 L/Hr (N ₂)
• Cone Gas Flow	60 L/Hr (N ₂)

○ Analyte MS/MS transition

Compound	Ion mode	Precursor ion (m/z)	CV (v)	Product Ion (m/z)	CE (eV)
Prednisone	+	359.40	20	146.90	20
				170.92	25
				265.03	15
Prednisolone	+	361.44	15	307.07	10
				325.09	10
				343.09	10
Hydrocortisone	+	363.45	25	120.85	25
				309.07	15
				327.07	15
6α-Methylprednisolone	+	375.46	15	321.10	13
				339.10	10
				357.10	10
Betamethasone	+	393.46	20	279.05	20
				355.10	10
				373.08	10
Dexamethasone	+	393.20	15	237.00	15
				355.11	10
				373.12	10
Prednisone 21-acetate	+	401.45	18	313.05	15
				341.05	10
				383.06	10
Prednisolone 21-acetate	+	403.48	15	307.04	15
				325.10	10
				385.10	10

Compound	Ion mode	Precursor ion (<i>m/z</i>)	CV (V)	Product Ion (<i>m/z</i>)	CE (eV)
Cortisone 21-acetate	+	403.48	30	162.90	25
				325.10	20
				343.10	20
Hydrocortisone 21-acetate	+	405.50	25	241.00	20
				309.10	15
				327.05	15
Hydrocortisone 17-acetate	+	405.50	25	309.10	15
				327.05	15
				345.10	15
Beclomethasone	+	409.43	20	279.05	20
				373.10	10
				391.05	10
Fludrocortisone acetate	+	423.46	25	239.00	25
				325.10	20
				343.05	20
Budesonide	+	431.50	20	323.05	16
				395.10	10
				413.10	10
Hydrocortisone 17-butyrate	+	433.50	25	309.05	20
				327.10	15
				345.10	15
Betamethasone 21-acetate	+	435.45	15	237.00	20
				279.10	15
				397.10	10
Dexamethasone 21-acetate	+	435.45	15	237.00	20
				309.05	15
				397.10	10
Triamcinolone acetonide	+	435.45	20	339.10	15
				397.10	15
				415.10	15
Flurandrenolide	+	437.50	30	225.00	25
				341.10	20
				361.10	20

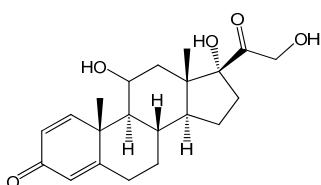
Compound	Ion mode	Precursor ion (<i>m/z</i>)	CV (V)	Product Ion (<i>m/z</i>)	CE (eV)
Triamcinolone-6-d ₁ acetonide-d ₆ (I.S.)	+	442.30	15	340.17 404.30 422.25	15 15 15
Hydrocortisone 21-valerate	+	447.50	25	309.10 327.10 345.10	20 20 20
Hydrocortisone 17-valerate	+	447.50	25	120.85 309.10 345.10	25 20 15
Beclomethasone 21-acetate	+	451.45	20	319.05 397.10 433.10	15 10 10
Fluocinolone acetonide	+	453.45	20	337.05 413.10 433.10	15 10 10
Dichlorisone acetate	+	455.09	15	237.00 305.05 419.05	20 15 10
Hydrocortisone 21-hemisuccinate	+	463.50	25	309.05 327.05 445.10	15 15 10
Beclomethasone 21-propionate	+	465.45	15	319.05 411.10 447.10	20 10 10
Beclomethasone 17-propionate	+	465.45	15	337.10 355.10 447.10	15 10 10
Clobetasol 17-propionate	+	467.45	15	355.10 373.05 447.10	15 10 10
6α-Methylprednisolone aceponate	+	473.52	15	303.10 381.10 455.10	15 10 10

Compound	Ion mode	Precursor ion (<i>m/z</i>)	CV (V)	Product Ion (<i>m/z</i>)	CE (eV)
Betamethasone 21-valerate	+	477.52	15	279.07	15
				355.10	10
				457.15	10
Betamethasone 17-valerate	+	477.52	15	279.07	15
				355.10	10
				457.15	10
Clobetasone butyrate	+	479.45	25	279.07	15
				343.10	15
				371.05	15
Triamcinolone diacetate	+	479.45	15	399.10	15
				441.10	10
				459.10	10
Dexamethasone 21-hemisuccinate	+	493.50	15	319.05	15
				337.05	15
				455.10	10
Betamethasone 21-hemisuccinate	+	493.50	15	319.05	15
				455.10	10
				475.15	10
Diflorasone diacetate	+	495.50	20	279.05	15
				317.05	15
				335.05	15
Fluticasone propionate	+	501.45	15	275.05	25
				293.05	15
				313.05	15
Amcinonide	+	503.52	15	339.05	15
				399.10	10
				483.15	10
Betamethasone 17,21-dipropionate	+	505.54	15	355.10	15
				411.15	10
				485.15	10
Beclomethasone 21-hemisuccinate	+	509.45	15	319.10	15
				437.10	10
				491.10	10

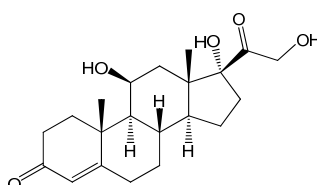
Compound	Ion mode	Precursor ion (<i>m/z</i>)	CV (V)	Product Ion (<i>m/z</i>)	CE (eV)
Mometasone furoate	+	521.42	15	279.10	20
				355.05	15
				503.05	10
Beclomethasone 17,21-dipropionate	+	521.42	15	319.10	15
				429.10	10
				503.15	10
Fluticasone furoate	+	539.45	15	204.90	20
				265.00	20
				275.00	20

- I.S: Internal Standard

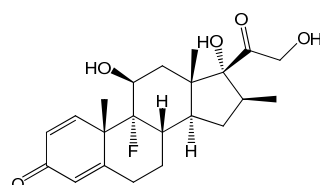
■ 구조식



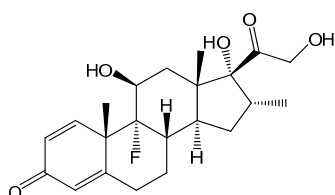
Prednisolone
[C₂₁H₂₈O₅]



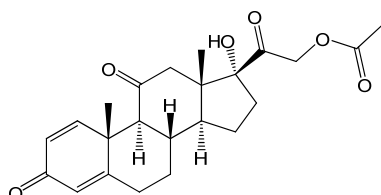
Hydrocortisone
[C₂₁H₂₈O₅]



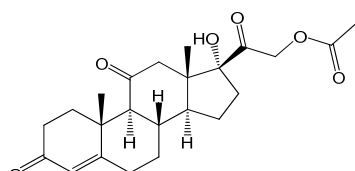
Betamethasone
[C₂₂H₂₉FO₅]



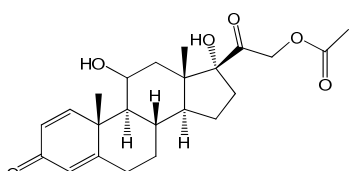
Dexamethasone
[C₂₂H₂₉FO₅]



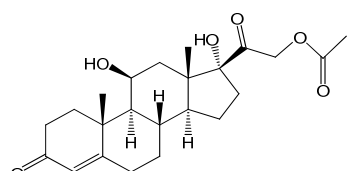
Prednisone-21-acetate
[C₂₃H₂₈O₆]



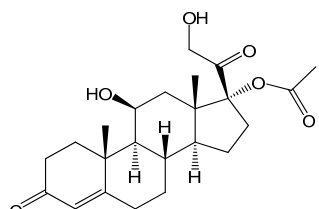
Cortisone-21-acetate
[C₂₃H₃₀O₆]



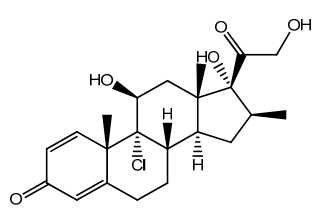
Prednisolone-21-acetate
[C₂₃H₃₀O₆]



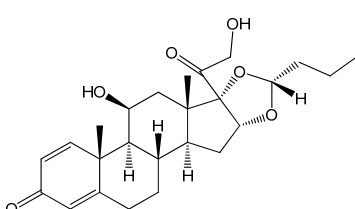
Hydrocortisone-21-acetate
[C₂₃H₃₂O₆]



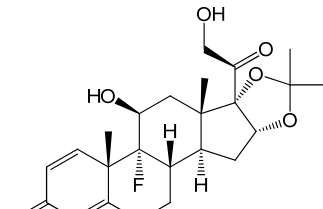
Hydrocortisone-17-acetate
[C₂₃H₃₂O₆]



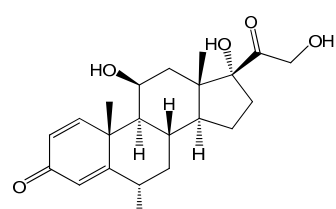
Beclomethasone
[C₂₂H₂₉ClO₅]



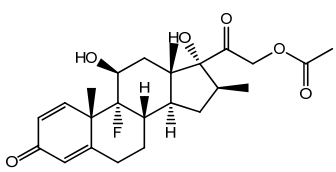
Budesonide
[C₂₅H₃₄O₆]



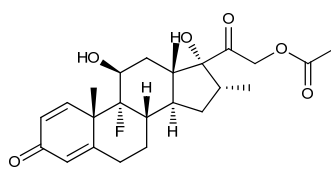
Triamcinolone acetonide
[C₂₄H₃₁FO₆]



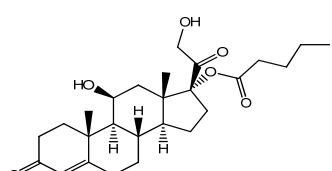
6 α -Methylprednisolone
[C₂₂H₃₀O₅]



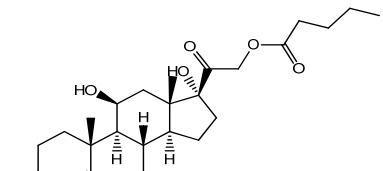
Betamethasone 21-acetate
[C₂₄H₃₁FO₆]



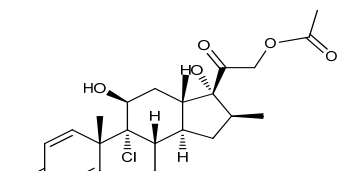
Dexamethasone 21-acetate
[C₂₄H₃₁FO₆]



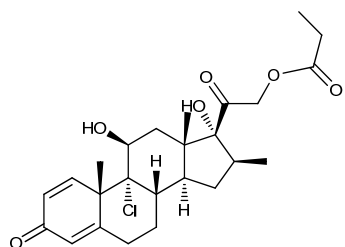
Hydrocortisone 17-valerate
[C₂₆H₃₈O₆]



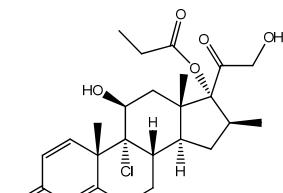
Hydrocortisone 21-valerate
[C₂₆H₃₈O₆]



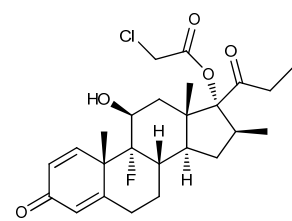
Beclomethasone 21-acetate
[C₂₄H₃₁ClO₆]



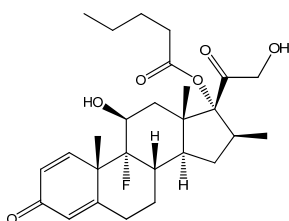
Beclomethasone 21-propionate
[C₂₅H₃₃ClO₆]



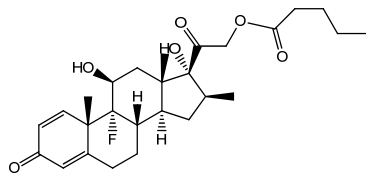
Beclomethasone 17-propionate
[C₂₅H₃₃ClO₆]



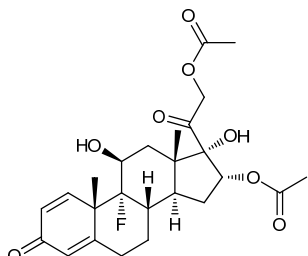
Clobetasol 17-propionate
[C₂₅H₃₂ClFO₅]



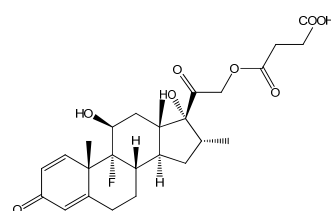
Betamethasone 17-valerate
[C₂₇H₃₇FO₆]



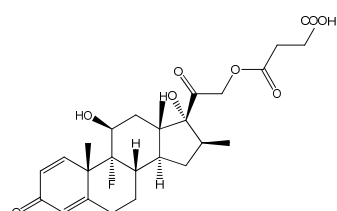
Betamethasone 21-valerate
[C₂₇H₃₇FO₆]



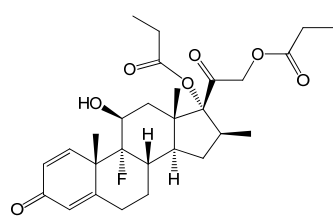
Triamcinolone diacetate
[C₂₅H₃₁FO₈]



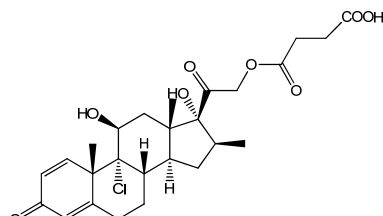
Dexamethasone 21-hemisuccinate
[C₂₆H₃₃FO₈]



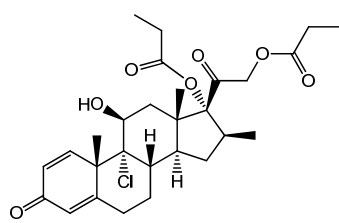
Betamethasone 21-hemisuccinate
[C₂₆H₃₃FO₈]



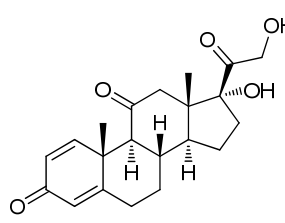
Betamethasone 17,21-dipropionate
[C₂₈H₃₇FO₇]



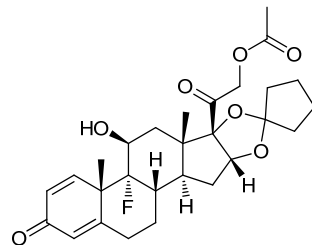
Beclomethasone 21-hemisuccinate
[C₂₆H₃₃ClFO₈]



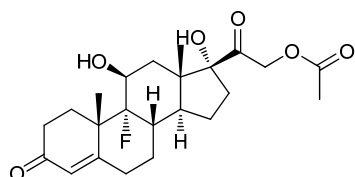
Beclomethasone 17,21-dipropionate
[C₂₈H₃₇ClO₇]



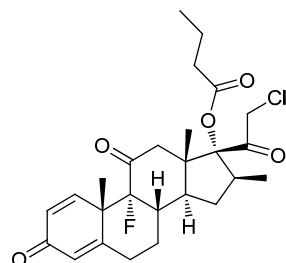
Prednisone
[C₂₁H₂₆O₅]



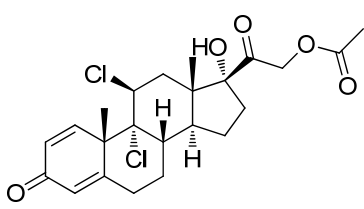
Amcinonide
[C₂₈H₃₅FO₇]



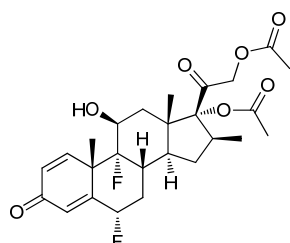
Fludrocortisone acetate
[C₂₃H₃₁FO₆]



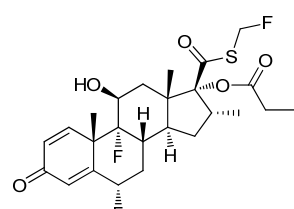
Clobetasone butyrate
[C₂₅H₃₂ClFO₅]



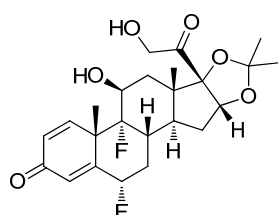
Dichlorisone acetate
[C₂₃H₂₈Cl₂O₅]



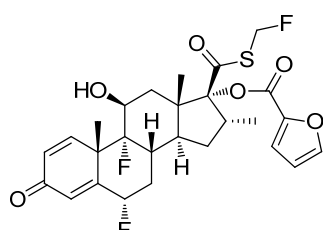
Diflorasone diacetate
[C₂₈H₃₂F₂O₇]



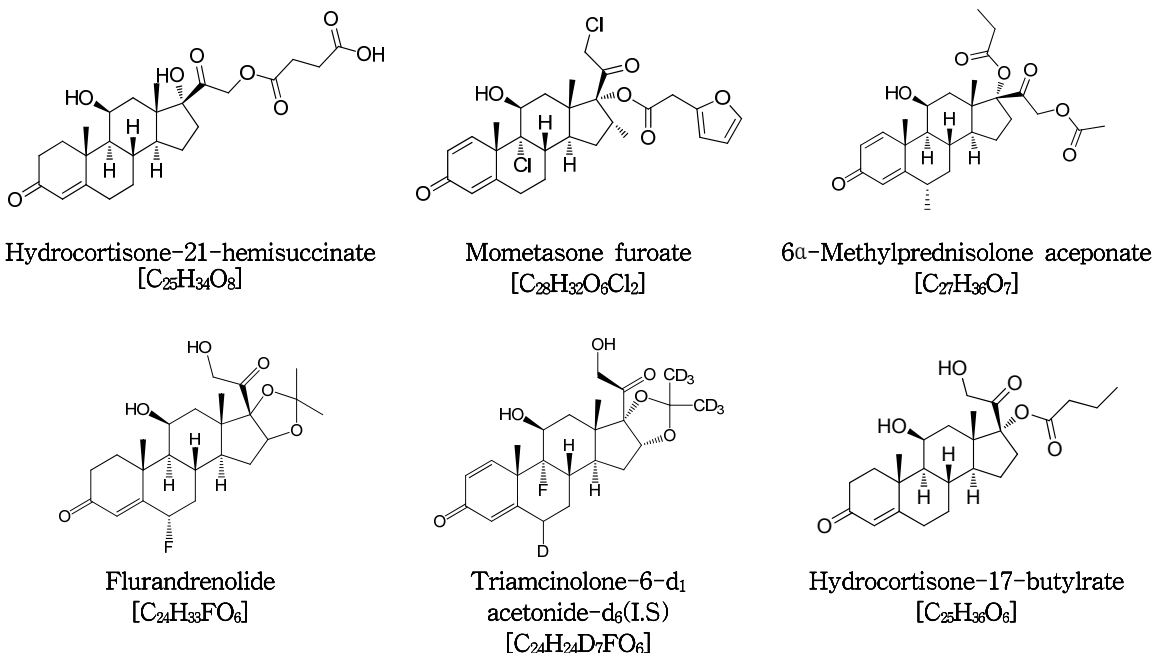
Fluticasone propionate
[C₂₅H₃₁F₃O₅S]



Fluocinolone acetonide
[C₂₄H₃₀F₂O₆]



Fluticasone furoate
[C₂₇H₂₉F₃O₆S]



■ 참고문헌

1. Nam Sook Kim, Geum Joo Yoo, Ji Hyun Lee, Hyong-Joom Park, Sooyeul Cho, Dong Woo Shin, Younglim Kim and Sun Young Baek. Determination of 43 prohibited glucocorticoids in cosmetic products using a simultaneous LC-MS/MS method. *Analytical Methods*. DOI:10.1039/c6ay03065c
2. Jessica Fiori, Vincenza Andrisano. LC-MS method for the simultaneous determination of six glucocorticoids in pharmaceutical formulations and counterfeit cosmetic products. *J Pharm. Bio Anal* 91, 185-192 (2014)
3. So Hyun Cho, Hyoung Joon Park, Ji Hyun Lee, Hyung Joo Kim, Soo yeul Cho, Chang-Yong Yoon, Woo Seong Kim. Monitoring of 35 illegally added steroid compounds in foods and dietary supplements. *Food Additives & Contaminants: Part A* 31(9), 1470-1475 (2014)
4. Cai Sheng Wu, Ying Jin, Jin-Lan Zhang, Yan Ren, Zhi-Xin Jia. Simultaneous determination of seven prohibited substances in cosmetic products by liquid chromatography-tandem mass spectrometry. *Chinese Chemical Letters* 24,509-511 (2013)

III-24 ◀ HEDP성분 분석법

■ 배경

- 보일러 청관제가 함유된 스팀을 식품에 직접 접촉하는 방법으로 당류를 제조한 업체에 대한 민원이 접수된 사례 있음
- 재발방지를 위해 청관제와 유사한 용도로 사용되는 수처리제에 대한 사용기준설정해야 할 실정이며, 이에 대한 분석법을 확립하여 지속적인 안전관리가 필요
- 미국 연방규정집(CFR)에서는 등재된 물질의 경우 식품 기계·기구의 유통 목적으로 사용할 수 있도록 규정함



■ 특성

- 금속이온 봉쇄제, 퀼레이트제로 광물성 이온들을 제거하여 내용물의 안정화를 기여하는 물질로서는 염모제의 산화제, 청관제 등에 주로 사용
- 치석예방과 항균작용에 탁월한 치약과 화장품에 첨가될 뿐만 아니라 골다공증증, 골 파제트병 등의 뼈조직에 치명적인 증상을 막는 의약품으로도 사용.

■ 분석법

1. LC-MS/MS법

○ 전처리 방법

- 표준액 조제 : HEDP 20 mg 취함 → 물 20 mL 가함 → 이액 중 1 mL 취함
→ 물 50 mL 가함 → 이액 중 25 mL 취함
→ <유도체화 전처리 방법>에 따름
- 검액 조제 : 약 1 g 취함 → 물을 가해 1,000배 희석 → 이액 중 3 mL 취함
→ 물 1 mL 가함 → 이액 중 25 μ L 취함
→ <유도체화 전처리 방법>에 따름
 - ① Acetic acid 1 mL 가함
 - ② Trimethyl orthoacetate(TMOA) 4 mL 가함
 - ③ 진탕(10초)
 - ④ 100°C, 30분(Heating block)
 - ⑤ Cooling(얼음물 5분)
 - ⑥ 상온 5분 방치
 - ⑦ Formic acid 1 mL 가함
 - ⑧ Water 3 mL 가함
 - ⑨ Methyl tert-butyl ether(MTBE) 8 mL 가함
 - ⑩ 진탕(10초)
 - ⑪ 원심분리(32,000 rpm, 5분)
 - ⑫ 유기층 취함
 - ⑬ ⑧ ~ ⑫ 2회 반복
 - ⑭ 감압농축
 - ⑮ 50% MeOH를 1 mL로 녹임

* HEDP [Etidronic acid, 1-hydroxyethylidene-1,1-diphosphonic acid]

○ Analytical condition of HPLC

- Instrument Shiseido SP
- Column Shiseido MG II C₁₈ (2.0 mm × 100 mm, 3.0 μm)
- Column Temp. 50°C
- Mobile Phase
 - (A) 5 mM Ammonium acetate buffer(pH 3.8)
 - (B) 0.1% Formic acid in Acetonitrile

Time (min)	A (%)	B (%)
0.0	90	10
2.0	90	10
6.0	80	20
6.1	0	100
8.0	0	100
8.1	90	10
10.0	90	10

- Flow Rate 0.3 mL/min
- Inj. Volume 1 μL

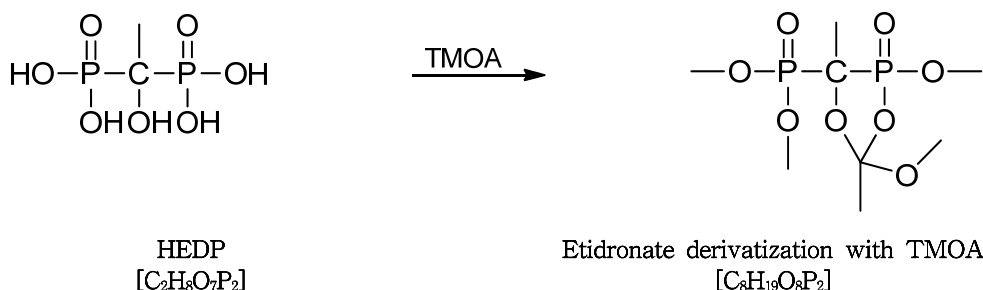
○ Analytical conditions of LC-MS/MS

- Instrument AB SCIEX Triple Quad 5500
- Ionization Mode ESI (+)
- Curtain Gas 30 psi
- Collision Gas 8 psi
- Ion Voltage 5500 V
- Ion Source Gas 1 70 psi
- Ion Source Gas 2 20 psi
- Source Temp. 550°C

○ Analyte MS/MS transition

Compound	Ion Mode	Precursor Ion (<i>m/z</i>)	CV (V)	Product Ion (<i>m/z</i>)	CE (V)	CXP (V)
HEDP	+	305.2	55	137.1 152.9	35 35	45 45

■ 구조식



* TMOA [Trimethyl orthoacetate], Etidronate [A salt of etidronic acid]

■ 참고문헌

1. Mahmoud Hasan, Gitta Schumacher, Anne Seekamp, Tobias Teadken, Werner Siegmund, Stefan Oswald. Journal of Pharmaceutical and Biomedical Analysis. 314-347(2014)
2. Isabela Tarcomnicu, Luigi Silvedrstro, Simona Rizea Savu, Adriana Gherase, Constanta Dulea. Journal of Chromatography A. 1160 (2007) 21-33

고지혈증치료제 9

- 1 Pitavastatin calcium
- 2 Benfluorex
- 3 D-Thyroxine
- 4 Cerivastatinodiumsalthydrate
- 5 Triparanol
- 6 Rosuvastatin calcium
- 7 Lomitapide
- 8 Clofibrate acid
- 9 Bezafibrate
- 10 Ezetimibe
- 11 Etofibrate
- 12 Ciprofibrate
- 13 Atorvastatin calcium salt trihydrate
- 14 Fenofibricacid
- 15 Lapaquistat acetate
- 16 Gemfibrozil
- 17 Fenofibrate
- 18 Anacetrapib
- 19 Pravastatin sodium salt hydrate
- 20 Fluvastatin sodium
- 21 Mevastatin
- 22 Lovastatin
- 23 Simvastatin
- 24 Lovastatin hydroxy acid sodium salt
- 25 simvastatin hydroxy acid ammonium salt

등칡 21

- 26 Aristolochic acid A
- 27 Aristolochic acid B
- 28 Aristolochic acid C
- 29 Aristolochic acid D

만병초 25

- 30 Grayanotoxin I
- 31 Grayanotoxin III
- 32 Rhodioloside

부테아 스테르바 29

- 33 Butesuperin A
- 34 Butesuperin B

알러지질환 항히스타민제 36

- 35 Dimenhydrinate
- 36 Desloratadine
- 37 Chlorpheniramine maleate
- 38 Brompheniramine maleate
- 39 Triprolidine hydrochloride
- 40 Astemizole
- 41 Ketotifen fumarate salt
- 42 Epinastine hydrochloride
- 43 Olopatadine hydrochloride
- 44 Diphenhydramine hydrochloride
- 45 Acrivastine
- 46 Promethazine hydrochloride
- 47 Azelastine hydrochloride
- 48 Cyroheptadine hydrochloride sesquihydrate
- 49 Hydroxyzine hydrochloride
- 50 Fexofenadine hydrochloride
- 51 Loratadine
- 52 Cetirizine hydrochloride
- 53 Levocetirizine dihydrochloride
- 54 Clemastine fumarate salt
- 55 Terfenadine
- 56 Ebastine
- 57 Azatadine
- 58 Dimetindene
- 59 Tripeleannamine
- 60 Rupatadine
- 61 Carbinoxamine
- 62 Dexbrompheniramine
- 63 Mizolastine
- 64 Cyclizine
- 65 Diphenylpyramine
- 66 Pimethixene
- 67 Oxatomide
- 68 Mequitazine
- 69 Thiethylperazine
- 70 Deptropine

화장품[립스틱류] 중 타르색소 56

- 71 Pyranine conc
- 72 Tartrazine

화장품[립스틱류] 중 타르색소 56

- 73 Amaranth
- 74 Indigo carmine
- 75 New coccine
- 76 Naphthol yellow S
- 77 Sunset yellow FCF
- 78 Fast acid magenta
- 79 Allura red AC
- 80 Uranine
- 81 Ponceau SX
- 82 Brilliant blue FCF
- 83 Eosine YS
- 84 Orange II
- 85 Alizurol purple
- 86 Tetrabromofluorescein
- 87 Tetrachlorotetrabromofluorescein
- 88 Quinoline yellow SS
- 89 Alizurine purple SS
- 90 Sudan III
- 91 Quinizarine green SS

국소마취관련성분 67

- 92 Menthol
- 93 2-Phenoxyethanol
- 94 Eugenol
- 95 Ethyl 3-aminobenzoate methanesulfonate
- 96 Benzocaine
- 97 Tiletamine hydrochloride
- 98 Prilocaine hydrochloride
- 99 Lidocaine
- 100 Procaine hydrochloride
- 101 Mepivacaine hydrochloride
- 102 Ropivacaine
- 103 Tetracaine hydrochloride
- 104 Bupivacaine hydrochloride
- 105 Proparacaine hydrochloride

단백동화스테로이드 72

- 106 1-Androstenedione
- 107 19-Norandrostenedione

단백동화스테로이드 72

- 108 Bolasterone
- 109 Boldenone
- 110 Boldione
- 111 Calusterone
- 112 Clostebol
- 113 Fluoxymesterone
- 114 Metenolone
- 115 Methylnortestosterone
- 116 Mibolerone
- 117 Nandrolone
- 118 Norbolethone
- 119 Norclostebol
- 120 Norethandrolone
- 121 Oral-turinabol(M)
- 122 Nandrolone(M1)
- 123 Nandrolone(M2)
- 124 Methandienone(M)
- 125 Boldenone(M)
- 126 Danazol(M)
- 127 Formebolone(M)
- 128 Nandrolone decanoate
- 129 Testosterone
- 130 Testosterone-17-valerate
- 131 Testosterone-17-propionate
- 132 Methandrostenolone
- 133 Drostanolone propionate

마약류 80

- 134 Dihydrocodeine bitartrate
- 135 Ephedrine hydrochloride
- 136 Amphetamine
- 137 Phendimetrazine tartrate
- 138 Phentermine hydrochloride
- 139 α -Pyrrolidinopentithiophenone
- 140 Methylphenidate hydrochloride
- 141 5-Meo-Dipt hydrochloride
- 142 Mazindol
- 143 Bromazepam
- 144 Fentanyl citrate
- 145 Flurazepam hydrochloride

마약류 80

- 146 AM2233
 147 Estazolam
 148 Lorazepam
 149 Methaqualone
 150 Flunitrazepam
 151 Clobazam
 152 Diazepam
 153 Codeine phosphate hydrate
 154 MDMA hydrochloride
 155 Ketamine hydrochloride
 156 Cocaine hydrochloride
 157 2C-I hydrochloride
 158 Pentazocine
 159 Fenfluramine hydrochloride
 160 Modafinil
 161 Sufentanyl citrate
 162 Triazolam
 163 Temazepam
 164 Alprazolam
 165 AM2201
 166 A-834735
 167 JWH250
 168 JWH073
 169 XLR11
 170 JWH018
 171 JWH081
 172 JWH122
 173 JWH019
 174 Tetrahydrocannabinol
 175 APINAC

발기부전치료제와 그 유사성분 97

- 184 epi-Aminotadalafil
 185 Benzylsildenafil
 186 Mutaprodenafil
 187 Mirodenafil
 188 Thiosildenafil
 189 Dimethylthiosildenafil
 190 Propoxyphenylthiomosildenafil
 191 cis-Cyclopentyltadalafil
 192 Nitrodenafil
 193 Norneosildenafil
 194 Vardenafil hydrochloride
 195 Carbodenafil
 196 Dimethylacetildenafil
 197 Avanafil
 198 Sildenafil citrate salt
 199 Homosildenafil
 200 Dimethylsildenafil
 201 Udenafil
 202 Cyclopentynafil
 203 Dioxohongdenafil
 204 Tadalafil
 205 Xanthoanthrafil
 206 Pseudovardenafil
 207 Propoxyphenylthiohydroxyhomosildenafil
 208 Gendenafil
 209 Chloropretadalafil
 210 Thioquinapiperifil
 211 Desmethylcarbodenafil
 212 Norneovardenafil
 213 Piperidinothiogdenafil
 214 Methylhydroxyhomosildenafil
 215 Hydroxythiovardenafil
 216 Desulfovardenafil
 217 Cinnamyldenafil
 218 trans-Tadalafil
 219 Hydroxythiomosildenafil
 220 Dithiodesmethylcarbodenafil
 221 Propoxyphenylthioalidenafil
 222 Dithiopropylcarbodenafil
 223 Chlorodenafil

발기부전치료제와 그 유사성분 97

- 176 Acetylvardenafil
 177 Hydroxyvardenafil
 178 N-Desethylacetildenafil
 179 Hydroxyhongdenafil
 180 Hongdenafil
 181 Lodenafilcarbonate
 182 Sildenafil Impurity A
 183 Aminotadalafil

발기부전치료제와 그 유사성분 97

- 224 Octylnortadalafil
 225 Yohimbine
 226 Pyrazole N-desmethylsildenafil
 227 Demethylhongdenafil
 228 Oxohongdenafil
 229 Icariin
 230 Hydroxyhomosildenafil
 231 Acetaminotadalafil
 232 Demethyltadalafil
 233 Diethylaminopretadalafil
 234 2-Hydroxypropylnortadalafil
 235 Acetyl acid
 236 Thiohomosildenafil
 237 Propoxyphenylthiosildenafil
 238 Hydroxychlorodenafil
 239 N-butyltadalafil
 240 trans-Cyclopentyltadalafil
 241 Imidazosagatriazinone
 242 Dichlorodenafil
 243 Desmethylpiperazinylsildenafil
 244 N-Desethylvardenafil
 245 Papaverine hydrochloride
 246 Tadalafil impurity A
 247 Descarbonsildenafil
 248 N-Desmethylsildenafil
 249 Apixaban
 250 Propoxyphenylsildenafil
 251 Sildenafil coupled
 252 Dapoxetine hydrochloride
 253 Tadalafil impurity C
 254 Homotadalafil
 255 Isopropylnortadalafil
 256 Bisprenortadalafil
 257 5-Chloroimidazosagatriazinone

체중감량성분_비만치료관련성분 .. 129

- 258 Atenolol
 135 Ephedrine hydrochloride
 259 β -Methylphenethylamine
 137 Phendimetrazine tartrate

- 260 Diethylpropion hydrochloride
 138 Phentermine hydrochloride
 261 Clenbuterol
 262 Phenobarbital
 263 Bupropion hydrochloride
 264 Propranolol hydrochloride
 265 Bisacodyl
 266 Liothyronine
 267 Phenolphthalein
 268 Didesmethylsibutramine
 269 Flouxetine hydrochloride
 270 Sibutramine hydrochloride
 271 Chlorosipentramine
 272 Rimonabant
 273 Orlistat
 274 2-Phenethylamine hydrochloride
 275 Pseudoephedrine hydrochloride
 276 Captopril
 277 Sennoside B
 278 Sennoside A
 279 Lorcaserine hydrochloride
 142 Mazindol
 159 Fenfluramine hydrochloride
 160 Modafinil
 280 Phenytoin sodium
 281 Paroxetine hydrochloride
 282 Levothyroxine
 283 Desmethylsibutramine hydrochloride salt
 284 Sertraline hydrochloride
 285 Benzylsibutramine hydrochloride
 286 Chlorosibutramine

수면유도제 143

- 287 Zolpidem
 262 Phenobarbital
 288 Midazolam
 289 Flurazepam
 44 Diphenhydramine hydrochloride
 290 Pentobarbital
 291 Hexobarbital
 147 Estazolam

수면유도제 143

- 150 Flunitrazepam
 148 Lorazepam
 162 Triazolam
 163 Temazepam
 164 Alprazolam
 292 Clonazepam
 293 Clemastine

진통관련성분 151

- 294 Acetaminophen
 295 4-Dimethylaminoantipyrine
 296 Phenacetin
 297 Carbamazepine
 298 Sulindac
 299 Ketorolac
 300 Naproxen sodium
 301 Flurbiprofen
 302 Indomethacin
 303 Ibuprofen
 304 Meclofenamate sodium
 305 4-Aminoantipyrine
 306 Dipyrone
 307 Aspirin
 308 Piroxicam
 309 4-Isopropylantipyrine
 310 Ketoprofen
 311 Meloxicam
 312 Fenoprofen calcium
 313 Diclofenac sodium
 314 Celecoxib
 315 Mefenamic acid

갱년기치료관련성분 162

- 322 Norethisterone acetate
 323 Medroxyprogesterone acetate
 324 Raloxifene hydrochloride

고혈압치료관련성분 166

- 325 Cartelol hydrochloride
 326 Nadolol
 327 Pindolol
 328 Terazosin hydrochloride
 329 Prazosin hydrochloride
 330 Celiprolol
 264 Propranolol hydrochloride
 331 Doxazosin mesylate
 332 Telmisartan
 333 Olmesartan medoxomil
 334 Losartan potassium
 335 (±)-Penbutolol hydrochloride
 336 Nifedipine
 337 Lercanidipine hydrochloride
 338 Isradipine
 339 Nisoldipine
 340 Candesartan cilexetil
 258 Atenolol
 341 Clonidine hydrochloride
 342 Minoxidil
 343 Acebutolol hydrochloride
 344 (±)-Metoprolol (+)-tartrate salt
 345 Phentolamine mesylate
 346 Betaxolol hydrochloride
 347 Diltiazem hydrochloride
 348 Benazepril hydrochloride
 349 Carvedilol
 350 Irbesartan
 351 Amlodipine besylate
 352 Verapamil hydrochloride
 353 Valsaltan
 354 Nitrendipine
 355 Nilvadipine
 356 Felodipine

갱년기치료관련성분 162

- 316 Estrone
 317 β -Estradiol
 318 β -Estradiol 17-valerate
 319 17 α -Ethynodiol
 320 Estropipate
 321 β -Estradiol 17-cypionate

당뇨병치료제성분 187

- 357 Metformin hydrochloride
 358 Buformin hydrochloride
 359 Vildagliptin
 360 Phenformin hydrochloride
 361 Alogliptin
 362 Rosiglitazone
 363 Sitagliptin phosphate monohydrate
 364 Pioglitazone hydrochloride
 365 Carbutamide
 366 Glymidine
 367 Empagliflozin
 368 Chlorpropamide
 369 Repaglinide
 370 Ipragliflozin
 371 Glipizide
 372 Tolbutamide
 373 Tolazamide
 374 Gliclazide
 375 Canagliflozin
 376 Mitiglinide Calcium
 377 Glibornuride
 378 Glibenclamide
 379 Nateglinide
 380 Glimepiride
 381 Troglitazone
 382 Gliquidone

마 및 천마 198

- 383 Dioscin
 384 Gastrodin

MIT/CMIT 202

- 385 Methylchloroisothiazolinone(CMIT)
 386 Methylisothiazolinone(MIT)

모유분비촉진관련성분 207

- 387 Sulpiride
 388 Metoclopramide hydrochloride
 389 Domperidone

모유분비촉진관련성분 207

- 390 Chlorpromazine hydrochloride
 323 Medroxyprogesterone acetate

발모관련성분 211

- 391 Triaminodil
 342 Minoxidil
 392 Bimatoprost
 393 Alimemazine tartrate
 394 Diphenylcyclopropane
 395 Alfatradiol
 396 Finasteride
 397 Methyltestosterone
 398 Spironolactone
 399 Flutamide
 400 Cyproterone acetate
 401 Dutasteride
 131 Testosterone 17-propionate

부자성분 222

- 402 Aconitine
 403 Mesaconitine
 404 Hypaconitine

비만치료주사제 225

- 405 Phosphatidylinositol
 406 Phosphatidylethanolamine
 407 Phosphatidylserine
 408 Phosphatidylcholine
 409 Sphingomyelin

식물스테롤 229

- 410 Brassicasterol
 411 Campesterol
 412 Stigmasterol
 413 β -sitosterol

스테로이드류 234

- 414 Prednisolone

스테로이드류 234

- 415 Hydrocortisone
 416 Betamethasone
 417 Dexamethasone
 418 Prednisone 21-acetate
 419 Cortisone 21-acetate
 420 Prednisolone-21-acetate
 421 Hydrocortisone 21-acetate
 422 Hydrocortisone 17-acetate
 423 Beclomethasone
 424 Budesonide
 425 Betamethasone 21-acetate
 426 Dexamethasone 21-acetate
 427 Triamcinolone acetonide
 428 6a-Methylprednisolone
 429 Hydrocortisone 17-valerate
 430 Hydrocortisone 21-valerate
 431 Beclomethasone 21-acetate
 432 Beclomethasone-21-propionate
 433 Beclomethasone 17-propionate
 434 Clobetasol 17-propionate
 435 Betamethasone 17-valerate
 436 Betamethasone 21-valerate
 437 Triamcinolone diacetate
 438 Dexamethasone 21-hemisuccinate
 439 Betamethasone 21-hemisuccinate
 440 Betamethasone 17,21-dipropionate
 441 Beclomethasone 21-hemisuccinate
 442 Beclomethasone 17,21-dipropionate
 443 Medroxyprogesterone 17-acetate
 322 Norethisterone acetate
 129 Testosterone
 131 Testosterone 17-propionate
 130 Testosterone 17-valerate
 444 Megesterol acetate
 445 11 α -OH-progesterone-hemisuccinate
 446 6a-Methylprednisolone aceponate
 447 D(-)-norgestrel
 448 Fluticasone furoate
 449 Norethisterone
 450 Prednisone

스테로이드류 234

- 451 Stanozolol C-3
 452 Clobetasone butyrate
 453 Dichlorisone diacetate
 454 Diflorasone diacetate
 455 Fluocinolone acetonide
 456 Flurandrenolide
 457 Hydrocortisone butyrate
 458 Hydrocortisone 21-hemisuccinate
 459 Mometasone furoate
 460 Amcinonide
 461 Fludrocortisone acetate
 462 Fluticasone propionate

여드름치료관련성분 247

- 463 Tetracycline hydrochloride
 464 Dapsone
 465 Clindamycin hydrochloride
 466 6-Hydroxy-1,3-benzoxathiol-2-one
 467 Nadifloxacin
 303 Ibuprofen
 468 Benzoyl peroxide
 469 Triclosan
 470 Bithionol
 471 Isotretinoin
 472 Adapalene

체중감량성분_이뇨관련성분 255

- 473 Acetazolamide
 474 Hydrochlorothiazide
 475 Methazolamide
 476 Hydroflumethiazide
 477 Chlorthalidone
 478 Methylclothiazide
 479 Metolazone
 480 Torsemide
 481 Indapamide
 482 Bendroflumethiazide
 483 Xipamide
 484 Bumetanide

체중감량성분_이뇨관련성분 255

- 485 Ethacrynicacid
 486 Chlorothiazide
 487 Amiloride hydrochloride
 488 Triamterene
 489 Trichlormethiazide
 490 Furosemide
 491 Eplerenone
 492 Cyclothiazide
 493 Azosemide
 494 Piretanide
 398 Spironolactone

진세노사이드 267

- 495 Ginsenoside Rb1
 496 Ginsenoside Rg1
 497 Ginsenoside Rg3

칡성분 272

- 498 Puerarin
 499 Ononin

통캇알리 281

- 500 13,21-Dihydroeurycomanone
 501 14,15 β -Dihydroxyklaineanone
 502 Eurycomalactone
 503 Eurycomanone
 504 Longilactone

푸에라리아 미리피카 285

- 505 Miroestrol
 506 Isomiroestrol

프탈레이트 289

- 507 Dibutyl phthalate(DBP)
 508 Benzyl butyl phthalate(BBP)
 509 Bis (2-ethylhexyl) adipate(DEHA)
 510 Bis (2-ethylhexyl) phthalate(DEHP)
 511 Di-n-octyl phthalate(DNOP)

프탈레이트 289

- 512 Diethyl terephthalate(DOTP)

화장품 중 스테로이드 297

- 414 Prednisolone
 415 Hydrocortisone
 416 Betamethasone
 417 Dexamethasone
 418 Prednisone 21-acetate
 419 Cortisone 21-acetate
 420 Prednisolone 21-acetate
 421 Hydrocortisone 21-acetate
 422 Hydrocortisone 17-acetate
 423 Beclomethasone
 424 Budesonide
 425 Betamethasone 21-acetate
 426 Dexamethasone 21-acetate
 427 Triamcinolone acetonide
 428 6a-Methylprednisolone
 513 Methylprednisolone
 429 Hydrocortisone 17-valerate
 430 Hydrocortisone 21-valerate
 431 Beclomethasone 21-acetate
 432 Beclomethasone 21-propionate
 433 Beclomethasone 17-propionate
 434 Clobetasol 17-propionate
 435 Betamethasone 17-valerate
 436 Betamethasone 21-valerate
 437 Triamcinolone diacetate
 438 Dexamethasone 21-hemisuccinate
 439 Betamethasone 21-hemisuccinate
 440 Betamethasone 17,21-dipropionate
 441 Beclomethasone 21-hemisuccinate
 442 Beclomethasone 17,21-dipropionate
 446 6a-Methylprednisolone aceponate
 448 Fluticasone furoate
 450 Prednisone
 452 Clobetasone butyrate
 455 Fluocinolone acetonide
 456 Flurandrenolide
 458 Hydrocortisone 21-hemisuccinate

화장품 중 스테로이드 297

- 459 Mometasone furoate
- 460 Amcinonide
- 461 Fludrocortisone acetate
- 514 Dichlorisone acetate
- 515 Hydrocortisone 17-butyrate
- 462 Fluticasone propionate



기호 및 숫자

- 1 (±)-Metoprolol (+)-tartrate salt 167
- 2 (±)-Penbutolol hydrochloride 167
- 3 11 α -OH-progesterone-hemisuccinate 235
- 4 13,21-Dihydroeurycomanone 282
- 5 14,15 β -Dihydroxyklaineanone 282
- 6 17 α -Ethynodiol 163
- 7 19-Norandrostenedione 73
- 8 1-Androstenedione 73
- 9 2C-I hydrochloride 81
- 10 2-Hydroxypropylnortadalafil 98
- 11 2-Phenethylamine hydrochloride 130
- 12 2-Phenoxyethanol 68
- 13 4-Aminoantipyrine 152
- 14 4-Dimethylaminoantipyrine 152
- 15 4-Isopropylantipyrine 152
- 16 5-Chloroimidazosagatriazinone 98
- 17 5-Meo-Dipt hydrochloride 81
- 18 6a-Methylprednisolone 235, 298
- 19 6a-Methylprednisolone aceponate 235, 298
- 20 6-Hydroxy-1,3-benzoxathiol-2-one 248

A

- 21 A-834735 81
- 22 Acebutolol hydrochloride 167
- 23 Acetaminophen 152
- 24 Acetaminotadalafil 98
- 25 Acetazolamide 256
- 26 Acetyl acid 98
- 27 Acetildenafil 98
- 28 Acetylvardenafil 98
- 29 Aconitine 223
- 30 Acrivastine 37
- 31 Adapalene 248
- 32 Aildenafil 98
- 33 Alfatradiol 212
- 34 Alimemazine tartrate 212
- 35 Alizurine purple SS 57
- 36 Alizurol purple 57
- 37 Allura red AC 57

A

- 38 Alogliptin 188
- 39 Alprazolam 81, 144
- 40 AM2201 81
- 41 AM2233 81
- 42 Amaranth 57
- 43 Amcilonide 235, 298
- 44 Amiloride hydrochloride 256
- 45 Aminotadalafil 98
- 46 Amlodipine besylate 167
- 47 Amphetamine 81
- 48 Anacetrapib 10
- 49 APINAC 81
- 50 Apixaban 98
- 51 Aristolochic acid A 22
- 52 Aristolochic acid B 22
- 53 Aristolochic acid C 22
- 54 Aristolochic acid D 22
- 55 Aspirin 152
- 56 Astemizole 37
- 57 Atenolol 130, 167
- 58 Atorvastatin calcium salt trihydrate 10
- 59 Avanafil 98
- 60 Azatadine 37
- 61 Azelastine hydrochloride 37
- 62 Azosemide 256

B

- 63 Beclomethasone 235, 298
- 64 Beclomethasone 17,21-dipropionate 235, 298
- 65 Beclomethasone 17-propionate 235, 298
- 66 Beclomethasone 21-acetate 235, 298
- 67 Beclomethasone 21-hemisuccinate 235, 298
- 68 Beclomethasone-21-propionate 235, 298
- 69 Benazepril hydrochloride 167
- 70 Bendroflumethiazide 256
- 71 Benfluorex 10
- 72 Benzocaine 68
- 73 Benzoyl peroxide 248
- 74 Benzyl butyl phthalate(BBP) 290



B

75	Benzylsibutramine hydrochloride	130
76	Benzylsildenafil	98
77	Betamethasone	235, 298
78	Betamethasone 17,21-dipropionate	235
79	Betamethasone 17-valerate	235, 298
80	Betamethasone 21-acetate	235, 298
81	Betamethasone 21-hemisuccinate	235, 298
82	Betamethasone 21-valerate	235, 298
83	Betaxolol hydrochloride	167
84	Bezafibrate	10
85	Bimatoprost	212
86	Bis (2-ethylhexyl) adipate(DEHA)	290
87	Bis (2-ethylhexyl) phthalate(DEHP)	290
88	Bisacodyl	130
89	Bisprenortadalafil	98
90	Bithionol	248
91	Bolasterone	73
92	Boldenone	73
93	Boldenone(M)	73
94	Boldione	73
95	Brassicasterol	230
96	Brilliant blue FCF	57
97	Bromazepam	81
98	Brompheniramine maleate	37
99	Budesonide	235, 298
100	Buformin hydrochloride	188
101	Bumetanide	256
102	Bupivacaine hydrochloride	68
103	Bupropion hydrochloride	130
104	Butesuperin A	30
105	Butesuperin B	30

C

113	Carbodenafil	98
114	Carbutamide	188
115	Cartelol hydrochloride	167
116	Carvedilol	167
117	Celecoxib	152
118	Celiprolol	167
119	Cerivastatin sodium salt hydrate	10
120	Cetirizine hydrochloride	37
121	Chlorpromazine hydrochloride	208
122	Chlorodenafil	98
123	Chloropretadalafil	98
124	Chlorosibutramine	130
125	Chlorosipentramine	130
126	Chlorpheniramine maleate	37
127	Chlorpropamide	188
128	Chlorthalidone	256
129	Cinnamyldenafil	98
130	Ciprofibrate	10
131	cis-Cyclopentyltadalafil	98
132	Clemastine	144
133	Clemastine fumarate salt	37
134	Clenbuterol	130
135	Clindamycin hydrochloride	248
136	Clobazam	81
137	Clobetasol 17-propionate	235, 298
138	Clobetasone butyrate	235, 298
139	Clofibrlic acid	10
140	Clonazepam	144
141	Clonidine hydrochloride	167
142	Clostebol	73
143	Cocaine hydrochloride	81
144	Codeine phosphate hydrate	81
145	Cortisone 21-acetate	235, 298
146	Cyclizine	37
147	Cyclopentynafil	98
148	Cyclothiazide	256
149	Cyproheptadine hydrochloride sesquihydrate	37
150	Cyproterone acetate	212

C

106	Calusterone	73
107	Campesterol	230
108	Canagliflozin	188
109	Candesartan cilexetil	167
110	Captopril	130
111	Carbamazepine	152
112	Carbinoxamine	37



D

- 151 D(-)-norgestrel 235
- 152 Danazol(M) 73
- 153 Dapoxetine hydrochloride 98
- 154 Dapsone 248
- 155 Demethylhongdenafil 98
- 156 Demethyladalafil 98
- 157 Depropine 37
- 158 Descarbosildenafil 98
- 159 Desloratadine 37
- 160 Desmethylcarbodenafil 98
- 161 Desmethylpiperazinylsildenafil 98
- 162 Desmethylsibutramine hydrochloride salt 130
- 163 Desmethylsildenafil 98
- 164 Desulfovardenafil 98
- 165 Dexamethasone 235, 298
- 166 Dexamethasone 21-acetate 235, 298
- 167 Dexamethasone 21-hemisuccinate 235, 298
- 168 Dexbupropheniramine 37
- 169 Diazepam 81
- 170 Dibutyl phthalate(DBP) 290
- 171 Dichlorisone acetate 298
- 172 Dichlorisone diacetate 235
- 173 Dichlorodenafil 98
- 174 Diclofenac sodium 152
- 175 Didesmethylsibutramine 130
- 176 Diethylaminopretadalafil 98
- 177 Diethylpropion hydrochloride 130
- 178 Diflorasone diacetate 235
- 179 Dihydrocodeine bitartrate 81
- 180 Diltiazem hydrochloride 167
- 181 Dimenhydrinate 37
- 182 Dimethylacetildenafil 98
- 183 Dimethylsildenafil 98
- 184 Dimethylthiosildenafil 98
- 185 Dimetindene 37
- 186 Di-n-octyl phthalate(DNOP) 290
- 187 Dioctyl terephthalate(DOTP) 290
- 188 Dioscin 199
- 189 Dioxohongdenafil 98
- 190 Diphenhydramine hydrochloride 37, 144

D

- 191 Diphenylcyclopropenone 212
- 192 Diphenylpyramine 37
- 193 Dipyrone 152
- 194 Dithiodesmethylcarbodenafil 98
- 195 Dithiopropylcarbodenafil 98
- 196 Domperidone 208
- 197 Doxazosin mesylate 167
- 198 Drostanolone propionate 73
- 199 D-Thyroxine 10
- 200 Dutasteride 212

E

- 201 Ebastine 37
- 202 Empagliflozin 188
- 203 Eosine YS 57
- 204 Ephedrine hydrochloride 81, 130
- 205 epi-Aminotadalafil 98
- 206 Epinastine hydrochloride 37
- 207 Eplerenone 256
- 208 Estazolam 81, 144
- 209 Estrone 163
- 210 Estropipate 163
- 211 Ethacrynic acid 256
- 212 Ethyl 3-aminobenzoate methanesulfonate 68
- 213 Etofibrate 10
- 214 Eugenol 68
- 215 Eurycomalactone 282
- 216 Eurycomanone 282
- 217 Ezetimibe 10

F

- 218 Fast acid magenta 57
- 219 Felodipine 167
- 220 Fenfluramine hydrochloride 81, 130
- 221 Fenofibrate 10
- 222 Fenofibric acid 10
- 223 Fenoprofen calcium 152
- 224 Fentanyl citrate 81
- 225 Fexofenadine hydrochloride 37

F

226	Finasteride	212
227	Flouxetine hydrochloride	130
228	Fludrocortisone acetate	235, 298
229	Flunitrazepam	81, 144
230	Fluocinolone acetonide	235, 298
231	Fluoxymesterone	73
232	Flurandrenolide	235, 298
233	Flurazepam	144
234	Flurazepam hydrochloride	81
235	Flurbiprofen	152
236	Flutamide	212
237	Fluticasone furoate	235, 298
238	Fluticasone propionate	235, 298
239	Fluvastatin sodium	10
240	Formebolone(M)	73
241	Furosemide	256

G

242	Gastrodin	199
243	Gemfibrozil	10
244	Gendenafil	98
245	Ginsenoside Rb1	268
246	Ginsenoside Rg1	268
247	Ginsenoside Rg3	268
248	Glibenclamide	188
249	Glibornuride	188
250	Gliclazide	188
251	Glimepiride	188
252	Glipizide	188
253	Gliquidone	188
254	Glymidine	188
255	Grayanotoxin I	26
256	Grayanotoxin III	26

H

257	Hexobarbital	144
258	Homosildenafil	98
259	Homotadalafil	98
260	Hongdenafil	98

H

261	Hydrochlorothiazide	256
262	Hydrocortisone	235, 298
263	Hydrocortisone 17-acetate	235, 298
264	Hydrocortisone 17-butyrate	298
265	Hydrocortisone 17-valerate	235, 298
266	Hydrocortisone 21-acetate	235, 298
267	Hydrocortisone 21-hemisuccinate	235, 298
268	Hydrocortisone 21-valerate	235, 298
269	Hydrocortisone butyrate	235
270	Hydroflumethiazide	256
271	Hydroxychlorodenafil	98
272	Hydroxyhomosildenafil	98
273	Hydroxyhongdenafil	98
274	Hydroxythiomosildenafil	98
275	Hydroxythiovardenafil	98
276	Hydroxyvardenafil	98
277	Hydroxyzine hydrochloride	37
278	Hypaconitine	223

I,J,K

279	Ibuprofen	152, 248
280	Icariin	98
281	Imidazosagatriazinone	98
282	Indapamide	256
283	Indigo carmine	57
284	Indomethacin	152
285	Ipragliflozin	188
286	Irbesartan	167
287	Isomiroestrol	286
288	Isopropylnortadalafil	98
289	Isotretinoin	248
290	Isradipine	167
291	JWH018	81
292	JWH019	81
293	JWH073	81
294	JWH081	81
295	JWH122	81
296	JWH250	81
297	Ketamine hydrochloride	81
298	Ketoprofen	152



I,J,K

- 299 Ketorolac 152
300 Ketotifen fumarate salt 37

L

- 301 Lapaquistat acetate 10
302 Lercanidipine hydrochloride 167
303 Levocetirizine dihydrochloride 37
304 Levothyroxine 130
305 Lidocaine 68
306 Liothyronine 130
307 Lodenafilcarbonate 98
308 Lomitapide 10
309 Longilactone 282
310 Loratadine 37
311 Lorazepam 81, 144
312 Lorcaserine hydrochloride 130
313 Losartan potassium 167
314 Lovastatin 10
315 Lovastatin hydroxy acid sodium salt 10

M

- 316 Mazindol 81, 130
317 MDMA hydrochloride 81
318 Meclofenamate sodium 152
319 Medroxyprogesterone 17-acetate 235
320 Medroxyprogesterone acetate 163, 208
321 Mefenamic acid 152
322 Megesterol acetate 235
323 Meloxicam 152
324 Menthol 68
325 Mepivacaine hydrochloride 68
326 Mequitazine 37
327 Mesaconitine 223
328 Metenolone 73
329 Metformin hydrochloride 188
330 Methandienone(M) 73
331 Methandrostenolone 73
332 Methaqualone 81
333 Methazolamide 256

M

- 334 Methyclothiazide 256
335 Methylchloroisothiazolinone(CMIT) 203
336 Methylhydroxyhomosildenafil 98
337 Methylisothiazolinone(MIT) 203
338 Methylnortestosterone 73
339 Methylphenidate hydrochloride 81
340 Methylprednisolone 298
341 Methyltestosterone 212
342 Metoclopramide hydrochloride 208
343 Metolazone 256
344 Mevastatin 10
345 Mibolerone 73
346 Midazolam 144
347 Minoxidil 167, 212
348 Mirodenafil 98
349 Miroestrol 286
350 Mitiglinide Calcium 188
351 Mizolastine 37
352 Modafinil 81, 130
353 Mometasone furoate 235, 298
354 Mutaprodenafil 98

N

- 355 Nadifloxacin 248
356 Nadolol 167
357 Nandrolone 73
358 Nandrolone decanoate 73
359 Nandrolone(M1) 73
360 Nandrolone(M2) 73
361 Naphthol yellow S 57
362 Naproxen sodium 152
363 Nateglitinide 188
364 N-butyltadalafil 98
365 N-Desethylacetildenafil 98
366 N-Desethylvardenafil 98
367 N-Desmethylsildenafil 98
368 New coccine 57
369 Nifedipine 167
370 Nilvadipine 167
371 Nisoldipine 167

N

- 372 Nitrendipine 167
 373 Nitrodenafil 98
 374 Norbolethone 73
 375 Norclostebol 73
 376 Norethandrolone 73
 377 Norethisterone 235
 378 Norethisterone acetate 163, 235
 379 Norneosildenafil 98
 380 Norneovardenafil 98

O

- 381 Octylnortadalafil 98
 382 Olmesartan medoxomil 167
 383 Olopatadine hydrochloride 37
 384 Ononin 273
 385 Oral-turinabol(M) 73
 386 Orange II 57
 387 Orlistat 130
 388 Oxatomide 37
 389 Oxohongdenafil 98

P

- 390 Papaverine hydrochloride 98
 391 Paroxetine hydrochloride 130
 392 Pentazocine 81
 393 Pentobarbital 144
 394 Phenacetin 152
 395 Phendimetrazine tartrate 81, 130
 396 Phenformin hydrochloride 188
 397 Phenobarbital 130, 144
 398 Phenolphthalein 130
 399 Phentermine hydrochloride 81, 130
 400 Phentolamine mesylate 167
 401 Phenytoin sodium 130
 402 Phosphatidylcholine 226
 403 Phosphatidylethanolamine 226
 404 Phosphatidylinositol 226
 405 Phosphatidylserine 226
 406 Pimethixene 37

P

- 407 Pindolol 167
 408 Pioglitazone hydrochloride 188
 409 Piperidinothiogdenafil 98
 410 Piretanide 256
 411 Piroxicam 152
 412 Pitavastatin calcium 10
 413 Ponceau SX 57
 414 Pravastatin sodium salt hydrate 10
 415 Prazosin hydrochloride 167
 416 Prednisolone 235, 298
 417 Prednisolone-21-acetate 235, 298
 418 Prilocaine hydrochloride 68
 419 Procaine hydrochloride 68
 420 Promethazine hydrochloride 37
 421 Proparacaine hydrochloride 68
 422 Propoxyphenylsildenafil 98
 423 Propoxyphenylthioildenafil 98
 424 Propoxyphenylthiomosildenafil 98
 425 Propoxyphenylthiohydroxyhomosildenafil 98
 426 Propoxyphenylthiosildenafil 98
 427 Propranolol hydrochloride 130, 167
 428 Pseudoephedrine hydrochloride 130
 429 Pseudovardenafil 98
 430 Puerarin 273
 431 Pyranine conc 57
 432 Pyrazole N-desmethylsildenafil 98

Q,R

- 433 Quinizarine green SS 57
 434 Quinoline yellow SS 57
 435 Raloxifene hydrochloride 163
 436 Repaglinide 188
 437 Rhodioloside 26
 438 Rimonabant 130
 439 Ropivacaine 68
 440 Rosiglitazone 188
 441 Rosuvastatin calcium 10
 442 Rupatadine 37



S

- 443 Sennoside A 130
- 444 Sennoside B 130
- 445 Sertraline hydrochloride 130
- 446 Sibutramine hydrochloride 130
- 447 Sildenafil citrate salt 98
- 448 Sildenafil coupled 98
- 449 Sildenafil Impurity A 98
- 450 Simvastatin 10
- 451 simvastatin hydroxy acid ammonium salt 10
- 452 Sitagliptin phosphate monohydrate 188
- 453 Sphingomyelin 226
- 454 Spironolactone 212, 256
- 455 Stanozolol C-3 235
- 456 Stigmasterol 230
- 457 Sudan III 57
- 458 Sufentanyl citrate 81
- 459 Sulindac 152
- 460 Sulpiride 208
- 461 Sunset yellow FCF 57
- 462 Tadalafil 98
- 463 Tadalafil impurity A 98
- 464 Tadalafil impurity C 98

T

- 481 Thiosildenafil 98
- 482 Tiletamine hydrochloride 68
- 483 Tolazamide 188
- 484 Tolbutamide 188
- 485 Torsemide 256
- 486 trans-Cyclopentyltadalafil 98
- 487 trans-Tadalafil 98
- 488 Triamcinolone acetonide 235, 298
- 489 Triamcinolone diacetate 235, 298
- 490 Triaminodil 212
- 491 Triamterene 256
- 492 Triazolam 81, 144
- 493 Trichlormethiazide 256
- 494 Triclosan 248
- 495 Triparanol 10
- 496 Tripelennamine 37
- 497 Triprolidine hydrochloride 37
- 498 Troglitazone 188

U,V,X,Y,Z

- 499 Udenafil 98
- 500 Uranine 57
- 501 Valsaltan 167
- 502 Vardenafil hydrochloride 98
- 503 Verapamil hydrochloride 167
- 504 Vildagliptin 188
- 505 Xanthoanthrafil 98
- 506 Xipamide 256
- 507 XLR11 81
- 508 Yohimbine 98
- 509 Zolpidem 144

α , β

- 510 α -Pyrrolidinopentiothiophenone 81
- 511 β -Estradiol 163
- 512 β -Estradiol 17-cypionate 163
- 513 β -Estradiol 17-valerate 163
- 514 β -sitosterol 230
- 515 β -Methylphenethylamine 130



첨단분석팀 부정물질 분석법 논문 개재현황

(2013~2017.11)

연번	논문명	학술지명	권(호)
1	Detection of hair-growth compounds in food and dietary supplements using ultra performance liquid chromatography	Food additives & contaminants part A	Published online
2	Isolation and structural identification of a novel minoxidil analogue in illegal dietary supplement: triaminodil	Food additives & contaminants part A	ISSN :1944-0057
3	Development and validation of a method for glyphosate detection in vaccines	J. Chromatographia	DOI 10.1007 s10337-017-3417-9
4	Q-Orbitrap-MS and UPLC-MS/MS Analysis of Synthetic Sedative-Hypnotics in Dietary Supplements	Separation science	DOI: 10.1002 jssc.201700879
5	Simultaneous analysis of 35 specific antihypertensive adulterants in dietary supplements using LC/MS/MS	Biomedical Chromatography	DOI 10.1002 bmc.3856
6	Determination of 26 anti-diabetic compounds in dietary supplements using a validated UPLC method	Food additives & contaminants part A	ISSN :1944-0057
7	Identification of a new tadalafil analogue in commercial dietary supplemnets : Isopropylnortadalafil	Food additives & contaminants part A	Vol.34,2017 -Issue 2
8	Collision-induced dissociation pathways of H1-antihistamines by electrospray ionization quadrupole time-of-flight mass spectrometry	Archives of Pharmacal research	(2017) 40:736-745
9	Determination of 43 prohibited glucocorticoids in cosmetic products using a simultaneous LC-MS/MS method	Analytical Methods	2017, 9, 2104
10	Determination of Miroestrol and Isomiroestrol from Pueraria mirifica in Dietary Supplements by LC-MS-MS and LC-Q-Orbitrap/MS	Journal of Chromatographic Science	2017, Vol. 55, Nl. 3, 214-221
11	Establishment of a library of fragments for the rapid and reliable determination of anabolic steroids by liquid chromatography-quadrupole time of flight-mass spectrometry	Analytical science & Technology	Vol.30,No.1, 10-19,2017
12	Identification of new synthetic cannabinoid analogue APINAC whit MDMB(N)-Bz-F in illegal products	Forensic Toxicology	(2017) Vol.35,45-55
13	A Liquid Chromatography-Quadrupole-Time of Flight Mass Spectrometry (LC-Q-TOF MS) Study for Analyzing 35 Corticosteroid Compounds: Elucidation of MS/MS Fragmentation Pathways	Bulletin of the Korean Chemical Society	2016,Vol.37, 1029-1038
14	A rapid method for the simultaneous determination of 25 anti-hypertensive compounds in dietary supplement to detect adulterants using an ultra-high pressure liquid chromatographic	Food Additives & Contaminants, Part A	Vol. 33, Issue 11, 1627-1636

첨단분석팀 부정물질 분석법 논문 개재현황

(2013~2017.11)

연번	논문명	학술지명	권(호)
15	LC-ESI-MS/MS analysis of phosphodiesterase-5 inhibitors and their analogues in foods and dietary supplements in Korea	Food additives & contaminants part B	Vol. 9, No.1, 1-8(2016)
16	Screening for corticosteroid adulterants in Korean herbal medicines	Journal of Forensic science	Vol.61, No.1, 226-229(2016)
17	Determination and quantification of nine adulterant local anaesthetics in illegal treatments for male premature ejaculation by GC-FID and GC-MS	Int. J. Pharmacy & Pharmaceutical Sciences	Vol.8, Issue 3, 135-140(2016)
18	Simultaneous analysis of cannabinoid and synthetic cannabinoids in dietary supplements using UPLC with UV and UPLC-MS/MS.	Journal of Analytical Toxicology	2016(40) 5: 50-359
19	Development and validation of UPLC and LC-MS/MS methods for the simultaneous determination of anti-obesity drugs in slimming functional products advertised for weight loss in the Korean market	Archives of Pharmacal Research	(2016) 39:103-114
20	Identification and structural elucidation of three new tadalafil analogues found in a dietary supplement	J. Pharmaceutical & Biomedical Analysis	123(2016)1-9
21	Isolation and structural elucidation of a new tadalafil analogue in health supplements : Bisprenortadalafil	Food Additives and Contaminants, Part A	Vol.33, NO.6, 945-952
22	Analysis of erectile dysfunction drugs and their analogues in counterfeit drugs and herbal medicines by LC-ESI-MS/MS	Analytical science & Technology	Vol.29 NO.4, 155-161, 2016
23	Development and validation of an ultraperformance liquid chromatography method for simultaneous analysis of 20 antihistamines in dietary supplements	Biomedical Chromatography	Vol.29, No.3, 465-474(2015)
24	Identification and screening of a tadalafil analogue found in adulterated herbal products	J. Pharmaceutical & Biomedical Analysis	103(2015)80-84
25	LC-MS/MS monitoring of 22 illegal antihistamine compounds in health food products from the Korea market	The Korean Society for App. Bio. Chemistry	Vol.58, Issue 1, 137-147(2015)
26	Determination of anabolic-androgenic steroid adulterants in counterfeit drug by UHPLC-MS/MS	J. Pharmaceutical & Biomedical Analysis	111 (2015) 138 - 146
27	Development of a LC - MS/MS method for simultaneous analysis of 20 antihistamines in dietary supplements	Analytical science & Technology	Vol.28 No.2, 86-97(2015)
28	Development and validation of a LC-MS/MS method for the simultaneous analysis of 28 specific narcotic adulterants used in dietary supplements	Food Additives & Contaminants, Part A	Vol.32, No.7, 1029 - 1039 (2015)

첨단분석팀 부정물질 분석법 논문 게재현황

(2013~2017.11)

연번	논문명	학술지명	권(호)
29	Identification of a new tadalafil analogue in an adulterated dietary supplement: <i>trans</i> -Bisprehomotadalafil	J. Pharmaceutical & Biomedical Analysis	115 (2015) 352 - 358
30	Identification and evaluation of fragmentation pathways of PDE-5 inhibitor analogues using LC-QTOF-MS	Analytical science & Technology	Vol.28 No.4, 278-287(2015)
31	Development and validation of a Q-TOF/MS method for the rapid and simultaneous quantification of three aconitum alkaloids in food	Analytical Methods	7 (2015) 7733-7740
32	Discrimination of commercial cheeses from fatty acid profiles and phytosterol contents obtained by GC and PCA	Food Chemistry	143 (2014)40-47
33	Isolation and Identification of novel propoxyphenyl thiosildenafil found in natural health food product	Food Additives Contaminants, Part A	Vol.31,No.1, 1-6(2014)
34	Evaluation of proficiency tests in micrological analysis : enumeration of aerobic microorganisms	Accreditation & Quality Assurance	Vol.19,No.1, 41-46(2014)
35	Monitoring of 29 weight loss compounds in foods and dietary supplements by LC-MS/MS	Food Additives & Contaminants, Part A	Vol.31,No.5, 777-783(2014)
36	Determination of non-opioid analgesics in adulterated food and dietary supplements by LC-MS/MS	Food Additives & Contaminants, Part A	Vol.31,No.6, 973-978(2014)
37	Monitoring of 35 illegally added steroid compounds in foods and dietary supplements	Food Additives & Contaminants, Part A	Vol.31,No.9, 1470-1475(2014)
38	Identification of a new tadalafil analogue found in a dietary supplement	Food Additives & Contaminants, Part A	Vol.30,No.4, 621-626(2013)
39	Simultaneous determination of 38 phosphodiesterase -5 inhibitors in illicit erectile dysfunction products by lipid chromatography-electrospray ionization-tandem mass spectrometry	J. Pharmaceutical & Biomedical Analysis	83(2013) 171-178
40	Isolation and identification of a sibutramine analogue adulterated in slimming dietary supplements	Food Additives & Contaminants, Part A	Vol.30,No.7, 1221-1229(2013)
41	Monitoring by LC-MS/MS of 48 compounds of sildenafil, tadalafil, vardenafil and their analogues in illicit health food products in the Korean market advertised as enhancing male sexual performance	Food Additives & Contaminants, Part A	Vol.30,No.11, 1849-1857(2013)
42	Isolation and structural characterisation of a propoxyphenyl-linked thiohomosildenafil analogue found in a herbal product	Food Additives & Contaminants, Part A	Vol.30,No.10, 1693-1700(2013)

1. 이 책자는 위해사범중앙조사단에서 첨단분석팀에 수사의뢰한 검체에 대한 시험분석사례집입니다.
2. 이 책자의 시험분석법은 위해사범수사를 위한 시험분석으로 기준·규격 등 시험검정을 위한 공인된 분석방법으로 사용 할 수 없습니다.
3. 이 책자의 내용을 참고문헌, 세미나, 기타 분석 등에 인용 시에는 첨단분석팀과 사전에 협의하여 주시기 바랍니다.

2017 식·의약품 등 수사·분석사례집

발 행 일 2017년 12월

발 행 처 식품의약품안전평가원

발 행 인 이선희

편집위원장 박혜경, 이주현

편집위원 강호일, 우영택, 박성관, 박성수, 신동우, 박형준, 허석,
황태익, 조정화, 김준형, 김남숙, 이지현, 노은영, 이진희,
정지혜, 박한나, 강기행, 박옥림, 민아영, 문선희, 김지희,
신은진, 허혜진, 이창희, 이동구, 정애란, 백지현, 장명환,
박수진

문 의 처 충청북도 청주시 흥덕구 오송읍 오송생명2로 187
식품의약품안전평가원 첨단분석팀

전 화 043)719-5301~25

팩 스 043)719-5300



2017 식 · 의약품 등 수사 · 분석사례집

청렴한 식약처 국민 안심의 시작 | 생활 속 작은 실천, 모이면 청렴사회 | 청렴한 나, 공정한 식약처, 희망찬 대한민국